

# *CAPITOLUL 1*

## **Introducere**



# 1. INTRODUCERE

## 1.1. Unități de măsură.

Este necesar ca pentru fiecare mărime fizică să se definească un procedeu de măsurare și o unitate de măsură. Dar, nu toate mărimile fizice din natură sunt independente și, între unele dintre acestea există relații de dependență. Unitățile de măsură independente sunt unitățile *fundamentale* iar celelalte sunt unitățile *derivate*.

Din punctul de vedere al unităților primitive sau fundamentale alese, există două sisteme pe teritoriul țării noastre:

1. Sisteme fizice, care au la bază unități pentru *lungime* (pentru măsurarea spațiului), de *timp* și de *masă*. Există două sisteme fizice, **sistemul fizic CGS** având ca unități fundamentale *centimetrul*, *gramul* și *secunda*, precum și **sistemul internațional SI** având ca unități de bază

**Tabelul 1.1.**

Nr. crt.	Mărimea	Unitatea SI			
		Denumirea	Simbolul	Expresia în unități fundam.	Ecuția dimensională
1	<b>Lungimea</b>	<b>metrul</b>	<b>m</b>	-	<b>L</b>
2	<b>Masa</b>	<b>kilogramul</b>	<b>kg</b>	-	<b>M</b>
3	<b>Timpul</b>	<b>secunda</b>	<b>s</b>	-	<b>T</b>
4	Aria	metrul pătrat	m <sup>2</sup>	-	L <sup>2</sup>
5	Volumul	metrul cub	m <sup>3</sup>	-	L <sup>3</sup>
6	Viteza	metrul pe secundă	m/s	-	LT <sup>-1</sup>
7	Accelerația	metrul pe secundă la pătrat	m/s <sup>2</sup>	-	LT <sup>-2</sup>
8	Densitatea	kilogramul pe metru cub	kg/m <sup>3</sup>	-	ML <sup>-3</sup>
9	Frecvența	hertz	Hz	s <sup>-1</sup>	T <sup>-1</sup>
10	Forța	newton	N	kgm/s <sup>2</sup>	LMT <sup>-2</sup>
11	Presiunea	pascal	Pa	N/m <sup>2</sup>	L <sup>-1</sup> MT <sup>-2</sup>
12	Energia, lucrul mecanic	joul	J	Nm	L <sup>2</sup> MT <sup>-2</sup>
13	Puterea	watt	W	Nm/s	L <sup>2</sup> MT <sup>-3</sup>
14	Unghiul plan	radian	rad	-	-
15	Viteza unghiulară	radian pe secundă	rad/s	-	T <sup>-1</sup>
16	Accelerația unghiulară	radian pe secundă la patrat	rad/s <sup>2</sup>	-	T <sup>-2</sup>
17	Momentul unei forțe	newton metru	Nm	-	L <sup>2</sup> MT <sup>-2</sup>

*metrul, kilogramul și secunda.* Acest sistem a devenit obligatoriu în țara noastră începând cu cea de-a XI Conferință Internațională de Măsuri și Greutăți (Paris 1960). În tabelul 1.1. se prezintă aceste unități derivate și cu denumiri speciale. În acest sistem se pot folosi multipli și submultipli zecimali care se exprimă folosind prefixe și simboluri corespunzătoare.

2. Sisteme tehnice, care au la bază ca unități fundamentale cele pentru lungime, timp și forță. Un astfel de sistem a funcționat și în țara noastră până în anul 1960 și care a avut la bază metrul, kilogramul forță și secunda, și este notat cu MKfS. Un sistem similar se folosește și azi în țările anglo-saxone, având ca unități fundamentale piciorul (0,3048 m), livra (4,45 N) și secunda.

Definițiile unităților fundamentale SI date de Conferința Generală de Măsuri și Greutăți (CGPM), sunt:

**1. Metrul** este lungimea egală cu 1650763,73 lungimi de undă în vid a radiației corespunzătoare tranziției între nivelele de energie  $2p_{10}$  și  $5d_5$  ale atomului de kripton 86 (a XI conf. 1960).

**2. Kilogramul** este unitatea de masă, el este egal cu masa prototipului internațional al kilogramului, realizat din platină iradiată ce se păstrează la Biroul Internațional (CGPM 1889).

**3. Secunda** este durata a 9192631770 perioade ale radiației care corespunde tranziției între cele două nivele de energie hiperfine ale stării fundamentale ale atomului de cesiu 133 (CGPM 1967).

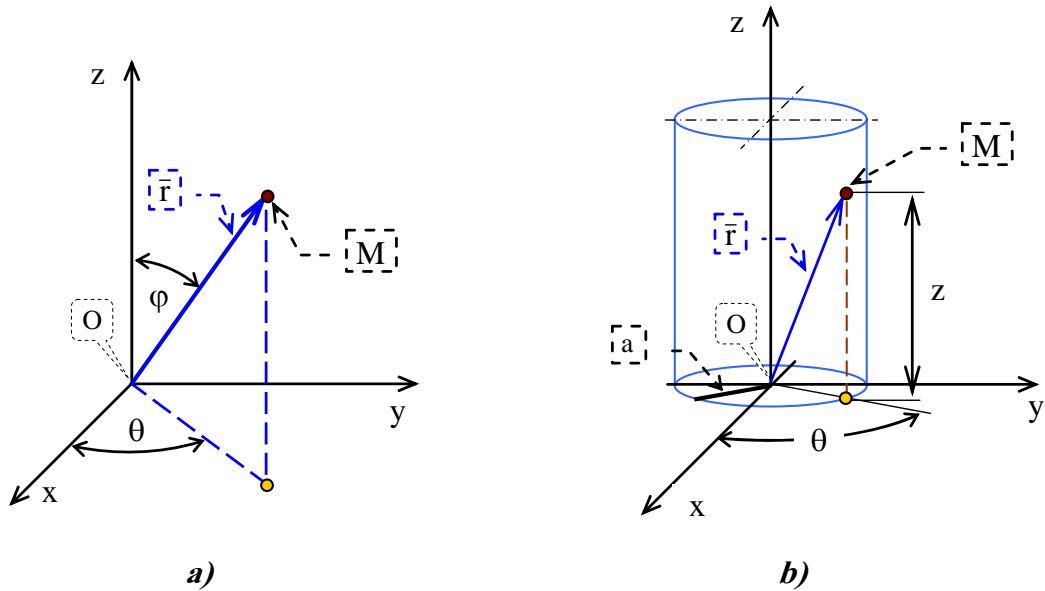
Pentru multipli și submultipli se pot folosi următoarele câteva simboluri și prefixe:

MULTIPLII		<i>Submultiplii</i>	
$10^1$ deca	<b>da</b>	$10^{-1}$ deci	<b>d</b>
$10^2$ hecto	<b>h</b>	$10^{-2}$ centi	<b>c</b>
$10^3$ kilo	<b>k</b>	$10^{-3}$ mili	<b>m</b>
$10^6$ mega	<b>M</b>	$10^{-6}$ micro	<b>μ</b>
$10^9$ Giga	<b>G</b>	$10^{-9}$ nano	<b>n</b>
$10^{12}$ Tera	<b>T</b>	$10^{-12}$ pico	<b>p</b>

## 1.2. Aspectul geometric al legăturilor

Dacă un punct material este acționat de un sistem de forțe  $\bar{F}_i$  este limitat în mobilitatea sa (i se micșorează numărul gradelor de libertate) spunem că acest punct material este supus la legături. Aceste limite pot fi introduse prin obligarea punctului material de a rămâne în contact cu o suprafață, cu o curbă, sau plasat într-un punct geometric fix din spațiu. Punctul material liber are 3 grade de libertate (sunt necesari 3 parametri scalari pentru a cunoaște poziția sa). În

mecanică sunt utilizate diverse sisteme de referință: carteziene, sferice, cilindrice, polare, intrinseci, etc.



**Fig. 1.1.**

*Relațiile de legătură între coordonatele carteziene și coordonatele sferice (fig. 1.1.a):*

$$\begin{cases} x = r \cdot \sin \varphi \cdot \cos \theta \\ y = r \cdot \sin \varphi \cdot \sin \theta \\ z = r \cdot \cos \varphi \end{cases} \quad (1.1)$$

Domeniile de valori ale coordonatelor sferice sunt:

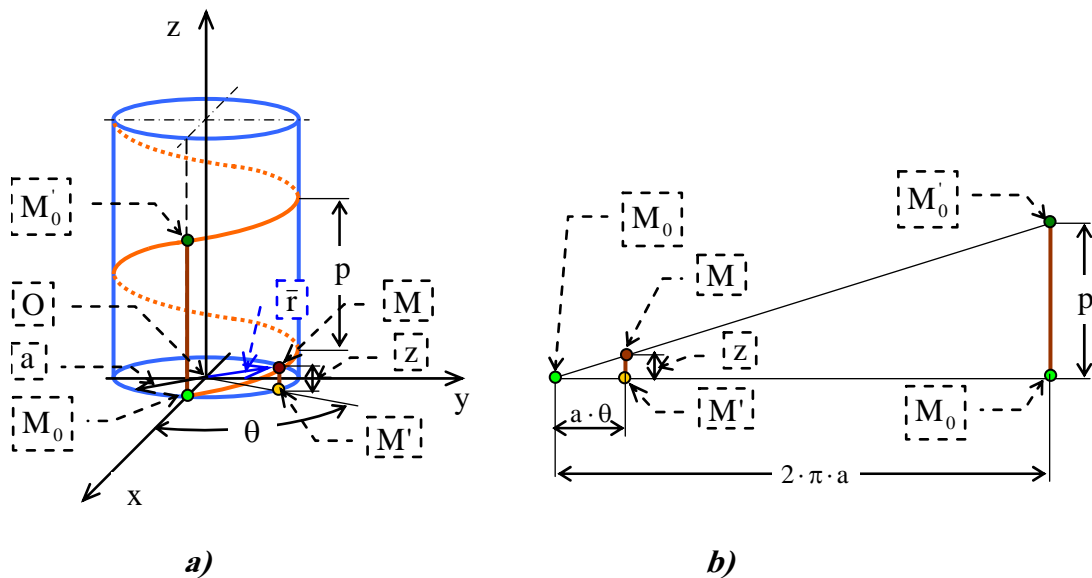
$$\begin{cases} 0 \leq r \leq \infty \\ 0 \leq \theta \leq 2\pi \\ 0 \leq \varphi \leq \pi \end{cases} \quad (1.2)$$

*Relațiile de legătură între coordonatele carteziene și coordonatele cilindrice (fig. 1.1.b):*

$$\begin{cases} x = a \cdot \cos \theta \\ y = a \cdot \sin \theta \\ z = z \end{cases} \quad (1.3)$$

Domeniile de valori ale coordonatelor sferice sunt:

$$\begin{cases} 0 \leq a \leq \infty \\ 0 \leq \theta \leq 2\pi \\ -\infty \leq z \leq \infty \end{cases} \quad (1.4)$$



**Fig. 1.2.**

Dacă punctul material este obligat să rămână în contact cu o suprafață fixă din spațiu, punctul material are 2 grade de libertate. Dacă punctul material este obligat să rămână în contact cu o curbă fixă din spațiu, atunci el va avea un singur grad de libertate (fig. 1.2. - *elicea cilindrică*).

$$\begin{cases} x = a \cdot \cos \theta \\ y = a \cdot \sin \theta \\ z = (p/2 \cdot \pi) \cdot \theta. \end{cases} \quad \left[ \text{asemanare: } \frac{z}{p} = \frac{a \cdot \theta}{2 \cdot \pi \cdot a} \right] \quad (1.5)$$

### 1.3. Aspectul mecanic al legăturilor

Dacă un punct material este supus la legături, acestea acționează asupra sa cu niște forțe care se numesc **forțe de legătură** sau **reacțiuni**. În cazul punctului material legat există **axioma legăturilor**: “Unui punct material supus la legături *i* se pot suprima legăturile cu condiția ca în locul lor să se introducă reacțiuni sau forțe de legătură care să aibă același efect mecanic cu cel pe care l-au avut legăturile”.

## *CAPITOLUL 2*

### **Statica solidului rigid**





## 2. STATICA SOLIDULUI RIGID

### 2.1. *Solidul rigid liber*

#### 2.1.1. Probleme ale staticii solidului rigid liber

În general solidul rigid în realitatea obiectivă se află supus la legături, adică în interacțiune cu alte corpuri. Totuși, pentru a utiliza relațiile matematice, solidul rigid se idealizează considerând existența solidului rigid în stare liberă. Solidul rigid liber este un corp care poate ocupa orice poziție în spațiu (nu i se impune nici o restricție geometrică), poziția sa depinzând numai de forțele care-l acționează.

*Condiția necesară și suficientă ca un solid rigid liber să rămână în echilibru, este ca torsorul sistemului de forțe aplicate acestuia, calculat în raport cu un punct oarecare  $O$  din spațiu, să se anuleze:*

$$\tau_o(\bar{F}_i) = \begin{cases} \bar{R} = 0 \\ \bar{M}_o = 0 \end{cases} \quad (2.1)$$

Relațiile (2.1) permit rezolvarea următoarelor două categorii de probleme:

- a) Cunoscând forțele care acționează asupra unui solid liber, ca funcții de coordonatele punctelor lor de aplicație, să se determine poziția de echilibru a solidului.*
- b) Cunoscând poziția solidului rigid liber, să se găsească sistemul de forțe care aplicat asupra sa să-l mențină în această poziție.*

Prima categorie de probleme are soluție unică iar a doua categorie nu admite în general soluție unică. Într-adevăr, dacă s-a găsit o soluție, adică un sistem de forțe în echilibru, din acesta se pot deduce prin aplicarea regulii paralelogramului, o infinitate de sisteme cu efect nul, fiecare reprezentând o soluție a problemei. Uneori natura datelor problemei asigură unicitatea soluției.

#### 2.1.2. Condițiile de echilibru ale solidului rigid liber

##### 2.1.2.1. Sisteme de forțe oarecare în spațiu

Proiectând ecuațiile vectoriale (2.1) pe axele sistemului de coordonate carteziene  $Oxyz$ , obținem următoarele șase ecuații scalare de echilibru pentru cazul sistemului de forțe spațiale oarecare ce acționează solidul rigid:

$$\left\{ \begin{array}{l} \sum_{i=1}^n F_{ix} = 0 \\ \sum_{i=1}^n F_{iy} = 0 \\ \sum_{i=1}^n F_{iz} = 0 \\ \sum_{i=1}^n (y_i \cdot F_{iz} - z_i \cdot F_{iy}) = 0 \\ \sum_{i=1}^n (z_i \cdot F_{ix} - x_i \cdot F_{iz}) = 0 \\ \sum_{i=1}^n (x_i \cdot F_{iy} - y_i \cdot F_{ix}) = 0 \end{array} \right. \quad (2.2)$$

În unele cazuri practice, sistemele de forțe aflate în echilibru, constau numai din trei forțe. Cunoașterea proprietăților specifice acestor sisteme cât și a altor sisteme particulare de forțe, ușurează rezolvarea problemelor de statica solidului rigid prin reducerea numărului de ecuații scalare, particularizări ce vor rezulta din ecuațiile (2.2).

### 2.1.2.2. Sisteme compuse din trei forțe

Presupunem un sistem de trei forțe  $\vec{F}_i$  ( $i = 1, 2, 3$ ) acționând asupra unui solid rigid (fig. 2.1) în trei puncte necoliniare  $O_1$ ,  $O_2$  și  $O_3$ .

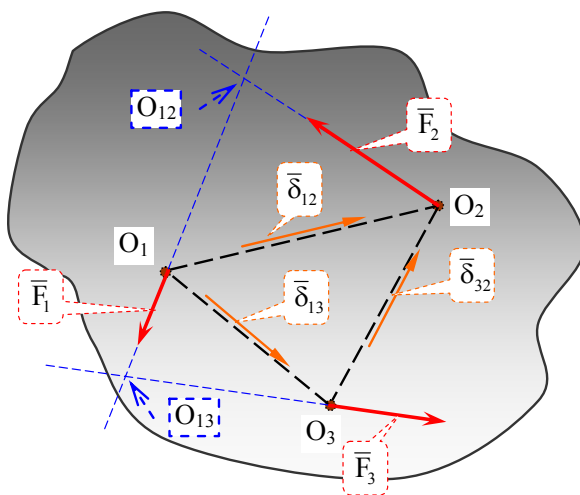


Fig. 2.1.

Condiția necesară și suficientă pentru ca acest sistem de forțe să fie în echilibru, este ca torsorul de reducere calculat în raport cu un punct oarecare să fie nul. În cazul a trei forțe această condiție poate fi substituită astfel: *sistemul de trei forțe aplicate în trei puncte necoliniare, este în echilibru, dacă cele trei forțe sunt coplanare și cu suportii concurenți în același punct sau paraleli cu o direcție comună.*

Pentru a demonstra că forțele trebuie să fie coplanare se procedează astfel:

Torsorul în punctul  $O_1$  trebuie să fie nul, adică:

$$\tau_{O_1}(\bar{F}_i) = \begin{cases} \bar{R} = 0 \\ \bar{M}_{O_1} = 0 \end{cases}, \quad (2.3)$$

unde vectorul moment rezultat  $\bar{M}_{O_1}$  este:

$$\bar{M}_{O_1} = \bar{M}_{O_1}(\bar{F}_1) + \bar{M}_{O_1}(\bar{F}_2) + \bar{M}_{O_1}(\bar{F}_3) = 0,$$

însă  $\bar{M}_{O_1}(\bar{F}_1) = 0$ , deoarece  $\bar{F}_1$  este aplicată în  $O_1$ .

Deci

$$\bar{M}_{O_1}(\bar{F}_2) + \bar{M}_{O_1}(\bar{F}_3) = 0 \quad | \cdot \bar{\delta}_{12},$$

$$\bar{\delta}_{12} \cdot \bar{M}_{O_1}(\bar{F}_2) + \bar{\delta}_{12} \cdot \bar{M}_{O_1}(\bar{F}_3) = 0. \quad (2.4)$$

Dar momentul forței  $\bar{F}_2$  în raport cu axa  $O_1O_2$  este nul deoarece este aplicată pe această axă,  $\bar{\delta}_{12} \cdot \bar{M}_{O_1}(\bar{F}_2) = 0$ .

Din relația (2.4) rezultă că  $\bar{\delta}_{12} \cdot \bar{M}_{O_1}(\bar{F}_3) = 0$ , respectiv momentul forței  $\bar{F}_3$  în raport cu axa  $O_1O_2$  este nul. Pentru a fi nul, această forță ( $\bar{F}_3$ ) trebuie să fie situată în planul definit de cele trei puncte necoliniare  $O_1$ ,  $O_2$  și  $O_3$ . Prin raționamente analoge se concluzionează că și forțele  $\bar{F}_1$  și  $\bar{F}_2$  sunt situate în același plan definit de punctele  $O_1$ ,  $O_2$  și  $O_3$ .

Pentru a demonstra că suporturile forțelor sunt concurente sau paralele se procedează astfel:

**a)** Presupunem că forțele  $\bar{F}_1$  și  $\bar{F}_2$  sunt concurente într-un punct  $O_{12}$  (fig. 2.1) și scriind relația momentului rezultat calculat în raport cu acest punct, ca sumă de momente ale forțelor sistemului  $\bar{F}_1$ ,  $\bar{F}_2$  și  $\bar{F}_3$ , se obține:

$$\bar{M}_{O_{12}}(\bar{F}_3) = 0,$$

dar  $\bar{F}_3 \neq 0$  de unde rezultă că suportul forței  $\bar{F}_3$  trebuie să treacă prin  $O_{12}$ .

*Deci cele trei forțe au suporturile concurente în  $O_{12}$ .*

**b)** Presupunem că forțele  $\bar{F}_1$  și  $\bar{F}_2$  sunt paralele iar forța  $\bar{F}_3$  nu-i paralelă cu acestea, fapt care ar conduce la concurența lui  $\bar{F}_3$  cu suportul lui  $\bar{F}_1$ . Conform celor de la punctul **a)** ar trebui ca și suportul lui  $\bar{F}_2$  să fie

concurrent în același punct cea ce contrazice ipoteza (paralelism între  $\vec{F}_1$  și  $\vec{F}_2$ ), deci și  $\vec{F}_3$  este paralelă cu direcția comună a forțelor  $\vec{F}_1$  și  $\vec{F}_2$ .

### ***2.1.2.3. Sisteme de forțe concurente***

Considerăm punctul de concurență al forțelor chiar punctul ce coincide cu originea sistemului de axe O. Deoarece momentele axiale ale tuturor forțelor sunt nule în raport cu axele sistemului de referință, din cele șase condiții (2.2), rămân ca și condiții scalare de echilibru numai următoarele trei relații:

$$\begin{cases} \sum_{i=1}^n F_{ix} = 0 \\ \sum_{i=1}^n F_{iy} = 0 \\ \sum_{i=1}^n F_{iz} = 0 \end{cases} \quad (2.5)$$

### ***2.1.2.4. Sisteme de cupluri***

Întrucât pentru sistemele de cupluri ecuațiile de proiecții sunt identic satisfăcute, rămân distincte, ca și condiții scalare de echilibru, numai cele trei ecuații de momente, adică:

$$\begin{cases} \sum_{i=1}^n (y_i \cdot F_{iz} - z_i \cdot F_{iy}) = 0 \\ \sum_{i=1}^n (z_i \cdot F_{ix} - x_i \cdot F_{iz}) = 0 \\ \sum_{i=1}^n (x_i \cdot F_{iy} - y_i \cdot F_{ix}) = 0 \end{cases} \quad (2.6)$$

### ***2.1.2.5. Sisteme de forțe coplanare***

Deoarece alegerea sistemului de referință este arbitrară se consideră planul de acțiune al sistemului de forțe ce acționează asupra rigidului suprapus cu planul xOy al triedrului de referință. Această alegere impune  $F_{ix} = 0$  și  $z_i = 0$  și ecuațiile scalare de echilibru (2.2) se reduc la următoarele:

$$\begin{cases} \sum_{i=1}^n F_{ix} = 0 \\ \sum_{i=1}^n F_{iy} = 0 \\ \sum_{i=1}^n (x_i \cdot F_{iy} - y_i \cdot F_{ix}) = 0 \end{cases} \quad (2.7)$$

Se poate afirma așadar că pentru un sistem de forțe coplanare există numai trei ecuații scalare de echilibru: două ecuații de proiecții și o ecuație de momente.

### **2.1.2.6. Sisteme de forțe paralele**

Alegând judicios sistemul de referință, adică axa Oz după direcția comună a forțelor (această alegere nu diminuează din generalitatea problemei), caz în care  $F_{ix} = 0$  și  $F_{iy} = 0$ , ecuațiile scalare de echilibru de forma (2.2) se reduc la următoarele trei:

$$\begin{cases} \sum_{i=1}^n F_{iz} = 0 \\ \sum_{i=1}^n (y_i \cdot F_i) = 0 \\ \sum_{i=1}^n (x_i \cdot F_i) = 0 \end{cases} \quad (2.8)$$

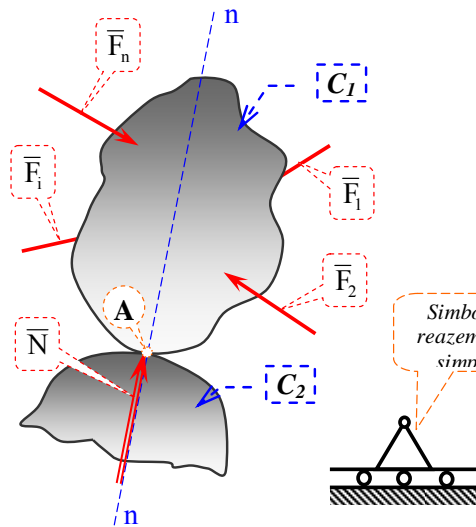
Deci pentru un sistem de forțe paralele există trei ecuații scalare de echilibru, o ecuație de proiecții și două ecuații de momente.

## **2.2. Echilibrul solidului rigid supus la legături ideale**

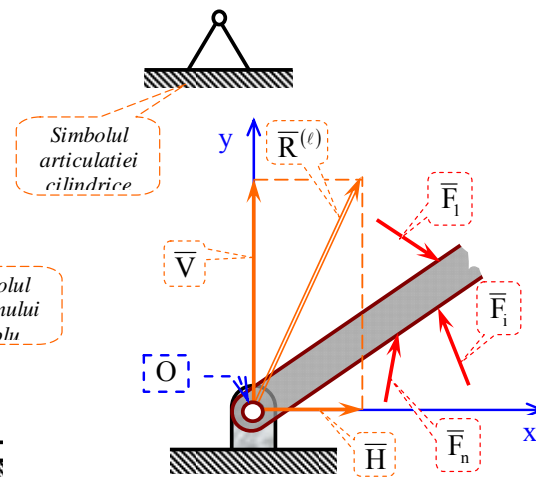
Legăturile pot fi suprimate introducând în locul acestora reacțiunile, forțele de legătură care, din punct de vedere mecanic sunt echivalente cu legăturile. Se eliberează solidul de legături, transformându-l într-unul liber, doar acționat de forțele efectiv aplicate și cele de legătură. În acest caz, condiția necesară și suficientă ca solidul rigid să fie în echilibru este ca tursorul tuturor forțelor efective și de legătură calculat într-un punct oarecare să fie nul.

Legăturile ideale ale solidului rigid:

- *rezemul simplu* (fig. 2.2): un corp care este obligat să rămână în permanență în contact cu un alt corp printr-un punct  $A$ , atunci el este rezemat simplu. Această legătură micșorează numărul gradelor de libertate cu o unitate iar din punct de vedere mecanic introduce o singură necunoscută scalară (mărimea interacțiunii).

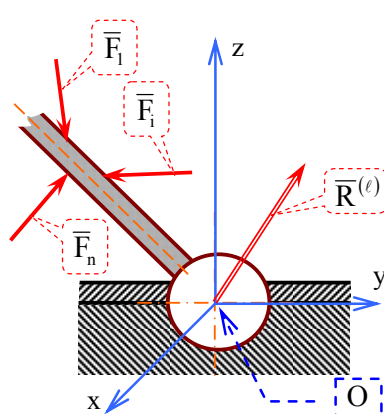


**Fig. 2.2.**

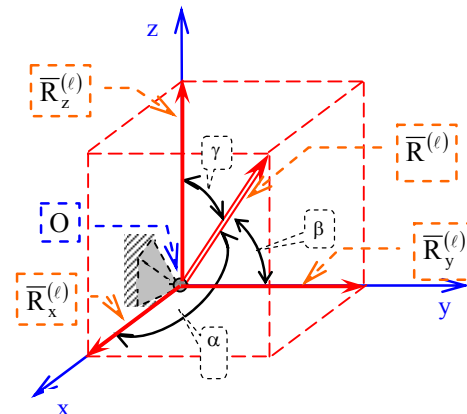


**Fig. 2.3.**

- articulații:
- articulația sferică (fig. 2.4): se întâlnește la corpurile acționate de forțele spațiale și este realizată prin imobilizarea unui punct al solidului rigid într-un punct geometric din spațiu. Geometric acest lucru micșorează numărul gradelor de libertate cu trei, iar mecanic introduce trei necunoscute.



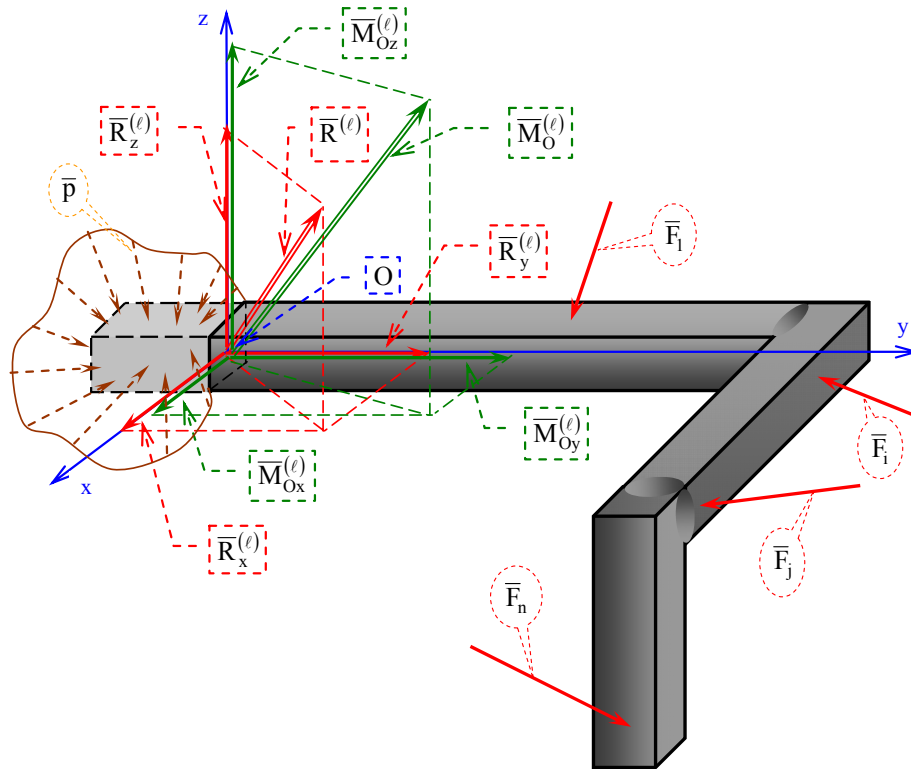
**Fig. 2.4.**



- articulația cilindrică (fig. 2.3): reduce din punct de vedere geometric numărul gradelor de libertate cu două unități, iar din punct de vedere mecanic introduce două necunoscute. Dacă corpul este prin obligarea unui punct al său să se suprapună cu un punct fix din spațiu se realizează articulația cilindrică.

- încastrarea (fig. 2.5): legătura solidului rigid care îl imobilizează în totalitate. Deci, geometric aceasta reduce numărul gradelor de libertate la 0, iar mecanic introduce 6 necunoscute  $[\bar{R}_x^{(\ell)}, \bar{R}_y^{(\ell)}, \bar{R}_z^{(\ell)}; \bar{M}_{Ox}^{(\ell)}, \bar{M}_{Oy}^{(\ell)}, \bar{M}_{Oz}^{(\ell)}]$ . Capătul încastrat în perete este acționat de o infinitate de forțe  $\bar{p}$  ale caror legi

de distribuție sunt necunoscute. Având în vedere că sistemul ecuațiilor de



**Fig. 2.5.**

echilibru are 6 ecuații, nu putem rezolva problema reacțiunii din încastrare, determinând fiecare din cele o infinitate de forțe  $\bar{p}$ . Putem însă calcula torsorul sistemului de forțe de legatură  $\bar{p}$ , în centrul de greutate  $O$  al secțiunii de încastrare, care va fi constituit din vectorul rezultat  $\bar{R}^{(\ell)}$  și vectorul moment rezultat  $\bar{M}^{(\ell)}$ .

## 2.a. STATICA SISTEMELOR DE CORPURI

Sistemul de corpuri este construit dintr-o mulțime de corpuri aflate în interacțiune mecanică permanentă. Problemele de sisteme de corpuri se pot rezolva prin metode bazate pe două teoreme:

### ***Teorema solidificării:***

*Dacă un sistem deformabil de corpuri rigide este în echilibru sub acțiunea unui sistem de forțe efectiv aplicate, el va rămâne în echilibru și dacă se solidifică corpurile între ele, păstrând legăturile exterioare.*

### ***Teorema echilibrului părților:***

*Dacă un sistem de corpuri este în echilibru, acționat fiind de un sistem de forțe efectiv aplicate, orice subsistem din componența sa este în echilibru sub acțiunea forțelor aferente corespunzătoare, care pot fi în cazul cel mai general, forțe efectiv aplicate, forțe de legătură interioare sau forțe de legătură exterioare.*

## APLICAȚII LA CAPITOLELE 2 și 2.a

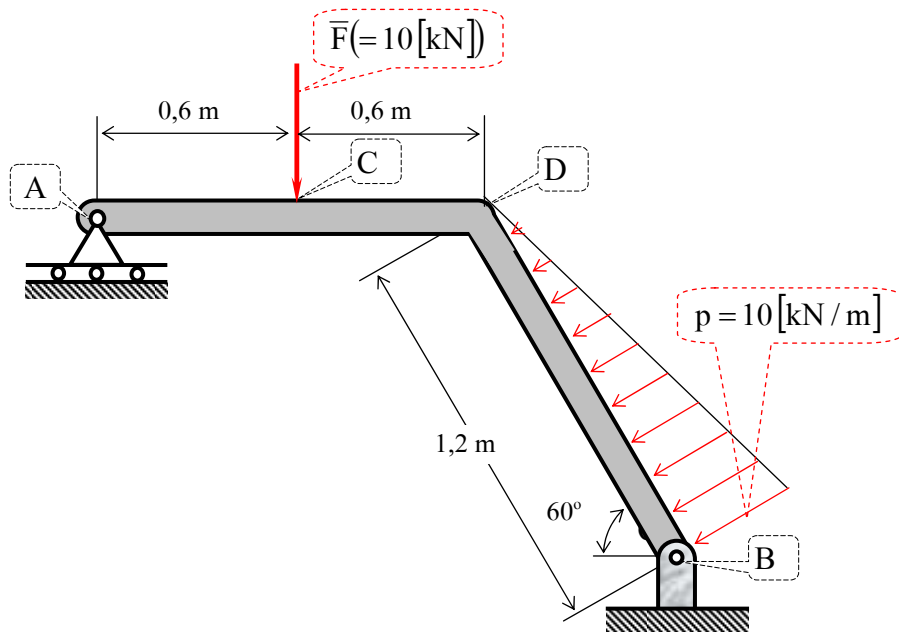


Fig. Apl-2.1

**Apl. 2.1**

Să se determine reacțiunile din capetele A și B ale barei cotite ACDB, supusă acțiunii sistemului de forțe din figura Apl-2.1.

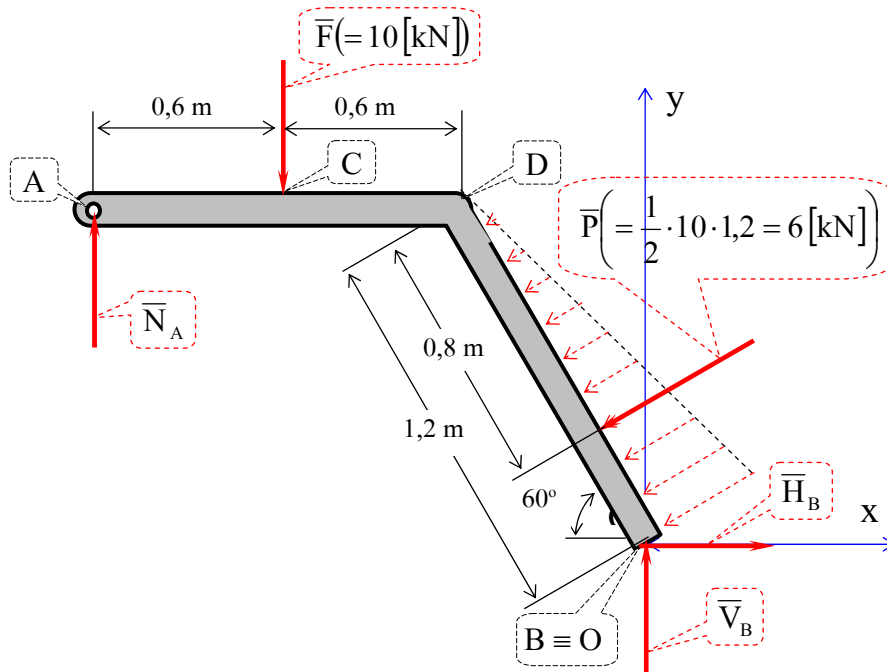


Fig. Apl-2.1.a

**Rezolvare:**

După eliberarea de legături (reazem simplu în A și articulație cilindrică în B) se obține un solid rigid liber dar acționat de forțele efectiv aplicate și de cele de legătură (fig. Apl-2.1.a).

Ecuatiile de echilibru, în

sistemul de referință cartezian cu originea în B, sunt:



$$\begin{cases} H_B - P \cdot \sin 60^\circ = 0, \\ V_B + N_A - F - P \cdot \cos 60^\circ = 0, \\ F \cdot (0,6 + 1,2 \cdot \cos 60^\circ) + P \cdot 0,4 - N_A \cdot (1,2 + 1,2 \cdot \cos 60^\circ) = 0. \end{cases} \quad (1)$$

⇒

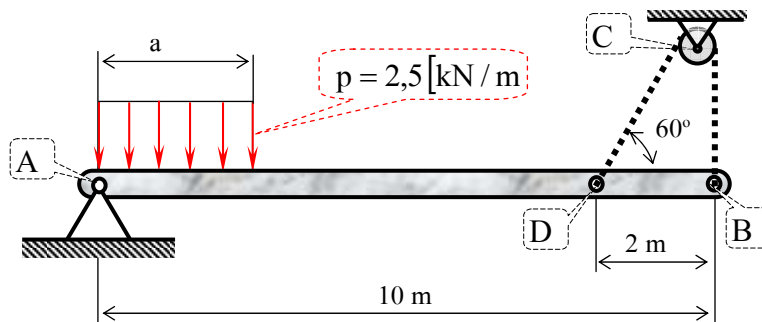
$$N_A = \frac{1}{1,8} \cdot (F \cdot 1,2 + P \cdot 0,4) = \frac{1}{1,8} \cdot (10 \cdot 1,2 + 6 \cdot 0,4) = 8 \text{ [kN]}; \quad \blacklozenge$$

$$H_B = P \cdot \sin 60^\circ = 6 \cdot \sin 60^\circ = 5,196 \text{ [kN]}; \quad \blacklozenge$$

$$V_B = F + P \cdot \cos 60^\circ - N_A = 10 + 6 \cdot \cos 60^\circ - 8 = 5 \text{ [kN]}. \quad \blacklozenge$$

### *Apl. 2.2*

Bara omogenă AB având masa  $m = 100 \text{ [kg]}$  este menținută în poziția orizontală, indicată în fig. Apl-2.2, prin articulația cilindrică din A și cablul BCD trecut peste un scripete în C. Dacă tensiunea maximă suportată de cablul



*Fig. Apl-2.2*

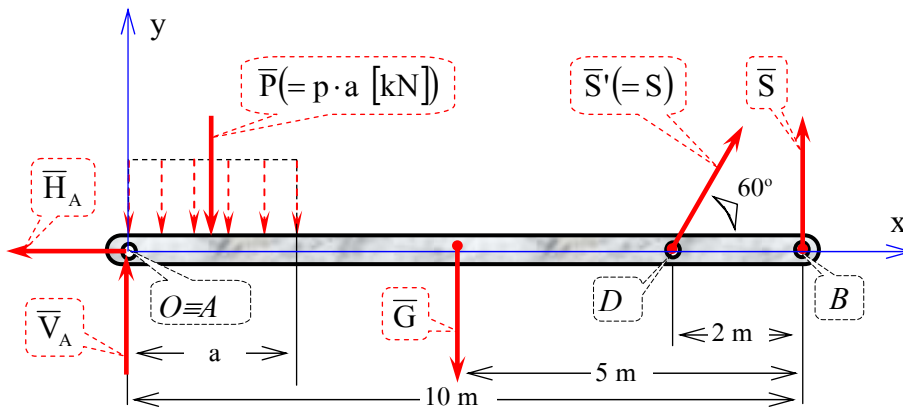
BCD este  $S = 800 \text{ [N]}$  (altfel se rupe) să se determine lungimea maximă  $a_{\max}$ , cu originea de măsurare capătul A, pe care este distribuită sarcina uniformă  $p = 2,5 \text{ [kN/m]}$ .

Apoi să se determine componentele orizontală și verticală ale reacțiunii din A la limita de rupere a cablului.

#### **Rezolvare:**

După eliberarea de legăturile - articulație cilindrică în A și legături cu fir în B și D - se obține un solid rigid liber dar acționat de forțele efectiv aplicate și de cele de legătură (fig. Apl-2.2.a).

Forță efectivă este numai sarcina uniformă  $p = 2,5 \text{ [kN/m]}$  care se



**Fig. Apl-2.2.a**

înlocuiește cu rezultanta corespunzătoare, adică:

$$P = p \cdot a = 2,5 \cdot a \text{ [kN]}$$

Ecuatiile de echilibru, în sistemul de referință cartezian sunt:

$$\begin{cases} S \cdot \cos 60^\circ - H_A = 0, \\ V_A + S' \cdot \sin 60^\circ + S - G - P = 0, \\ S' \cdot \sin 60^\circ \cdot 8 + S \cdot 10 - G \cdot 5 - P \cdot \frac{a}{2} = 0. \end{cases} \quad (1)$$

Tensiunea maximă suportată de cablul BCD este  $S = S' = 800 \text{ [N]}$  astfel că în sistem sunt numai trei necunoscute:  $H_A$ ,  $V_A$  și  $a$ .

Din ecuația(1<sub>3</sub>), după înlocuirea expresiei forței  $P$  în funcție de  $a$ , se obține:

$$\begin{aligned} a &= \sqrt{\frac{2}{p} \cdot (S' \cdot \sin 60^\circ \cdot 8 + S \cdot 10 - G \cdot 5)} = \\ &= \sqrt{\frac{2}{2,5} \cdot [0,8 \cdot (\sin 60^\circ \cdot 8 + 10) - 0,981 \cdot 5]}; \end{aligned}$$

$$\Rightarrow a = 2,63 \text{ [m];} \quad \blacklozenge$$

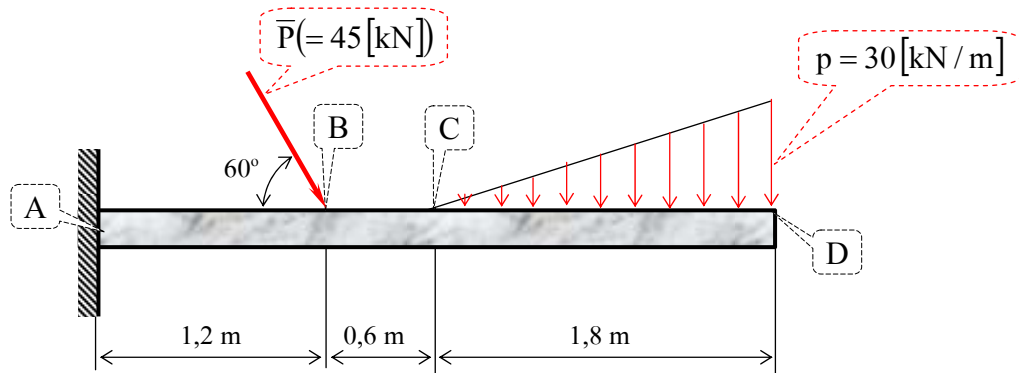
$$H_A = S \cdot \cos 60^\circ = 0,8 \cdot \cos 60^\circ = 0,4 \text{ [kN]} = 400 \text{ [N];} \quad \blacklozenge$$

$$V_A = G + P - S \cdot (\sin 60^\circ + 1) =$$

$$= 0,981 + 2,5 \cdot 2,63 - 0,8 \cdot (\sin 60^\circ + 1) = 6,063 \text{ [kN]}.$$

**Apl. 2.3**

Să se determine componentele forțelor de legătură din încastrarea

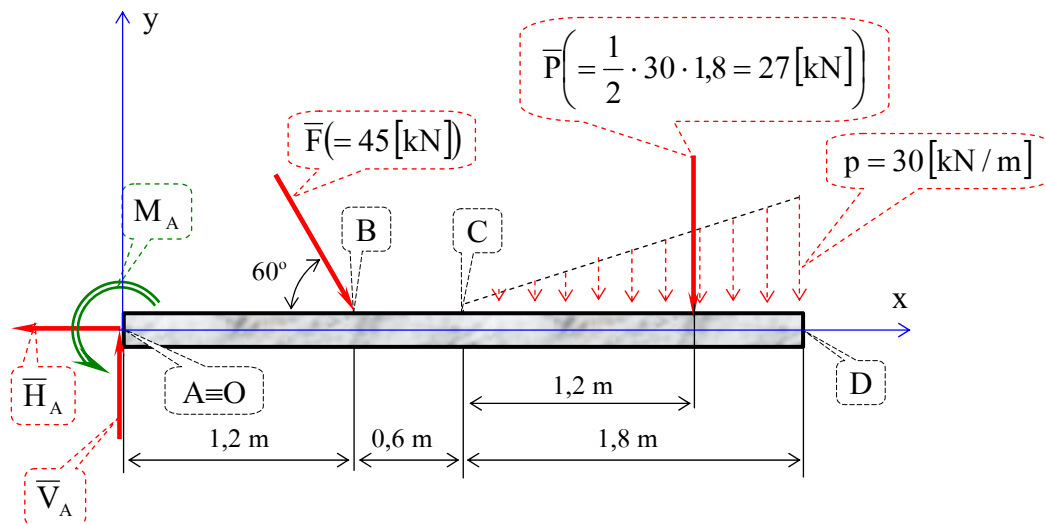


**Fig. Apl-2.3**

A, pentru bara AD supusă acțiunii sistemului de forțe din figura Apl-2.3.

**Rezolvare:**

După eliberarea de legătura încastrare plană se obține un solid rigid liber



**Fig. Apl-2.3.a**

dar acționat de forțele efectiv aplicate și de cele de legătură (fig. Apl-2.3.a).

Ecuțiile de echilibru, în sistemul de referință cartezian cu originea în A, sunt:

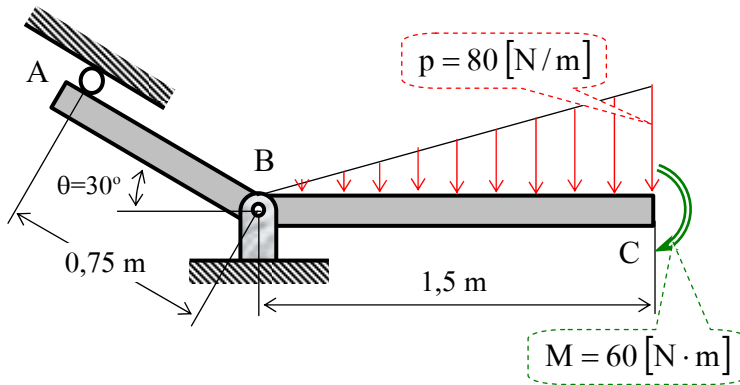
$$\begin{cases} F \cdot \cos 60^\circ - H_A = 0, \\ V_A - F \cdot \sin 60^\circ - P = 0, \\ M_A - F \cdot \sin 60^\circ \cdot 1,2 - P \cdot 3 = 0. \end{cases} \quad (1)$$

$$\Rightarrow H_A = F \cdot \cos 60^\circ = 45 \cdot \cos 60^\circ = \mathbf{22,5 \text{ [kN]}}; \quad \blacklozenge$$

$$V_A = F \cdot \sin 60^\circ + P = 45 \cdot \sin 60^\circ + 27 = \mathbf{65,97 \text{ [kN]}}; \quad \blacklozenge$$

$$M_A = F \cdot \sin 60^\circ \cdot 1,2 + P \cdot 3 = 45 \cdot \sin 60^\circ \cdot 1,2 + 27 \cdot 3 = \mathbf{127,77 \text{ [kN]}}. \quad \blacklozenge$$

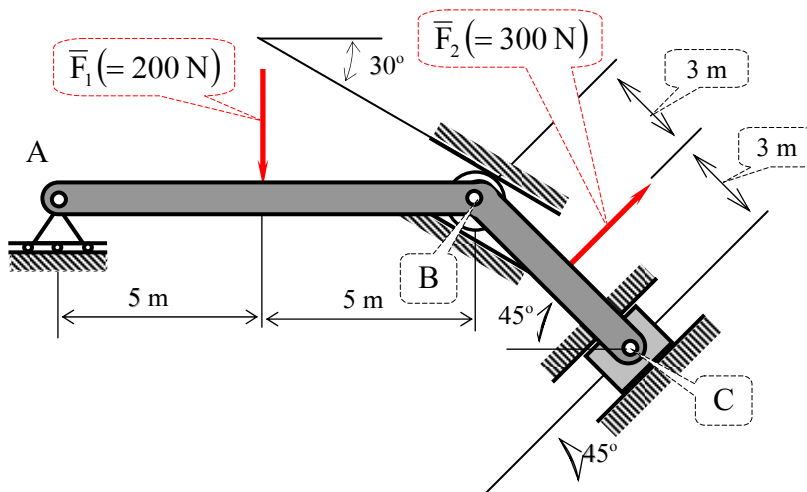
**Apl. 2.4**



**Fig. Apl-2.4**

Bara articulată cilindric în B și rezemată prin rola A pe suprafața înclinată cu  $30^\circ$  față de orizontală (fig. Apl-2.4), este supusă acțiunii forței distribuite liniar  $p = 80 \text{ [N/m]}$  și unui moment  $M = 60 \text{ [N \cdot m]}$ . Să se determine mărimea

reacțiunii din B.



**Fig. Apl-2.5**

**Răspuns:**

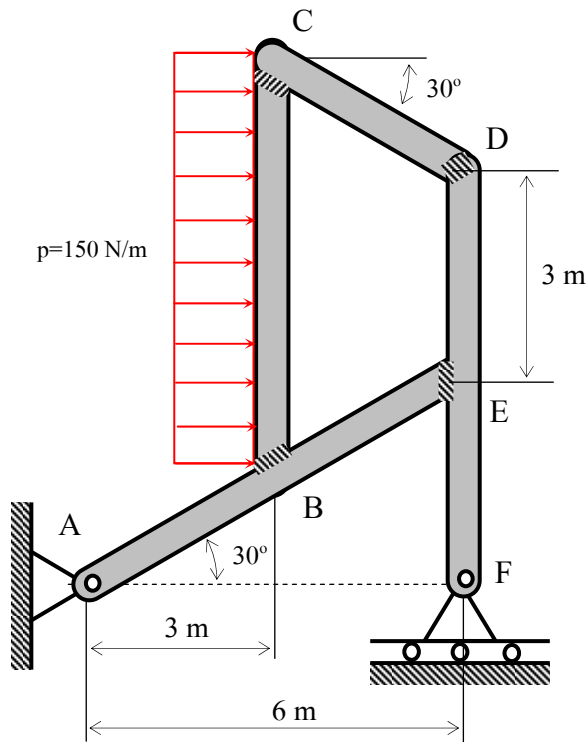
$$R_B = 214,07 \text{ [N]}.$$

**Apl. 2.5**

Să se determine reacțiunile din punctele A, B și C, pentru bara cotită ABC, rezemată în cele trei puncte (fig. Apl-2.5), dacă se

neglijează frecările în toate punctele de rezemare.

**Răspuns:**  $N_A = 190 \text{ [N]}$ ;  $N_B = 303,26 \text{ [N]}$ ;  $N_C = 85,56 \text{ [N]}$ .



**Fig. Apl-2.6**

**Apl. 2.6**

Să se determine forțele de legătură exterioare din punctele A și F, pentru sistemul de bare sudate între ele, din figura Apl-2.6. Sistemul de forțe efective este constituit din sarcina distribuită uniform  $p = 150 \text{ [N/m]}$ .

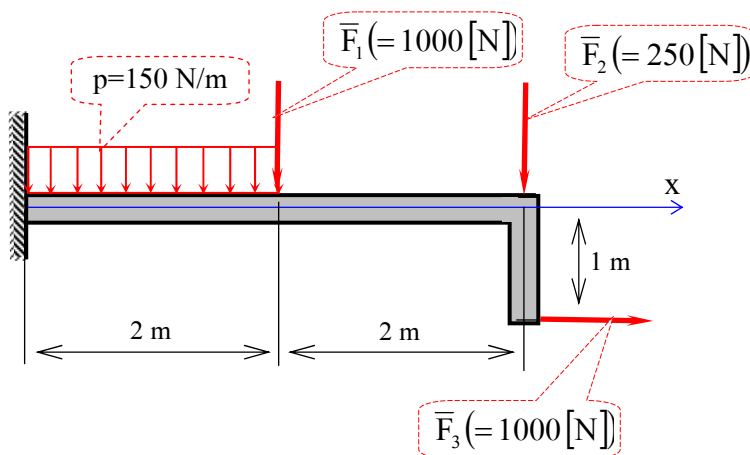
Se neglijează greutatea proprii ale barelor.

**Răspuns:**

$$R_A = 1258,44 \text{ [N]};$$

$$N_F = 802,2 \text{ [N]}.$$

**Apl. 2.7**



**Fig. Apl-2.7**

Să se determine forțele de legătură exterioare (reacțiunile) din încastrare, pentru bara cotită din figura Apl-2.7. Sistemul de forțe efective este constituit din sarcina distribuită uniform  $p = 150 \text{ [N/m]}$  și trei sarcini concentrate (două verticale și una orizontală). Se neglijează greutatea propriei barei.

**Răspuns:**  $R_x^i = 1000 \text{ [N]}$ ;  $R_y^i = 1550 \text{ [N]}$ ;  $M_z^i = 2300 \text{ [N} \cdot \text{m]}$ .

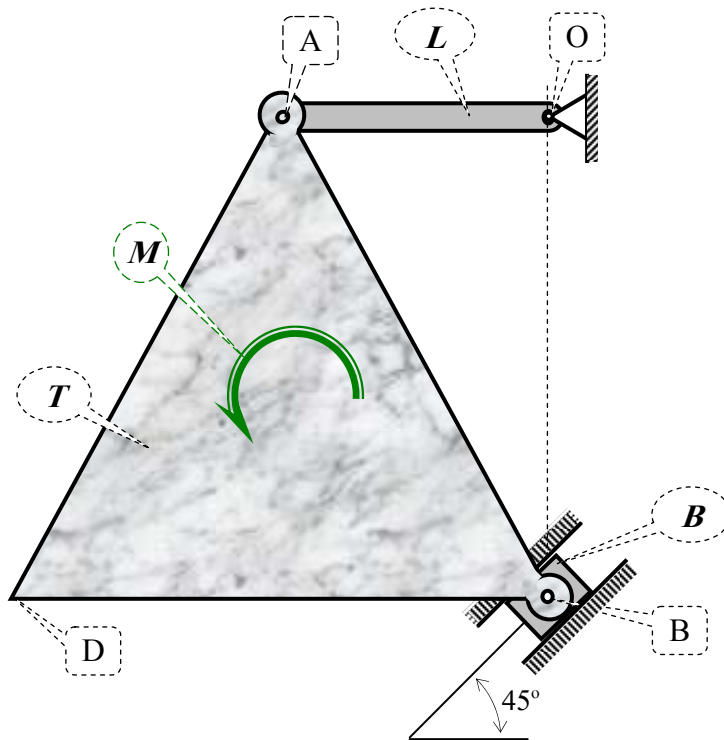


Fig. Apl-2.8

**Răspuns:**  $M = 86,177 \text{ [N} \cdot \text{m]}$ .

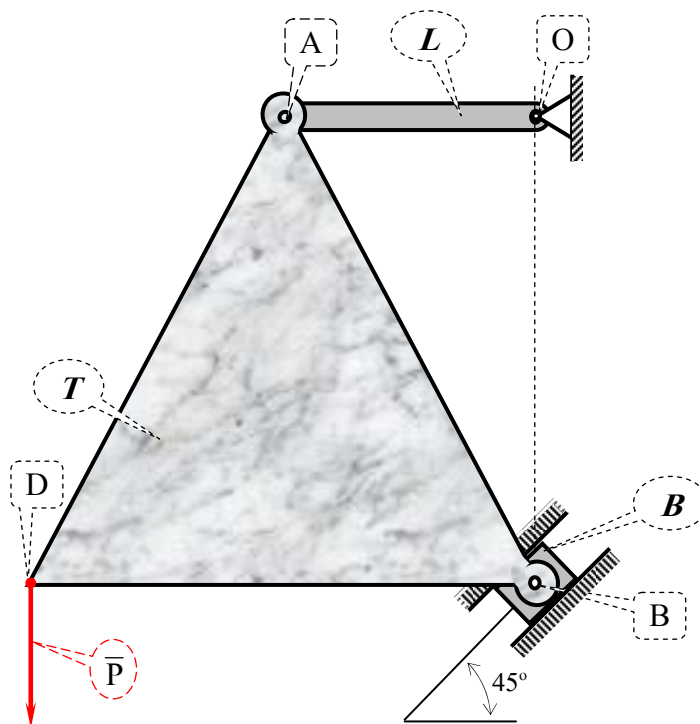


Fig. Apl-2.9

**Apl. 2.8**

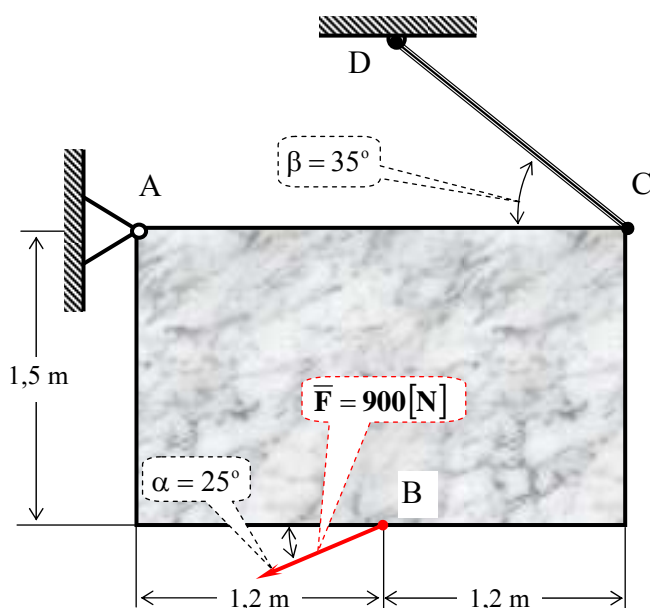
În figura Apl-2.8, placa omogenă (triunghi echilateral având laturile egale cu 0,3m) are masa  $m = 80 \text{ [kg]}$  și este susținută de către bara AO și de piatra de culisă (reazem simplu fără frecare) în punctul B. Să se determine mărimea momentului  $M$ , dacă placa este în echilibru în poziția indicată în figură, sub acțiunea acestui moment și a greutateii proprii.

**Apl. 2.9**

În problema Apl. 2.8 se înlocuiește momentul  $M$  cu o forță verticală  $P$  aplicată în punctul D (fig. Apl-2.9). Să se determine mărimea forței  $P$ , dacă placa este menținută în echilibru sub acțiunea greutateii proprii și a acestei forțe.

**Răspuns:**

$$P = 2144,11 \text{ [N]}.$$



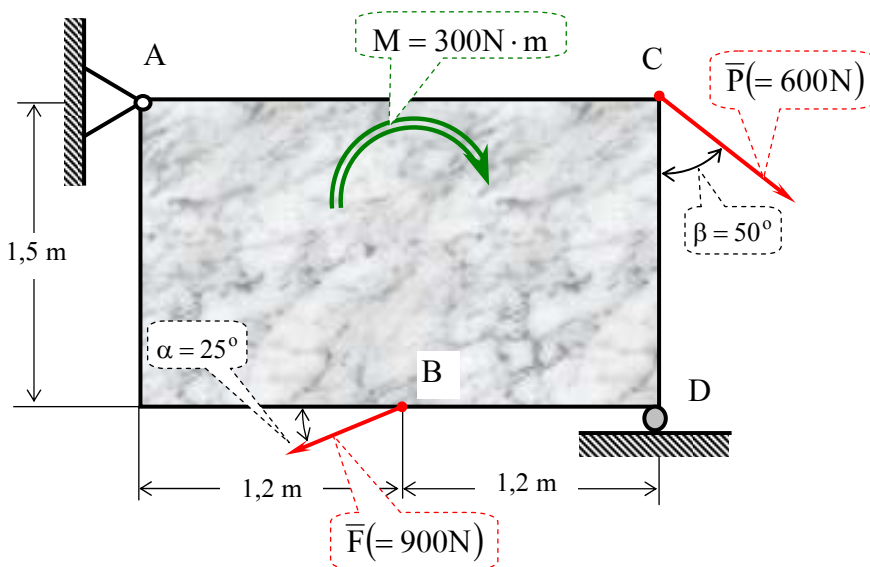
**Apl. 2.10**

Să se determine forța cu care bolțul articulației cilindrice din A acționează asupra plăcii dreptunghiulare de greutate neglijabilă (fig. Apl-2.10), dacă în C placa este suspendată la plafon în D printr-un fir.

**Răspuns:**

$$R_A = 1843 \text{ [N]}.$$

**Fig. Apl-2.10**



**Apl. 2.11**

Repetarea întrebării din problema precedentă-  
**Apl. 2.10**, dacă asupra plăcii acționează un cuplu  $M = 300 \text{ [N} \cdot \text{m]}$  ca în fig. Apl-2.11 și dacă cablul este înlocuit de către o forță efectiv

aplicată  $P = 600 \text{ [N]}$ . De asemenea, placa în acest caz se sprijină pe o rolă în D ca în figură.

**Răspuns:**  $R_A = 569,6 \text{ [N]}.$

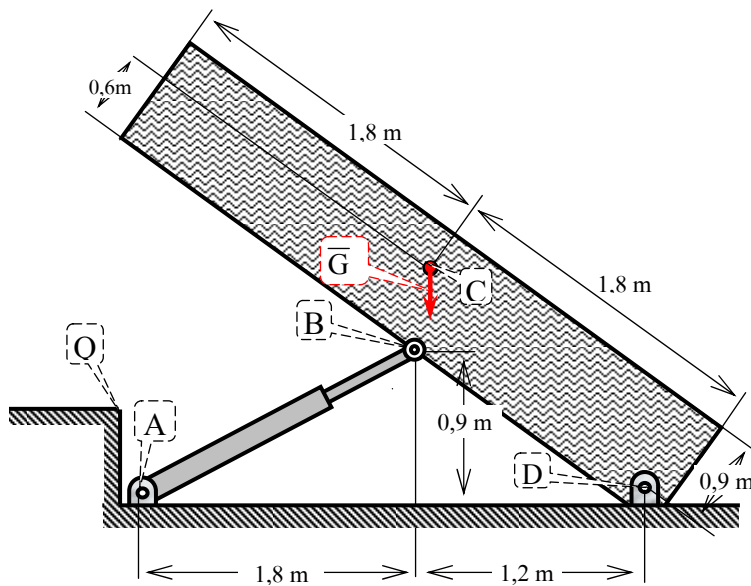


Fig. Apl-2.12

**Apl. 2.12**

Un mecanism de amortizare (menținere) este reprezentat în figura Apl-2.12. Greutatea cuvei împreună cu a conținutului său este  $G = 5.500 \text{ [N]}$ . Cuvă este în echilibru în poziția indicată în figură, centrul de greutate fiind în punctul C. Să se determine mărimea forței  $S_{AB}$  din tija AB a sistemului care constă din cilindrul

hidraulic cu tija corespunzătoare, pentru menținerea și coborârea cuvei.

**Răspuns:**  $S_{AB} = 4427,41 \text{ [N]}$ .

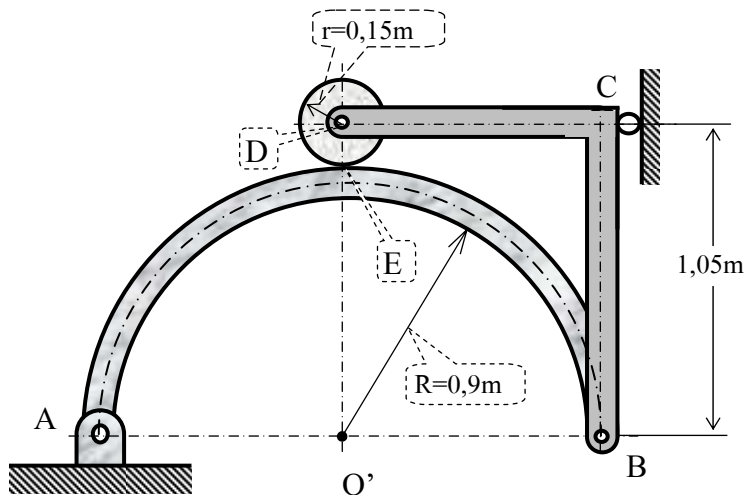


Fig. Apl-2.13

**Apl. 2.13**

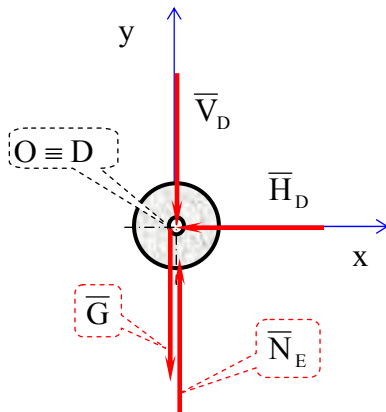
Discul neted (se neglijează frecarea) din figura Apl-2.13 este articulat cilindric în D și are greutatea  $G = 90 \text{ [N]}$ . Dacă se neglijează greutatea barelor să se determine reacțiunile din B și D.

**Rezolvare:**

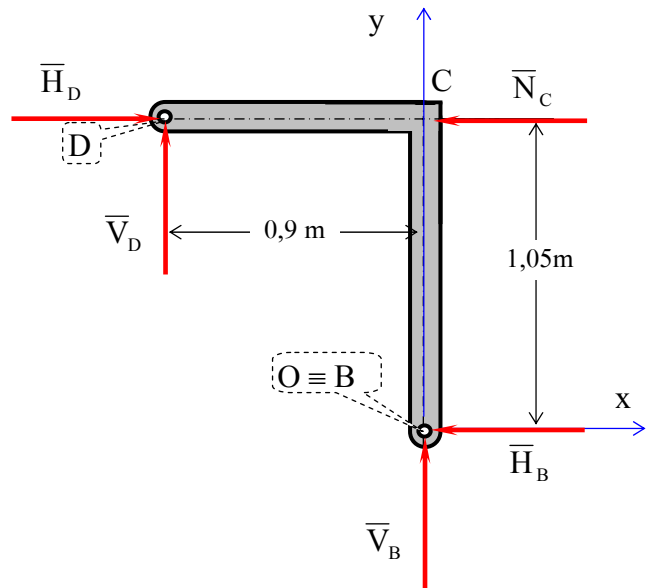
**Metoda  $I^a$ .** Se utilizează teorema echilibrului părților aplicată fiecărui



corp din componența sistemului.

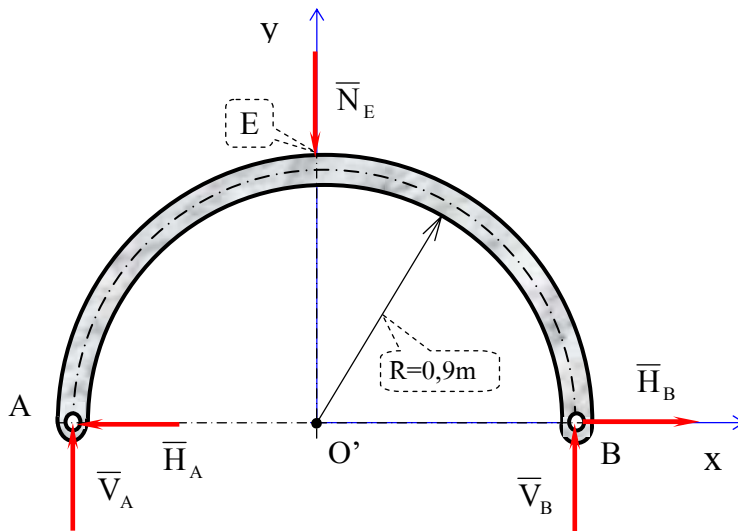


**Fig. Apl-2.13.a**



**Fig. Apl-2.13.b**

Ecuțiile de echilibru pentru discul de greutate  $G = 90\text{[N]}$  (fig. Apl-2.13.a) eliberat de legături (teorema echilibrului părților), în sistemul de referință cartezian cu originea în  $O \equiv D$  situat în centrul discului, sunt:



**Fig. Apl-2.13.c**

$$\begin{cases} -H_D = 0, \\ N_E - V_D - G = 0. \end{cases} \quad (1)$$

Ecuțiile de echilibru pentru bara cotită BCD (fig. Apl-2.13.b) de greutate neglijabilă, eliberată de legături (teorema echilibrului părților),

în sistemul de referință cartezian cu originea în  $B \equiv O$ , sunt:

$$\begin{cases} H_D - N_C - H_B = 0, \\ V_B + V_D = 0, \\ N_C \cdot 1,05 - V_D \cdot 0,9 - H_D \cdot 1,05 = 0. \end{cases} \quad (2)$$

Ecuțiile de echilibru pentru bara semicirculară AEB (fig. Apl-2.13.c) de greutate neglijabilă, eliberată de legături (*teorema echilibrului părților*), în sistemul de referință cartezian cu originea în  $O \equiv O'$ , sunt:

$$\begin{cases} H_B - H_A = 0, \\ V_A - V_B - N_E = 0, \\ -V_B \cdot 0,9 - V_A \cdot 0,9 = 0. \end{cases} \quad (3)$$

Rezolvând sistemul de 8 ecuații liniare constituit din grupurile de ecuații (1), (2) și (3) obținem:

$$\begin{aligned} \text{din ec. (1)} \\ \Rightarrow H_D = 0; \end{aligned} \quad (1')$$

$$\begin{aligned} \text{din ec. (3)} \\ \Rightarrow H_A = H_B; \end{aligned} \quad (3')$$

$$\begin{aligned} \text{din ec. (3)} \\ \Rightarrow V_A = -V_B; \end{aligned} \quad (3')$$

$$\begin{aligned} \text{din ec. (2)} \\ \Rightarrow V_B = -V_D; \end{aligned} \quad (2')$$

$$\begin{aligned} \text{din ec. (2)} \\ \Rightarrow N_C = -H_B; \end{aligned} \quad (2')$$

$$\begin{aligned} \text{din ec. (3)} \text{ și } (3') \\ \Rightarrow N_E = V_A - V_B = 2 \cdot V_A = -2 \cdot V_B; \end{aligned} \quad (3')$$

$$\text{din ec. (1)}$$

$$\Rightarrow N_E = G + V_D; \quad (1_2')$$

din rel. (3<sub>2</sub>' ), (1<sub>2</sub>' ) și (2<sub>2</sub>' )

$$\Rightarrow G - V_B = -2 \cdot V_B \quad \text{și} \quad \Rightarrow V_B = -V_D = -G = -90 \text{ [N]}; \quad \blacklozenge$$

din ec. (2<sub>3</sub>)

$$\Rightarrow N_C = \frac{0,9}{1,05} \cdot V_D = \frac{0,9}{1,05} \cdot 90 = 77,143 \text{ [N]}; \quad (2_3') \quad \blacklozenge$$

din rel. (3<sub>1</sub>' ), (2<sub>1</sub>' ) și (2<sub>3</sub>' )

$$\Rightarrow H_A = H_B = -N_C = -77,143 \text{ [N]}; \quad (2_3') \quad \blacklozenge$$

din rel. (3<sub>2</sub>' )

$$\Rightarrow N_E = 2 \cdot V_A = 2 \cdot 90 = 180 \text{ [N]}. \quad \blacklozenge$$

*Rezolvarea sistemului constituit din grupurile (1), (2) și (3), având 8 ecuații și 8 necunoscute, cu ajutorul procedurilor din MATHCAD. În tabel sunt introduși coeficienții necunoscutelor sistemului și termenii liberi.*

<i>Nec. → Nr. ec. ↓</i>	<b><i>H<sub>D</sub></i></b>	<b><i>V<sub>D</sub></i></b>	<b><i>N<sub>E</sub></i></b>	<b><i>H<sub>B</sub></i></b>	<b><i>V<sub>B</sub></i></b>	<b><i>N<sub>C</sub></i></b>	<b><i>H<sub>A</sub></i></b>	<b><i>V<sub>A</sub></i></b>	<i>Term. liber</i>
<b><i>1<sub>1</sub></i></b>	-1	0	0	0	0	0	0	0	0
<b><i>1<sub>2</sub></i></b>	0	-1	1	0	0	0	0	0	90
<b><i>2<sub>1</sub></i></b>	1	0	0	-1	0	-1	0	0	0
<b><i>2<sub>2</sub></i></b>	0	1	0	0	1	0	0	0	0
<b><i>2<sub>3</sub></i></b>	-1,05	-0,9	0	0	0	1,05	0	0	0
<b><i>3<sub>1</sub></i></b>	0	0	0	1	0	0	-1	0	0
<b><i>3<sub>2</sub></i></b>	0	0	-1	0	-1	0	0	1	0
<b><i>3<sub>3</sub></i></b>	0	0	0	0	-0,9	0	0	-0,9	0

Enter a non-singular matrix corresponding to the n equations in n unknowns:

$$M := \begin{pmatrix} -1 & 0 & 0 & 0 & 0 & 0 & 0 & 0 \\ 0 & -1 & 1 & 0 & 0 & 0 & 0 & 0 \\ 1 & 0 & 0 & -1 & 0 & -1 & 0 & 0 \\ 0 & 1 & 0 & 0 & 1 & 0 & 0 & 0 \\ -1.05 & -0.9 & 0 & 0 & 0 & 1.05 & 0 & 0 \\ 0 & 0 & 0 & 1 & 0 & 0 & -1 & 0 \\ 0 & 0 & -1 & 0 & -1 & 0 & 0 & 1 \\ 0 & 0 & 0 & 0 & -0.9 & 0 & 0 & -0.9 \end{pmatrix}$$

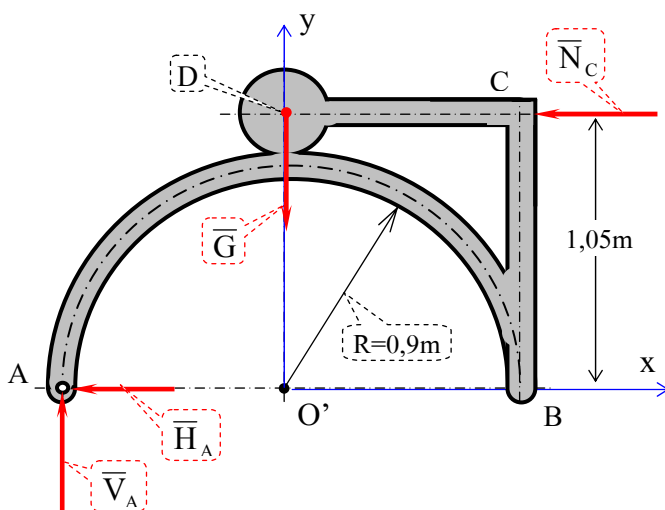
Enter a vector of n constants:

$$v := \begin{pmatrix} 0 \\ 90N \\ 0 \\ 0 \\ 0 \\ 0 \\ 0 \\ 0 \end{pmatrix}$$

soln := lsolve(M, v)

Solution:  $\text{soln} = \begin{pmatrix} 0 \\ 90 \\ 180 \\ -77.14286 \\ -90 \\ 77.14286 \\ -77.14286 \\ 90 \end{pmatrix} N$

Deci rezultatele obținute pe cele două căi sunt identice.

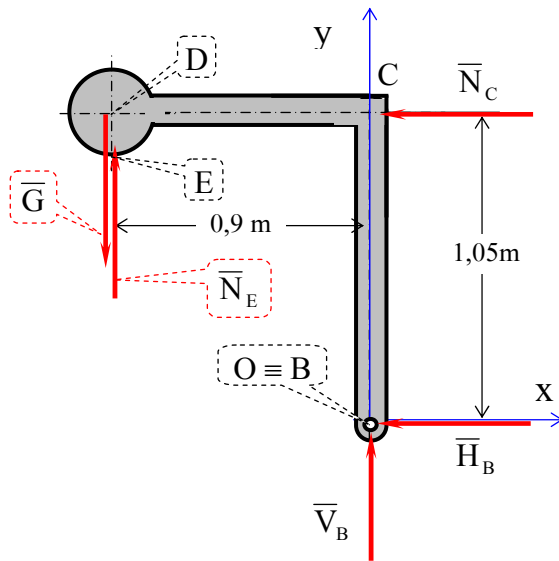


**Fig. Apl-2.13.d**

**Metoda II<sup>a</sup>.**

Se utilizează *teorema solidificării* pentru întreg sistemul de corpuri (fig. Apl-2.13.d) la care se adaugă *teorema echilibrului părților* pentru subsistemul constituit din disc și tija BCD (fig. Apl-2.13.e).

Ecuțiile de echilibru pentru întreg sistemul de corpuri solidificat (fig. Apl-2.13.d), în sistemul de



**Fig. Apl-2.13.e**

referință cartezian cu originea în O', sunt:

$$\begin{cases} -H_A - N_C = 0, \\ V_A - G = 0, \\ N_C \cdot 1,05 - V_A \cdot 0,9 = 0. \end{cases} \quad (4)$$

Ecuțiile de echilibru pentru subsistemul solidificat, constituit din bara cotită BCD de greutate neglijabilă și discul de greutate  $G = 90[\text{N}]$  (teorema echilibrului părților + teorema solidificării), în sistemul de referință cartezian cu originea în  $B \equiv O$  (fig. Apl-2.13.e), sunt:

$$\begin{cases} H_B + N_C = 0, \\ N_E - G - V_B = 0, \\ N_C \cdot 1,05 + G \cdot 0,9 - N_E \cdot 0,9 = 0. \end{cases} \quad (5)$$

Rezolvând sistemul de 6 ecuații liniare constituit din grupurile de ecuații (4) și (5) obținem:

din ec. (4<sub>1</sub>) și (5<sub>1</sub>)

$$\Rightarrow H_A = H_B = -N_C; \quad (4_1')$$

din ec. (4<sub>2</sub>)

$$\Rightarrow V_A = G = 90 [\text{N}]; \quad (4_2') \blacklozenge$$

din ec. (4<sub>3</sub>) și (4<sub>2</sub>')

$$\Rightarrow N_C = \frac{0,9}{1,05} \cdot V_A = \frac{0,9}{1,05} \cdot 90 = 77,143 [\text{N}]; \quad (4_3') \blacklozenge$$

din ec. (4<sub>1</sub>') și (4<sub>3</sub>')

$$\Rightarrow H_A = H_B = -77,143 [\text{N}]; \quad (4_1'')$$

din ec. (5<sub>2</sub>) și (5<sub>3</sub>)

$$\Rightarrow G + V_B = G + N_C \cdot \frac{1,05}{0,9} \text{ și } V_B = 90 \text{ [N]}; \quad (5_2') \quad \blacklozenge$$

din ec. (5<sub>2</sub>) și (5<sub>2</sub>' )

$$\Rightarrow N_E = G + V_B = 90 + 90 = 180 \text{ [N]}. \quad \blacklozenge$$

Apoi din figura (fig. Apl-2.13.a) se determină componentele reacțiunilor din articulația cilindrică D, astfel că:

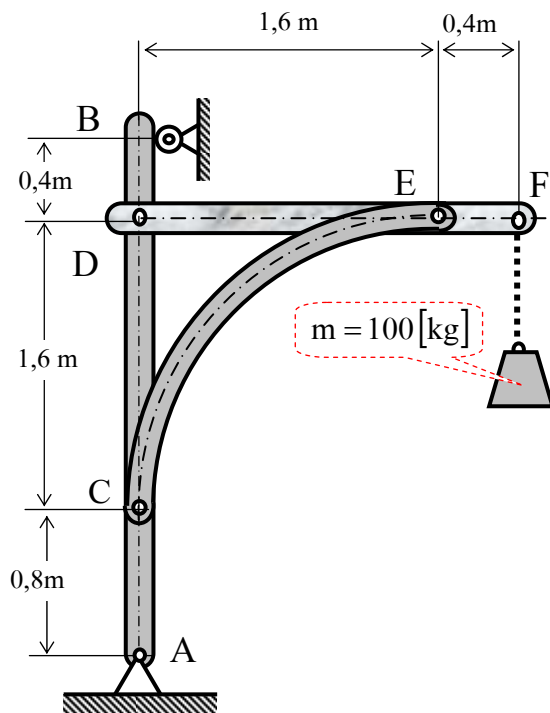
$$\begin{aligned} \Rightarrow H_D &= 0, \\ V_D &= N_E - G = 180 - 90 = 90 \text{ [N]}. \end{aligned} \quad \blacklozenge$$

Deci reacțiunile din articulațiile cilindrice B și D rezultă prin aplicarea regulii paralelogramului, adică:

$$R_B = \sqrt{(H_B)^2 + (V_B)^2} = \sqrt{(77,143)^2 + (90)^2} = 118,537 \text{ [N]} \quad \blacklozenge$$

și 
$$R_D = \sqrt{(H_D)^2 + (V_D)^2} = \sqrt{(0)^2 + (90)^2} = 90 \text{ [N]}. \quad \blacklozenge$$

### Apl. 2.14



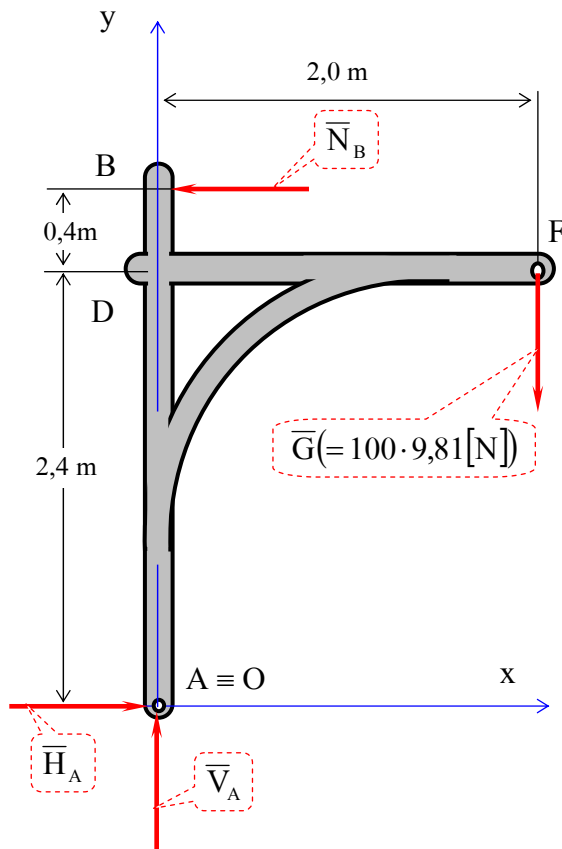
*Fig. Apl-2.14*

Să se determine componentele orizontală și verticală ale forței cu care știftul din articulația cilindrică din D (legătură interioară) acționează asupra barei ACDB și ale reacțiunii din A pentru sistemul de corpuri reprezentat în figura Apl-2.14, supus acțiunii unei sarcini de masă  $m = 100 \text{ [kg]}$  aplicată în punctul F. Se neglijează greutatea barelor sistemului.

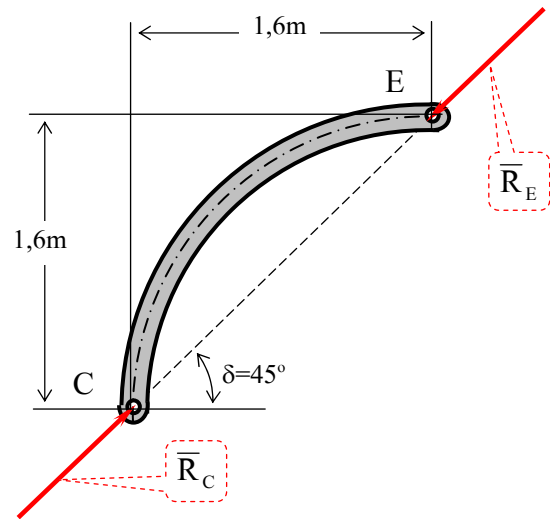
#### **Rezolvare:**

Se utilizează teorema solidificării pentru întreg sistemul de

corpuri (fig. Apl-2.14.a) la care se adaugă *teorema echilibrului părților* pentru bara curbă CE (fig. Apl-2.14.b), respectiv bara dreaptă DEF (fig. Apl-2.14.c).



**Fig. Apl-2.14.a**



**Fig. Apl-2.14.b**

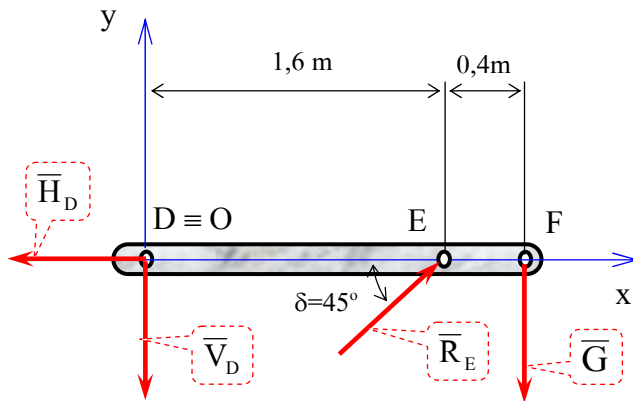
Ecuțiile de echilibru pentru întreg sistemul de corpuri solidificat (fig. Apl-2.14.a), în sistemul de referință cartezian cu originea în  $O \equiv A$ , sunt:

$$\begin{cases} H_A - N_B = 0, \\ V_A - G = 0, \\ N_B \cdot 2,8 - G \cdot 2 = 0. \end{cases} \quad (1)$$

$$\Rightarrow \begin{cases} N_B = \frac{G \cdot 2}{2,8} = \frac{100 \cdot 9,81 \cdot 2}{2,8} = 700,71 \text{ [N]}; \\ H_A = N_B = 700,71 \text{ [N]}; \\ V_A = G = 981 \text{ [N]}. \end{cases}$$

Din figura (fig. Apl-2.14.b) se stabilește direcția reacțiunii  $R_E$  din articulația cilindrică E, care apoi se utilizează în figura (fig. Apl- 2.14.c).

Ecuțiile de echilibru pentru subsistemul constituit numai din bara DEF de greutate neglijabilă (*teorema echilibrului părților*), în sistemul de referință cartezian cu originea în  $D \equiv O$  (fig. Apl- 2.14.c), sunt:



$$\begin{cases} R_E \cdot \cos 45^\circ - H_D = 0, \\ R_E \cdot \sin 45^\circ - V_D - G = 0, \\ R_E \cdot \sin 45^\circ \cdot 1,6 - G \cdot 2 = 0. \end{cases} \quad (2)$$

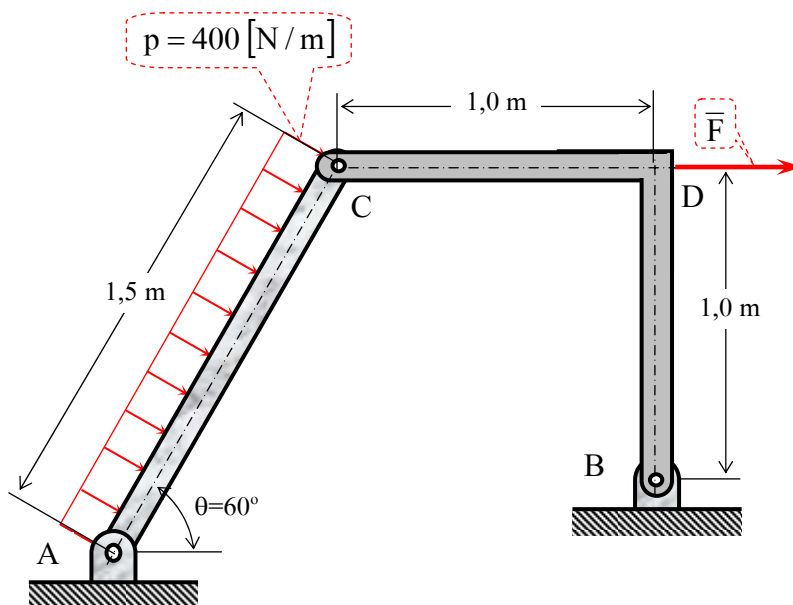
Rezolvând sistemul de 3 ecuații liniare (2) obținem:

**Fig. Apl-2.14.c**

$$\Rightarrow R_E = \frac{G \cdot 2}{\sin 45^\circ \cdot 1,6} = \frac{981 \cdot 2}{\sin 45^\circ \cdot 1,6} = 1734,18 \text{ [N]};$$

$$\Rightarrow H_D = R_E \cdot \cos 45^\circ = 1734,18 \cdot \cos 45^\circ = 1226,25 \text{ [N]}; \quad \blacklozenge$$

$$\Rightarrow V_D = R_E \cdot \sin 45^\circ - G = 1226,25 - 981 = 245,25 \text{ [N]}. \quad \blacklozenge$$



**Fig. Apl-2.15**

**Apl. 2.15**

**Încărcarea** pentru sistemul de corpuri din figura Apl-2.15 este realizată printr-o forță distribuită pe bara dreaptă AC de intensitate  $p = 400 \text{ [N/m]}$  și o forță concentrată  $F$  orizontală aplicată în punctul D.

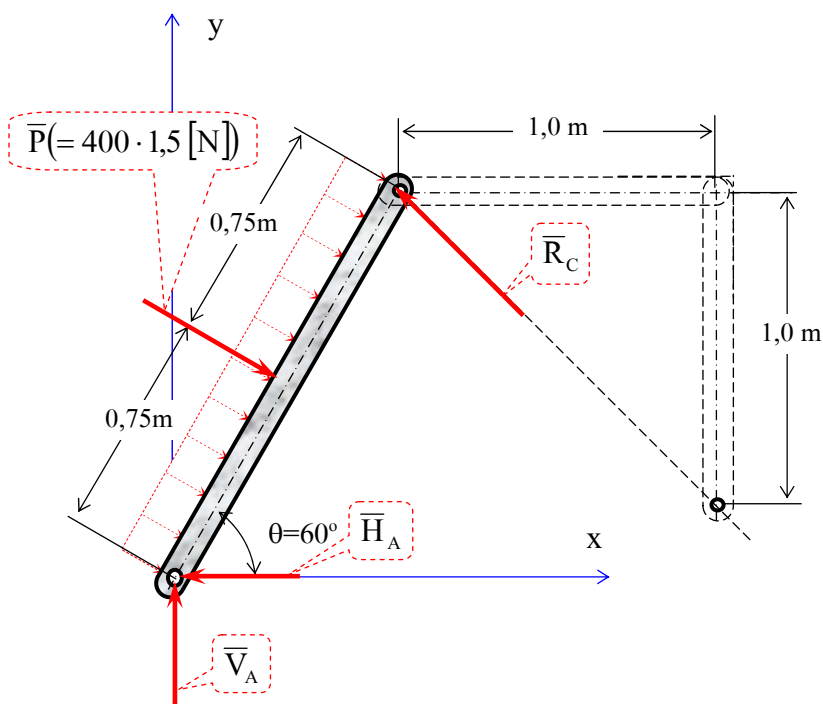
Pentru  $F = 0$  să se determine

mărimile componentelor orizontale și verticale ale reacțiilor din A și B.



**Rezolvare:**

Se aplică *teorema echilibrului părților* pentru bara AC (fig. Apl-2.15.a) avându-se în vedere că între punctele C și B este o legătură cu tijă rigidă încărcată numai prin forțele de legătură din articulațiile cilindrice B (forță de legătură exterioară) respectiv C (forță de legătură interioară) astfel că direcțiile acestora sunt cunoscute – direcția dreptei CB și mărimile necunoscute.



**Fig. Apl-2.15.a**

Înainte de scrierea ecuațiilor de echilibru se înlocuiește forța distribuită în lungul barei AC -  $p = 400 \text{ [N/m]}$  cu forța echivalentă -  $P = p \cdot 1,5 = 400 \text{ [N/m]} \cdot 1,5 \text{ [m]} = 600 \text{ [N]}$  aplicată la jumătatea distanței dintre A și C.

Ecuțiile de echilibru pentru bara AC, în sistemul de referință cartezian cu originea în A, sunt:

$$\begin{cases} -H_A - R_C \cdot \cos 45^\circ + P \cdot \cos 30^\circ = 0, \\ V_A + R_C \cdot \sin 45^\circ - P \cdot \sin 30^\circ = 0, \\ R_C \cdot \sin 75^\circ \cdot 1,5 - P \cdot 0,75 = 0. \end{cases} \quad (1)$$

Rezolvând sistemul de trei ecuații liniare (1) obținem:

- din ec. (1<sub>3</sub>)

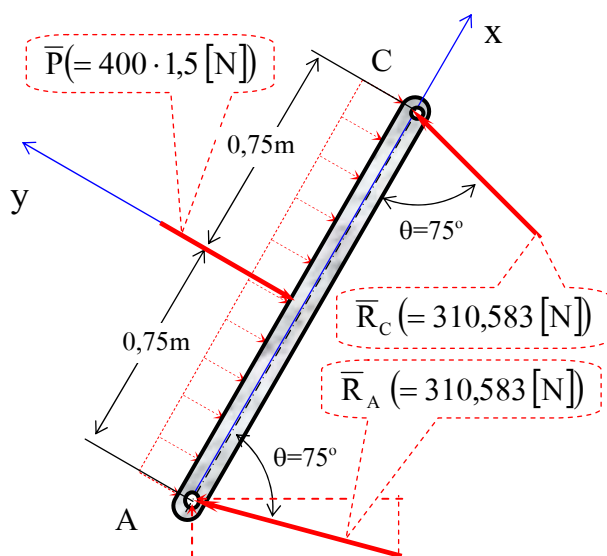
$$\Rightarrow R_C = \frac{P \cdot 0,75}{1,5 \cdot \sin 75^\circ} = \frac{600 \cdot 0,75}{1,5 \cdot \sin 75^\circ} = 310,583 \text{ [N]}; \quad (1_3')$$

- din ec. (1<sub>1</sub>)

$$\begin{aligned}
 H_A &= P \cdot \cos 30^\circ - R_C \cdot \cos 45^\circ = \\
 &= 600 \cdot \cos 30^\circ - 310,583 \cdot \cos 45^\circ = \mathbf{300 \text{ [N]}}; \quad (1_1')
 \end{aligned}$$

- din ec. (1<sub>2</sub>)

$$\begin{aligned}
 V_A &= P \cdot \sin 30^\circ - R_C \cdot \sin 45^\circ = \\
 &= 600 \cdot \sin 30^\circ - 310,583 \cdot \sin 45^\circ = \mathbf{80,385 \text{ [N]}}. \quad (1_2')
 \end{aligned}$$



**Fig. Apl-2.15.b**

Deci, reacțiunea din articulația cilindrică C (legătură interioară) este deja determinată rel. (1<sub>3</sub>') astfel că este determinată și cea din articulația cilindrică B (legătură exterioară):

$$R_B = R_C = 310,583 \text{ [N]}, \blacklozenge$$

iar cea din A rezultă prin aplicarea regulii paralelogramului, adică:

$$R_A = \sqrt{(H_A)^2 + (V_A)^2} = \sqrt{(300)^2 + (80,385)^2} = 310,583 \text{ [N]}. \quad \blacklozenge$$

*Verificarea rezultatului (vezi fig. Apl-2.15.b):*

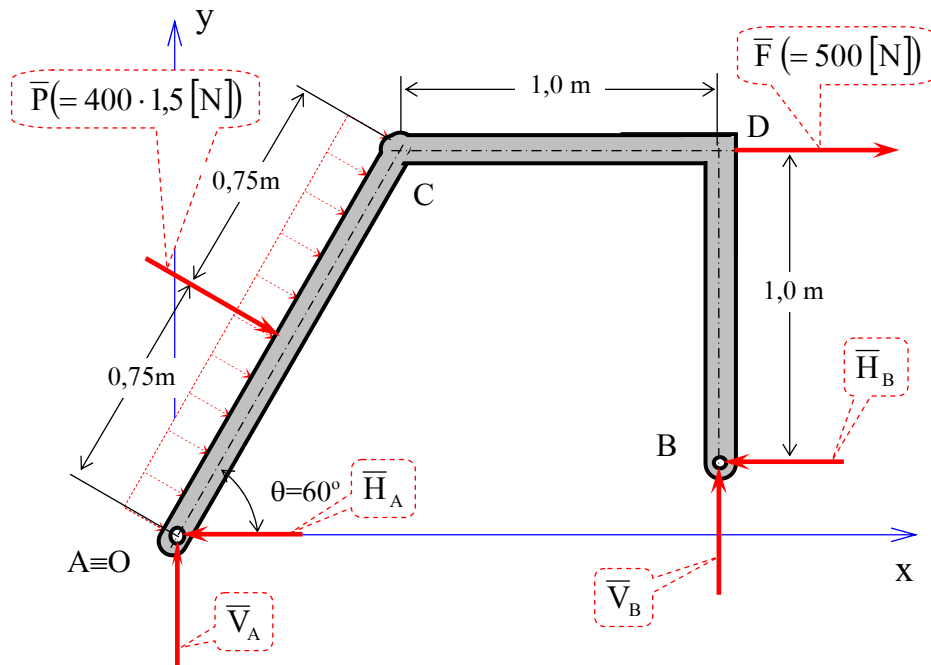
$$\begin{cases}
 R_C \cdot \cos 75^\circ - R_A \cdot \cos 75^\circ = 0, \\
 P - R_C \cdot \sin 75^\circ - R_A \cdot \sin 75^\circ = 0, \\
 R_C \cdot \sin 75^\circ \cdot 0,75 - R_A \cdot \sin 75^\circ \cdot 0,75 = 0.
 \end{cases}$$

apoi prin înlocuirea valorilor determinate mai sus, se obține:

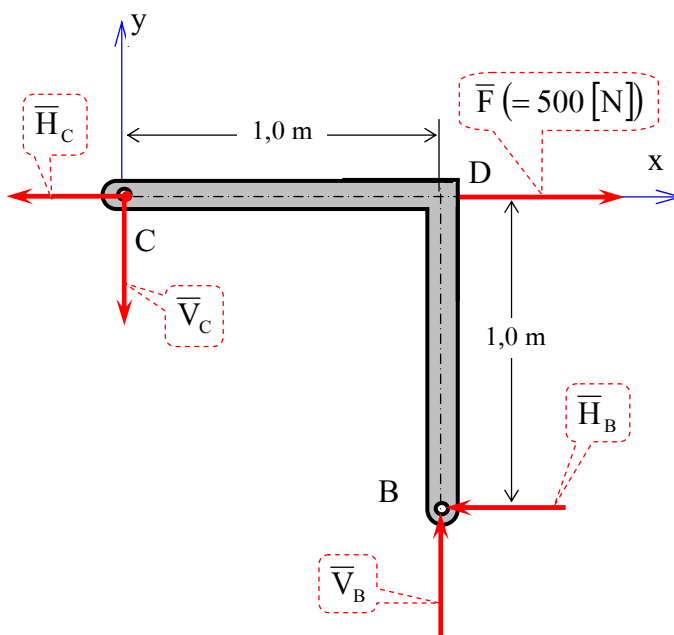
$$\begin{cases}
 310,583 \cdot \cos 75^\circ - 310,583 \cdot \cos 75^\circ = 0, \\
 600 - 310,583 \cdot \sin 75^\circ - 310,583 \cdot \sin 75^\circ = 0, \\
 310,583 \cdot \sin 75^\circ \cdot 0,75 - 310,583 \cdot \sin 75^\circ \cdot 0,75 = 0.
 \end{cases}$$

**Apl. 2.16**

Încărcarea pentru sistemul de corpuri din figura Apl-2.15 din problema **Apl. 2.15**, este realizată printr-o forță distribuită pe bara dreaptă AC de intensitate  $p = 400 \text{ [N/m]}$  și o forță concentrată  $F = 500 \text{ [N]}$  orizontală aplicată

**Fig. Apl-2.16.a**

în punctul D (fig. Apl-2.16.a). Să se determine mărimile componentelor orizontale și verticale ale reacțiunilor din A și B.

**Fig. Apl-2.16.b****Rezolvare:**

Se utilizează teorema solidificării pentru întreg sistemul de corpuri (fig. Apl-2.16.a) la care se adaugă teorema echilibrului părților pentru bara cotită BDC (fig. Apl-2.16.b).

Ecuatiile de echilibru pentru întreg sistemul de corpuri solidificat (fig. Apl-2.16.a), în sistemul de

referință cartezian cu originea în  $O \equiv A$ , sunt:

$$\begin{cases} -H_A - H_B + F + P \cdot \cos 30^\circ = 0, \\ V_A + V_B - P \cdot \sin 30^\circ = 0, \\ H_B \cdot (1,3 - 1) + V_B \cdot (1 + 0,75) - F \cdot 1,3 - P \cdot 0,75 = 0. \end{cases} \quad (1)$$

Ecuțiile de echilibru pentru subsistemul constituit numai din bara cotită BDC (fig. Apl-2.16.b) de greutate neglijabilă (*teorema echilibrului părților*), în sistemul de referință cartezian cu originea în  $C \equiv O$ , sunt:

$$\begin{cases} -H_B - H_C + F = 0, \\ -V_B - V_C = 0, \\ V_B \cdot 1 - H_B \cdot 1 = 0. \end{cases} \quad (2)$$

Rezolvând sistemul de 6 ecuații liniare constituit din grupurile de ecuații (1) și (2) obținem:

din ec. (2<sub>3</sub>)

$$\Rightarrow V_B = H_B; \quad (2_3')$$

din ec. (2<sub>2</sub>) cu (2<sub>3</sub>')

$$\Rightarrow V_C = V_B = H_B; \quad (2_2')$$

din ec. (1<sub>3</sub>) cu (2<sub>3</sub>')

$$\begin{aligned} \Rightarrow V_B = H_B &= \frac{1}{2,05} \cdot (F \cdot 1,3 + P \cdot 0,75) = \\ &= \frac{1}{2,05} \cdot (500 \cdot 1,3 + 600 \cdot 0,75) = 536,585 \text{ [N]}; \end{aligned}$$

din ec. (1<sub>2</sub>)

$$\begin{aligned} \Rightarrow V_A &= P \cdot \sin 30^\circ - V_B = \\ &= 600 \cdot \sin 30^\circ - 536,585 = -236,585 \text{ [N]}; \end{aligned}$$

din ec. (1<sub>1</sub>)

$$\begin{aligned} \Rightarrow H_A &= F + P \cdot \cos 30^\circ - H_B = \\ &= 500 + 600 \cdot \cos 30^\circ - 536,585 = 483,032 \text{ [N]}. \end{aligned}$$

Deci, reacțiunile din articulațiile cilindrice A și B rezultă prin aplicarea regulii paralelogramului, adică:

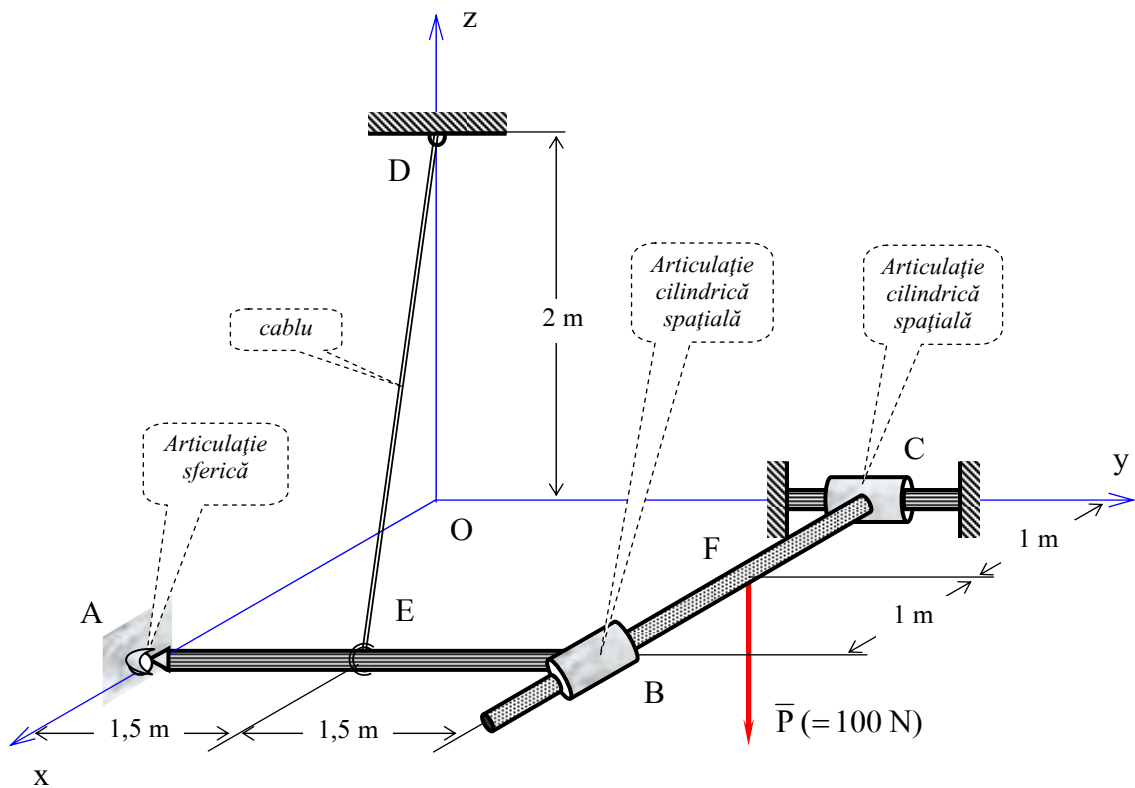
$$\begin{aligned} R_A &= \sqrt{(H_A)^2 + (V_A)^2} = \\ &= \sqrt{(483,032)^2 + (236,585)^2} = 537,86 \text{ [N]}; \end{aligned}$$

și

$$\begin{aligned} R_B &= \sqrt{(H_B)^2 + (V_B)^2} = \\ &= \sqrt{(536,585)^2 + (536,585)^2} = 758,85 \text{ [N]}. \end{aligned}$$

***Apl. 2.17***

Structura reprezentată în figura Apl-2.17 este compusă din două bare de



***Fig. Apl-2.17***

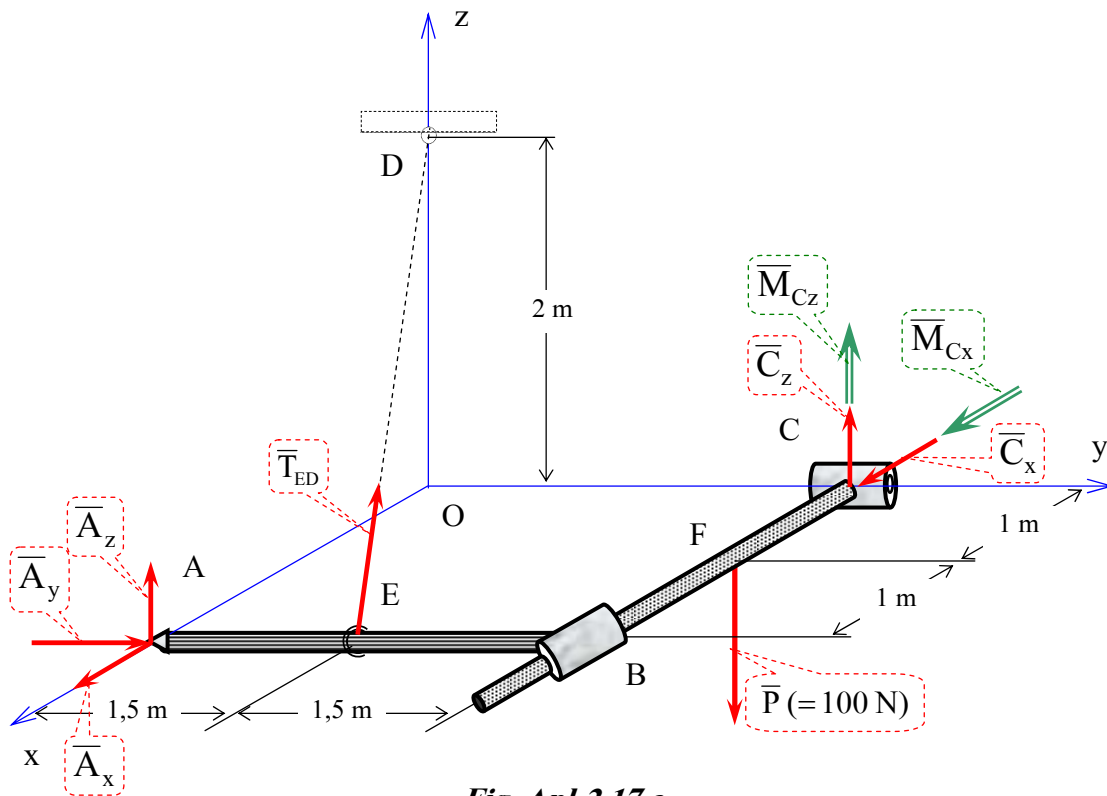
greutăți neglijabile și un cablu ED. Să se determine tensiunea din cablu,

reacțiunile exterioare din A și C, și forțele de legătură interioare din punctul B, dacă structura este supusă acțiunii unei sarcini exterioare de  $P = 100 \text{ [N]}$ .

**Rezolvare:**

Se utilizează *teorema solidificării* pentru întreg sistemul de corpuri (fig. Apl-2.17.a) la care se adaugă *teorema echilibrului părților* pentru subsistemul constituit numai din tija BFC (fig. Apl-2.17.b).

Expresia vectorului tensiune (efort) din cablul DE se stabilește în funcție de direcția cablului definită de către versorul acestei, cu expresia:



**Fig. Apl-2.17.a**

$$\bar{u}_{DE} = \frac{-2 \cdot \bar{i} - 1,5 \cdot \bar{j} + 2 \cdot \bar{k}}{\sqrt{2^2 + 1,5^2 + 2^2}} = -0,625 \cdot \bar{i} - 0,469 \cdot \bar{j} + 0,625 \cdot \bar{k}.$$

Din condiția de coliniaritate a versorului  $\bar{u}_{DE}$  cu vectorul tensiune  $\bar{T}_{DE}$ , rezultă expresia vectorului tensiune (efort) din cablul DE:

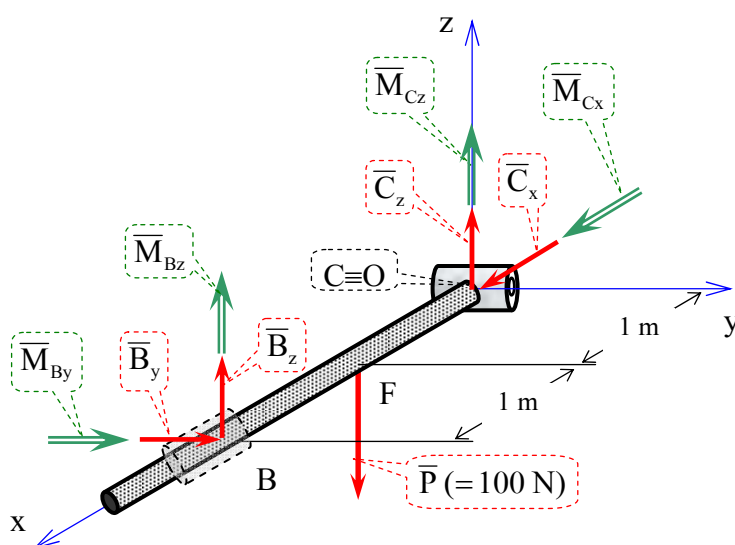
$$\bar{T}_{DE} = T_{DE} \cdot \bar{u}_{DE} ;$$

$$\Rightarrow \bar{T}_{DE} = -0,625 \cdot T_{DE} \cdot \bar{i} - 0,469 \cdot T_{DE} \cdot \bar{j} + 0,625 \cdot T_{DE} \cdot \bar{k}.$$

Ecuatiile de echilibru pentru întreg sistemul de corpuri solidificat (fig. Apl-2.17.a), în sistemul de referință cartezian cu originea în O, sunt:

$$\begin{cases} A_x - 0,625 \cdot T_{DE} + C_x = 0, \\ A_y - 0,469 \cdot T_{DE} = 0, \\ A_z - P + C_z = 0, \\ M_{C_x} + C_z \cdot 3 - P \cdot 3 + 0,625 \cdot T_{DE} \cdot 1,5 = 0, \\ -A_z \cdot 2 - 0,625 \cdot T_{DE} \cdot 2 + P \cdot 1 = 0, \\ M_{C_z} - C_x \cdot 3 + A_y \cdot 2 = 0. \end{cases} \quad (1)$$

În continuare se aplică *teorema echilibrului părților* pentru subsistemul constituit numai din tija BFC (fig. Apl-2.17.b) avându-se în vedere că în punctele C (legătură exterioară) respectiv B (legătură interioară) sunt articulații cilindrice spațiale fără frecare, adică introduc forțe și momente de legătură de direcții cunoscute și mărimi necunoscute.



**Fig. Apl-2.17.b**

tija BFC, în sistemul de referință cartezian cu originea în C (fig. Apl- 2.17.b) sunt:

$$\begin{cases} C_x = 0, \\ B_y = 0, \\ C_z - P + B_z = 0, \\ M_{C_x} = 0, \\ M_{B_y} + P \cdot 1 - B_z \cdot 2 = 0, \\ M_{C_z} + M_{B_z} + B_y \cdot 2 = 0. \end{cases} \quad (2)$$

Rezolvând sistemul de 12 ecuații liniare constituit din grupurile de ecuații (1) și (2) obținem reacțiunile din punctele A și C (forțe de legătură exterioare), respectiv B (forțe de legătură interioare):

- din ecuațiile (1<sub>3</sub>)- (1<sub>4</sub>/3)+ (1<sub>5</sub>/2)

$$T_{DE} = \frac{1}{0,3125 + 0,625} \cdot \frac{1}{2} \cdot P = \frac{1}{0,3125 + 0,625} \cdot \frac{1}{2} \cdot 100 = 53,33 \text{ [N]} \quad ;$$

- din ecuațiile (2<sub>1</sub>), (2<sub>2</sub>) și (2<sub>4</sub>)

$$\Rightarrow C_x = 0; \quad B_y = 0 \quad \text{și} \quad M_{C_x} = 0;$$

- din ecuațiile (1<sub>1</sub>) și (1<sub>2</sub>)

$$A_x = 0,625 \cdot T_{DE} = 0,625 \cdot 53,33 = 33,33 \text{ [N]};$$

$$A_y = 0,469 \cdot T_{DE} = 0,469 \cdot 53,33 = 25,013 \text{ [N]};$$

- din ecuația (1<sub>4</sub>)

$$C_z = P - \frac{1}{3} \cdot 0,625 \cdot T_{DE} \cdot 1,5 = 100 - \frac{1}{3} \cdot 0,625 \cdot 53,33 \cdot 1,5 = 83,33 \text{ [N]} \quad ;$$

- din ecuațiile (1<sub>3</sub>) și (2<sub>3</sub>)

$$A_z = P - C_z = 100 - 83,33 = 16,67 \text{ [N]};$$

$$B_z = P - C_z = 100 - 83,33 = 16,67 \text{ [N]};$$

- din ecuațiile (1<sub>6</sub>), (2<sub>5</sub>) și (2<sub>6</sub>)

$$M_{C_z} = -2 \cdot A_y = -2 \cdot 25,013 = -50,026 \text{ [N} \cdot \text{m]};$$

$$M_{B_y} = 2 \cdot B_z - P = 2 \cdot 16,67 - 100 = -66,67 \text{ [N} \cdot \text{m]};$$

$$M_{B_z} = -M_{C_z} = -(-50,026) \text{ [N} \cdot \text{m]} = 50,026 \text{ [N} \cdot \text{m]}.$$

Rezolvarea sistemului (1)+(2) cu ajutorul procedurilor din MATHCAD.  
În tabel sunt introduși coeficienții necunoscutelor sistemului și termenii liberi.

	A <sub>x</sub>	A <sub>y</sub>	A <sub>z</sub>	B <sub>z</sub>	C <sub>z</sub>	M <sub>B<sub>y</sub></sub>	M <sub>B<sub>z</sub></sub>	M <sub>C<sub>z</sub></sub>	T <sub>DE</sub>	Membr. 2
1.	1	0	0	0	0	0	0	0	-0,625	0
2.	0	1	0	0	0	0	0	0	-0,469	0
3.	0		1	0	1	0	0	0	0	100
4.	0	0	0	0	3	0	0	0	0,9375	300
5.	0	0	-2	0	0	0	0	0	-1,25	-100



*SIMULAREA SISTEMELOR MECANICE*

6.	0	2	0	0	0	0	0	1	0	0
7.	0	0	0	1	1	0	0	0	0	100
8.	0	0	0	-2	0	1	0	0	0	-100
9.	0	0	0	0	0	0	1	1	0	0
REZ.	33,33	25,01	16,67	16,67	83,33	-66,67	50,02	-50,02	53,33	-
	[N]	[N]	[N]	[N]	[N]	[Nm]	[Nm]	[Nm]	[N]	

$$M := \begin{pmatrix} 1 & 0 & 0 & 0 & 0 & 0 & 0 & 0 & -0.625 \\ 0 & 1 & 0 & 0 & 0 & 0 & 0 & 0 & -0.469 \\ 0 & 0 & 1 & 0 & 1 & 0 & 0 & 0 & 0 \\ 0 & 0 & 0 & 0 & 3 & 0 & 0 & 0 & 0.9375 \\ 0 & 0 & -2 & 0 & 0 & 0 & 0 & 0 & -1.25 \\ 0 & 2 & 0 & 0 & 0 & 0 & 0 & 1 & 0 \\ 0 & 0 & 0 & 1 & 1 & 0 & 0 & 0 & 0 \\ 0 & 0 & 0 & -2 & 0 & 1 & 0 & 0 & 0 \\ 0 & 0 & 0 & 0 & 0 & 0 & 1 & 1 & 0 \end{pmatrix}$$

$$v := \begin{pmatrix} 0 \\ 0 \\ 100 \\ 300 \\ -100 \\ 0 \\ 100 \\ -100 \\ 0 \end{pmatrix}$$

$$\text{soln} := \text{lsolve}(M, v)$$

$$\text{Solution: } \text{soln} = \begin{pmatrix} 33.33333 \\ 25.01333 \\ 16.66667 \\ 16.66667 \\ 83.33333 \\ -66.66667 \\ 50.02667 \\ -50.02667 \\ 53.33333 \end{pmatrix}$$

$$\text{"elem sol"} = \begin{pmatrix} A_x \\ A_y \\ A_z \\ B_z \\ C_z \\ M_{By} \\ M_{Bz} \\ M_{Cz} \\ T_{DE} \end{pmatrix}$$

***Apl. 2.18***

Să se determine reacțiunile din articulațiile cilindrice B și C (legături interioare) pentru sistemul de corpuri reprezentat în figura Apl-2.18, supus acțiunii unei sarcini de masă  $m = 100$  [kg]. Se neglijează greutatea barelor sistemului.

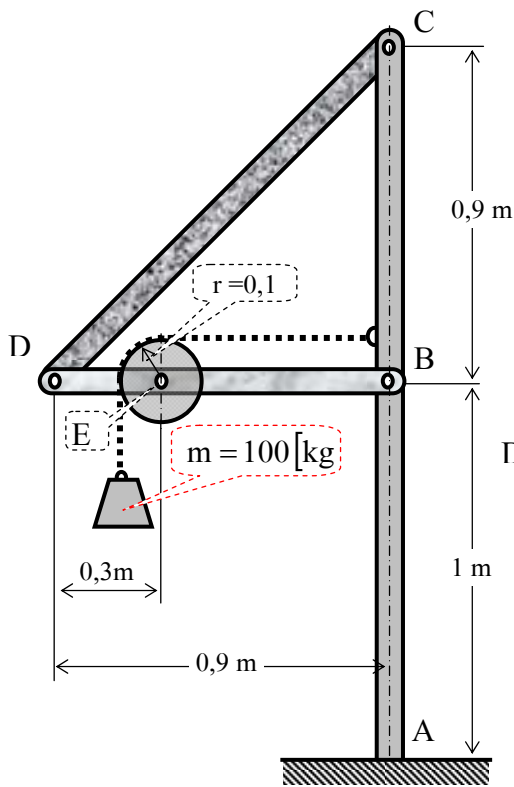
***Rezolvare:***

***Metoda I<sup>a</sup>***

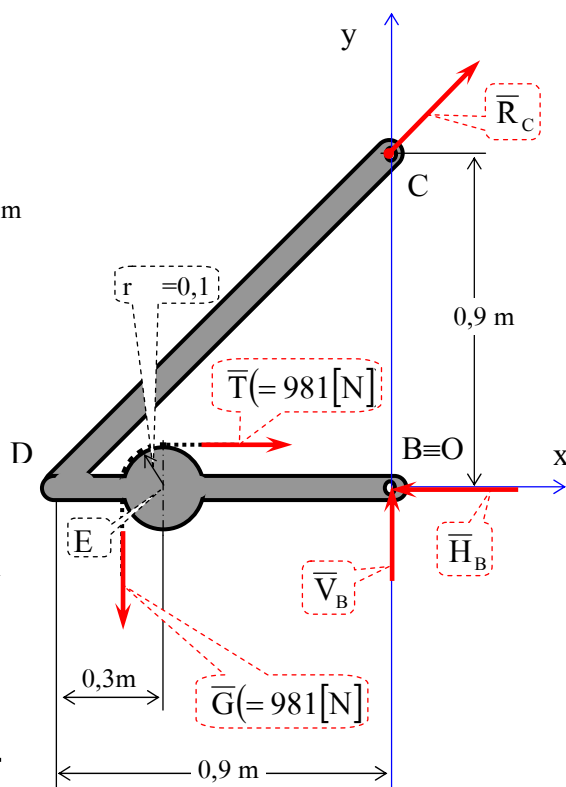
Se aplică *teorema echilibrului părților* dublată de *teorema solidificării* pentru subsistemul constituit din corpurile: barele DC și BD, și discul de rază  $r = 0,1$  [m]. Se are în vedere că articulațiile cilindrice C și D sunt conectate între ele printr-o bară astfel că direcția reacțiunii din C este cunoscută și anume în

lungul barei DC (fig. Apl-2.18.a).

Ecuțiile de echilibru pentru acest subsistem de corpuri, solidificat într-un



**Fig. Apl-2.18**



**Fig. Apl-2.18.a**

solid rigid virtual raportat la sistemul de axe carteziene cu originea în punctul B, sunt:

$$\begin{cases} R_C \cdot \cos 45^\circ - H_B + T = 0, \\ R_C \cdot \sin 45^\circ - G + V_B = 0, \\ G \cdot (0,9 - 0,3 + 0,1) - T \cdot 0,1 - R_C \cdot \cos 45^\circ \cdot 0,9 = 0. \end{cases} \quad (1)$$

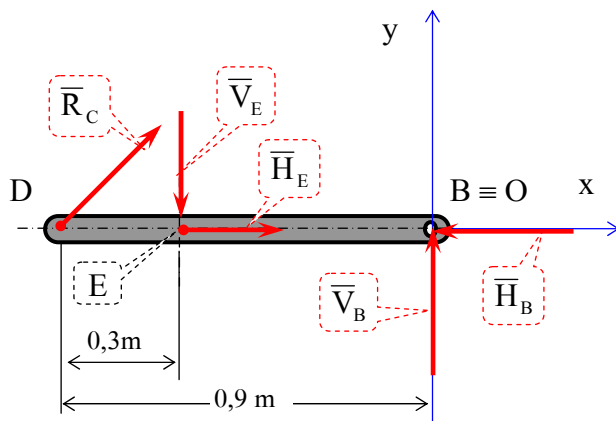
Rezolvând sistemul de trei ecuații liniare (1) obținem:  
din ec. (1<sub>3</sub>)

$$\begin{aligned} \Rightarrow R_C &= \frac{1}{0,9 \cdot \cos 45^\circ} \cdot (G \cdot 0,7 - T \cdot 0,1) = \\ &= \frac{1}{0,9 \cdot \frac{\sqrt{2}}{2}} \cdot 981 \cdot 0,6 = 924,896 \text{ [N]}; \end{aligned} \quad \blacklozenge (1_3')$$

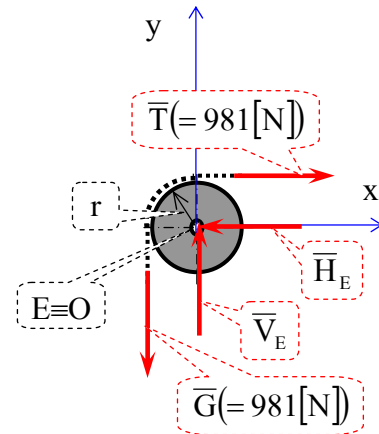
din ec. (1<sub>1</sub>)

$$H_B = R_C \cdot \frac{\sqrt{2}}{2} + T = 924,896 \cdot \frac{\sqrt{2}}{2} + 981 = 1635 \text{ [N]}; \quad \blacklozenge (1_1')$$

din ec. (1<sub>2</sub>)



**Fig. Apl-2.18.b**



**Fig. Apl-2.18.c**

$$V_B = G - R_C \cdot \frac{\sqrt{2}}{2} = 981 - 924,896 \cdot \frac{\sqrt{2}}{2} = 327 \text{ [N]}. \quad \blacklozenge (1_2')$$

Deci, reacțiunea din articulația cilindrică C este deja determinată rel. (1<sub>3</sub>') iar cea din B rezultă prin aplicarea regulii paralelogramului, adică:

$$R_B = \sqrt{(H_B)^2 + (V_B)^2} = \sqrt{(1635)^2 + (327)^2} = 1667,379 \text{ [N]}. \quad \blacklozenge$$

**Metoda II<sup>a</sup>**

Se aplică *teorema echilibrului părților* pentru fiecare din corpurile: bara BD (fig. Apl- 2.18.b) și discul de rază  $r = 0,1 \text{ [m]}$  (fig. Apl-2.18.c). Se are în vedere că articulațiile cilindrice C și D sunt conectate între ele printr-o bară astfel că direcția reacțiunii din D este cunoscută și anume în lungul barei DC.

Ecuatiile de echilibru pentru fiecare din corpurile eliberate de legături, în raport cu sistemele de axe carteziene indicate în figurile corespunzătoare, sunt:

- pentru bara DB

$$\begin{cases} -H_B + T + R_C \cdot \cos 45^\circ = 0, \\ V_B + R_C \cdot \sin 45^\circ - G = 0, \\ G \cdot 0,6 - R_C \cdot \cos 45^\circ \cdot 0,9 = 0. \end{cases} \quad (2)$$

- pentru disc

$$\begin{cases} T - H_E = 0, \\ V_E - G = 0, \\ G \cdot 0,1 - T \cdot 0,1 = 0. \end{cases} \quad (3)$$

Rezolvând sistemele de ecuații liniare (2) respectiv (3) obținem:  
din sistemul de ec. (3)

$$T = H_E = G = 981 \text{ [N]} \quad \text{și} \quad V_E = G = 981 \text{ [N]};$$

din ec. (2<sub>3</sub>)

$$\Rightarrow R_C = \frac{0,6}{0,9 \cdot \cos 45^\circ} \cdot G = \frac{0,6}{0,9 \cdot \frac{\sqrt{2}}{2}} \cdot 981 = 924,896 \text{ [N]}; \quad \blacklozenge$$

din ec. (2<sub>1</sub>)

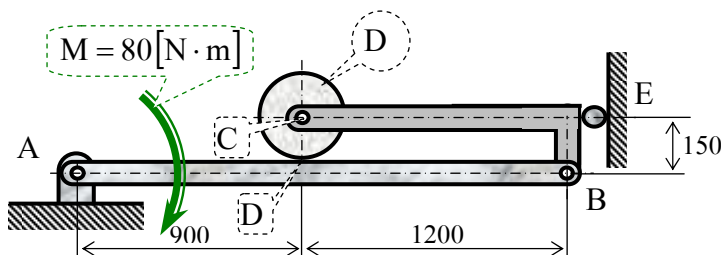
$$H_B = R_C \cdot \frac{\sqrt{2}}{2} + T = 924,896 \cdot \frac{\sqrt{2}}{2} + 981 = 1635 \text{ [N]};$$

din ec. (2<sub>2</sub>)

$$V_B = G - R_C \cdot \frac{\sqrt{2}}{2} = 981 - 924,896 \cdot \frac{\sqrt{2}}{2} = 327 \text{ [N]}.$$

Deci, reacțiunea din articulația cilindrică *C* este deja determinată iar cea din *B* rezultă prin aplicarea regulii paralelogramului, adică:

$$R_B = \sqrt{(H_B)^2 + (V_B)^2} = \sqrt{(1635)^2 + (327)^2} = 1667,379 \text{ [N]}. \quad \blacklozenge$$



**Fig. Apl-2.19**

***Apl. 2.19***

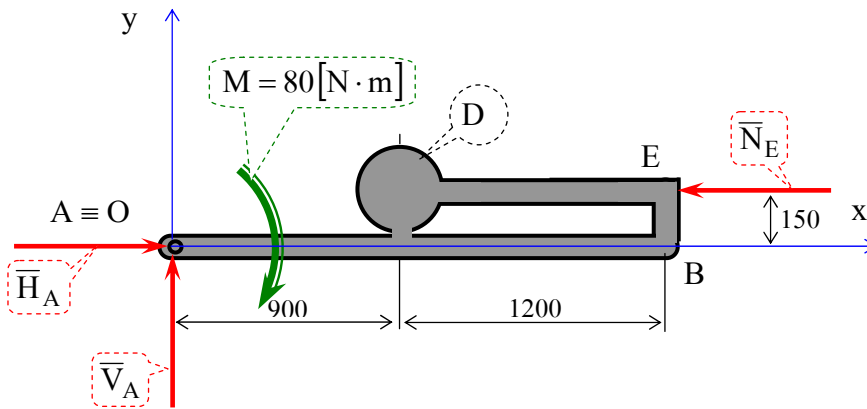
Să se determine forța exercitată de către discul *D* asupra barei AB (fig. Apl- 2.19).

Deasemeni să se determine componentele orizontală și verticală ale reacțiunii

din A. Se neglijează greutatea barelor sistemului.

**Rezolvare:**

Se utilizează *teorema solidificării* pentru întreg sistemul de corpuri (fig. Apl-2.19.a) la care se adaugă *teorema echilibrului părților* pentru subsistemul



**Fig. Apl-2.19.a**

constituit din disc și tija BEC (fig. Apl-2.19.b).

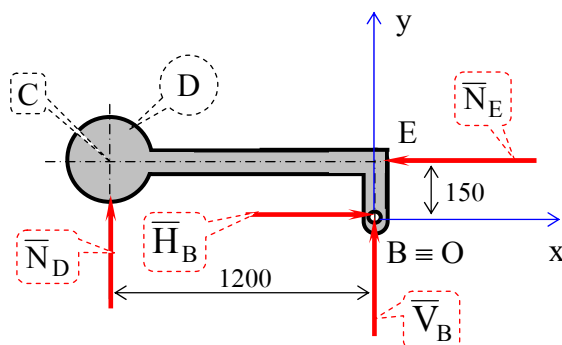
Ecuțiile de echilibru pentru întreg sistemul de corpuri solidificat (fig. Apl-2.19.a), în sistemul de referință

cartezian cu originea în  $O \equiv A$ , sunt:

$$\begin{cases} H_A - N_E = 0, \\ V_A = 0, \\ N_E \cdot 0,15 - M = 0. \end{cases}$$

și rezolvând, obținem:

$$\Rightarrow \begin{cases} N_E = \frac{M}{0,15} = \frac{80}{0,15} = 533,33 \text{ [N]}, \\ H_A = N_E = 533,33 \text{ [N]}, \\ V_A = 0. \end{cases} \quad \blacklozenge$$



**Fig. Apl-2.19.b**

Ecuțiile de echilibru pentru subsistemul solidificat, constituit din bara cotită BEC și discul **D** de greutatea neglijabile (*teorema echilibrului părților* + *teorema solidificării*), în sistemul de referință cartezian cu originea în  $B \equiv O$  (fig. Apl-

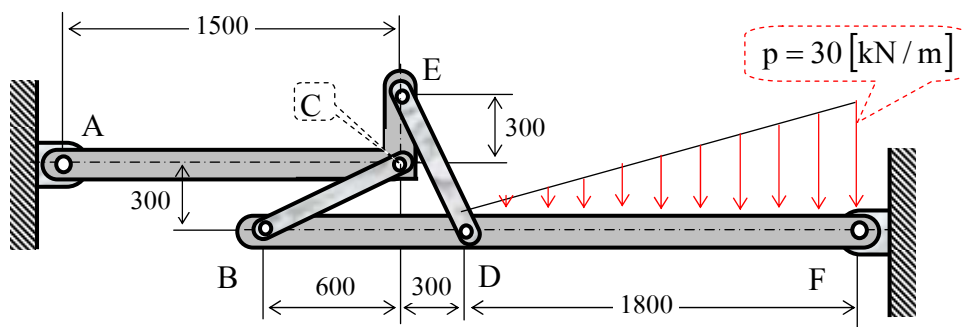
2.19.b), sunt:

$$\begin{cases} H_B - N_E = 0, \\ N_D - V_B = 0, \\ N_E \cdot 0,15 - N_D \cdot 1,2 = 0; \end{cases}$$

$$\Rightarrow N_D = \frac{N_E}{0,15} = \frac{533,33 \cdot 0,15}{1,2} = 66,67 \text{ [N].} \quad \blacklozenge$$

**Apl. 2.20**

Să se determine mărimile componentelor orizontale și verticale ale



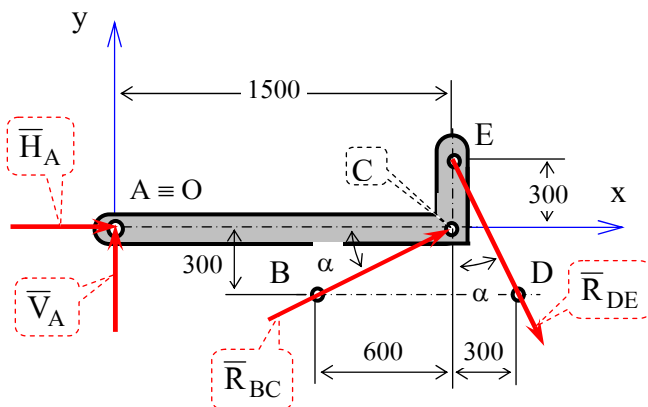
**Fig. Apl-2.20**

reacțiunilor din A și F, pentru sistemul de corpuri din figura Apl-2.20. Încărcarea este realizată printr-o forță distribuită liniar pe tronsonul DF al barei orizontale BF.

**Rezolvare:**

**METODA I<sup>a</sup>**

Se aplică teorema echilibrului părților pentru barele ACE (fig. Apl-2.20.a) respectiv BDF (fig. Apl-2.20.b)



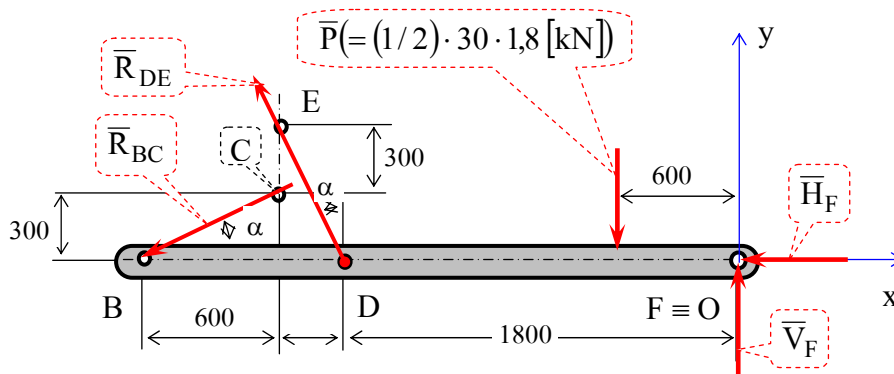
**Fig. Apl-2.20.a**

avându-se în vedere că între punctele C și B respectiv D și E sunt legături cu tije rigide, adică introduc forțe de legătură interioare sistemului de corpuri, de direcții cunoscute și mărimi necunoscute.

Ecuatiile de echilibru pentru bara ACE, în sistemul de

referință cartezian cu originea în A, sunt:

$$\begin{cases} R_{BC} \cdot \cos \alpha + R_{DE} \cdot \sin \alpha + H_A = 0, \\ R_{BC} \cdot \sin \alpha - R_{DE} \cdot \cos \alpha + V_A = 0, \\ R_{BC} \cdot \sin \alpha \cdot 1,5 - R_{DE} \cdot \cos \alpha \cdot 1,5 - R_{DE} \cdot \sin \alpha \cdot 0,3 = 0. \end{cases} \quad (1)$$



Față de sistemul de referință cartezian cu originea în F, ecuațiile de echilibru pentru bara BDF sunt:

**Fig. Apl-2.20.b**

$$\begin{cases} -H_F - R_{BC} \cdot \cos \alpha - R_{DE} \cdot \sin \alpha = 0, \\ -R_{BC} \cdot \sin \alpha + R_{DE} \cdot \cos \alpha + V_F - P = 0, \\ R_{BC} \cdot \sin \alpha \cdot 2,7 - R_{DE} \cdot \cos \alpha \cdot 1,8 + P \cdot 0,6 = 0. \end{cases} \quad (2)$$

$$\alpha = \arctg \frac{300}{600} = 26,565^\circ; \quad P = \frac{1}{2} \cdot p \cdot 1,8 = \frac{1}{2} \cdot 30[\text{kN/m}] \cdot 1,8[\text{m}] = 27 [\text{kN}].$$

Din ecuațiile (1<sub>3</sub>) și (2<sub>3</sub>) se determină reacțiunile  $R_{BC}$  și  $R_{DE}$ :

$$\begin{cases} R_{BC} \cdot \sin 26,56^\circ \cdot 1,5 \cdot 9 - R_{DE} \cdot \cos 26,56^\circ \cdot 1,5 \cdot 9 - R_{DE} \cdot \sin 26,56^\circ \cdot 0,3 \cdot 9 = 0; \\ R_{BC} \cdot \sin 26,56^\circ \cdot 2,7 \cdot 5 - R_{DE} \cdot \cos 26,56^\circ \cdot 1,8 \cdot 5 + P \cdot 0,6 \cdot 5 = 0. \end{cases}$$

$$R_{DE} = \frac{P \cdot 0,6 \cdot 5}{-\cos 26,56^\circ \cdot 1,5 \cdot 9 - \sin 26,56^\circ \cdot 0,3 \cdot 9 + \cos 26,56^\circ \cdot 1,8 \cdot 5},$$

$$\begin{aligned} R_{DE} &= \frac{27000 \cdot 0,6 \cdot 5}{-\cos 26,56^\circ \cdot 1,5 \cdot 9 - \sin 26,56^\circ \cdot 0,3 \cdot 9 + \cos 26,56^\circ \cdot 1,8 \cdot 5}, \\ \Rightarrow R_{DE} &= -15.487,9 [\text{N}], \end{aligned}$$

$$R_{BC} = \frac{R_{DE} \cdot \cos 26,56^\circ \cdot 1,8 - P \cdot 0,6}{\sin 26,56^\circ \cdot 2,7},$$

$$R_{BC} = \frac{-15487,9 \cdot \cos 26,56^\circ \cdot 1,8 - 27000 \cdot 0,6}{\sin 26,56^\circ \cdot 2,7} = -34073,35 \text{ [N]},$$

$$R_{BC} = -34073,35 \text{ [N]}.$$

Din ecuațiile (1<sub>1</sub>) și (1<sub>2</sub>) se determină componentele reacțiunilor din articulația A ( $H_A$  și  $V_A$ ):

$$\Rightarrow H_A = -R_{BC} \cdot \cos \alpha - R_{DE} \cdot \sin \alpha,$$

și 
$$V_A = -R_{BC} \cdot \sin \alpha + R_{DE} \cdot \cos \alpha.$$

$$H_A = -(-34073,3 \cdot 0,894 - 15487,9 \cdot 0,447) = \mathbf{37.385 \text{ [N]};} \quad \blacklozenge$$

$$V_A = -(-34073,3) \cdot 0,447 + (-15487,9) \cdot 0,894 = 1.385 \text{ [N]}. \quad \blacklozenge$$

Din ecuațiile (2<sub>1</sub>) și (2<sub>2</sub>) se determină componentele reacțiunilor din articulația F ( $H_F$  și  $V_F$ ):

$$\Rightarrow H_F = -R_{BC} \cdot \cos \alpha - R_{DE} \cdot \sin \alpha,$$

și 
$$V_F = P + R_{BC} \cdot \sin \alpha - R_{DE} \cdot \cos \alpha.$$

$$\Rightarrow H_F = -(-34073,3 \cdot 0,894 - 15487,9 \cdot 0,447) = 37.385 \text{ [N]}; \quad \blacklozenge$$

$$V_F = 27000 + (-34073,3) \cdot 0,447 - (-15487,9) \cdot 0,894 = 25615 \text{ [N]}. \quad \blacklozenge$$

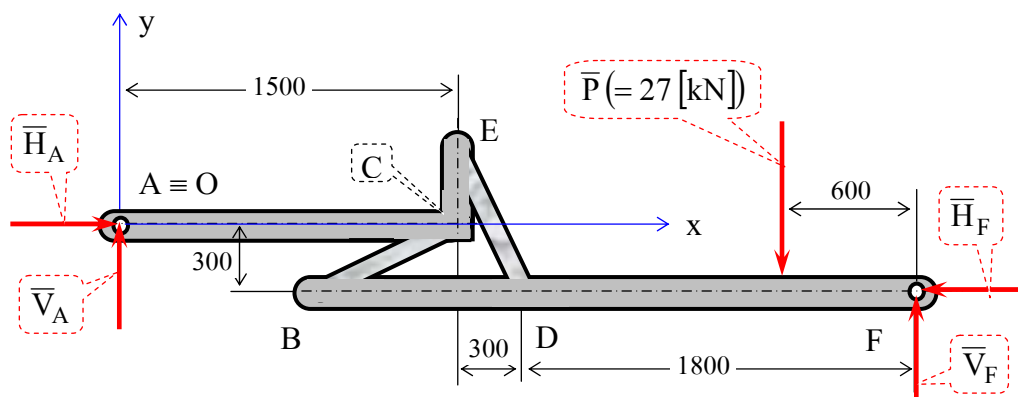
### **METODA II<sup>a</sup>**

În prima etapă se aplică teorema solidificării întregului sistem de corpuri păstrând legăturile exterioare care se înlocuiesc cu forțele de legătură corespunzătoare, în conformitate cu axioma legăturilor (fig. Apl-2.20.c).

Ecuțiile de echilibru pentru rigidul obținut în urma aplicării teoremei solidificării, în sistemul de referință cu originea în A, sunt:

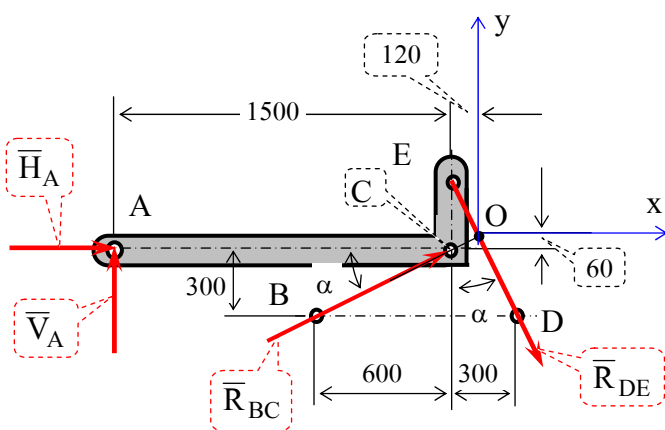
$$\begin{cases} H_A - H_F = 0, \\ V_A + V_F - P = 0, \\ V_F \cdot 3,6 - P \cdot 3 - H_F \cdot 0,3 = 0. \end{cases} \quad (3)$$





**Fig. Apl-2.20.c**

În etapa doua se aplică teorema echilibrului părților pentru bara ACE (fig. Apl-2.20.d) pentru a scrie o a patra ecuație care grupată cu ecuațiile (3) să formeze un sistem de patru ecuații cu patru necunoscute.



**Fig. Apl-2.20. d**

Ecuatiile de echilibru pentru bara ACE sunt în număr de trei dar în ecuațiile de proiecții pe axele Ox și Oy apar și necunoscutele  $R_{BC}$  și  $R_{DE}$  care nu sunt cerute prin întrebările problemei.

Deoarece avem nevoie de încă o ecuație pe lângă cele trei din sistemul (3) dar care să nu introducă necunoscute suplimentare vom determina poziția

punctului de intersecție al reacțiilor interioare sistemului de corpuri (eforturile din barele BC și DE) pe care îl alegem origine a sistemului de axe (fig. Apl-2.20.d) și scriem numai ecuația de momente (4), astfel:

$$H_A \cdot 0,06 - V_A \cdot 1,62 = 0. \tag{4}$$

Cu proceduri ale programului *MATHCAD 14* rezolvăm matricial sistemul de patru ecuații constituit din grupurile (3) și (4), astfel:

$$M := \begin{bmatrix} 1 & 0 & -1 & 0 \\ 0 & 1 & 0 & 1 \\ 0 & 0 & -0,3 & 3,6 \\ 0,06 & -1,62 & 0 & 0 \end{bmatrix};$$

- se introduce vectorul celor 4 constante (termeni liberi în ecuațiile sistemului) :

$$V := \begin{Bmatrix} 0 \\ 27000 \\ 3 \cdot 27000 \\ 0 \end{Bmatrix} [\text{N}];$$

- se aplică funcția  $\text{lsolve}(M,v)$  și se obține vectorul cu valorile necunoscutelor:

$$\begin{Bmatrix} H_A \\ V_A \\ H_F \\ V_F \end{Bmatrix} = \begin{Bmatrix} 37.385 \\ 1.385 \\ 37.385 \\ 25.615 \end{Bmatrix} [\text{N}].$$

### ***Apl. 2.21***

Pentru sistemul de corpuri (bare rectilinii de greutate neglijabile, articulate cilindric între ele și la sistemul fix) din figura Apl-2.21 să se determine:

- reacțiunile din A și E;
- componentele forțelor din B și C de pe bara ABC.

#### ***Rezolvare:***

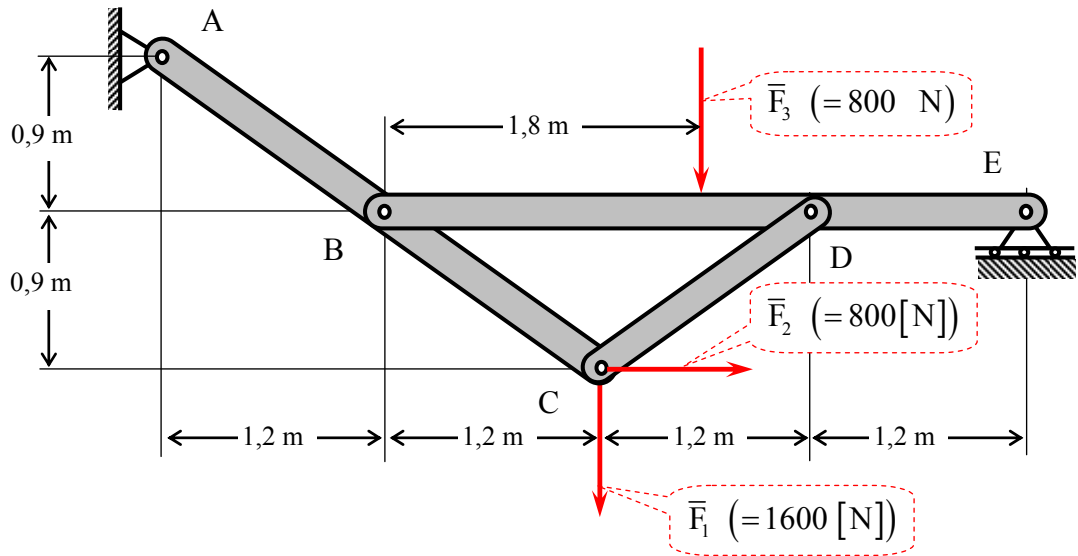
a) Se aplică *teorema solidificării* pentru întreg sistemul de corpuri (fig. Apl-2.21.a) astfel că ecuațiile de echilibru pentru solidul rigid rezultat din solidificare sunt:

$$\begin{cases} H_A + F_2 = 0, \\ V_A + N_E - F_3 - F_1 = 0, \\ 4,8 \cdot N_E + 1,8 \cdot F_2 - 3 \cdot F_3 - 2,4 \cdot F_1 = 0. \end{cases} \quad (1)$$

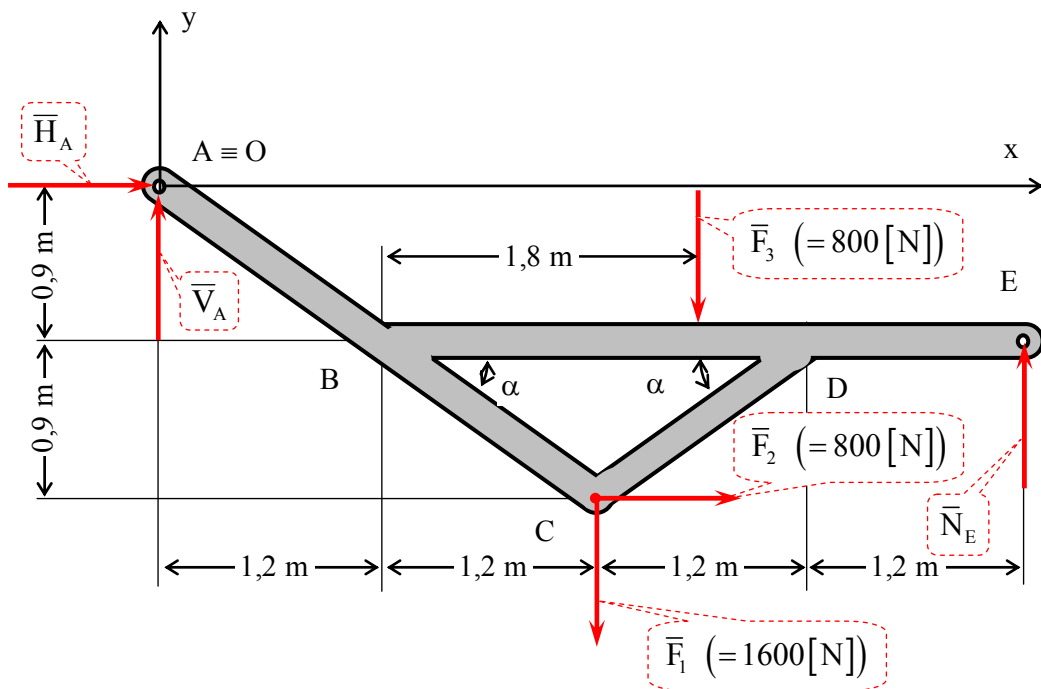
Din ecuația (1<sub>3</sub>) se obține:

$$\begin{aligned} N_E &= \frac{1}{4,8} \cdot (3 \cdot F_3 + 2,4 \cdot F_1 - 1,8 \cdot F_2) = \\ &= \frac{1}{4,8} \cdot (3 \cdot 800 + 2,4 \cdot 1600 - 1,8 \cdot 800); \end{aligned}$$

$\Rightarrow N_E = 1000 \text{ [N]}.$



*Fig. Apl-2.21*



*Fig. Apl-2.21.a*

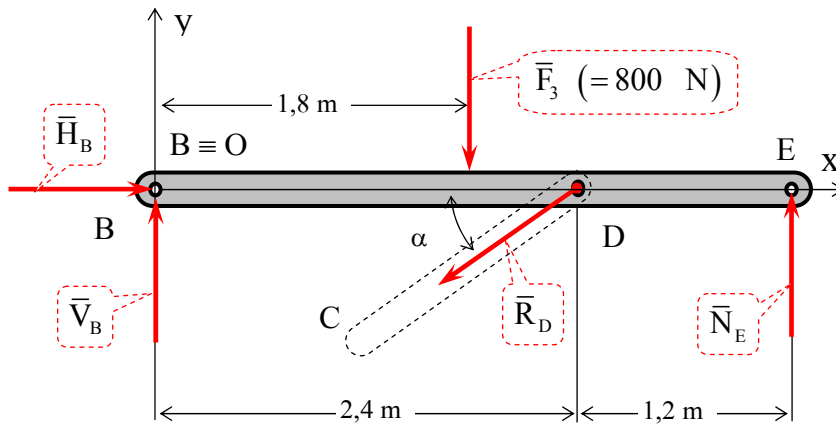
Din ecuația (1<sub>1</sub>) se obține:

$\Rightarrow H_A = -F_2 = -800 \text{ [N]}.$

Din ecuația (1<sub>2</sub>) se obține:

$$V_A = F_1 + F_3 - N_E = 1600 + 800 - 1000 \text{ [N]},$$

$$\Rightarrow V_A = 1400 \text{ [N]}.$$



b) Se aplică teorema echilibrului părților pentru bara BE (fig. Apl-2.21.b) astfel că ecuațiile de echilibru corespunzătoare sunt:

**Fig. Apl-2.21.b**

$$\begin{cases} H_B - R_D \cdot \cos \alpha = 0, \\ V_B - R_D \cdot \sin \alpha + N_E - F_3 = 0, \\ 3,6 \cdot N_E - 2,4 \cdot R_D \cdot \sin \alpha - 1,8 \cdot F_3 = 0. \end{cases} \quad (2)$$

Din ecuația (2<sub>3</sub>) se obține:

$$R_D = \frac{1}{2,4 \cdot \sin \alpha} \cdot (3,6 \cdot N_E - 1,8 \cdot F_3) = \frac{1}{2,4 \cdot \frac{3}{5}} \cdot (3,6 \cdot 1000 - 1,8 \cdot 800);$$

$$\Rightarrow R_D = 1500 \text{ [N]}.$$

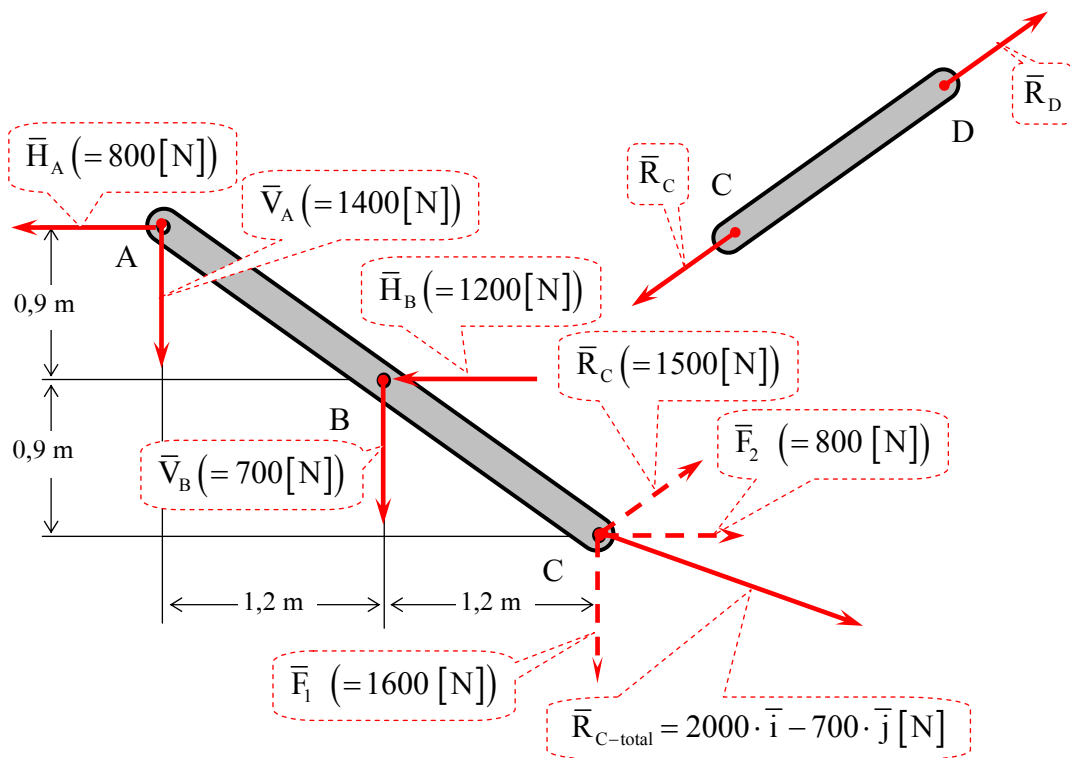
Din ecuația (2<sub>1</sub>) se obține:

$$H_B = R_D \cdot \cos \alpha = 1500 \cdot \frac{4}{5} = 1200 \text{ [N]}.$$

Din ecuația (2<sub>2</sub>) se obține:

$$V_B = R_D \cdot \sin \alpha - N_E + F_3 = 1500 \cdot \frac{3}{5} - 1000 + 800 = 700 \text{ [N]}.$$

Se aplică teorema echilibrului părților pentru bara AC (fig. Apl-2.21.c).



**Fig. Apl-2.21.c**

Forțele în B ( $\bar{H}_B, \bar{V}_B$ ) ce acționează asupra barei AC sunt opuse celor calculate din echilibrul barei BE.

Forța totală în C, ce acționează asupra barei AC, este:

$$\bar{R}_{C\text{-total}} = (R_C \cdot \cos \alpha + F_2) \cdot \bar{i} + (R_C \cdot \sin \alpha - F_1) \cdot \bar{j} ;$$

$$\begin{aligned} \Rightarrow R_{C\text{-total}} &= \left( 1500 \cdot \frac{4}{5} + 800 \right) \cdot \bar{i} + \left( 1500 \cdot \frac{3}{5} - 1600 \right) \cdot \bar{j} = \\ &= 2000 \cdot \bar{i} - 700 \cdot \bar{j} \text{ [N]}. \end{aligned}$$

Deci  $\bar{R}_A = -800 \cdot \bar{i} + 1400 \cdot \bar{j} \text{ [N]}; \quad \bar{N}_E = 1000 \cdot \bar{j} \text{ [N]};$

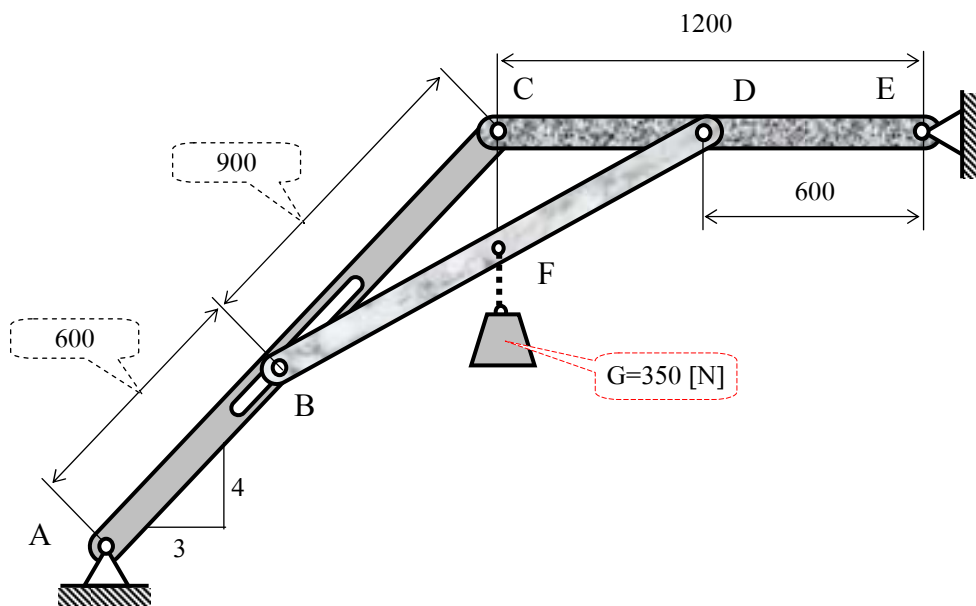
$\bar{R}_B = -1200 \cdot \bar{i} - 700 \cdot \bar{j} \text{ [N]}; \quad \bar{R}_C = 2000 \cdot \bar{i} - 700 \cdot \bar{j} \text{ [N]}.$

**Apl. 2.22**

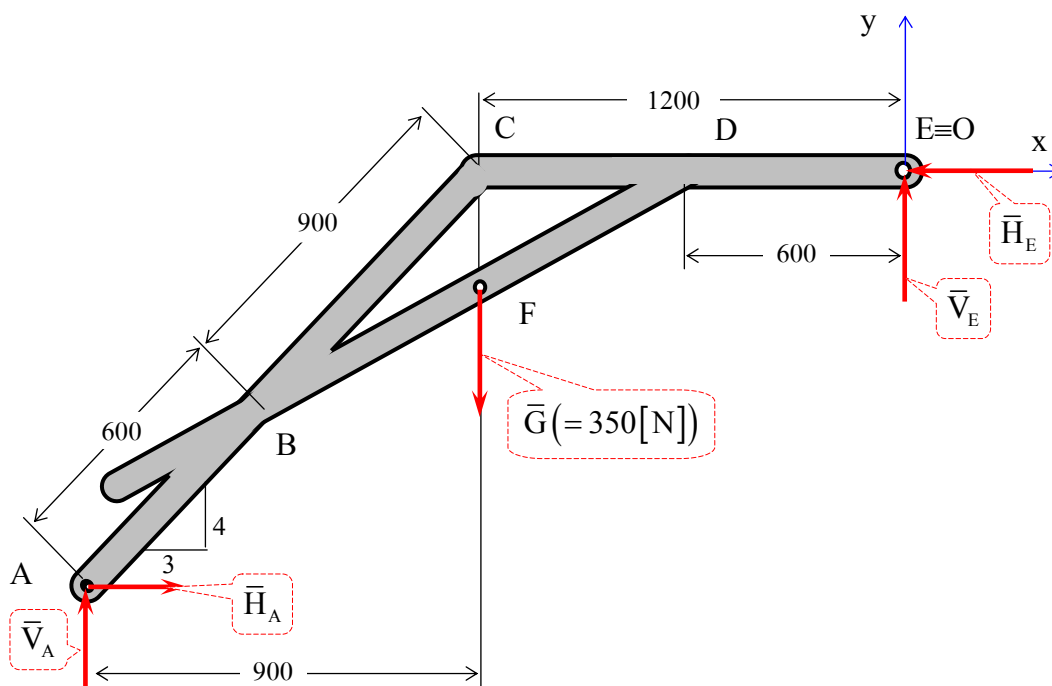
Să se determine forța exercitată de către știftul din C asupra barei ABC (fig. Apl-2.22). Se neglijează greutatea barelor. Știftul B este atașat solidar la bara BD și se reazemă în canalul neted al barei ABC.

**Rezolvare:**

a) Se aplică *teorema solidificării* pentru întreg sistemul de corpuri (fig. Apl-2.22.a).



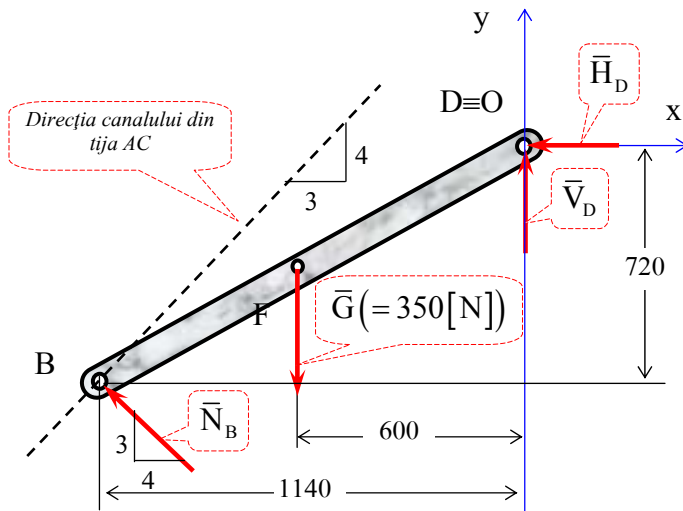
**Fig. Apl-2.22**



**Fig. Apl-2.22.a**

Din aplicarea teoremei solidificării se utilizează numai ecuația de momente scrisă în raport cu articulația cilindrică E, care are forma (1):

$$G \cdot 1,2 + H_A \cdot 1,5 \cdot \frac{4}{5} - V_A \cdot 2,1 = 0. \quad (1)$$

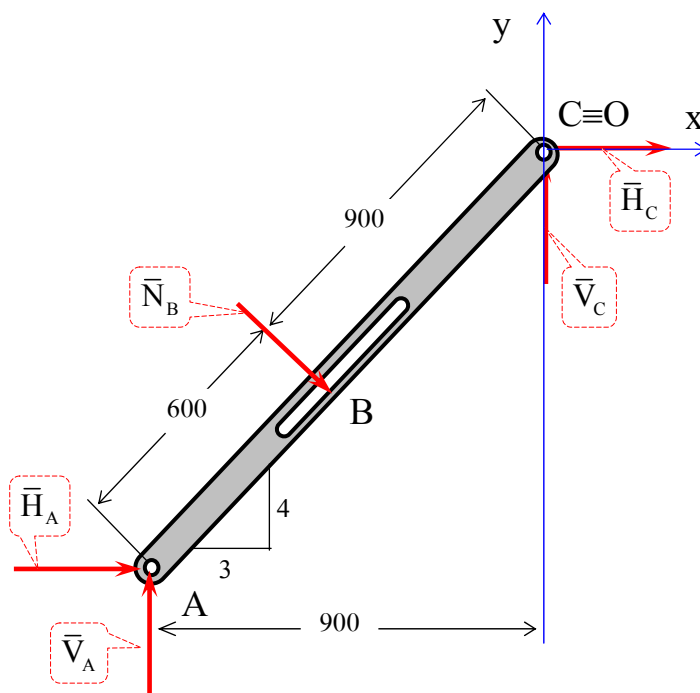


**Fig. Apl-2.22.b**

Apoi se aplică *teorema echilibrului părților* pentru bara BFD (fig. Apl-2.22.b) și se utilizează numai ecuația de momente scrisă în raport cu articulația cilindrică D, de forma (2) și din care se determină mărimea reacțiunii din B :

$$G \cdot 0,6 - N_B \cdot \frac{4}{5} \cdot 0,72 - N_B \cdot \frac{3}{5} \cdot 1,14 = 0, \quad (2)$$

$$\Rightarrow N_B = (0,6/1,26) \cdot G = (0,6/1,26) \cdot 350 = 166,67 \text{ [N]}.$$



**Fig. Apl-2.22.c**

Pentru a ajunge la necunoscuta cerută în întrebare, se aplică *teorema echilibrului părților* pentru bara ABC (fig. Apl-2.22.c).

Ecuațiile de echilibru corespunzătoare, scrise în raport cu un sistem de referință cu originea în C, sunt:

$$\begin{cases} H_C + H_A + N_B \cdot (4/5) = 0, \\ V_C + V_A - N_B \cdot (3/5) = 0, \\ N_B \cdot 0,9 + H_A \cdot 1,5 \cdot (4/5) - V_A \cdot 0,9 = 0. \end{cases} \quad (3)$$

Din diferența ecuațiilor (1) - (3<sub>3</sub>) se obține:

$$1,2 \cdot G - 2,1 \cdot V_A + 0,9 \cdot V_A - 0,9 \cdot N_B = 0. \quad (4)$$

Din ecuațiile (4) respectiv (1) se obțin mărimile componentelor reacțiunii din articulația cilindrică A:

$$V_A = \frac{1}{1,2} \cdot (1,2 \cdot 350 - 0,9 \cdot 166,67) = 225 \text{ [N]};$$

$$H_A = \frac{1}{1,2} \cdot (1,2 \cdot 225 - 1,2 \cdot 350) = 43,75 \text{ [N]}.$$

Din ecuațiile (3<sub>1</sub>) respectiv (3<sub>2</sub>) se obțin mărimile componentelor reacțiunii din articulația cilindrică C:

$$H_C = -H_A - N_B \cdot \frac{4}{5} = -43,75 - 166,67 \cdot \frac{4}{5} = -177 \text{ [N]};$$

$$V_C = -V_A + N_B \cdot (3/5) = -225 + 166,67 \cdot (3/5) = -125 \text{ [N]}.$$

Deci, forța exercitată de către știftul din C asupra barei ABC este:

$$\Rightarrow \bar{R}_C = -177 \cdot \bar{i} - 125 \cdot \bar{j} = \text{[N]}. \quad \blacklozenge$$

### ***Apl. 2.23***

Să se determine forța exercitată de către știftul din C asupra barei ABC (fig. Apl-2.23). Se neglijează greutatea barelor. Știftul B este atașat solidar la bara ABC și se reazemă în canalul neted al barei BD.

#### ***Rezolvare:***

a) Se aplică *teorema solidificării* pentru întreg sistemul de corpuri (fig. Apl-2.23.a).

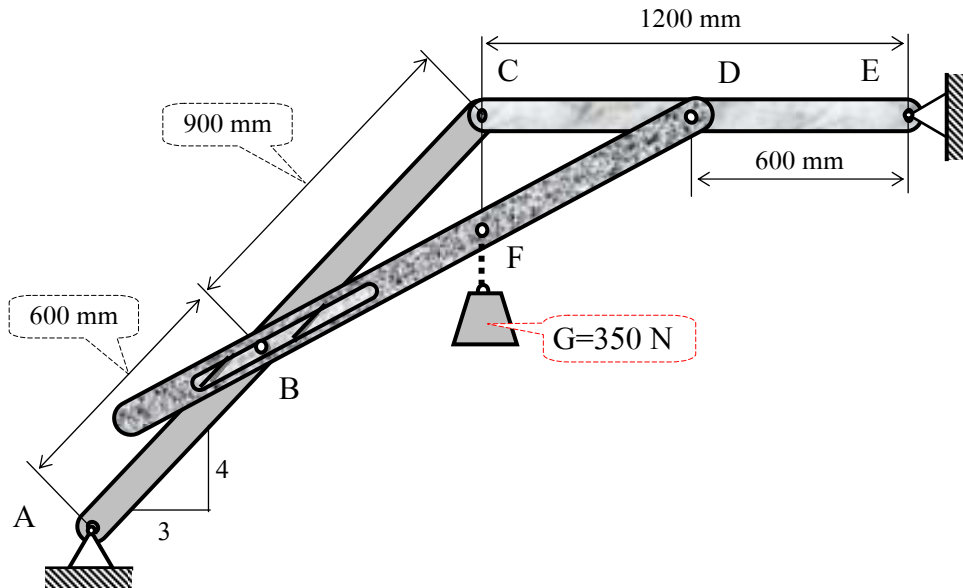
Determinăm mai întâi unghiurile  $\alpha$  și  $\beta$  (fig. Apl-2.23.a), astfel:

$$\alpha = \arctg \frac{720}{1200 - 600 + 540} = 32,276^\circ; \quad \beta = \arctg \frac{720}{540} = 53,13^\circ.$$

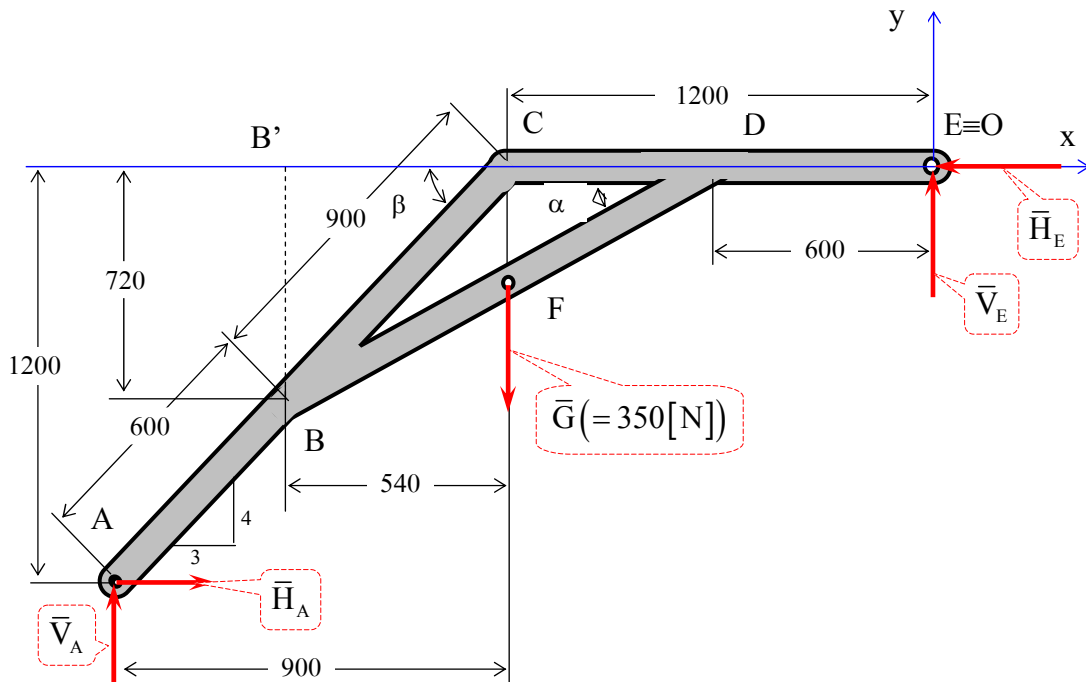


Din aplicarea teoremei solidificării (fig. Apl-2.23.a) se utilizează numai ecuația de momente scrisă în raport cu articulația E, care are forma (1):

$$G \cdot 1,2 + H_A \cdot 1,2 - V_A \cdot 2,1 = 0. \tag{1}$$



**Fig. Apl-2.23**



**Fig. Apl-2.23.a**

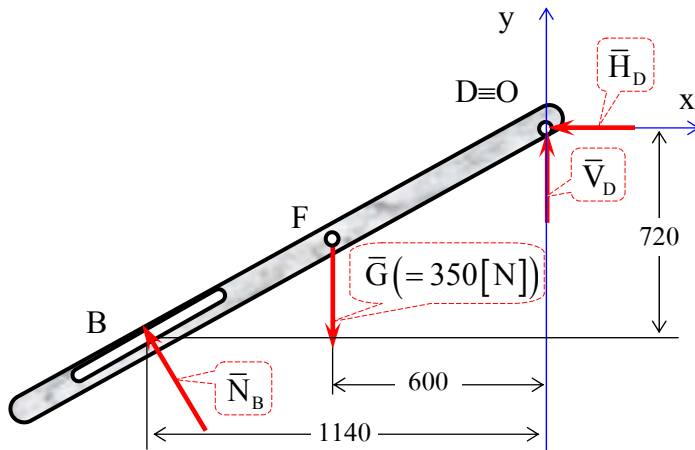


Fig. Apl-2.23.b

$$G \cdot 0,6 - N_B \cdot 1,348 = 0; \quad (2)$$

$$\Rightarrow N_B = \frac{0,6}{1,348} \cdot G = \frac{0,6}{1,348} \cdot 350 = 155,75 \text{ [N]}.$$

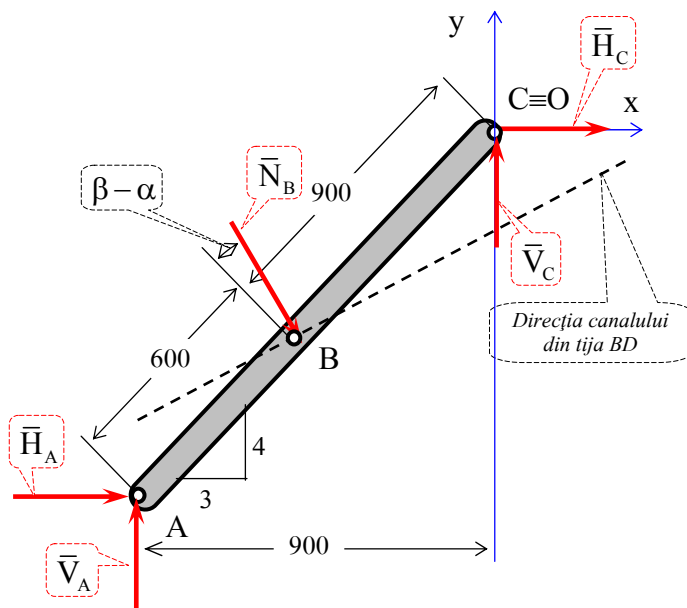


Fig. Apl-2.23.c

$$\begin{cases} H_C + H_A + N_B \cdot \sin \alpha = 0, \\ V_C + V_A - N_B \cdot \cos \alpha = 0, \\ H_A \cdot 1,2 + N_B \cdot \cos(\beta - \alpha) \cdot 0,9 - V_A \cdot 0,9 = 0. \end{cases} \quad (3)$$

Din diferența ecuațiilor (1) - (3<sub>3</sub>) se obține:

$$1,2 \cdot G - 2,1 \cdot V_A + 0,9 \cdot V_A - 0,9 \cdot \cos(\beta - \alpha) \cdot N_B = 0. \quad (4)$$

Apoi se aplică *teorema echilibrului părților* pentru bara BFD (fig. Apl-2.23.b) și se utilizează, pentru determinarea reacțiunii din reazemul B ( $N_B$ ), numai ecuația de momente scrisă în raport cu articulația cilindrică D, care are forma (2):

Pentru a ajunge la necunoscuta cerută în întrebare, se aplică *teorema echilibrului părților* pentru bara ABC (fig. Apl-2.23.c).

Ecuațiile de echilibru corespunzătoare, scrise în raport cu un sistem de referință cu originea în C, sunt:

Din ecuațiile (4) respectiv (1) se obțin mărimile componentelor reacțiunii din articulația cilindrică A:

$$V_A = \frac{1}{1,2} \cdot [1,2 \cdot 350 - 0,9 \cdot 155,75 \cdot \cos(20,85^\circ)] = 240,84 \text{ [N]};$$

$$H_A = \frac{1}{1,2} \cdot (1,2 \cdot 240,84 - 1,2 \cdot 350) = 71,47 \text{ [N]}.$$

Din ecuațiile (3<sub>1</sub>) respectiv (3<sub>2</sub>) se obțin mărimile componentelor reacțiunii din articulația cilindrică C:

$$\begin{aligned} H_C &= -H_A - N_B \cdot \sin \alpha = \\ &= -71,47 - 155,75 \cdot \sin 32,28^\circ = -154,64 \text{ [N]}; \end{aligned}$$

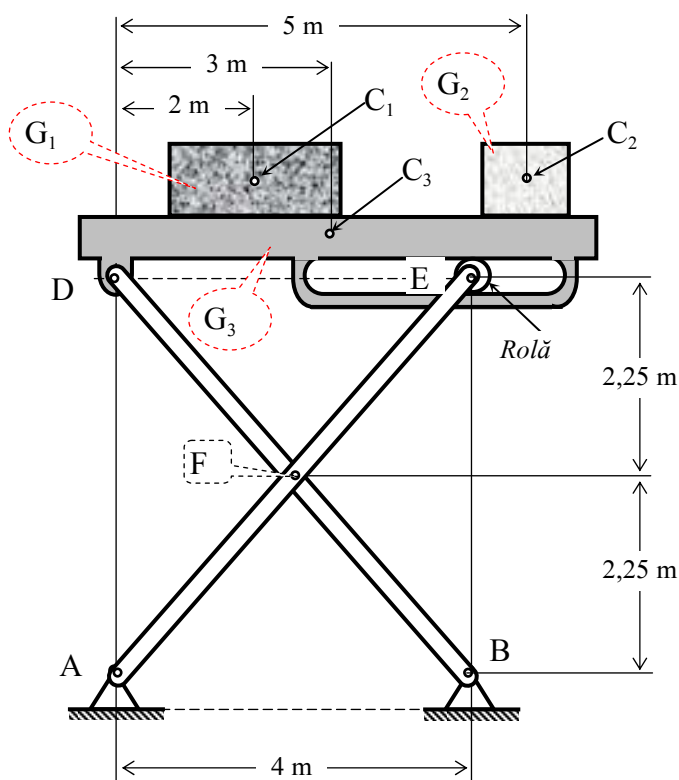
$$\begin{aligned} V_C &= -V_A + N_B \cdot \cos \alpha = \\ &= -240,84 + 155,75 \cdot \cos 32,28^\circ = -109,156 \text{ [N]}. \end{aligned}$$

Deci, forța exercitată de către știftul din C asupra barei ABC este:

$$\Rightarrow \bar{R}_C = -154,64 \cdot \bar{i} - 109,156 \cdot \bar{j} \text{ [N]}.$$

### ***Apl. 2.24***

Sarcinile  $G_1$  și  $G_2$  din figura Apl-2.24 sunt fiecare de câte 1250 [N], cu



centrele de greutate în  $C_1$  și  $C_2$ . Platforma pe care acestea se află în repaus are greutatea de 800 [N] cu centrul de masă în  $C_3$  și este suportată de către două perechi de bare de forma unei cruci (o pereche - se vede în figură). Neglijând greutatea perechilor de bare să se determine forța transmisă de către știftul ce conectează aceste două bare în punctul F. Considerăm că jumătate din sarcină este suportată de fiecare pereche de bare (sistemul este simetric).

***Fig. Apl-2.24***

### ***Rezolvare:***

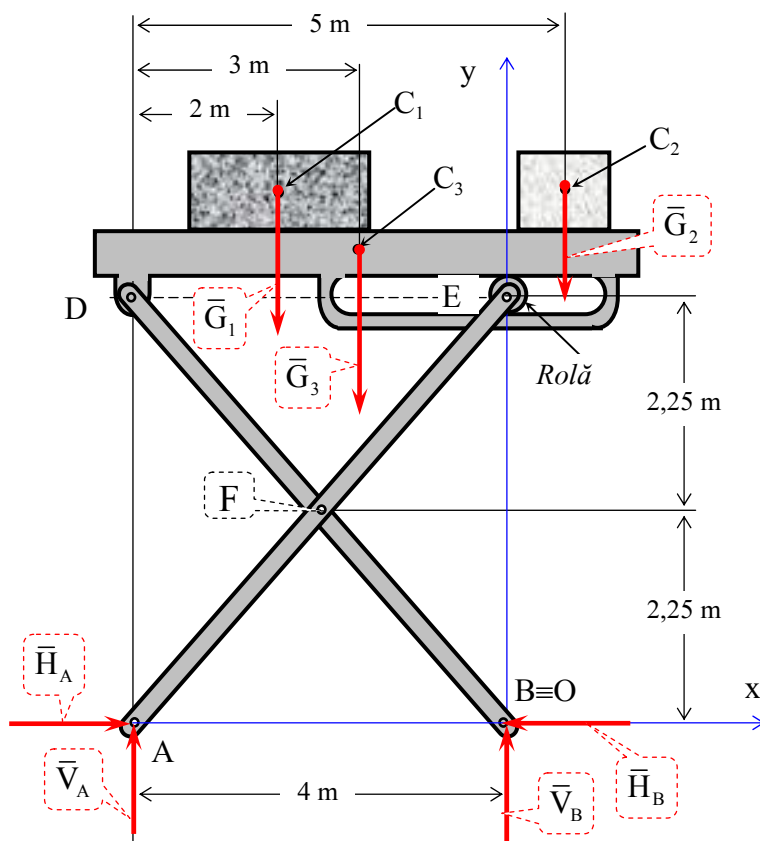
Se aplică *teorema*

solidificării pentru întreg sistemul de corpuri (fig. Apl-2.24.a).

Din aplicarea teoremei solidificării, pentru determinarea componentei verticale  $V_A$  a reacțiunii din A, se utilizează numai ecuația de momente scrisă în raport cu articulația cilindrică B, care are forma (1):

$$-V_A \cdot 4 + G_1 \cdot 2 - G_2 \cdot 1 + G_3 \cdot 1 = 0; \quad (1)$$

$$\begin{aligned} \Rightarrow V_A &= \frac{1}{4} \cdot (G_1 \cdot 2 - G_2 \cdot 1 + G_3 \cdot 1) = \\ &= \frac{1}{4} \cdot \left( \frac{1250}{2} \cdot 2 - \frac{1250}{2} \cdot 1 + \frac{800}{2} \cdot 1 \right) = 256,25 \text{ [N]} \end{aligned}$$



**Fig. Apl-2.24.a**

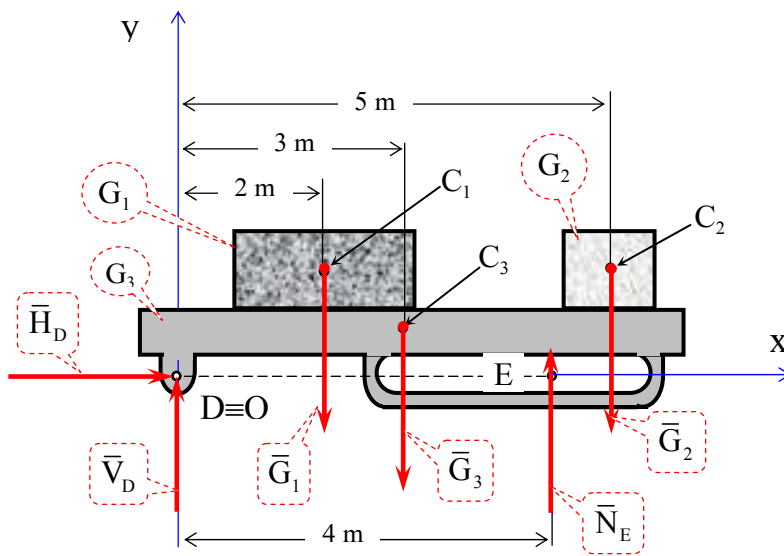
Sarcinile  $G_1$ ,  $G_2$  și  $G_3$ , în relația de mai sus, sunt introduse numai pe jumătate deoarece sunt distribuite în raportul 1/2 pe cele două perechi de bare.

Apoi se aplică teorema echilibrului părților (dublă de teorema solidificării) pentru platformă ( $G_3$ ) și cele două sarcini egale ( $G_1$  și  $G_2$ ) (fig. Apl-2.24.b) și se utilizează, pentru determinarea reacțiunii din reazemul E ( $N_E$ ), numai ecuația de momente scrisă în raport cu articulația cilindrică D, care are forma (2):

$$N_E \cdot 4 - G_1 \cdot 2 - G_2 \cdot 5 - G_3 \cdot 3 = 0; \quad (2)$$

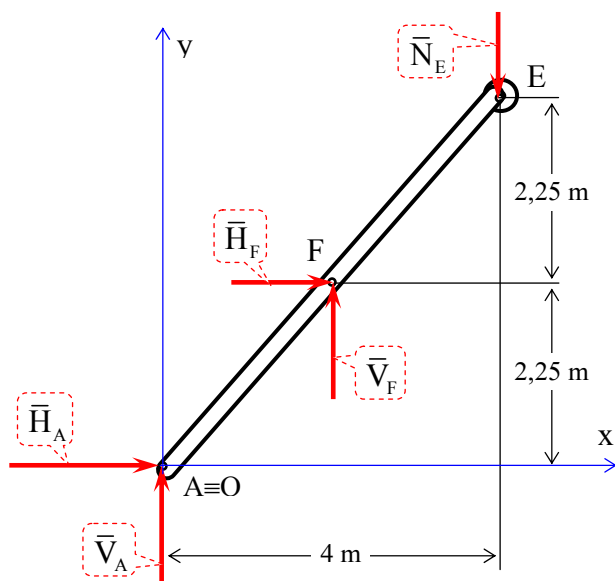
⇒

$$N_E = \frac{1}{4} \cdot (G_1 \cdot 2 + G_2 \cdot 5 + G_3 \cdot 3) = \frac{1}{4} \cdot \left( \frac{1250}{2} \cdot 7 + \frac{800}{2} \cdot 3 \right) = 1393,75 \text{ [N]}.$$



**Fig. Apl-2.24.b**

Sarcinile  $G_1$ ,  $G_2$  și  $G_3$ , în relația de mai sus, sunt introduse numai pe jumătate deoarece sunt distribuite în raportul  $\frac{1}{2}$  pe cele două perechi de bare. Pentru a ajunge la necunoscuta cerută în întrebare, se aplică *teorema echilibrului părților* pentru bara AFE (fig. Apl-2.24.c).



**Fig. Apl-2.24.c**

Ecuțiile de echilibru corespunzătoare, scrise în raport cu un sistem de referință cu originea în A, sunt:

$$\begin{cases} H_A + H_F = 0, \\ V_A + V_F - N_E = 0, \\ V_F \cdot 2 - H_F \cdot 2,25 - N_E \cdot 4 = 0. \end{cases} \quad (3)$$

Din ecuațiile (3<sub>2</sub>) respectiv (3<sub>3</sub>) se obțin mărimile componentelor reacțiunii din articulația cilindrică F:

$$\begin{aligned} \Rightarrow V_F &= N_E - V_A = \\ &= 1393,75 - 256,25 = 1137,5 \text{ [N]} \end{aligned}$$

$$\begin{aligned} \Rightarrow H_F &= \frac{1}{2,25} \cdot (V_F \cdot 2 - N_E \cdot 4) = \\ &= \frac{1}{2,25} \cdot (1137,5 \cdot 2 - 1393,75 \cdot 4) = 1466,67 \text{ [N]} \end{aligned}$$

Deci, forța transmisă de către știftul ce conectează cele două bare în punctul F, este:

$$\Rightarrow R_F = \sqrt{(H_F)^2 + (V_F)^2} = \sqrt{(1466,67)^2 + (1137,5)^2} = 1856 \text{ [N]}. \blacklozenge$$

**Apl. 2.25**

Sistemul de corpuri din figura Apl-2.25 este constituit din bara rectilinie AC, bara curbă CD (sfert de cerc) și scripetele  $S$ . Stabiliți dacă sistemul de bare AC și CD este în echilibru prin lipsa blocului  $B$ . În caz contrar să se determine greutatea minimă a blocului pentru menținerea echilibrului întregului sistem de corpuri.

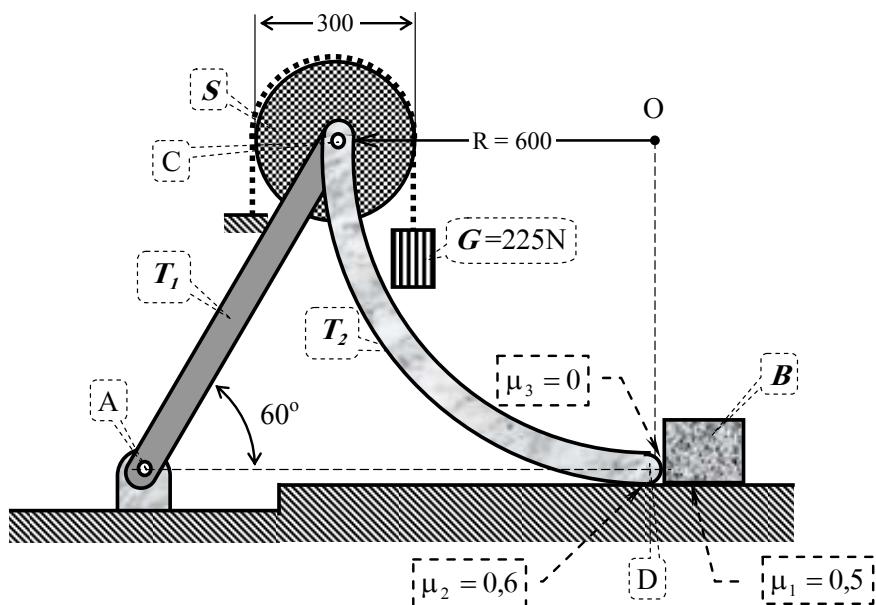


Fig. Apl-2.25

AC și CD este în echilibru prin lipsa blocului  $B$ . În caz contrar să se determine greutatea minimă a blocului pentru menținerea echilibrului întregului sistem de corpuri. Considerăm că forțele exercitate asupra barei

CD de către planul orizontal și blocul  $B$  sunt concurente în același punct D. Desemenea, să se determine forța exercitată de către știftul C asupra barei AC în cazul echilibrului sistemului.

**Rezolvare:**

Este în echilibru sistemul de bare AC și CD prin lipsa blocului  $B$  ?

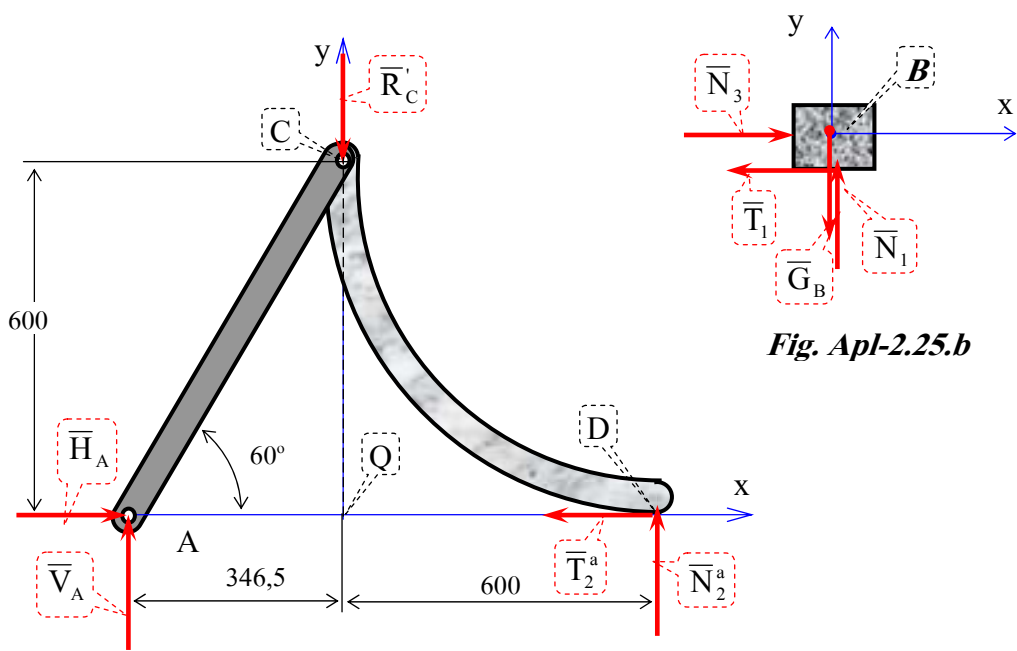
Se determină forța  $R'_C$  (fig. Apl-2.25.c) de interacțiune dintre scripetele  $S$  și știftul C de conexiune a barelor AC și CD:

$$R'_C = G + S = 2 \cdot G = 2 \cdot 225 = 450 \text{ [N]}.$$

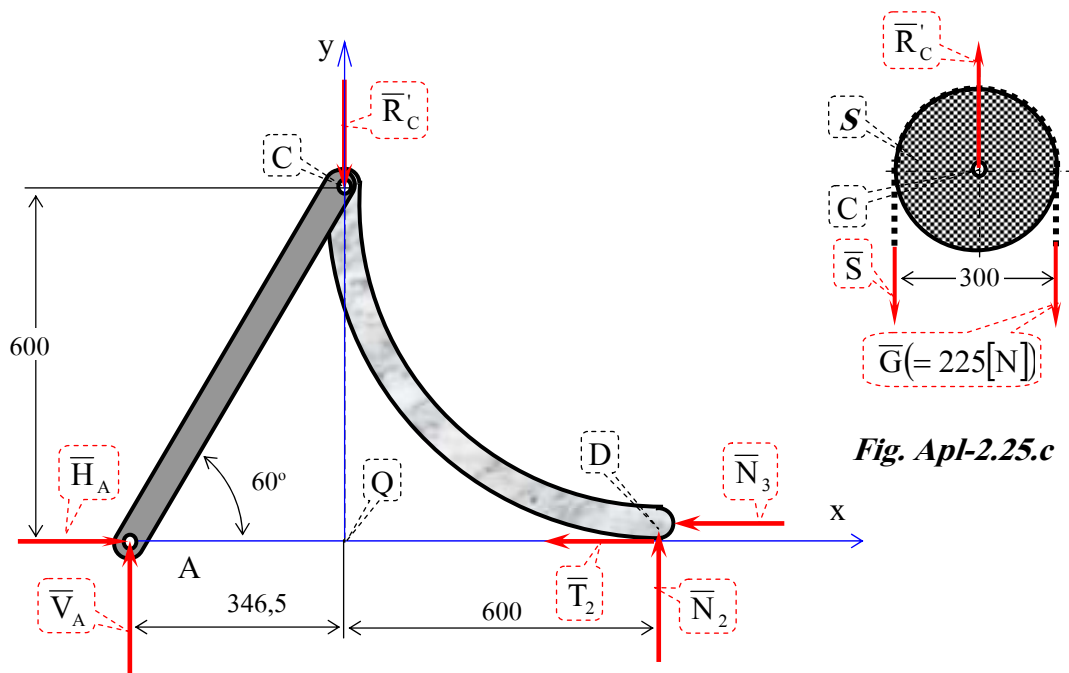
Se utilizează *teorema solidificării* pentru întreg sistemul de corpuri introducând forța  $R'_C$  în locul scripetelui (fig. Apl-2.25.a).

Ecuțiile de echilibru pentru întreg sistemul de corpuri solidificat (fig. Apl-2.25.a), în sistemul de referință cartezian cu originea în Q, sunt:

$$\begin{cases} H_2^a - T_2^a = 0, \\ V_2^a + N_2^a - R'_C = 0, \\ N_2^a \cdot 0,9465 - R'_C \cdot 0,3465 = 0. \end{cases} \quad (1)$$



**Fig. Apl-2.25.a**



**Fig. Apl-2.25.d**

Din ecuația (1<sub>3</sub>)

$$\Rightarrow N_2^a = \frac{0,3465}{0,9465} \cdot R'_C = \frac{0,3465}{0,9465} \cdot 450 = 164,74 \text{ [N]}.$$

Forța de frecare:

$$T_2^a = \mu_2 \cdot N_2^a. \tag{2}$$

Din ecuația de echilibru (numai ecuația de momente în raport cu articulația cilindrică C) a barei AC – considerată eliberată de legături conform cu teorema echilibrului părților, rezultă:

$$H_A^a \cdot 0,6 - V_A^a \cdot 0,3465 = 0,$$

$$\Rightarrow V_A^a = \frac{0,6}{0,3465} \cdot H_A^a. \quad (3)$$

Cu relația (3) înlocuită în ecuația (1<sub>2</sub>) obținem:

$$\frac{0,6}{0,3465} \cdot H_A^a + N_2^a - R_C' = 0;$$

$$\Rightarrow H_A^a = \frac{0,3465}{0,6} \cdot (R_C' - N_2^a) = \frac{0,3465}{0,6} \cdot (450 - 164,74) = 164,74 \text{ [N]}.$$

Din ecuația (1<sub>1</sub>) se obține valoarea forței de frecare -  $T_{2nec}^a$  - necesară menținerii echilibrului întregului sistem de corpuri, adică:

$$T_{2nec}^a = H_2^a = 164,74 \text{ [N]}.$$

Din ecuația (2) se obține valoarea maximă a forței de frecare- $T_{2max}^a$ , adică:

$$T_{2max}^a = \mu_2 \cdot N_2^a = 0,6 \cdot 164,74 = 98,84 \text{ [N]}.$$

Comparând cele două valori ale forței de frecare, adică:

$$T_{2nec}^a = 164,74 \text{ [N]} > T_{2max}^a = 98,84 \text{ [N]},$$

rezultă că pentru echilibrul sistemului este necesară existența blocului **B**.

În continuare se aplică *teorema echilibrului părților* pentru subsistemul constituit din bara rectilinie AC și bara curbă CD (sfert de cerc) ca în figura (fig. Apl-2.25.d) la care se adaugă *teorema echilibrului părților* pentru subsistemul constituit numai din blocul **B** (fig. Apl-2.25.b).

Ecuțiile de echilibru pentru subsistemul constituit din bara rectilinie AC și bara curbă CD (sfert de cerc) ca în figura (fig. Apl-2.25.d) sunt:

$$\begin{cases} H_A - T_2 - N_3 = 0, \\ N_2 + V_A - R_C' = 0, \\ N_2 \cdot 0,6 - V_A \cdot 0,3465 = 0. \end{cases} \quad (4)$$

Ecuțiile de echilibru pentru subsistemul constituit numai din blocul **B** (fig. Apl-2.25.b) sunt:



$$\begin{cases} N_3 - T_1 = 0, \\ N_1 - G_B = 0. \end{cases} \quad (5)$$

Pentru echilibrul la limită există tendința de mișcare atât între capătul D al barei curbe și planul orizontal cât și între blocul **B** și planul orizontal, astfel că forțele de frecare corespunzătoare sunt:

$$\begin{cases} T_1 = \mu_1 \cdot N_1, \\ T_2 = \mu_2 \cdot N_2. \end{cases} \quad (6)$$

Direcția reacțiunii din articulația cilindrică A are direcția tijei (60° cu orizontala) deoarece între A și C este legătură cu tijă rigidă. Astfel, între componentele  $H_A$  și  $V_A$  este relația:

$$V_A = H_A \cdot \operatorname{tg}60^\circ. \quad (7)$$

Introducând relațiile forțelor de frecare (6) și relația (7) în relațiile (4) și (5) se obține sistemul de cinci ecuații de forma (8), adică:

$$\begin{cases} H_A - \mu_2 \cdot N_2 - N_3 = 0, \\ N_2 + H_A \cdot \operatorname{tg}60^\circ - R'_C = 0, \\ N_2 \cdot 0,6 - H_A \cdot \operatorname{tg}60^\circ \cdot 0,3465 = 0, \\ N_3 - \mu_1 \cdot N_1 = 0, \\ N_1 - G_B = 0. \end{cases} \quad (8)$$

Rezolvarea sistemului (8) se face cu ajutorul procedurilor din MATHCAD. În tabel sunt introduși coeficienții necunoscutelor sistemului și termenii liberi.

	$N_1$	$N_2$	$N_3$	$H_A$	$G_B$	Membr. 2
1.	0	-0,6	-1	1	0	0
2.	0	1	0	$\sqrt{3}$	0	450
3.	0	0,6	0	$-\sqrt{3} \times 0,3465$	0	0
4.	-0,5	0	1	0	0	0
5.	1	0	0	0	-1	0
REZ.	131,705 [N]	164,739 [N]	65,853 [N]	164,696 [N]	131,705 [N]	-

Enter a non-singular matrix corresponding to the n equations in n unknowns:

$$M := \begin{pmatrix} 0 & -0.6 & -1 & 1 & 0 \\ 0 & 1 & 0 & \sqrt{3} & 0 \\ 0 & 0.6 & 0 & -\sqrt{3} \cdot 0.3465 & 0 \\ -0.5 & 0 & 1 & 0 & 0 \\ 1 & 0 & 0 & 0 & -1 \end{pmatrix}$$

Enter a vector of n constants:

$$v := \begin{pmatrix} 0 \\ 450 \\ 0 \\ 0 \\ 0 \end{pmatrix}$$

$$\text{soln} := \text{lsolve}(M, v) \quad \text{soln} = \begin{pmatrix} 131.705 \\ 164.739 \\ 65.853 \\ 164.696 \\ 131.705 \end{pmatrix} \quad \text{"elem sol"} := \begin{pmatrix} N_1 \\ N_2 \\ N_3 \\ H_A \\ G_B \end{pmatrix}$$

$$H_A := 164.696 \quad V_A := H_A \cdot \sqrt{3} \quad R_A := \sqrt{(H_A)^2 + (V_A)^2} \quad R_A = 329.392 \text{ N}$$

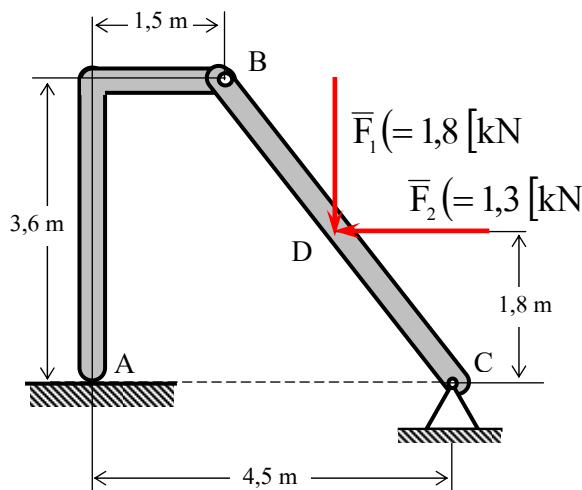
Deci, greutatea minimă a blocului **B** este:

$$G_{B\min} = 131,705 \text{ [N]}, \quad \blacklozenge$$

iar forța exercitată de către știftul C asupra barei AC este:

$$R_C = R_A = 329,392 \text{ [N]}. \quad \blacklozenge$$

**Apl. 2.26**



**Fig. Apl-2.26**

Sistemul de bare din figura Apl-2.26 este menținut în poziția indicată prin intermediul articulațiilor B și C, și a reazemului simplu cu frecare din A. Să se determine:

a) valoarea minimă a coeficientului de frecare din A care poate asigura echilibrul sistemului;

b) forțele exercitate de către știfturile articulațiilor B și C asupra barei BC.

**Răspuns:**

a)  $\mu = 0,417;$

b)  $\bar{R}_A = 467 \cdot \bar{i} + 1.120 \cdot \bar{j} \text{ [N]}; \quad \bar{R}_C = 833 \cdot \bar{i} + 680 \cdot \bar{j} \text{ [N]}.$

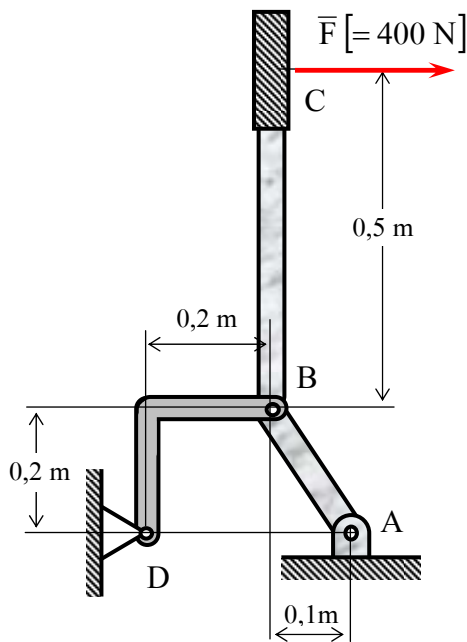


Fig. Apl-2.27

**Apl. 2.27**

Pârghia ABC este articulată în punctul A și conectată la sistemul fix în D prin intermediul barei BD în formă de L (fig. Apl-2.27). Dacă se neglijează greutatea proprii ale barelor și asupra mânerului levierului în C se acționează cu forța  $F = 400 \text{ [N]}$ , să se determine forța exercitată asupra știftului din A de către levier.

**Răspuns:**

$$R_A = 1074,976 \text{ [N]};$$

$$\theta = 60,255^\circ.$$

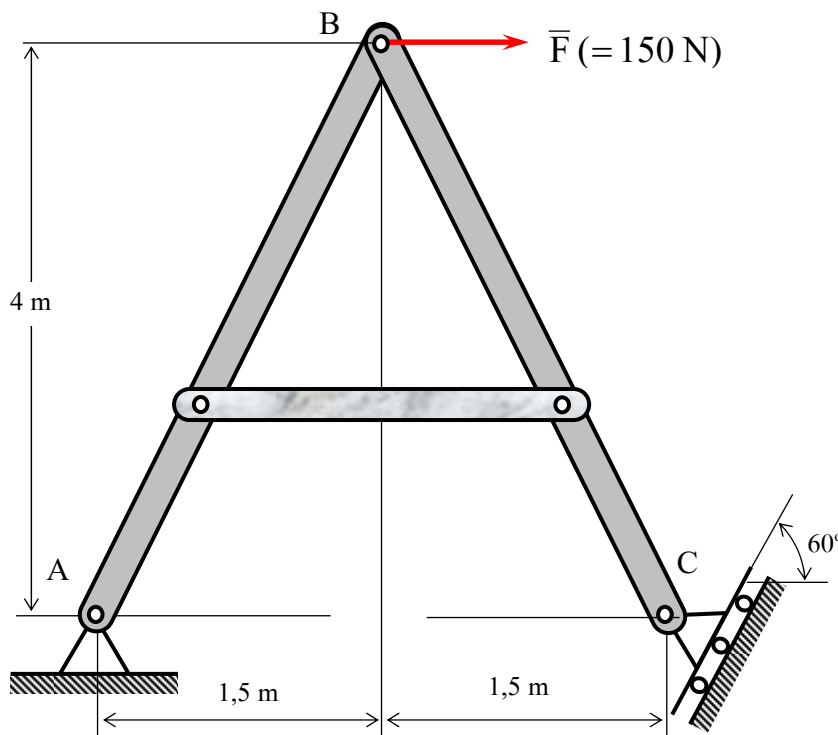


Fig. Apl-2.28

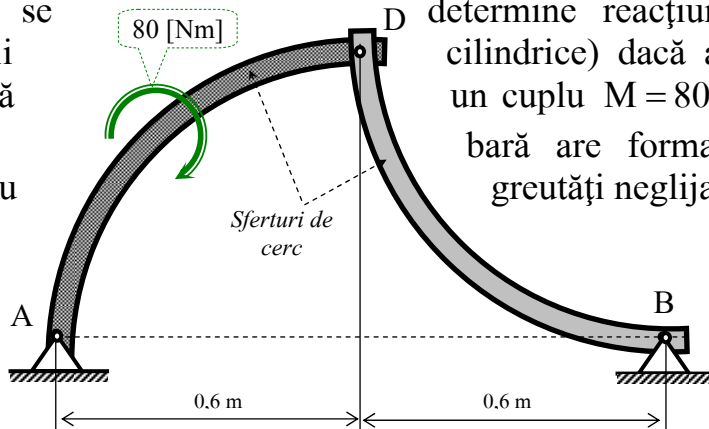
**Apl. 2.28**

Sistemul de bare articulate din fig. Apl-2.28 este supus acțiunii forței orizontale de intensitate 150N. Să se determine forța ce acționează asupra bolțului din A și forța cu care sistemul de bare acționează prin punctul C asupra planului înclinat.

**Răspuns:**  $R_A = 280,32 \text{ [N]}; N_C = 400 \text{ [N]}.$

**Apl. 2.29**

Să se  
(articulații  
acționează  
Fiecare  
ambele au



determine reacțiunile din A și B cilindrice) dacă asupra barei curbe AD un cuplu  $M = 80 \text{ [N} \cdot \text{m]}$  (fig. Apl-2.29). bară are forma de sfert de cerc și greutatea neglijabilă.

Fig. Apl-2.29

**Răspuns:**

$$R_{Ax} = 66,67 \text{ [N]} \rightarrow ; R_{Ay} = 66,67 \text{ [N]} \downarrow ; R_B = 94,28 \text{ [N]}.$$

**Apl. 2.30**

În figura Apl-2.30 discul  $D$  este articulat cilindric în centrul său  $A$  la bara omogenă  $B$ . Masele corpurilor sunt:  $m_D = 150 \text{ [kg]}$  pentru discul  $D$  și  $m_B = 200 \text{ [kg]}$  pentru bara omogenă  $B$ . În ambele puncte de rezemare se

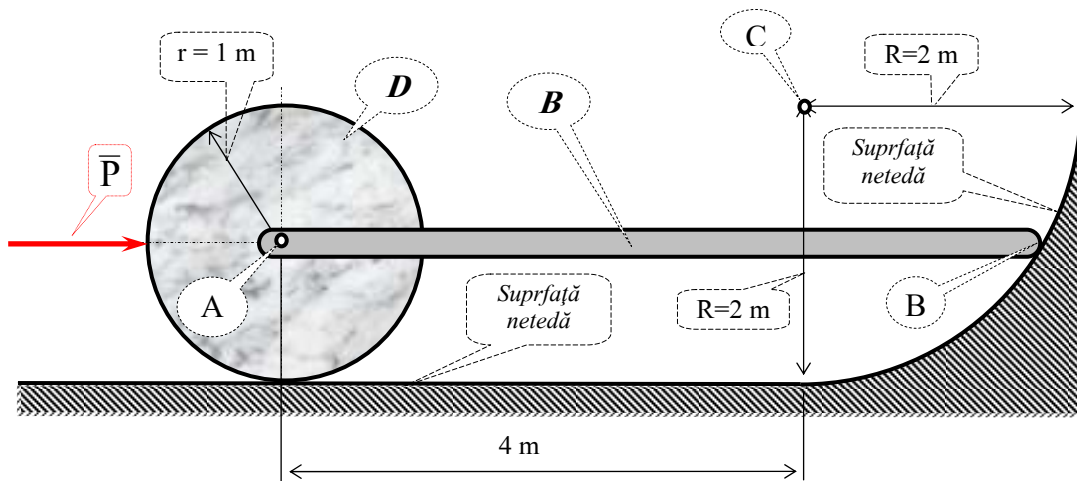
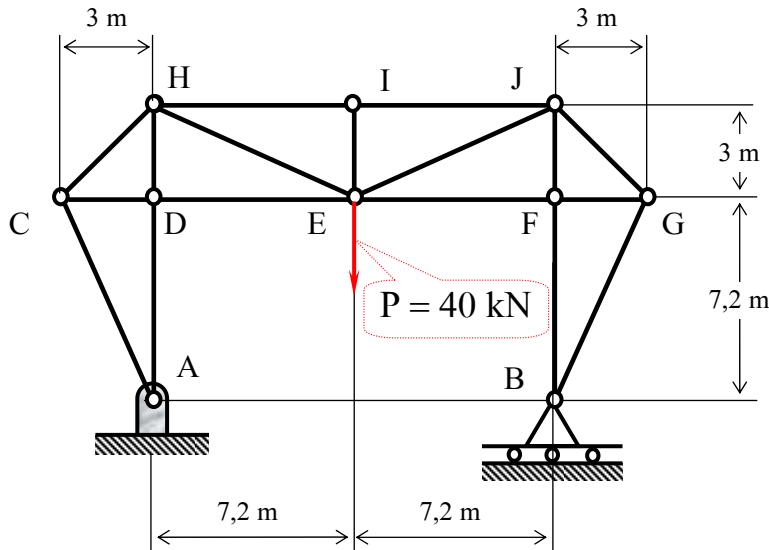


Fig. Apl-2.30

neglijează frecarea cu planul orizontal (discul) respectiv cu suprafața cilindrică (bara omogenă). Să se determine mărimea forței orizontale,  $P$ , necesară menținerii în echilibru a sistemului corpurilor  $D$  și  $B$ .

$$\text{Răspuns: } P = 1698,46 \text{ [N]}.$$

**Apl. 2.31**



Grinda cu zăbrele din figura Apl-2.31 este încărcată cu sarcina concentrată  $P = 40 \text{ [kN]}$  aplicată în punctul (nodul) E.

Să se determine eforturile în toate barele grinzii cu zăbrele din figură.

**Fig. Apl-2.31**

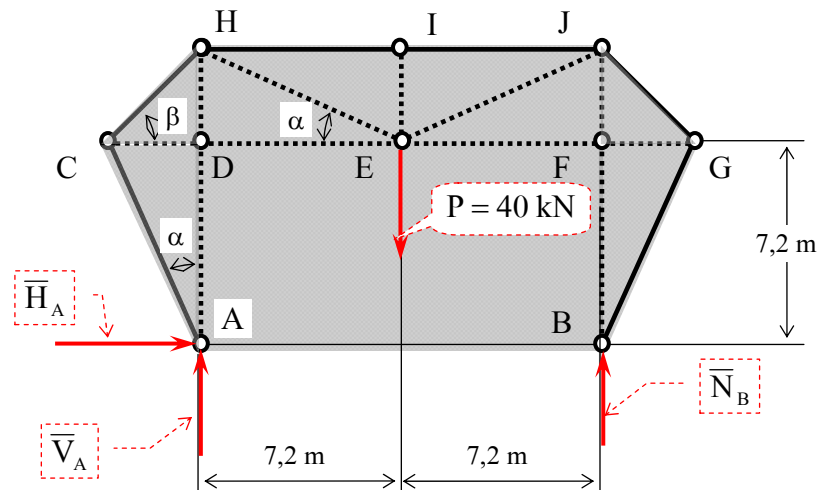
**Rezolvare**

Grinda cu zăbrele este static determinată deoarece este îndeplinită condiția:

$$b = 2 \cdot n - 3, \Rightarrow 17 = 2 \cdot 10 - 3.$$

Unghiurile din figura 5.1.a sunt:

$$\alpha = \arctg \frac{3}{7,2} = 22,62^\circ; \quad \beta = \arctg \frac{3}{3} = 45^\circ.$$



**Fig. Apl-2.31.a**

Se determină reacțiunile utilizând teorema solidificării pentru întreaga grindă cu zăbrele (fig. Apl-2.31.a):

$$\begin{cases} H_A = 0, \\ N_B + V_A - P = 0, \\ N_B \cdot 14,4 - P \cdot 7,2 = 0; \end{cases} \quad (1)$$

$$\Rightarrow H_A = 0;$$

$$N_B = \frac{1}{2} \cdot P = \frac{1}{2} \cdot 40 \text{ [kN]} = 2 \cdot 10^4 \text{ [N]};$$

$$V_A = P - N_B = 4 \cdot 10^4 - 2 \cdot 10^4 = 2 \cdot 10^4 \text{ [N]}.$$

Grinda cu zăbrele fiind simetrică se determină eforturile numai din barele părții din stânga planului de simetrie vertical ce conține și bara IE și se atribuie și celor simetrice astfel:  $S_{AC} = S_{BG}$ ,  $S_{AD} = S_{BF}$ ,  $S_{CD} = S_{FG}$ ,  $S_{CH} = S_{JG}$ ,  $S_{DE} = S_{EF}$  și  $S_{HI} = S_{IJ}$ .

Pentru partea din stânga planului de simetrie vertical se determină eforturile din barele grinzii cu zăbrele aplicând metoda izolării nodurilor pornind de la nodul A și continuând, în ordinea următoare, cu nodurile C, H și I.

Ecuțiile de echilibru pentru *nodul A* (fig. Apl-2.31.b):

$$\begin{cases} H_A - S_{AC} \cdot \sin \alpha = 0, \\ V_A + S_{AD} + S_{AC} \cdot \cos \alpha = 0; \end{cases} \quad (2)$$

$$\Rightarrow S_{AC} = \frac{1}{\sin \alpha} \cdot H_A = 0, \quad \blacklozenge$$

$$S_{AD} = -V_A = -2 \cdot 10^4 \text{ [N]}.$$

Ecuțiile de echilibru pentru *nodul C* (fig. Apl-2.31.c):

$$\begin{cases} S_{CH} \cdot \cos \beta + S_{CD} + S_{AC} \cdot \cos \left( \frac{\pi}{2} - \alpha \right) = 0, \\ S_{CH} \cdot \sin \beta - S_{AC} \cdot \sin \left( \frac{\pi}{2} - \alpha \right) = 0; \end{cases} \quad (3)$$

$$\Rightarrow S_{CH} = 0; \quad \blacklozenge$$

$$S_{CD} = 0.$$

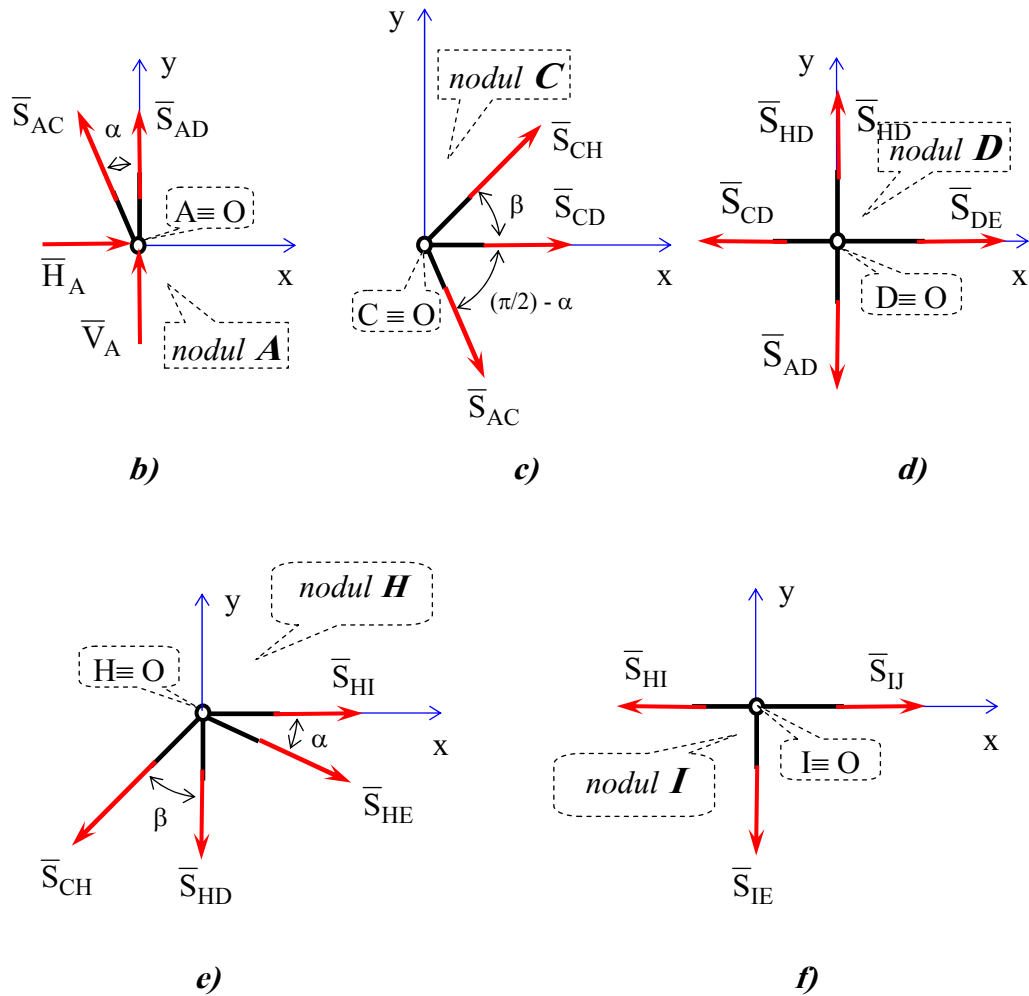
Ecuțiile de echilibru pentru *nodul D* (fig. Apl-2.31.d):

$$\begin{cases} S_{DE} - S_{CD} = 0, \\ S_{HD} - S_{AD} = 0; \end{cases} \quad (4)$$

$$\Rightarrow S_{DE} = S_{CD} = 0;$$

$$S_{HD} = S_{AD} = -2 \cdot 10^4 \text{ [N].}$$

Ecuțiile de echilibru pentru *nodul H* (fig. Apl-2.31.e):



**Fig. Apl-2.31. b. c. d. e. f**

$$\begin{cases} S_{HI} + S_{HE} \cdot \cos \alpha - S_{CH} \cdot \sin \beta = 0, \\ -S_{HE} \cdot \sin \alpha - S_{HD} - S_{CH} \cdot \cos \beta = 0; \end{cases} \quad (5)$$

$$\Rightarrow S_{HE} = -\frac{1}{\sin \alpha} \cdot S_{HD} = -\frac{(-2 \cdot 10^4)}{\sin 22,62^\circ} = 5,2 \cdot 10^4 \text{ [N];}$$

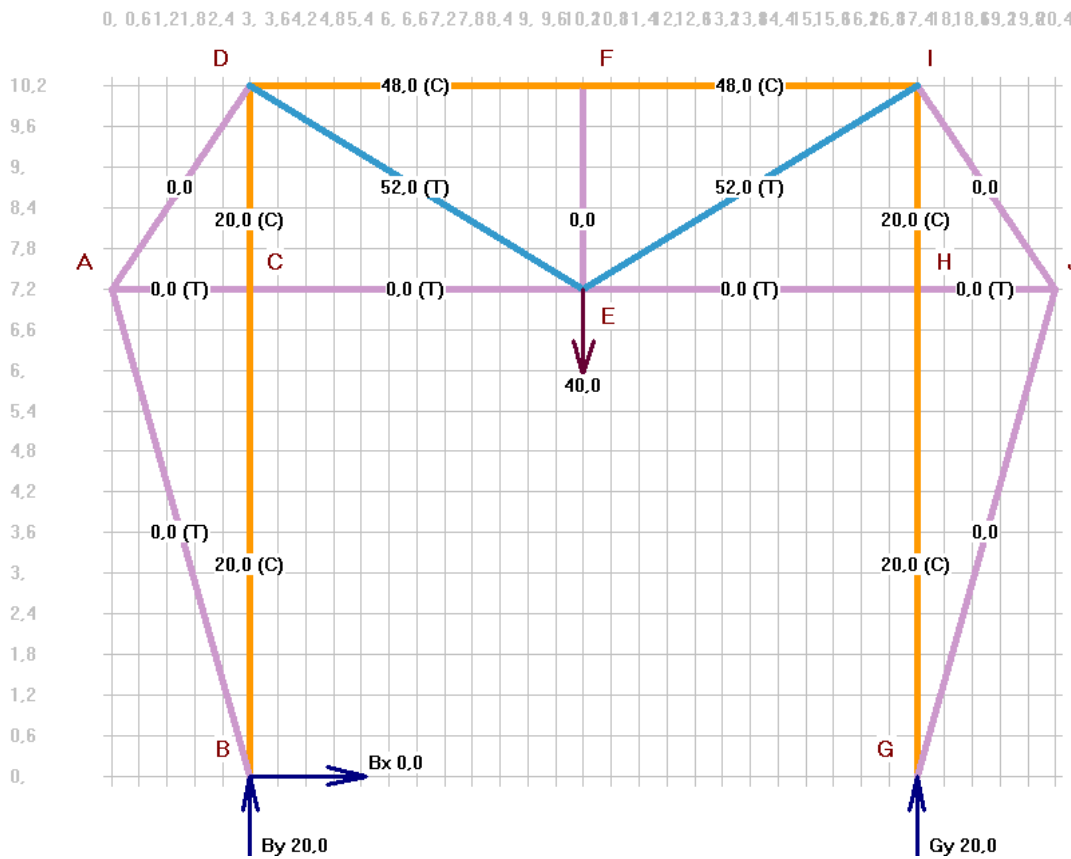
$$S_{HI} = -S_{HE} \cdot \cos \alpha = -(5,2 \cdot 10^4) \cdot \cos 22,62^\circ = -4,8 \cdot 10^4 \text{ [N].}$$

Ecuțiile de echilibru pentru *nodul I* (fig. Apl-2.31.f):

$$\begin{cases} S_{IJ} - S_{HI} = 0, \\ S_{IE} = 0; \end{cases} \quad (6)$$

$\Rightarrow S_{IE} = 0$  și  $S_{IJ} = S_{HI} = -4,8 \cdot 10^4$  [N]. ◆

În figura 5.1.g (notația nodurilor nu coincide-alegerea este făcută prin program; eforturile se echivalează comparând cu notațiile din figura cu datele



**Fig. Apl-2.31.g** (reacțiunile și eforturile sunt indicate în kN)

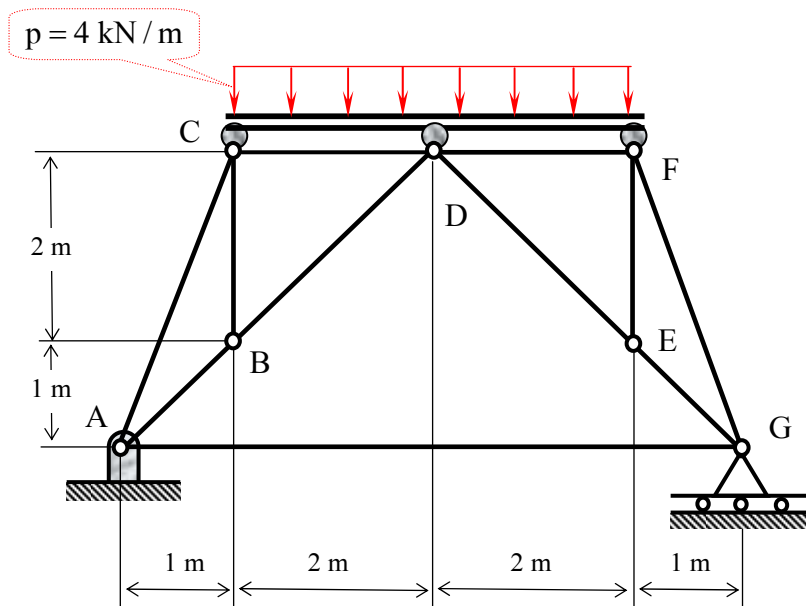
inițiale) este reprezentat grafic rezultatul prelucrării datelor problemei cu ajutorul modului “Truss Analysis” al programului MDSolids 3.0. Observație: toate forțele din figură (încărcare, reacțiuni și eforturi din bare) sunt date în kN.

*Deci se verifică rezultatele obținute prin cele trei metode.*



**Apl. 2.32**

Grinda cu zăbrele din figura Apl-2.32 este încărcată cu sarcina distribuită



**Fig. Apl-2.32**

pe bara rezemată pe grindă prin intermediul celor trei role din punctele C, D și F, de intensitate  $p = 4 \text{ [kN/m]}$ . Să se determine eforturile în barele CB, CD, DB, BA și AC ale grinzii cu zăbrele din figură.

**Rezolvare:**

**Metoda  $F^a$**

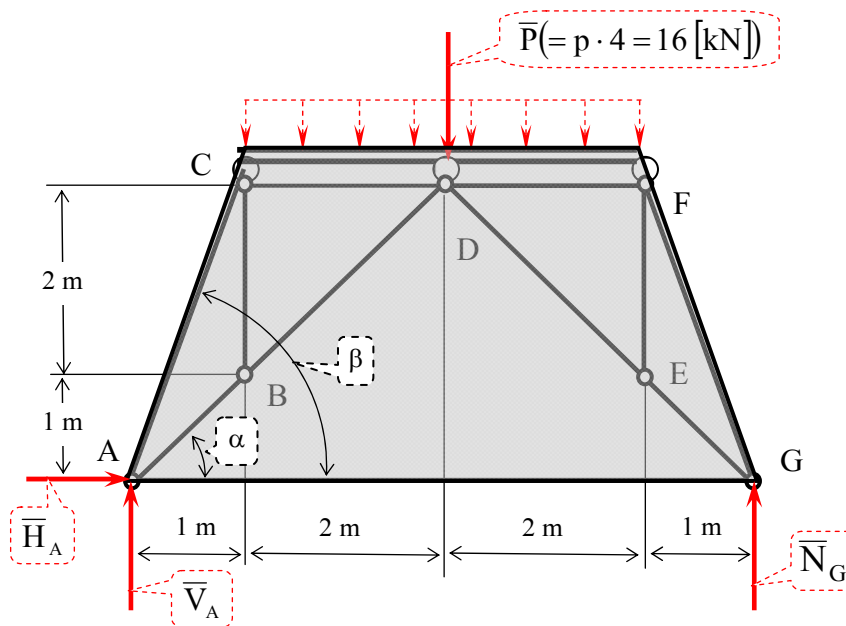
Grinda cu zăbrele este static determinată deoarece este îndeplinită condiția:

$$b = 2 \cdot n - 3, \\ \Rightarrow 11 = 2 \cdot 7 - 3.$$

Unghiurile din figura Apl-2.32.a sunt:

$$\alpha = \arctg \frac{3}{3} = 45^\circ;$$

$$\beta = \arctg \frac{3}{1} = 71,56^\circ.$$

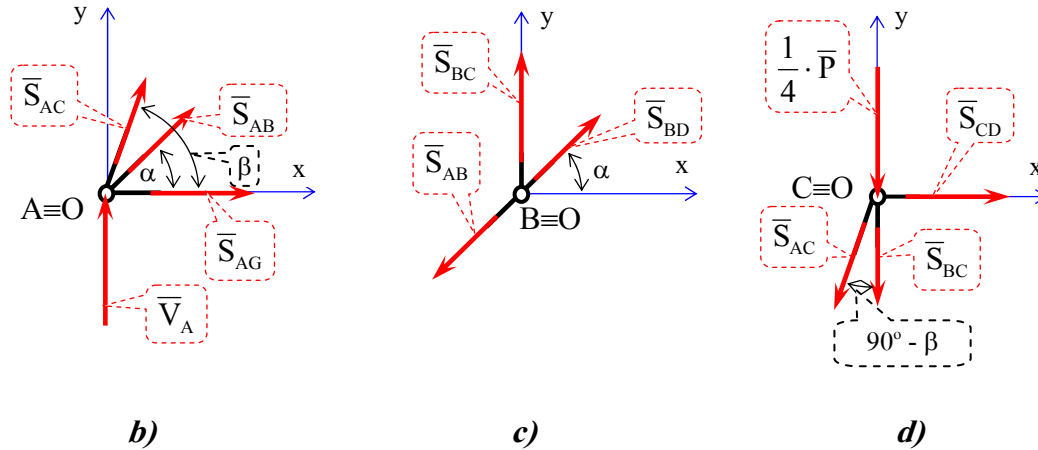


**Fig. Apl-2.32.a**

Se determină reacțiunile exterioare utilizând

teorema solidificării pentru întreaga grindă cu zăbrele (fig. Apl-2.32.a):

$$\begin{cases} H_A = 0, \\ N_G + V_A - P = 0, \\ N_G \cdot 6 - P \cdot 3 = 0; \end{cases} \quad (1)$$



**Fig. Apl-2.32.b,c,d**

$$\Rightarrow H_A = 0;$$

$$N_G = \frac{3}{6} \cdot P = \frac{1}{2} \cdot 16 \text{ [kN]} = 8 \cdot 10^3 \text{ [N]};$$

$$V_A = P - N_G = 16 \cdot 10^3 - 8 \cdot 10^3 = 8 \cdot 10^3 \text{ [N]}.$$

Grinda cu zăbrele fiind simetrică se determină eforturile numai din barele părții din stânga planului de simetrie vertical ce conține și nodul D și se atribuie și celor simetrice astfel:  $S_{AC} = S_{GF}$ ,  $S_{AB} = S_{EG}$ ,  $S_{CB} = S_{EF}$ ,  $S_{CD} = S_{DF}$  și  $S_{DB} = S_{ED}$ .

Pentru partea din stânga planului de simetrie vertical se determină eforturile din barele grinzii cu zăbrele aplicând metoda izolării nodurilor pornind de la nodul A și continuând, în ordinea următoare, cu nodurile B și C.

Ecuțiile de echilibru pentru *nodul A* (fig. Apl-2.32.b):

$$\begin{cases} S_{AG} + S_{AC} \cdot \cos \beta + S_{AB} \cdot \cos \alpha = 0, \\ V_A + S_{AB} \cdot \sin \alpha + S_{AC} \cdot \sin \beta = 0. \end{cases} \quad (2)$$

Ecuțiile de echilibru pentru *nodul B* (fig. Apl-2.32.c):

$$\begin{cases} S_{DB} \cdot \cos \alpha - S_{AB} \cdot \cos \alpha = 0, \\ S_{BC} - S_{AB} \cdot \sin \alpha + S_{DB} \cdot \sin \alpha = 0. \end{cases} \quad (3)$$

Ecuțiile de echilibru pentru *nodul C* (fig. Apl-2.32.d):

$$\begin{cases} S_{CD} - S_{AC} \cdot \sin(90^\circ - \beta) = 0, \\ -P/4 - S_{BC} - S_{AC} \cdot \cos(90^\circ - \beta) = 0. \end{cases} \quad (4)$$

## SIMULAREA SISTEMELOR MECANICE

Rezolvarea sistemului constituit din grupurile de ecuații de echilibru corespunzătoare celor trei noduri - rel. (2), (3) și (4), având 6 ecuații și 6 necunoscute, se face cu ajutorul procedurilor din MATHCAD. În tabel sunt introduși coeficienții necunoscutelor sistemului și termenii liberi.

<i>Nec. → Nr. ec. ↓</i>	$S_{AG}$	$S_{AC}$	$S_{AB}$	$S_{BC}$	$S_{DB}$	$S_{CD}$	<i>Term. liber</i>
$2_1$	1	$\cos\beta$	$\cos\alpha$	0	0	0	0
$2_2$	0	$\sin\beta$	$\sin\alpha$	0	0	0	$-V_A$
$3_1$	0	0	$-\cos\alpha$	0	$\cos\alpha$	0	0
$3_2$	0	0	$-\sin\alpha$	1	$\sin\alpha$	0	0
$4_1$	0	$-\sin(90^\circ-\beta)$	0	0	0	1	0
$4_2$	0	$\cos(90^\circ-\beta)$	0	1	0	0	$-P/4$

$$V_A := 8 \cdot 10^3 \text{ N} \quad P := 16 \cdot 10^3 \text{ N} \quad \alpha := \operatorname{atan}\left(\frac{3}{3}\right) \quad \alpha = 45 \text{ deg} \quad \beta := \operatorname{atan}\left(\frac{3}{1}\right) \quad \beta = 71.565 \text{ de}$$

Enter a non-singular matrix corresponding to equations in n unknowns:

Enter a vector of n constants

$$M := \begin{pmatrix} 1 & \cos(\beta) & \cos(\alpha) & 0 & 0 & 0 \\ 0 & \sin(\beta) & \sin(\alpha) & 0 & 0 & 0 \\ 0 & 0 & -\cos(\alpha) & 0 & \cos(\alpha) & 0 \\ 0 & 0 & -\sin(\alpha) & 1 & \sin(\alpha) & 0 \\ 0 & -\sin(90\text{deg}-\beta) & 0 & 0 & 0 & 1 \\ 0 & \cos(90\text{deg}-\beta) & 0 & 1 & 0 & 0 \end{pmatrix}$$

$$v := \begin{pmatrix} 0 \\ -V_A \\ 0 \\ 0 \\ 0 \\ -\frac{P}{4} \end{pmatrix}$$

$$\text{soln} := \text{lsolve}(M, v)$$

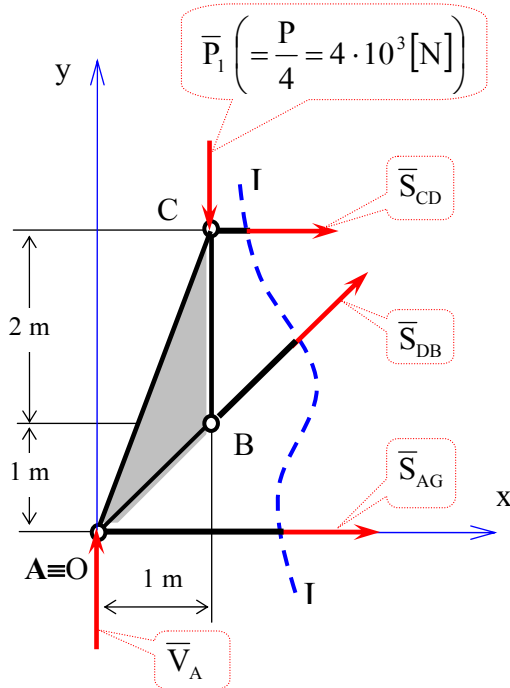
Solution:      soln =

$$\begin{pmatrix} 5.333 \times 10^3 \\ -4.216 \times 10^3 \\ -5.657 \times 10^3 \\ -7.461 \times 10^{-14} \\ -5.657 \times 10^3 \\ -1.333 \times 10^3 \end{pmatrix} \text{ N} \quad \text{soln} := \begin{pmatrix} S_{AG} \\ S_{AC} \\ S_{AB} \\ S_{BC} \\ S_{DB} \\ S_{CD} \end{pmatrix}$$

**Metoda II<sup>a</sup>**

(și cu scop de verificare al rezultatelor obținute prin metoda I<sup>a</sup>)

Se determină eforturile din barele AG, DB și CD ale grinzii cu zăbrele aplicând metoda secțiunilor (fig. Apl-2.32.e):



**Fig. Apl-2.32.e**

$$\begin{cases} S_{AG} + S_{CD} + S_{DB} \cdot \cos \alpha = 0, \\ V_A + S_{DB} \cdot \sin \alpha - \frac{P}{4} = 0, \\ S_{CD} \cdot (1 + 2) + \frac{P}{4} \cdot 1 = 0. \end{cases} \quad (5)$$

din ecuația (5<sub>2</sub>)

$$\begin{aligned} \Rightarrow S_{DB} &= \frac{1}{\sin \alpha} \cdot \left( \frac{P}{4} - V_A \right) = \\ &= \frac{1}{\sin 45^\circ} \cdot \left( \frac{16 \cdot 10^3}{4} - 8 \cdot 10^3 \right) = \\ &= -5,657 \cdot 10^3 \text{ [N];} \end{aligned}$$

din ecuația (5<sub>3</sub>)

$$S_{CD} = -\frac{P}{12} = -\frac{1,6 \cdot 10^4}{12} = -1,333 \cdot 10^3 \text{ [N];}$$

din ecuația (5<sub>1</sub>)

$$\begin{aligned} S_{AG} &= -S_{CD} - S_{DB} \cdot \cos \alpha = \\ &= -(-1,333 \cdot 10^3) - \left( -4 \cdot 10^3 \cdot \frac{2}{\sqrt{2}} \right) \cdot \frac{\sqrt{2}}{2} = 5,333 \cdot 10^3 \text{ [N].} \end{aligned}$$

Pentru determinarea eforturilor din barele AC, CD și AD se aplică metoda izolării nodurilor pentru nodurile A și respectiv D (fig. Apl-2.32.b și c), ecuațiile (2) și (3), din care rezultă direct (numai două eforturi necunoscute în fiecare grup de câte două ecuații) eforturile necunoscute:

din ecuația (2)

$$\Rightarrow S_{AC} = \frac{S_{AG} \cdot \sin \alpha - V_A \cdot \cos \alpha}{\sin \beta \cdot \cos \alpha - \sin \alpha \cdot \cos \beta} = \frac{S_{AG} \cdot \sin 45^\circ - V_A \cdot \cos 45^\circ}{\sin(\beta - \alpha)} =$$

$$= \frac{(5,333 \cdot 10^3 - 8 \cdot 10^3) \cdot \frac{\sqrt{2}}{2}}{\sin(71,56^\circ - 45^\circ)} = -4,217 \cdot 10^3 \text{ [N]};$$

din ecuația (3<sub>1</sub>)

⇒

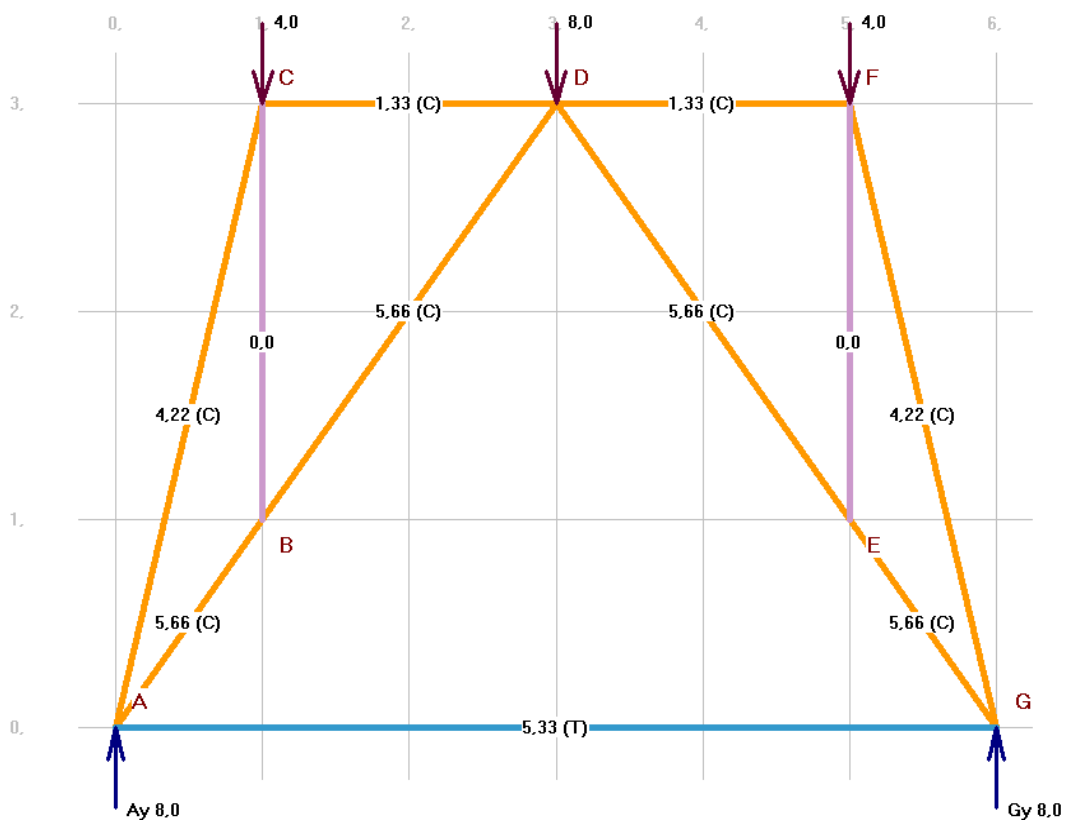
$$S_{AB} = S_{DB} = -5,657 \cdot 10^3 \text{ [N]};$$

din ecuația (3<sub>2</sub>)

⇒

$$S_{BC} = S_{AB} \cdot \sin \alpha - S_{DB} \cdot \sin \alpha = 0.$$

În figura Apl-2.32.f este reprezentat grafic rezultatul prelucrării datelor



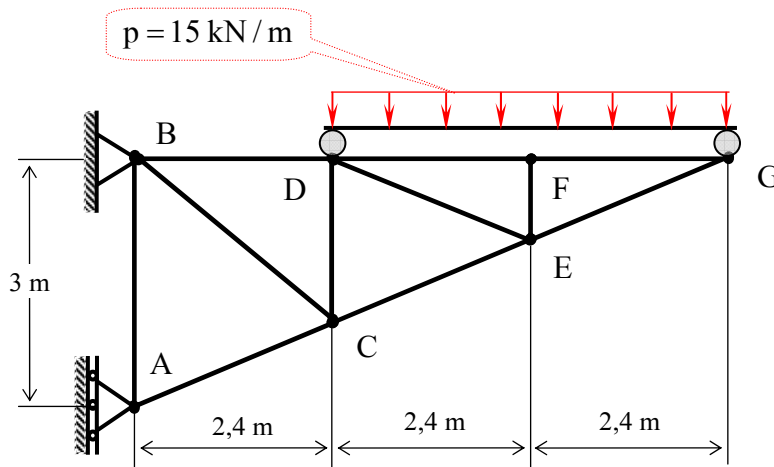
**Fig. Apl-2.32.f** (reacțiunile și eforturile sunt indicate în kN)

problemei cu ajutorul modulului “Truss Analysis” al programului MDSolids 3.0. Observație: toate forțele din figura Apl-2.32.f (încărcare, reacțiuni și eforturi din bare) sunt date în kN.

*Deci se verifică rezultatele obținute prin cele trei metode.*

**Apl. 2.33**

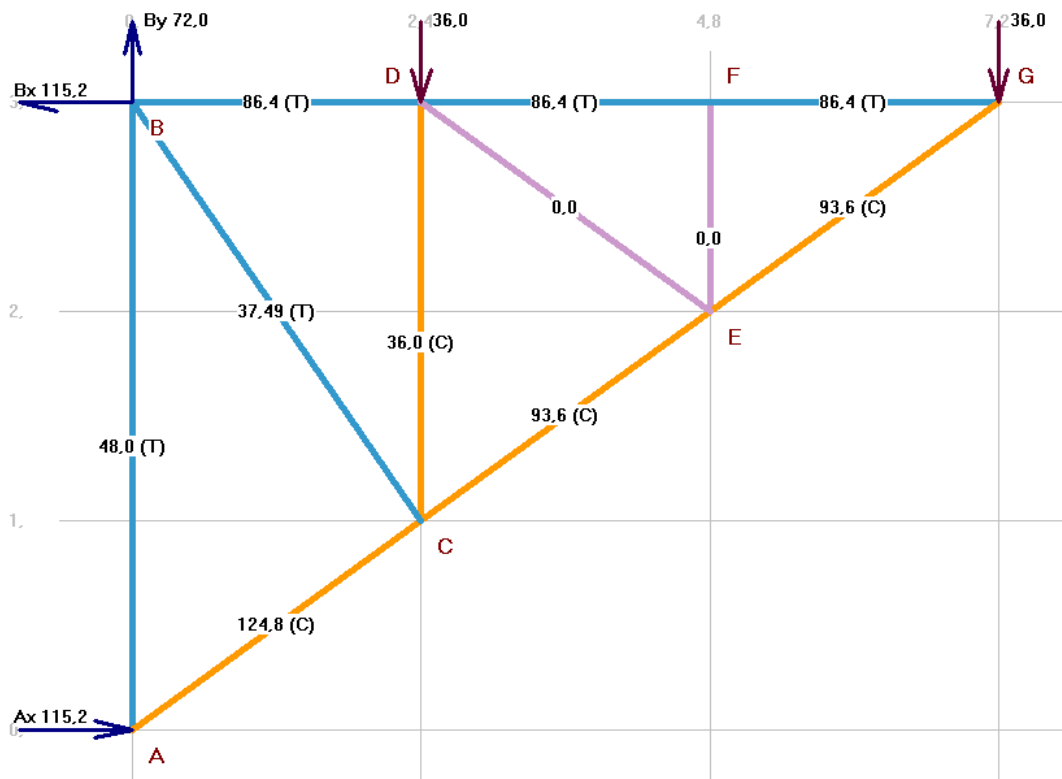
Să se determine eforturile în toate barele grinzii cu zăbrele din figura Apl-2.33.



**Răspuns:**

- $S_{AB} = 48 \text{ [kN]} - \hat{I};$
- $S_{CD} = -36 \text{ [kN]} - C;$
- $S_{EF} = 0;$
- $S_{AC} = -124,8 \text{ [kN]} - C;$
- $S_{CE} = -93,6 \text{ [kN]} - C;$
- $S_{EG} = -93,6 \text{ [kN]} - C;$
- $S_{BD} = 86,4 \text{ [kN]} - \hat{I};$
- $S_{DF} = 86,4 \text{ [kN]} - \hat{I};$
- $S_{FG} = 86,4 \text{ [kN]} - \hat{I};$
- $S_{DE} = 0.$

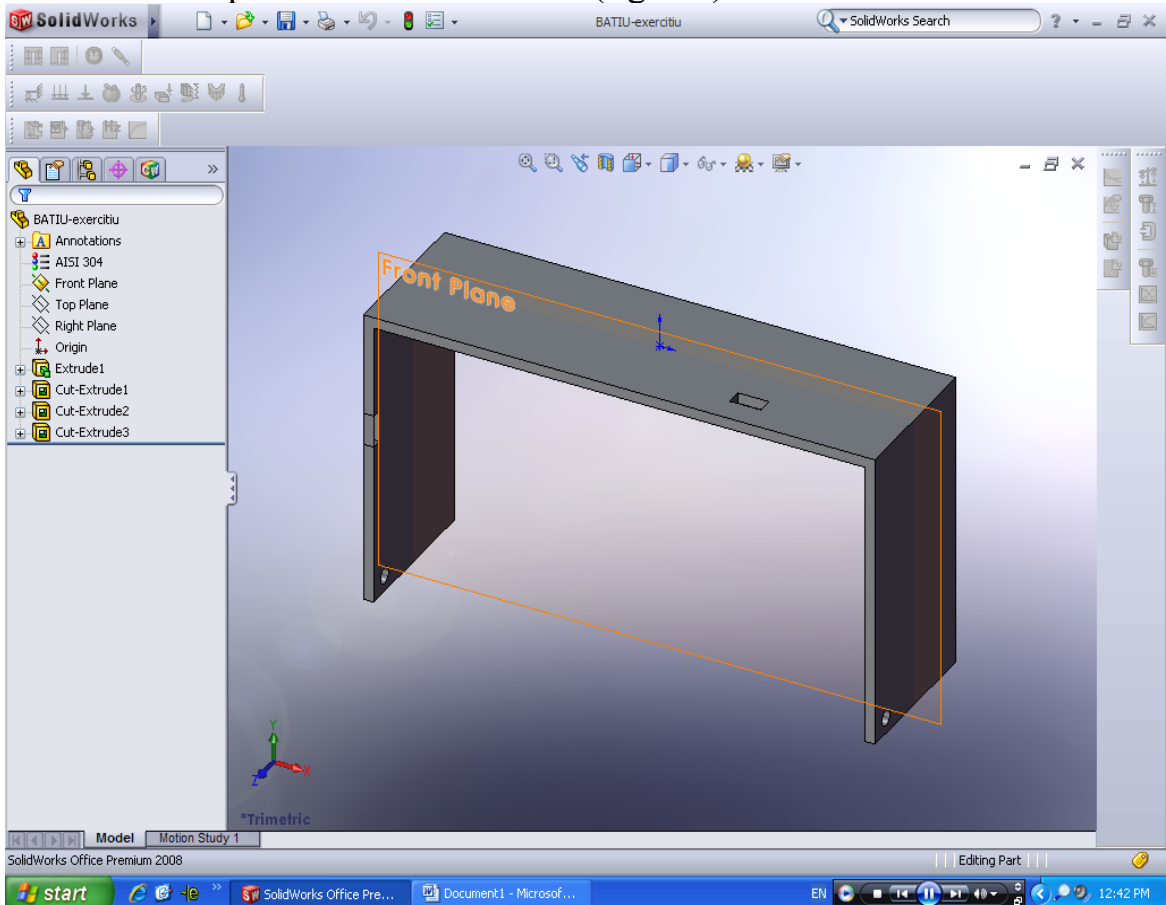
**Fig. Apl-2.33**




**Fig. Apl-2.33.a** (reacțiunile și eforturile sunt indicate în kN)

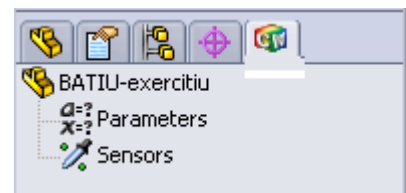
## 2.b. ANALIZA STATICĂ - SolidWorks

1. Deschidem piesa **BATIU-exercitiu** (fig. 2.6).



*Fig. 2.6*

2. Click stânga pe iconita  ce reprezinta **COSMOS AnalysisManager** și rezultatul acțiunii este reprezentat în figura 2.7.



*Fig. 2.7*

3. Click dreapta pe **BATIU- exercitiu**, apoi click stânga pe **Study** (fig. 2.8), rezultatul acțiunii este reprezentat în figura 2.10.

3'. La rezultatul din figura 2.10 se ajunge și prin acțiunile: click dreapta pe **Study** din **COSMOSWorks** de pe bara cu meniuri (fig. 2.9).

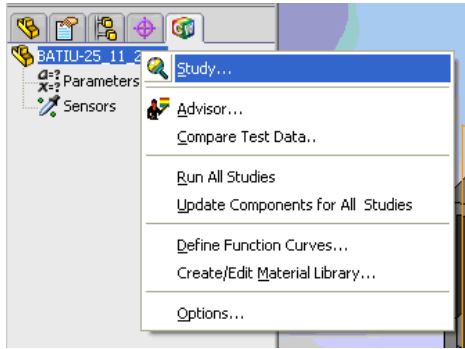


Fig. 2.8

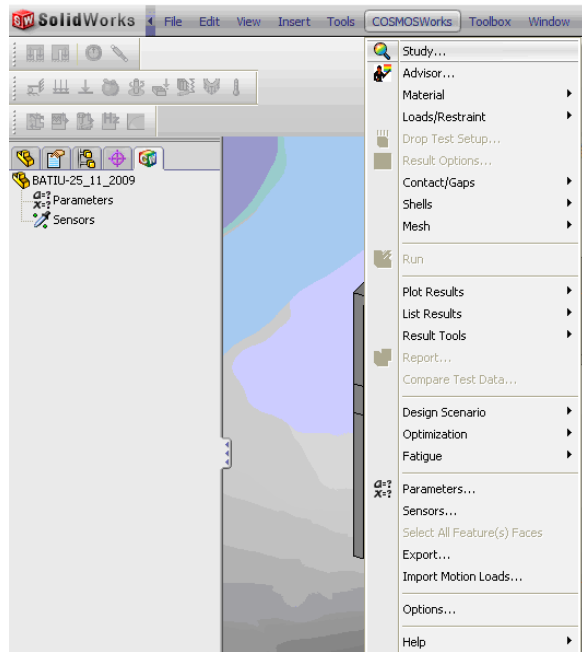


Fig. 2.9

4. Se selecteaza din **Type** studiul **Static** (sau alte tipuri). Click **OK** si rezultatul este reprezentat în figura 2.11.

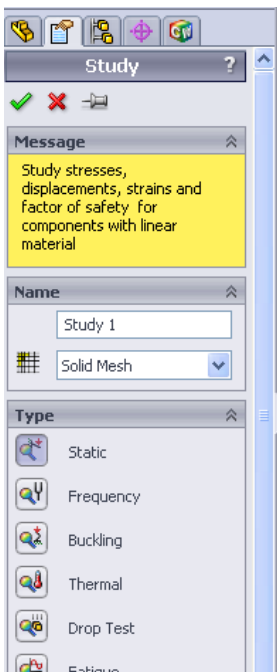


Fig. 2.10

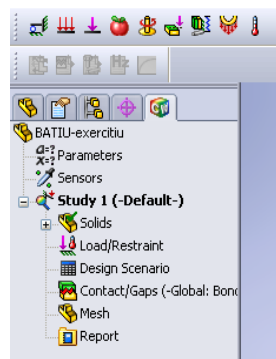


Fig. 2.11

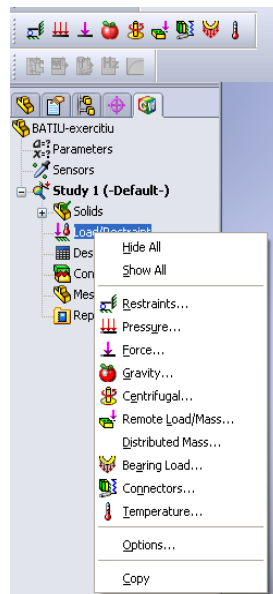


Fig. 2.12

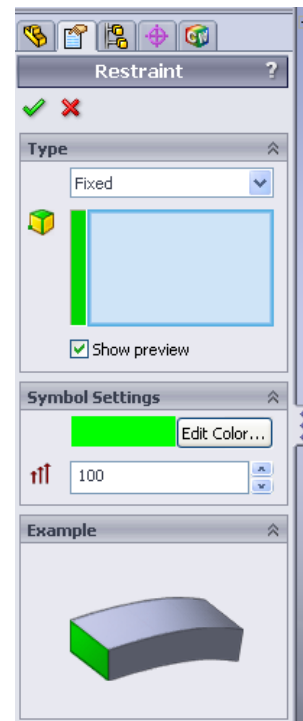




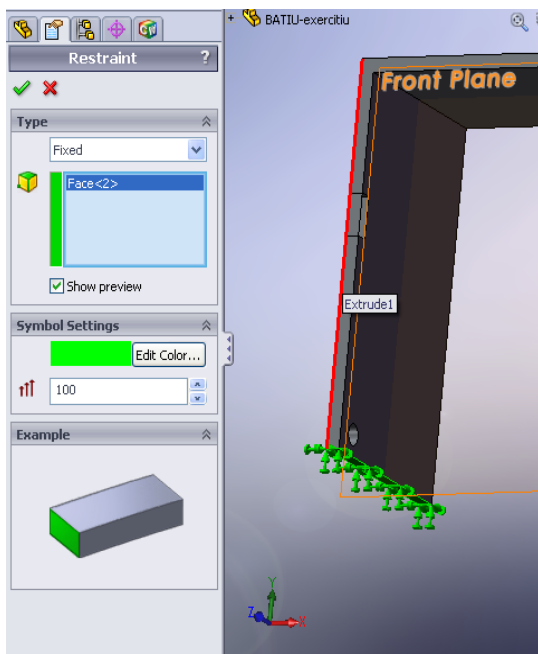


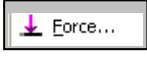
Fig. 2.13



5. Click dreapta pe iconita  si rezultatul este reprezentat în figura 2.12.
6. Click stânga pe iconita  pentru a realiza legatura la sistemul fix (restricții în mobilitate), si rezultatul este reprezentat în figura 2.13.
- 6'. Același rezultat se obține si daca se face click stânga pe iconita  de pe bara cu instrumente și rezultatul este reprezentat tot în figura 2.13.
7. Selectam fata 2, indicată în dreptunghiul albastru prin < Face 2 > și rezultatul acțiunii este reprezentat în figura 2.14. Click **OK**.
8. Click dreapta pe iconita  si rezultatul este reprezentat în figura 2.12.



**Fig. 2.14**

9. Click stânga pe iconița  pentru încărcarea piesei cu forțe și rezultatul este reprezentat în figura 2.15. În această etapă se alege tipul de forță și punctual de aplicație al acesteia (prima casuță din zona Type). În căsuța a doua se selectează direcția (paralelă cu o muchie sau perpendiculară pe un plan; sunt și alte posibilități). Click **OK**.

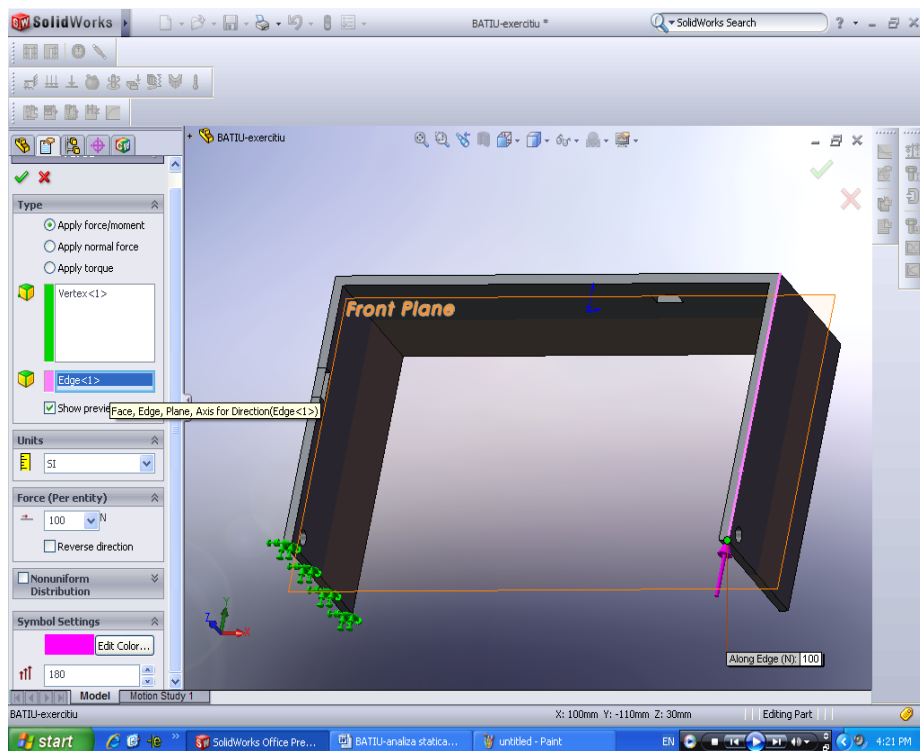


Fig. 2.15

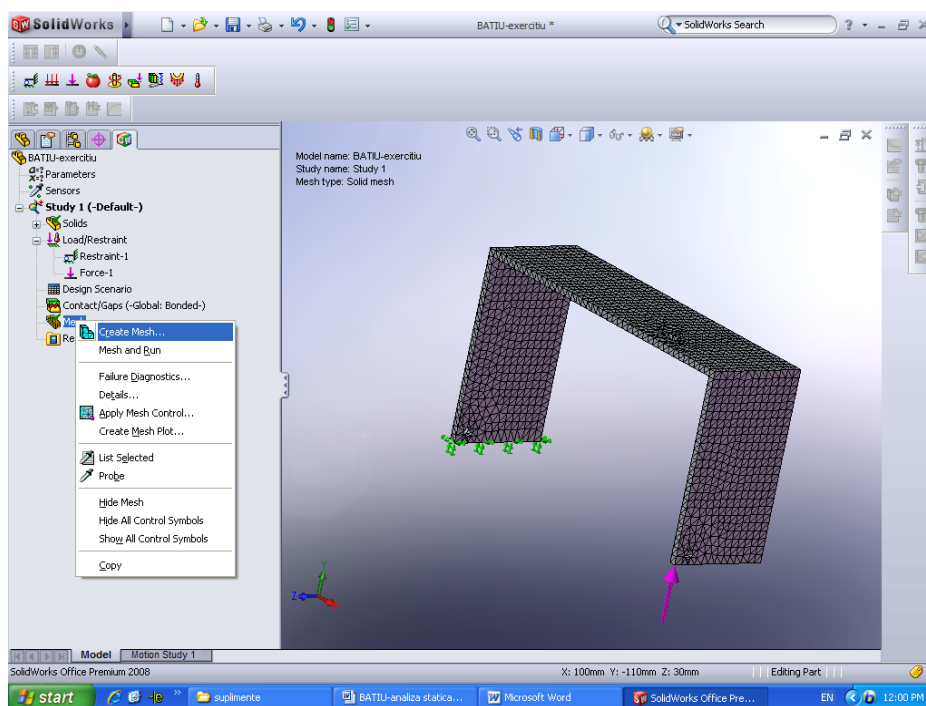
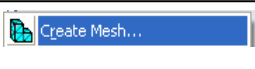
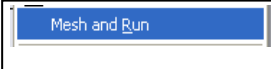


Fig. 2.16

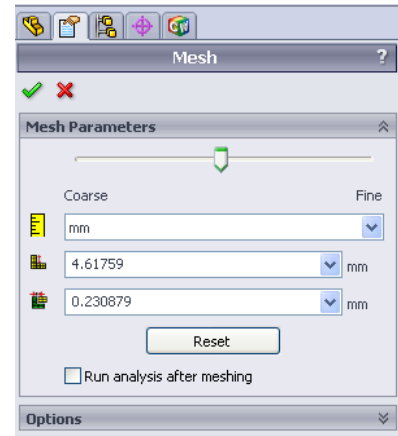
10. Click dreapta pe iconita  (vezi figura 2.16).

11. Click dreapta pe iconita  (vezi figura 2.16).

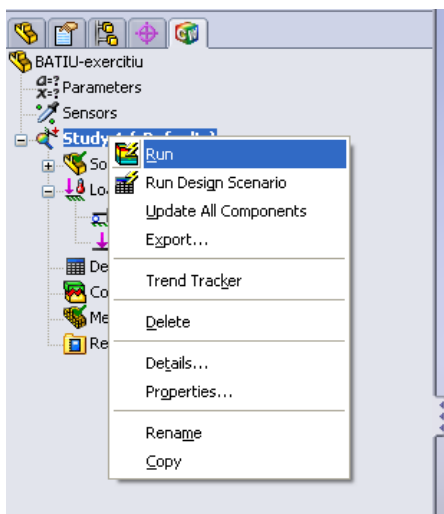
Dupa click dreapta din etapa 11 se deschide casața **Mesh Parameters** (vezi figura 2.17) în care se stabilesc dimensiunile și toleranțele discretizării și după click **OK** apare discretizarea (mesh-area) din figura 2.16.

În loc de click dr. pe iconita  se face click dr. pe iconita 

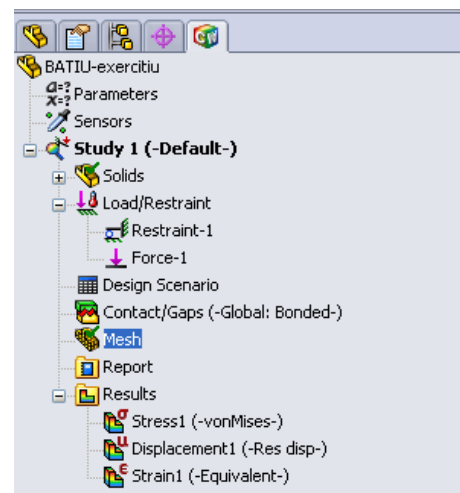
și rezultă atât mesh-area cât și deplasările și tensiunile. În primul caz este necesar sa se parcurga etapa 12.



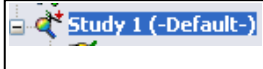
*Fig. 2.17*




*Fig. 2.18*



*Fig. 2.19*

12. Click dreapta pe iconita  și se deschide fereastra reprezentată în figura 2.18.

Click stânga pe iconita  și rezultă deplasările și tensiunile, ca în cazul parcurgerii etapei 11. Rezulta pe ecran reprezentarea din figura 2.19, adică rezultatele analizei statice cuprinse în *Report* și *Results*.

13. Click **Results** (fig. 2.19) și se obțin în trei imagini deplasările și deformațiile piesei supusa solicitării.

14. Click **Report** și obține rezultatul analizei de forma generală de mai jos.

# Stress analysis of BATIU-exercitiu

*Note:*

*Do not base your design decisions solely on the data presented in this report. Use this information in conjunction with experimental data and practical experience. Field testing is mandatory to validate your final design. COSMOSWorks helps you reduce your time-to-market by reducing but not eliminating field tests.*

**Table of Contents**

Table of Contents .....	90
List of Figures .....	90
Imobilizarea este facuta prin fixarea fetei din stinga-jos (incastrare). Incarcarea este facuta cu o forta concentrata in virful de jos dreapta-fata. ....	90
Assumptions .....	90
Model Information.....	90
Study Properties .....	91
SI .....	91
Proprietatile materialului .....	91
Fora concentrata. Incastrarea face imobilizarea. ....	92
Restraint .....	92
Load .....	92
Connector Definitions .....	92
Contact.....	92
Mesh Information .....	92
Design Scenario Results .....	92
Sensor Results .....	92
Reaction Forces .....	92
Free-Body Forces .....	92
Free-body Moments .....	92
Bolt Forces .....	93
Pin Forces .....	93
Study Results.....	93
Conclusion.....	94

**List of Figures**

BATIU-Study 1-Stress-Stress1 .....	93
BATIU-Study 1-Displacement-Displacement1 .....	94
BATIU-Study 1-Strain-Strain1 .....	94

Imobilizarea este facuta prin fixarea fetei din stinga-jos (incastrare). Incarcarea este facuta cu o forta concentrata in virful de jos dreapta-fata.

Summarize the FEM analysis on BATIU

**Assumptions**

**Model Information**

Document Name	Configuration	Document Path	Date Modified
BATIU	Default	D:\geo-probl\PROBL - SolidWorks\BATIU.SLDPRT	Thu Feb 04 10:55:18 2010

## SIMULAREA SISTEMELOR MECANICE

### Study Properties

Study name	Study 1
Analysis type	Static
Mesh Type:	Solid Mesh
Solver type	FFEPlus
Inplane Effect:	Off
Soft Spring:	Off
Inertial Relief:	Off
Thermal Effect:	Input Temperature
Zero strain temperature	298.000000
Units	Kelvin
Include fluid pressure effects from COSMOSFloWorks	Off
Friction:	Off
Ignore clearance for surface contact	Off
Use Adaptive Method:	Off

### SI

Unit system:	SI
Length/Displacement	m
Temperature	Kelvin
Angular velocity	rad/s
Stress/Pressure	N/m <sup>2</sup>

### Proprietatile materialului

No.	Body Name	Material	Mass	Volume
1	BATIU	[SW]AISI 304	0.82763 kg	0.000103454 m <sup>3</sup>

<b>Material name:</b>	<b>[SW]AISI 304</b>
Description:	
Material Source:	Used SolidWorks material
Material Library Name:	solidworks materials
Material Model Type:	Linear Elastic Isotropic

Property Name	Value	Units	Value Type
Elastic modulus	1.9e+011	N/m <sup>2</sup>	Constant
Poisson's ratio	0.29	NA	Constant
Shear modulus	7.5e+010	N/m <sup>2</sup>	Constant
Mass density	8000	kg/m <sup>3</sup>	Constant
Tensile strength	5.1702e+008	N/m <sup>2</sup>	Constant
Yield strength	2.0681e+008	N/m <sup>2</sup>	Constant
Thermal expansion coefficient	1.8e-005	/Kelvin	Constant
Thermal conductivity	16	W/(m.K)	Constant

## SIMULAREA SISTEMELOR MECANICE

Specific heat	500	J/(kg.K)	Constant
---------------	-----	----------	----------

Forța concentrată. Incastrarea face imobilizarea.

### Restraint

Restraint name	Selection set	Description
Restraint-1 <BATIU>	on 1 Face(s) fixed.	

### Load

Load name	Selection set	Loading type	Description
Force-1 <BATIU>	on 1 Vertex(s) apply force 50 N normal to reference plane with respect to selected reference Edge< 1 > using uniform distribution	Sequential Loading	

### CONNECTOR DEFINITIONS

No Connectors were defined

### CONTACT

Contact state: Touching faces - Bonded

### MESH INFORMATION

Mesh Type:	Solid Mesh
Mesher Used:	Standard
Automatic Transition:	Off
Smooth Surface:	On
Jacobian Check:	4 Points
Element Size:	4.6959 mm
Tolerance:	0.23479 mm
Quality:	High
Number of elements:	8396
Number of nodes:	16685
Time to complete mesh(hh:mm:ss):	00:00:02
Computer name:	MECANICA-1061EC

#### Design Scenario Results

No data available.

#### Sensor Results

No data available.

#### Reaction Forces

Selection set	Units	Sum X	Sum Y	Sum Z	Resultant
Entire Body	N	0.0536094	-50.0005	-0.0333881	50.0005

#### Free-Body Forces

Selection set	Units	Sum X	Sum Y	Sum Z	Resultant
Entire Body	N	0.00599593	0.000853386	-0.000369708	0.00606763

### Free-body Moments

Selection set	Units	Sum X	Sum Y	Sum Z	Resultant
---------------	-------	-------	-------	-------	-----------

## SIMULAREA SISTEMELOR MECANICE

Entire Body	N-m	0	0	0	1e-033
-------------	-----	---	---	---	--------

### Bolt Forces

No data available.

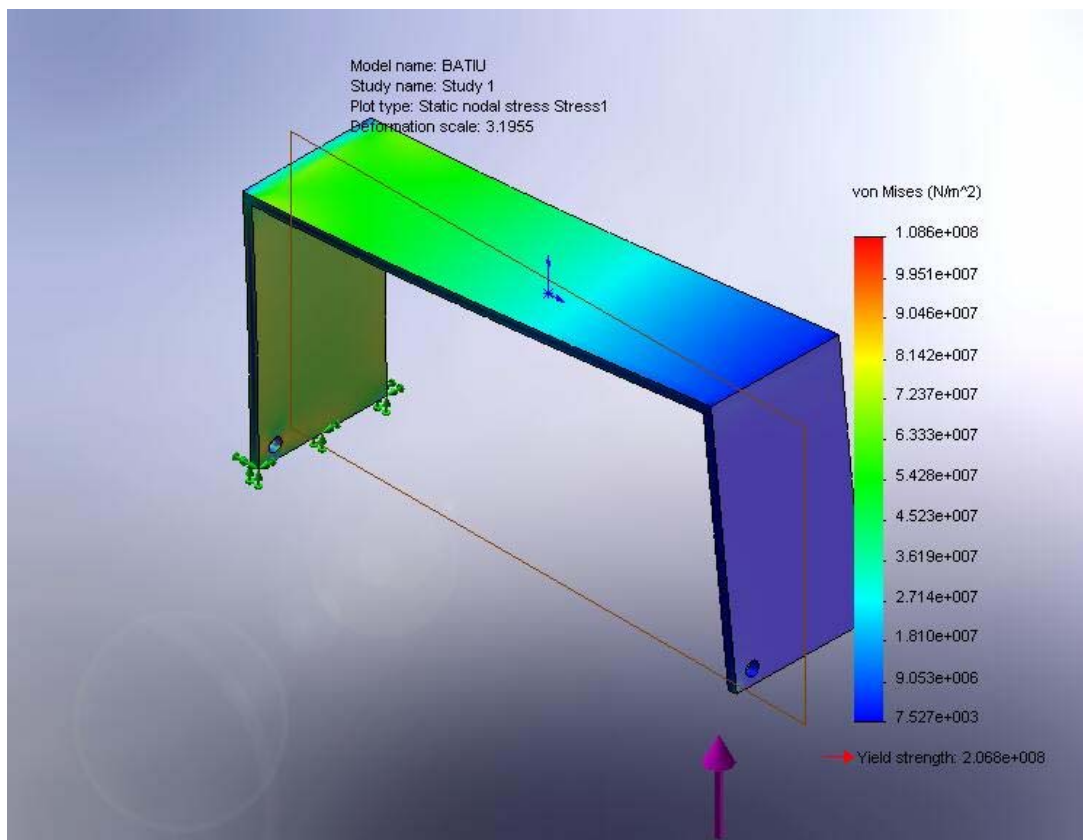
### Pin Forces

No data available.

## Study Results

### Default Results

Name	Type	Min	Location	Max	Location
Stress1	VON: von Mises Stress	7527.42 N/m <sup>2</sup> Node: 8456	(108 mm, -110 mm, -30 mm)	1.08553e+008 N/m <sup>2</sup> Node: 16685	(-110 mm, -105.026 mm, 19.1809 mm)
Displacement1	URES: Resultant Displacement	0 m Node: 55	(-110 mm, -110 mm, -30 mm)	0.00753946 m Node: 1671	(110 mm, -110 mm, 30 mm)
Strain1	ESTRN: Equivalent Strain	3.25987e-008 Element: 7176	(108 mm, -108.854 mm, -28.8462 mm)	0.000302214 Element: 7799	(-106.466 mm, -105.915 mm, 18.1665 mm)



**Fig. 2.20.** BATIU-Study 1-Stress-Stress1

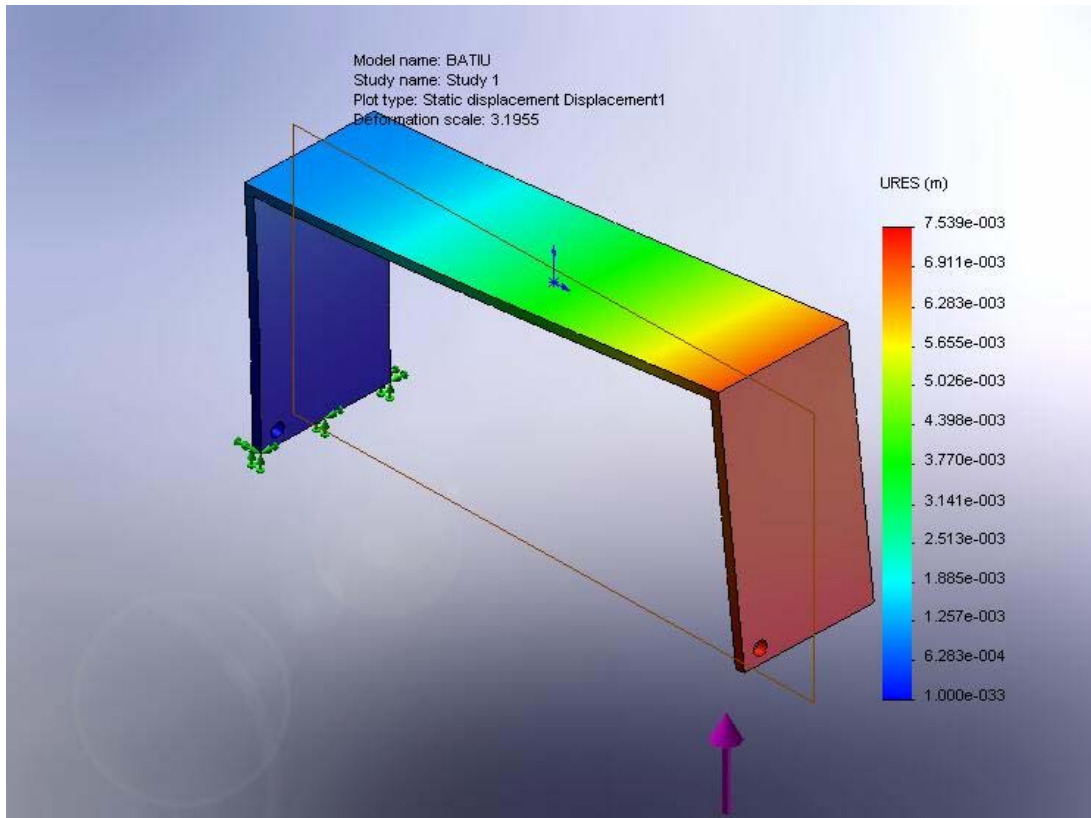


Fig. 2.21. BATIU-Study 1-Displacement-Displacement1

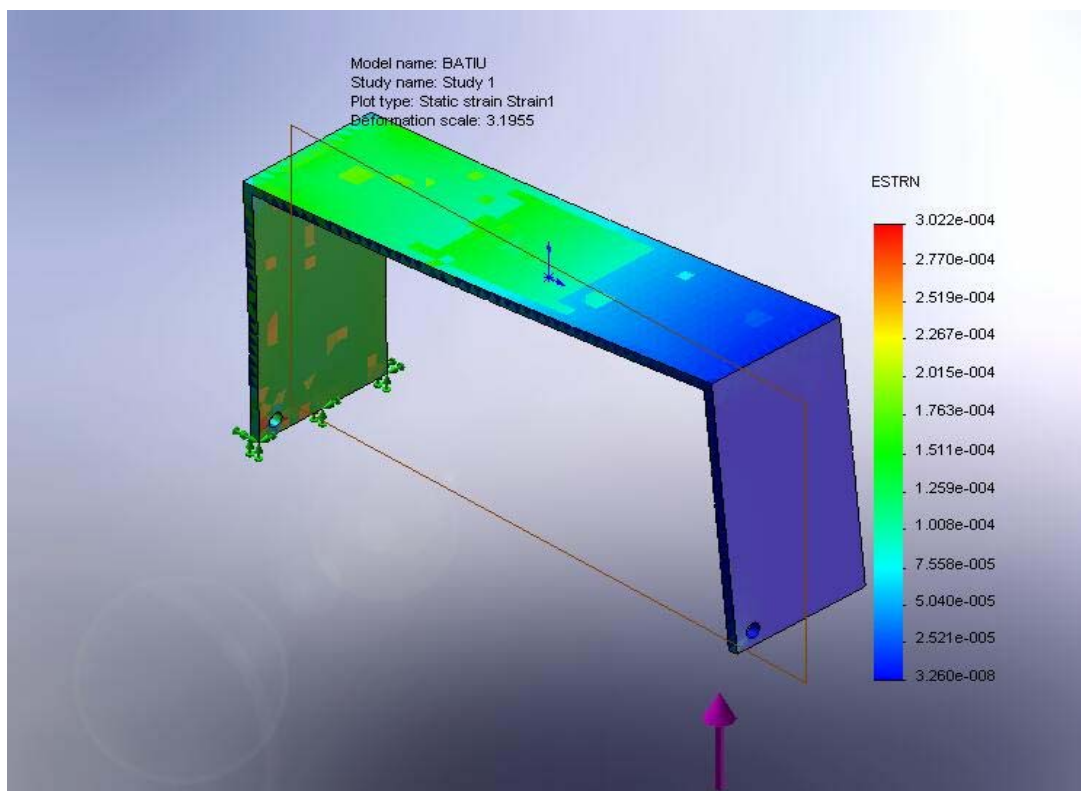


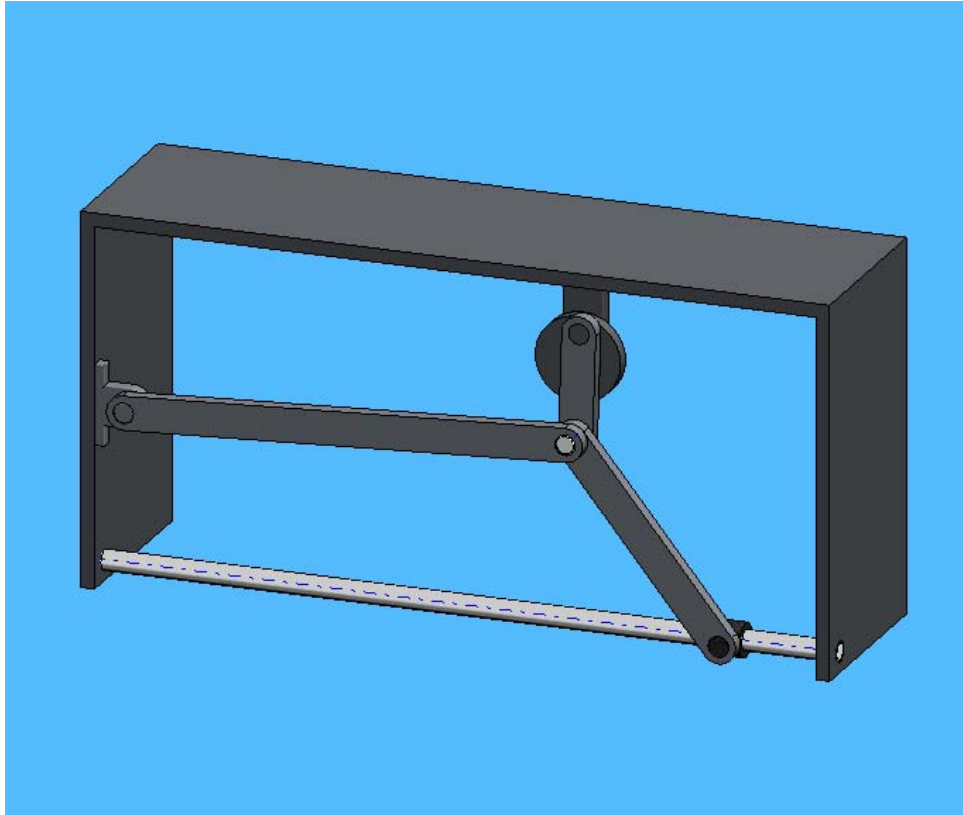
Fig. 2.22. BATIU-Study 1-Strain-Strain1

Conclusion

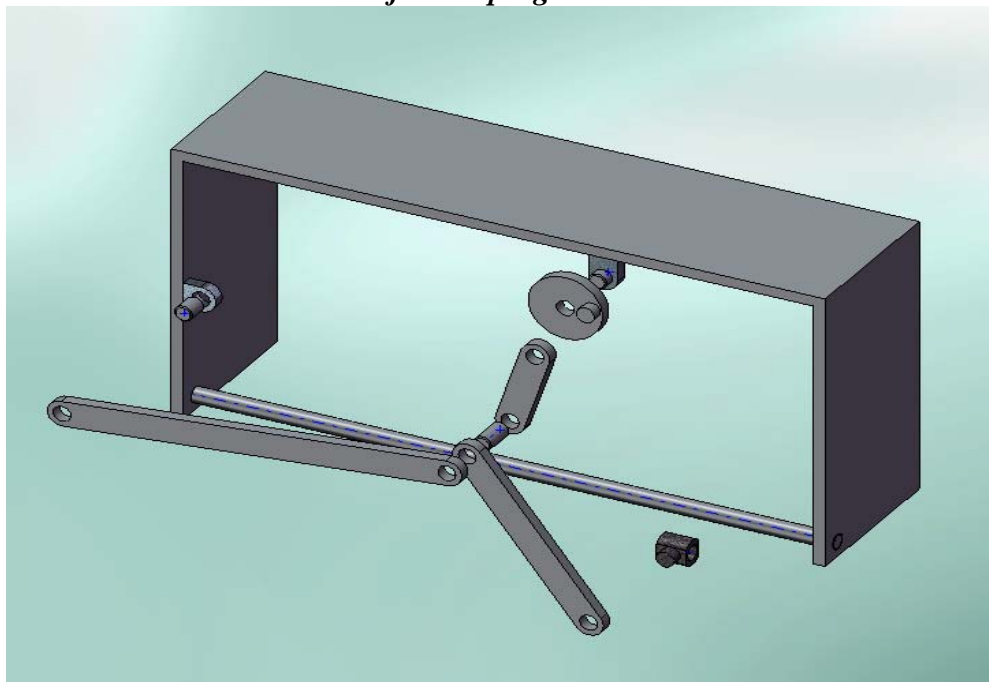
-



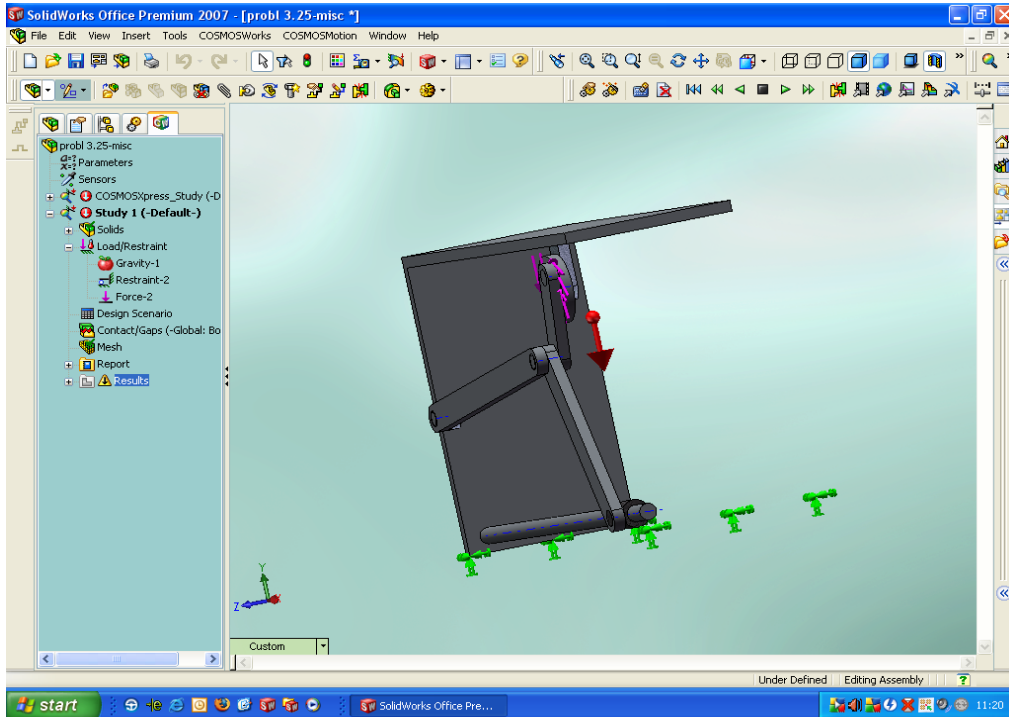
2.c. Analiza statica - SolidWorks  
**ALTE EXEMPLE**



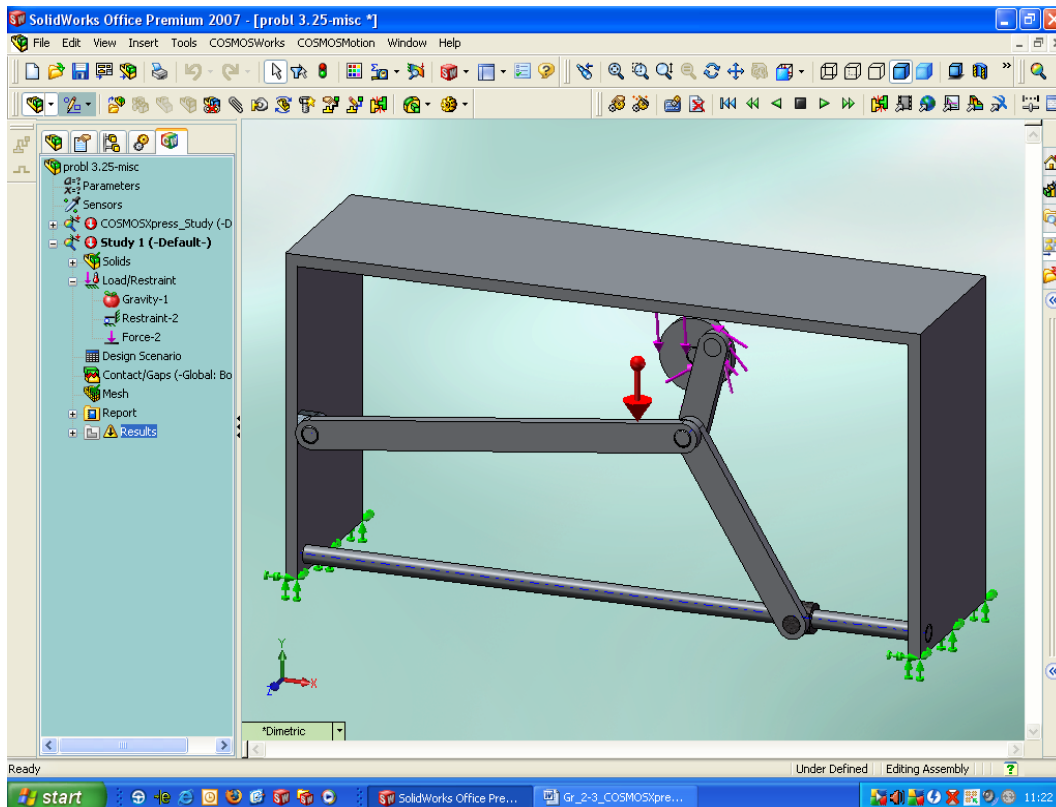
*Fig. 2.23.- Ansamblul structurii pentru care se fac studiile statice si cinematice cu ajutorul programului SOLIDWorks*



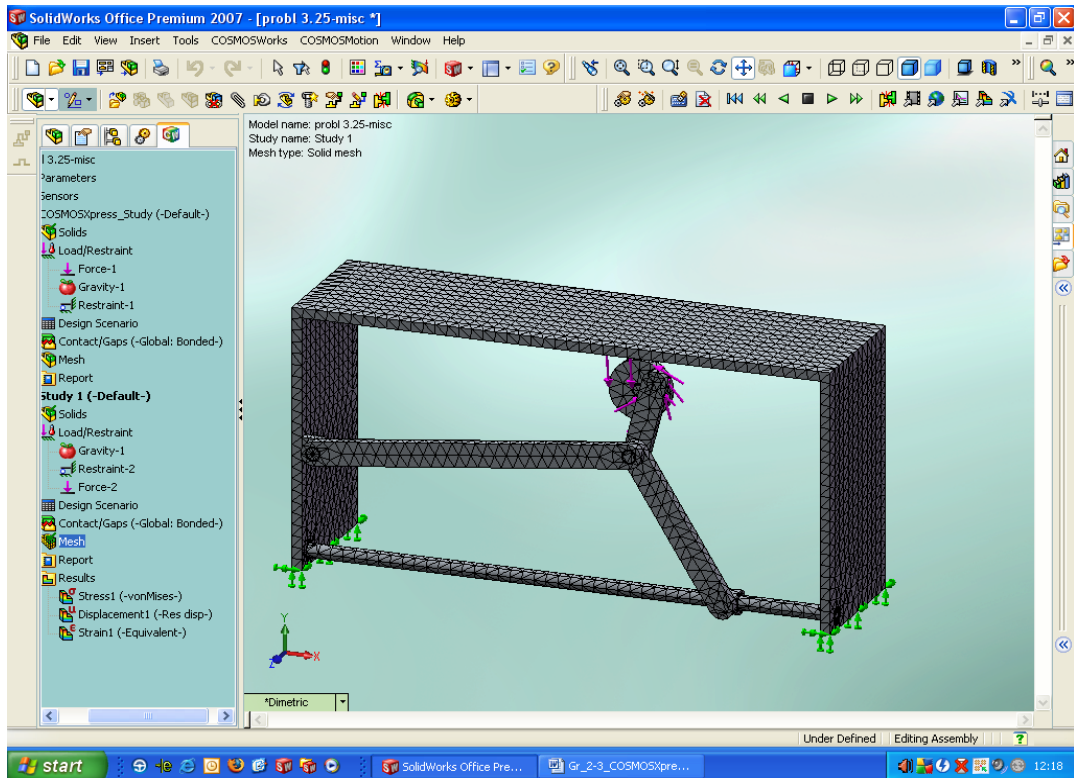
*Fig. 2.24. Ansamblul structurii pentru care se fac studiile statice si cinematice cu ajutorul programului SOLIDWorks – in explozie*



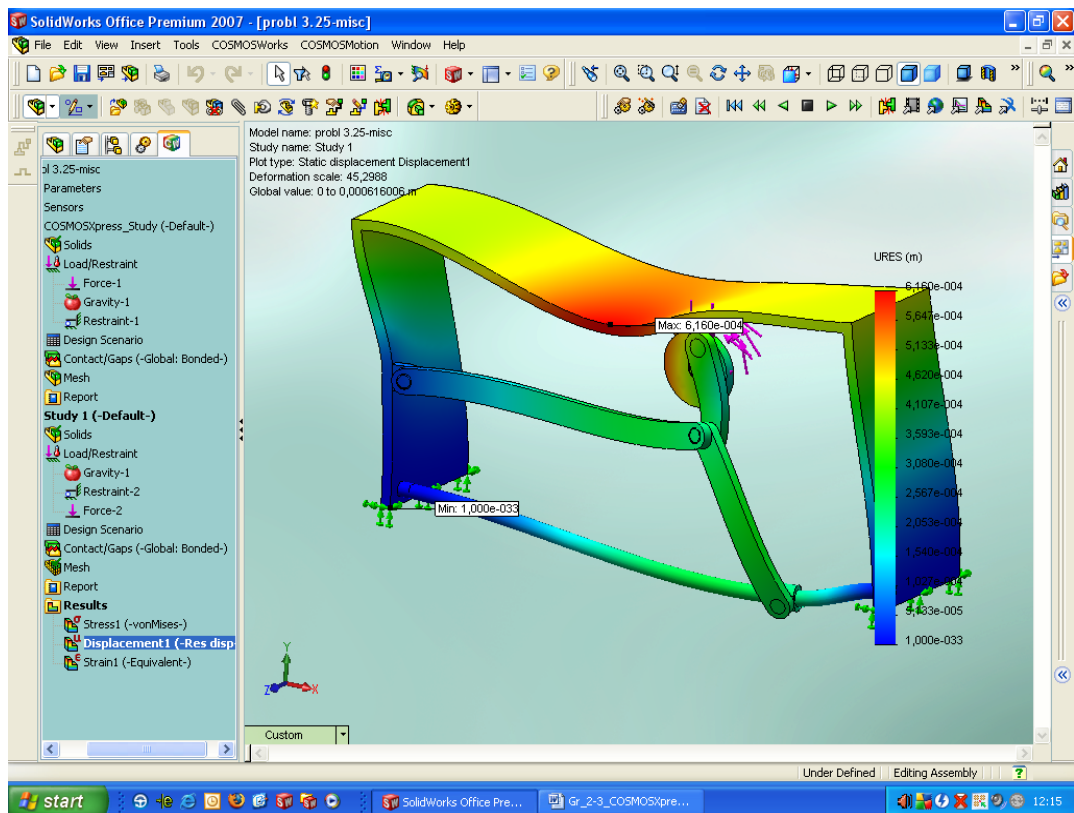
*Fig. 2.25. Restrictii si incarcarea statica realizate cu ajutorul programului SOLIDWorks – COSMOSWorks –sectiune in ansamblu*



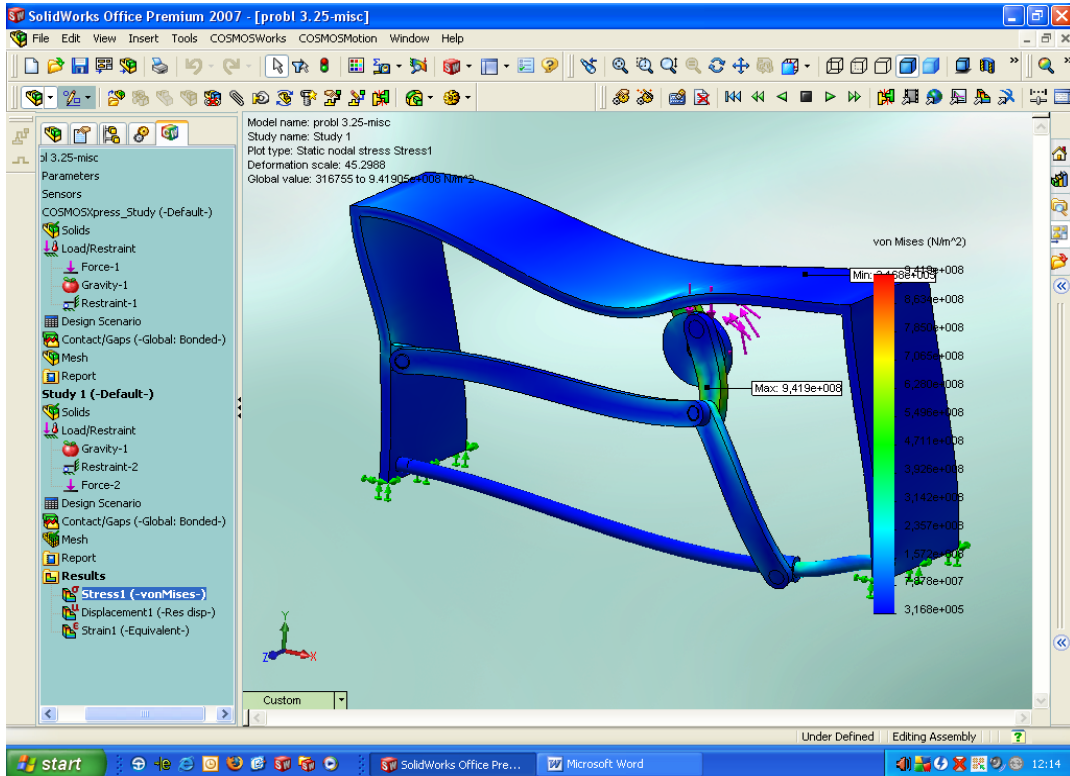
*Fig. 2.26. Restrictii si incarcarea statica realizate cu ajutorul programului SOLIDWorks – COSMOSWorks*



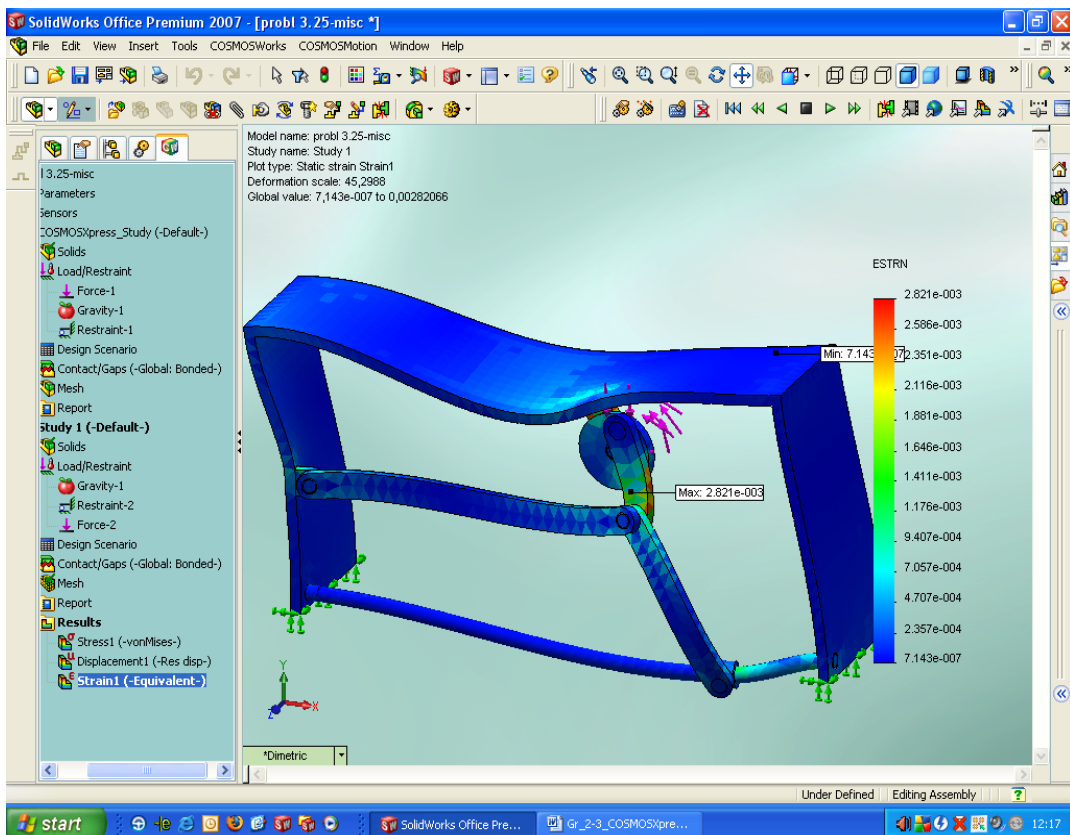
*Fig. 2.27. Mesh-area realizata cu ajutorul programului SOLIDWorks – COSMOSWorks*



*Fig. 2.28. Deplasari rezultate din incarcari statice realizate cu ajutorul programului SOLIDWorks – COSMOSWorks Deplasari – alte restrictii*

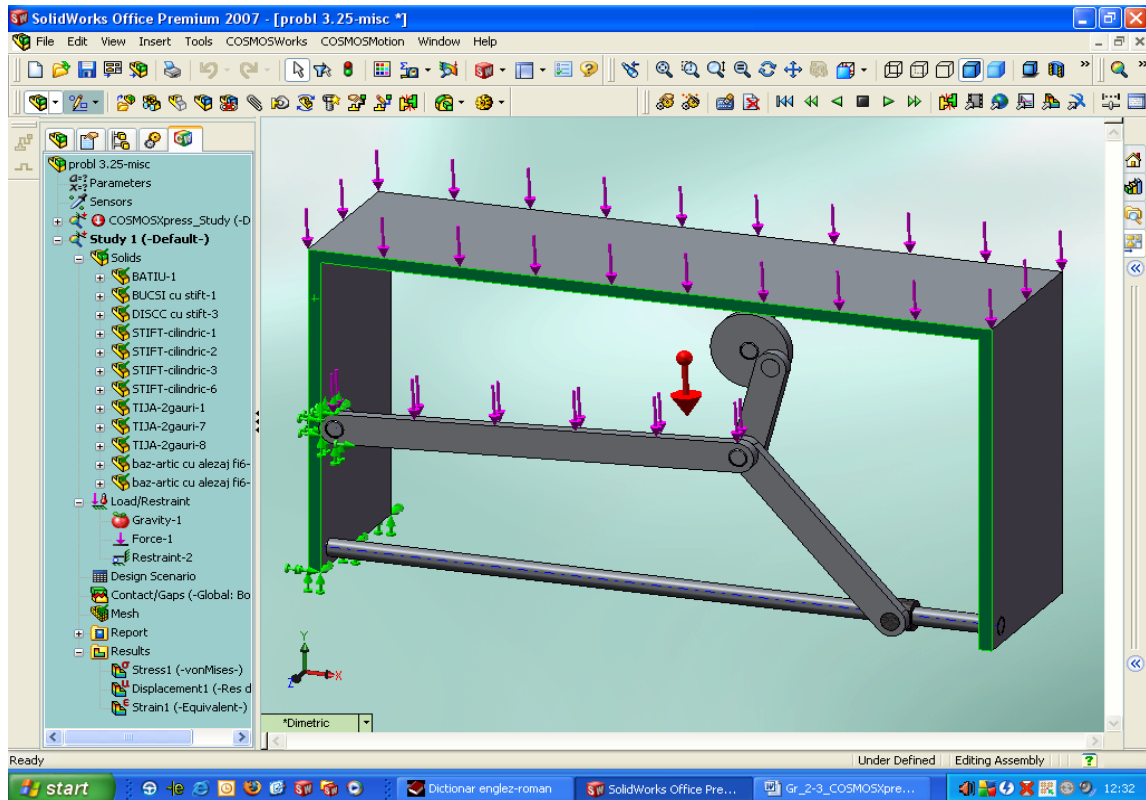


*Fig. 2.29. Tensiunile ( $N/m^2$ ) rezultate din incarcările statice realizate cu ajutorul programului SOLIDWorks – COSMOSWorks – alte restrictii*

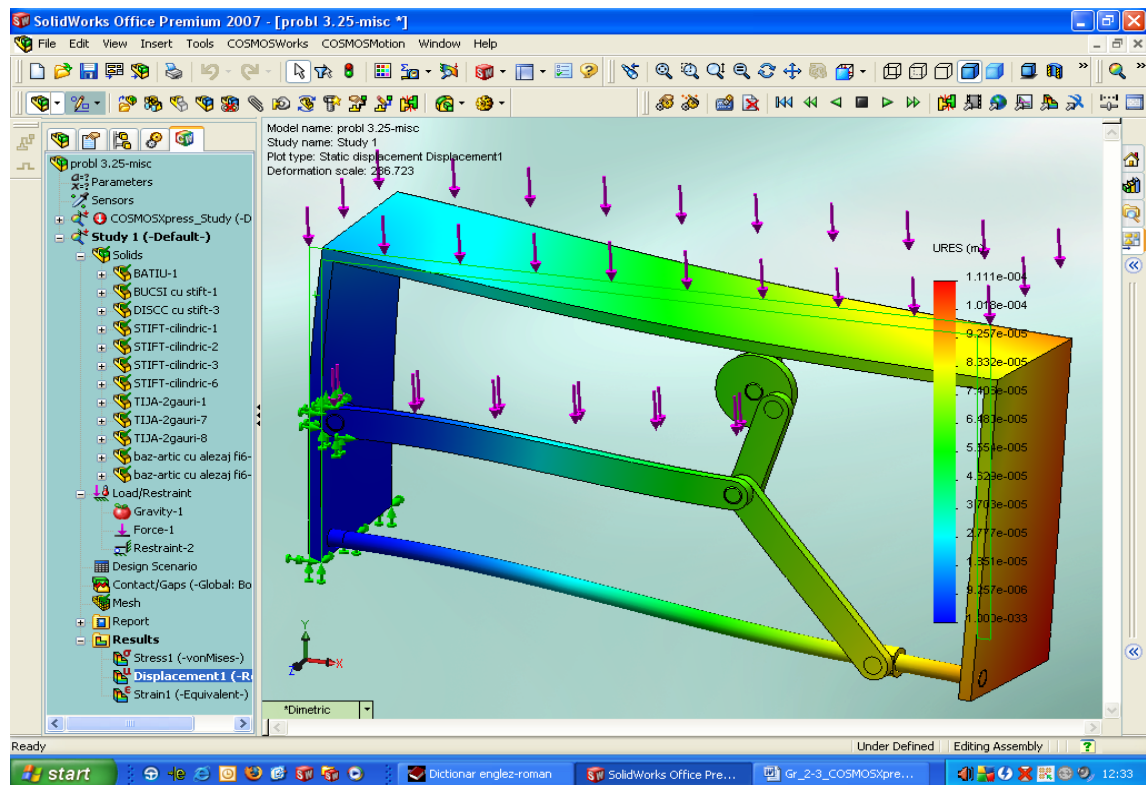


*Fig. 2.30. Intindere-compresiune - rezultate din incarcările statice realizate cu ajutorul programului SOLIDWorks – COSMOSWorks*





*Fig. 2.31. Restrictii si incarcarea statica realizate cu ajutorul programului SOLIDWorks – COSMOSWorks– alte restrictii*



*Fig. 2.32. Deplasările rezultate din incarcările statice realizate cu ajutorul programului SOLIDWorks – COSMOSWorks– alte restrictii*

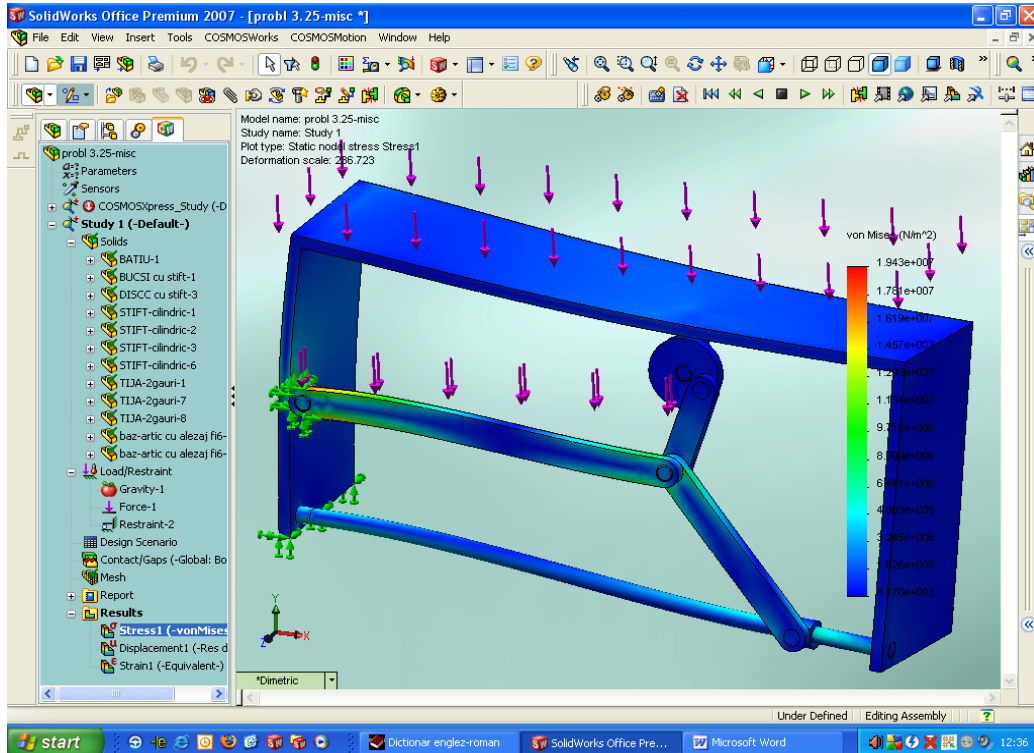


Fig. 2.33. Tensiunile (N/m<sup>2</sup>) rezultate din incarcările statice realizate cu ajutorul programului SOLIDWorks – COSMOSWorks– alte restrictii

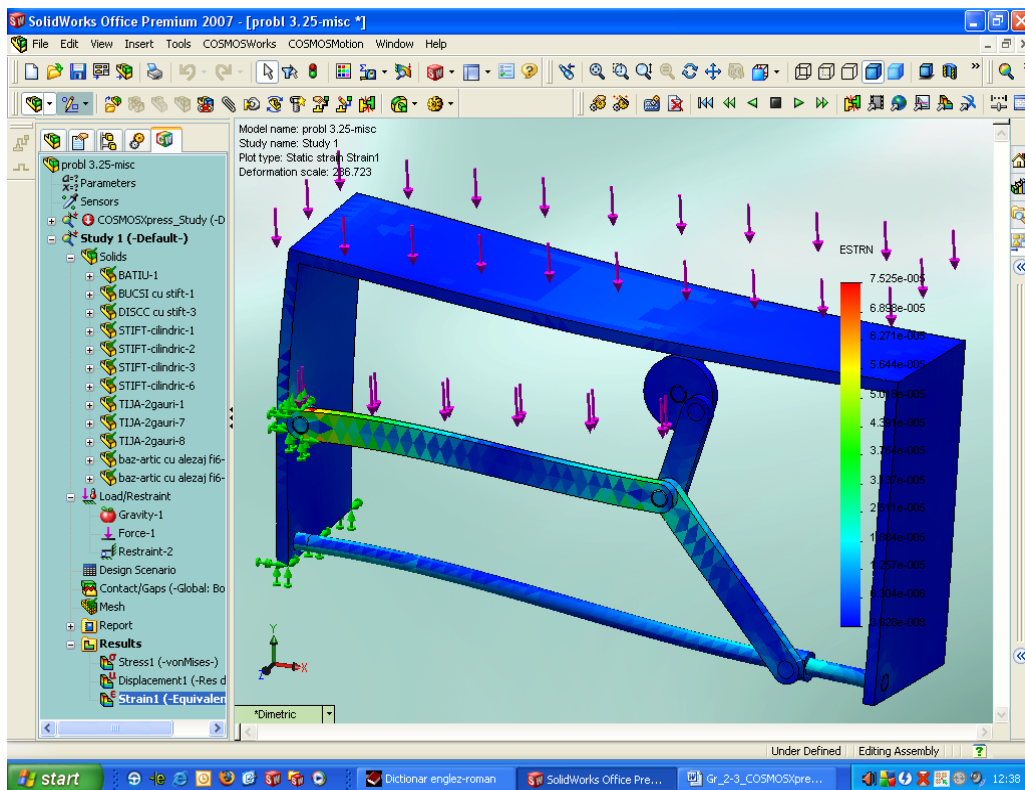


Fig. 2.34. Intindere-compresiune - rezultate din incarcările statice realizate cu ajutorul programului SOLIDWorks – COSMOSWorks– alte restrictii

## *CAPITOLUL 3*

### **Notiuni generale de cinematica**





### 3. NOTIUNI GENERALE DE CINEMATICA

#### 3.1. Traectorii, viteze, accelerații

Pentru a cunoaște traiectoria unui punct material, este necesar a fi cunoscut vectorul de poziție al acestui punct material ca funcție de timp (uniformă, continuă și derivabilă de două ori), vector de poziție ce are originea într-un punct fix  $O$  din spațiu (fig. 3.1). În problemele spațiale, vectorul de poziție are în componență 3 parametri scalari variabili în timp, care în funcție de sistemul de referință ales pot fi: coordonatele carteziene, coordonatele sferice, coordonatele cilindrice etc.

*Traectoria* unui punct material este locul geometric al pozițiilor succesive ale extremității vectorului de poziție  $\vec{r}(t) = \overline{OM}$ , al punctului material în timpul mișcării sale. Pentru cunoașterea mișcării punctului  $M$ , este necesară cunoașterea ecuațiilor parametrice ale traiectoriei acestuia, care pot fi:

- în coordonate carteziene

$$x = x(t); \quad y = y(t); \quad z = z(t); \quad (3.1)$$

- în coordonate cilindrice

$$r = r(t); \quad \theta = \theta(t); \quad z = z(t); \quad (3.2)$$

- în coordonate sferice

$$r = r(t); \quad \theta = \theta(t); \quad \varphi = \varphi(t). \quad (3.3)$$

Relațiile de legătură între coordonatele carteziene și coordonatele cilindrice respectiv coordonatele sferice sunt stabilite în capitolul 2 (statica punctului material).

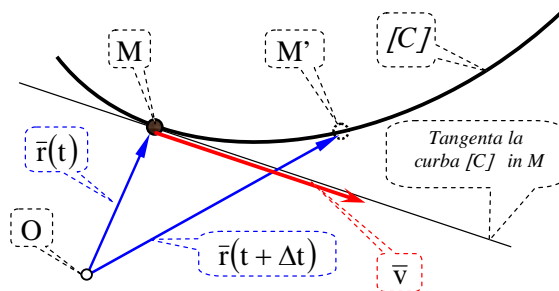


Fig. 3.1.

*Viteza.* Considerăm punctul material în poziția  $M$ , la momentul  $t$ , poziționat prin vectorul de poziție  $\vec{r}(t)$  și în poziția  $M'$ , la momentul  $(t+\Delta t)$ , poziționat prin vectorul de poziție  $\vec{r}(t + \Delta t)$  ca în figura 3.1.

*Viteza medie* a punctului material mobil între pozițiile  $M$  și  $M'$  este prin definiție:

$$v_m = \frac{\text{arc}MM'}{\Delta t}. \quad (3.4)$$

Vectorul viteză instantanee este dat de derivata în raport cu timpul a funcției vectoriale de timp, vectorul de poziție  $\bar{r}(t)$ , adică:

$$\bar{v} = \frac{d\bar{r}}{dt} = \lim_{\Delta t \rightarrow 0} \frac{\bar{r}(t + \Delta t) - \bar{r}(t)}{\Delta t} = \lim_{\Delta t \rightarrow 0} \frac{\overline{MM'}}{\Delta t}; \quad (3.5)$$

$$\bar{v} = \lim_{\Delta t \rightarrow 0} \frac{\overline{MM'}}{|\overline{MM'}|} \cdot \frac{|\overline{MM'}|}{\text{arc}MM'} \cdot \frac{\text{arc}MM'}{\Delta t} = \quad (3.6)$$

$$= \lim_{\Delta t \rightarrow 0} \frac{\overline{MM'}}{|\overline{MM'}|} \cdot \lim_{\Delta t \rightarrow 0} \frac{|\overline{MM'}|}{\text{arc}MM'} \cdot \lim_{\Delta t \rightarrow 0} \frac{\text{arc}MM'}{\Delta t} = \bar{\tau} \cdot 1 \cdot \dot{s} = \bar{\tau} \cdot v;$$

$$\Rightarrow \bar{v} = \frac{d\bar{r}}{dt} = \dot{\bar{r}} = v \cdot \bar{\tau}. \quad (3.7)$$

Mișcarea punctului  $M$  pe traiectoria  $[C]$  fiind cunoscută, relația care o descrie este:

$$s = s(t), \quad (3.8)$$

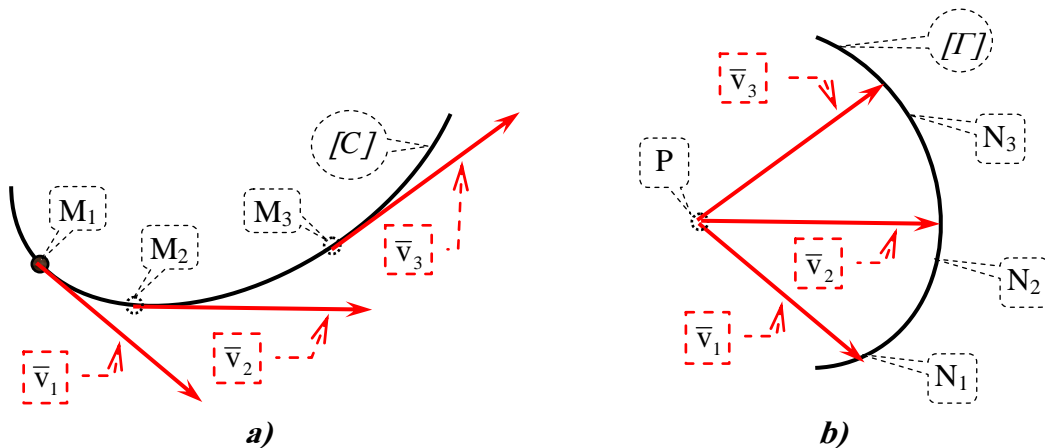
cunoscută deasemeni și poartă denumirea de *ecuație orară a mișcării*.

Din relația de definiție a vitezei (3.5) rezultă următoarea ecuație dimensională a acestei mărimi:

$$[v] = \frac{L}{T} = L \cdot T^{-1}.$$

În sistemul internațional de unități (SI) viteza se măsoară în metri pe secundă (**m/s**).

*Accelerația punctului  $M$  este mărimea vectorială care caracterizează*



**Fig. 3.2.**

variația în timp a vectorului viteză. Pentru a o determina, alegem un punct arbitrar P (fig. 3.2,b) în care construim vectori echipolenți cu vectorii viteză  $\bar{v}_1, \bar{v}_2, \dots, \bar{v}_n$  ai punctului mobil M (fig. 3.2,a), aflat în diferite poziții pe traiectoria sa [C].

Unind vârfulurile vectorilor echipolenți construiți cu originea în P obținem o curbă  $[\Gamma]$  numită **hodograful vitezelor** (fig. 3.2, b), după cum unind vârfulurile tuturor vectorilor de poziție  $\bar{r}$  am obținut curba [C] descrisă de punctul material. În timp ce punctul material mobil M parcurge traiectoria sa, punctul N parcurge traiectoria vârfului vectorului viteză (hodograful vitezelor), astfel încât atunci când punctul M se află într-o anumită poziție pe traiectoria sa [C] și are viteza  $\bar{v}$ , punctul N corespunzător de pe curba  $[\Gamma]$  se află în poziția în care vectorul său de poziție este  $\bar{v}$ . Calculăm viteza punctului N. Pentru aceasta este suficient doar să înlocuim în formula vitezei (3.7) vectorul de poziție  $\bar{r}$  prin vectorul viteză  $\bar{v}$  și vom avea:

$$\bar{v}_N = \frac{d\bar{v}}{dt} = \dot{\bar{v}} = \ddot{\bar{r}} = \bar{a}. \quad (3.9)$$

Cu alte cuvinte viteza de deplasare a punctului N, vârful vectorului pe hodograful vitezei  $[\Gamma]$  este chiar accelerația punctului material M în mișcarea reală pe curba [C].

Din relația de definiție (3.9) a accelerației rezultă următoarea ecuație dimensională a acestei mărimi:

$$[a] = \frac{[v]}{T} = \frac{L}{T^2} = L \cdot T^{-2}.$$

În sistemul internațional de unități (SI) accelerația se măsoară în metri pe secundă la pătrat ( $\text{m/s}^2$ ).

## 3.2. Componentele vitezei și ale accelerației în diferite sisteme de coordonate

### 3.2.1. Sistemul de coordonate carteziene

Exprimăm vectorul de poziție în funcție de proiecțiile sale pe axele unui sistem cartezian Oxyz, ale căror direcții sunt fixe, date de versorii constanți  $\bar{i}, \bar{j}, \bar{k}$ .

$$\bar{r}(t) = x(t) \cdot \bar{i} + y(t) \cdot \bar{j} + z(t) \cdot \bar{k}. \quad (3.10)$$

Derivăm relația (3.10) în raport cu timpul:

$$\bar{v} = \dot{x}(t) \cdot \bar{i} + \dot{y}(t) \cdot \bar{j} + \dot{z}(t) \cdot \bar{k} + x(t) \cdot \dot{\bar{i}} + y(t) \cdot \dot{\bar{j}} + z(t) \cdot \dot{\bar{k}}. \quad (3.11)$$

Deoarece  $\dot{\bar{i}} = 0$ ,  $\dot{\bar{j}} = 0$ ,  $\dot{\bar{k}} = 0$ , rezultă expresia vectorului viteză în funcție de proiecțiile sale pe axele sistemului cartezian de referință:

$$\bar{v} = v_x \cdot \bar{i} + v_y \cdot \bar{j} + v_z \cdot \bar{k} \quad (3.12)$$

și modulul său

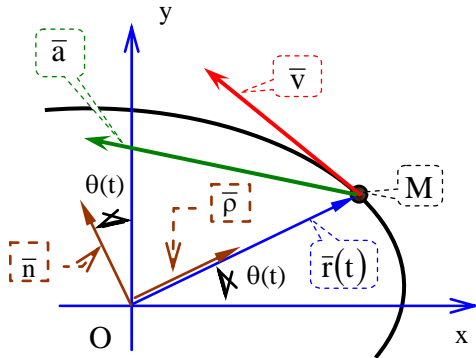
$$|\bar{v}| = \sqrt{\dot{x}^2 + \dot{y}^2 + \dot{z}^2} = \sqrt{v_x^2 + v_y^2 + v_z^2}. \quad (3.13)$$

Apoi derivăm relația (3.12) în raport cu timpul, și din aceleași considerente, obținem expresia vectorului accelerație în funcție de proiecțiile sale pe axele sistemului cartezian și modulul său:

$$\bar{a} = \dot{\bar{v}} = \ddot{x} \cdot \bar{i} + \ddot{y} \cdot \bar{j} + \ddot{z} \cdot \bar{k} = \dot{v}_x \cdot \bar{i} + \dot{v}_y \cdot \bar{j} + \dot{v}_z \cdot \bar{k} \quad (3.14)$$

$$|\bar{a}| = \sqrt{\ddot{x}^2 + \ddot{y}^2 + \ddot{z}^2} = \sqrt{a_x^2 + a_y^2 + a_z^2} \quad (3.15)$$

### 3.2.2. Sistemul de coordonate polare



**Fig. 3.3.**

Acest sistem de coordonate se utilizează pentru studiul mișcărilor plane ale punctului material, fapt pentru care axele sistemului xOy și ale sistemului polar cu versorii  $\bar{\rho}$  și  $\bar{n}$ , sunt coplanare cu planul mișcării (fig. 3.4). Axele sistemului polar sunt mobile, deci parametrii  $\bar{\rho}$  și  $\bar{n}$  sunt variabili în direcție și exprimați în funcție de timp prin expresiile:

$$\begin{cases} \bar{\rho} = \cos \theta \cdot \bar{i} + \sin \theta \cdot \bar{j} \\ \bar{n} = -\sin \theta \cdot \bar{i} + \cos \theta \cdot \bar{j} \end{cases} \quad (3.16)$$

Derivăm în raport cu timpul relațiile (3.16):

$$\Rightarrow \begin{cases} \dot{\bar{\rho}} = -\dot{\theta} \cdot \sin \theta \cdot \bar{i} + \dot{\theta} \cdot \cos \theta \cdot \bar{j} = \dot{\theta} \cdot \bar{n} \\ \dot{\bar{n}} = -\dot{\theta} \cdot \cos \theta \cdot \bar{i} - \dot{\theta} \cdot \sin \theta \cdot \bar{j} = -\dot{\theta} \cdot \bar{\rho} \end{cases} \quad (3.17)$$

Între coordonatele carteziene și cele polare ale aceluiași punct există relațiile:

$$\begin{cases} x = r \cdot \cos \theta, \\ y = r \cdot \sin \theta. \end{cases} \quad (3.18)$$

În general, în timpul mișcării punctului material, coordonatele sale polare se schimbă, adică sunt funcții de timp  $r = r(t)$ ,  $\theta = \theta(t)$ , motiv pentru care relațiile (3.18) reprezintă *ecuațiile parametrice ale traiectoriei* [C] a punctului M, parametrul fiind timpul.

Din schiță se observă că vectorul de poziție  $\bar{r}$  și versorul  $\bar{\rho}$  sunt coliniari, adică:

$$\bar{r} = r \cdot \bar{\rho} \quad (3.19)$$

Derivăm în raport cu timpul relația (3.19) și având în vedere și relația (3.17<sub>1</sub>), obținem vectorul viteză a punctului M,

$$\Rightarrow \bar{v} = \dot{\bar{r}} = \dot{r} \cdot \bar{\rho} + r \cdot \dot{\bar{\rho}} = \dot{r} \cdot \bar{\rho} + r \cdot \dot{\theta} \cdot \bar{n} \quad (3.20)$$

Proiecțiile vectorului viteză  $\bar{v}$ , pe axele sistemului de coordonate polare de versori  $\bar{\rho}$  și  $\bar{n}$ , sunt:

$$\begin{cases} v_{\rho} = \dot{r}, \\ v_n = r \cdot \dot{\theta}, \end{cases} \quad (3.21)$$

iar modulul său

$$\Rightarrow |\bar{v}| = \sqrt{\dot{r}^2 + (r \cdot \dot{\theta})^2} \quad (3.22)$$

Derivăm în raport cu timpul relația (3.20) și obținem vectorul accelerație a punctului M:

$$\bar{a} = \dot{\bar{v}} = \ddot{r} \cdot \bar{\rho} + \dot{r} \cdot \dot{\bar{\rho}} + \dot{r} \cdot \dot{\theta} \cdot \bar{n} + r \cdot \ddot{\theta} \cdot \bar{n} + r \cdot \dot{\theta} \cdot \dot{\bar{n}},$$

sau ordonată după versorii axelor

$$\bar{a} = (\ddot{r} - r \cdot \dot{\theta}^2) \cdot \bar{\rho} + (2 \cdot \dot{\theta} \cdot \dot{r} + r \cdot \ddot{\theta}) \cdot \bar{n}. \quad (3.23)$$

Proiecțiile vectorului accelerație  $\bar{a}$  pe axele sistemului de coordonate de versori  $\bar{\rho}$  și  $\bar{n}$ , sunt:

$$\begin{cases} a_{\rho} = \ddot{r} - r \cdot \dot{\theta}^2, \\ a_n = 2 \cdot \dot{\theta} \cdot \dot{r} + r \cdot \ddot{\theta}, \end{cases} \quad (3.24)$$

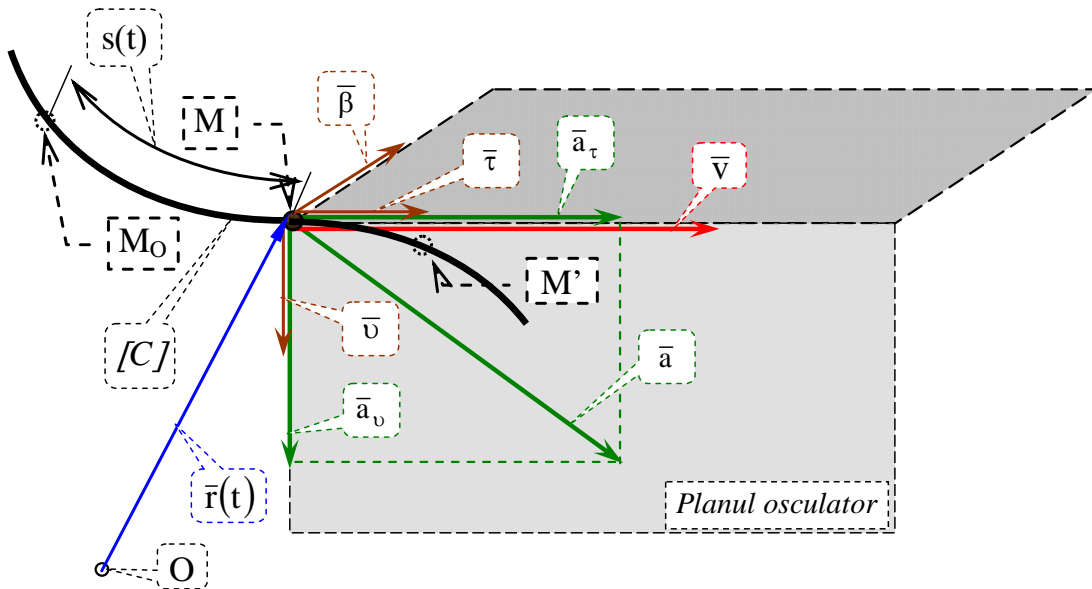
iar modulul său

$$|\bar{a}| = \sqrt{(\ddot{r} - r \cdot \dot{\theta}^2)^2 + (2 \cdot \dot{\theta} \cdot \dot{r} + r \cdot \ddot{\theta})^2} . \quad (3.25)$$

### 3.2.3. Sistemul de coordonate intrinseci (naturale sau triedrul lui Frenet)

Acest sistem de coordonate este un sistem mobil, triortogonal, cu originea pe curbă în punctul  $M$ , având ca axe (fig. 3.4):

- *tangenta* la curbă, de versor  $\bar{\tau}$  cu sensul pozitiv în sensul de creștere al arcului  $s$ ;
- *normala principală*, adică normala din planul osculator al curbei (planul limită determinat de tangenta în  $M$  și un punct  $M'$  ce tinde către  $M$ ), pozitivă spre centrul de curbura, cu versorul  $\bar{\nu}$ ;
- *binormala*, adică normala perpendiculară pe planul osculator al cărei versor se notează cu  $\bar{\beta}$ , pozitiv astfel ca versorii  $\bar{\tau}$ ,  $\bar{\nu}$  și  $\bar{\beta}$ , în această ordine, să formeze un triedru drept.



*Fig. 3.4.*

Utilizăm două din formulele lui Frenet și anume:

$$\frac{d\bar{r}}{ds} = \bar{\tau}, \quad \frac{d\bar{\tau}}{ds} = \frac{1}{\rho} \cdot \bar{\nu}, \quad (3.26)$$

unde  $\rho$  este raza de curbură.

Cu ajutorul relației de definiție a vectorului viteză (3.7) și a relației (3.26<sub>1</sub>), rezultă expresia vectorului viteză în sistem de coordonate intrinseci (triedrul lui Frenet):

$$\bar{v} = \dot{\bar{r}} = \frac{d\bar{r}}{dt} \cdot \frac{ds}{ds} = \frac{d\bar{r}}{ds} \cdot \frac{ds}{dt} = \bar{\tau} \cdot \dot{s} = \bar{\tau} \cdot v,$$

$$\bar{v} = \dot{s} \cdot \bar{\tau} = v \cdot \bar{\tau}, \quad (3.27)$$

Pentru stabilirea proiecțiilor vectorului accelerație pe axele triedrului lui Frenet, derivăm relația (3.27):

$$\bar{a} = \ddot{\bar{r}} = \dot{\bar{v}} = \frac{d}{dt} \cdot (v \cdot \bar{\tau}) = \dot{v} \cdot \bar{\tau} + v \cdot \dot{\bar{\tau}}, \quad (3.28)$$

și ținem cont de relația (3.26<sub>2</sub>), astfel că:

$$\dot{\bar{\tau}} = \frac{d\bar{\tau}}{dt} \cdot \frac{ds}{ds} = \frac{d\bar{\tau}}{ds} \cdot \frac{ds}{dt} = \frac{1}{\rho} \cdot \bar{v} \cdot v. \quad (3.29)$$

Deci, cu (3.29) în (3.28), obținem expresia vectorului accelerație funcție de proiecțiile sale pe axele intrinseci:

$$\bar{a} = \dot{v} \cdot \bar{\tau} + v^2 \cdot \frac{1}{\rho} \cdot \bar{v}. \quad (3.30)$$

Proiecțiile vectorului accelerație pe axele triedrului Frenet sunt:

$$\begin{cases} a_{\tau} = \dot{v} \\ a_{\nu} = \frac{v^2}{\rho} \\ a_{\beta} = 0 \end{cases} \quad (3.31)$$

iar modulul

$$|\bar{a}| = \sqrt{(\dot{v})^2 + \left(\frac{v^2}{\rho}\right)^2} \quad (3.32)$$

Observații:

- Vectorul accelerație aparține planului osculator (proiecția vectorului accelerație pe axa de versor  $\bar{\beta}$  este nulă).

- Accelerația tangențială  $\bar{a}_\tau$  dă informații în legătură cu viteza de variație a mărimii vectorului viteză și poate fi pozitivă sau negativă, după cum coincide ca sens cu sensul vectorului viteză sau nu.
- Accelerația normală  $\bar{a}_\nu$  dă informații despre viteza de variație a direcției vectorului viteză și este orientată întotdeauna în sensul pozitiv al versorului  $\bar{v}$  (spre centrul de curbură).



## *CAPITOLUL 4*

# **Cinematica solidului rigid**

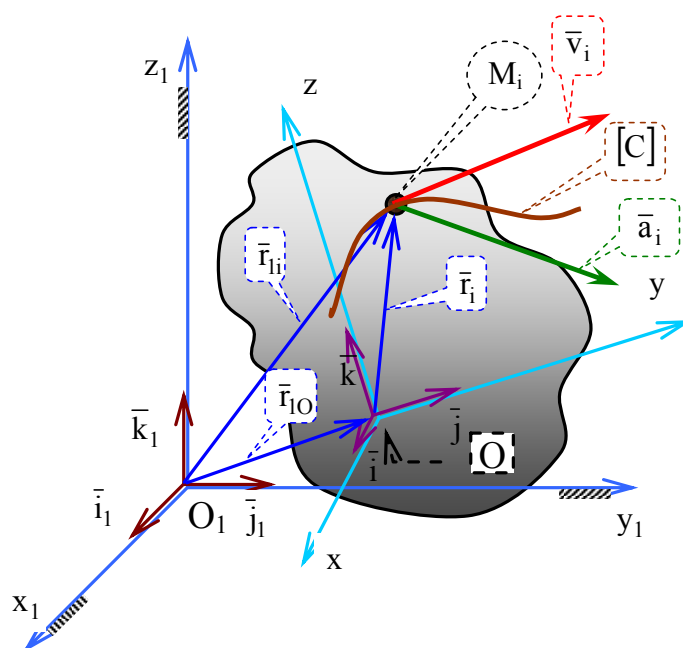


## 4. CINEMATICA SOLIDULUI RIGID

### 4.1. Mișcarea generală a solidului rigid

#### 4.1.1. Generalități

*Formularea problemei:* cunoscându-se mișcarea unui solid rigid în raport cu un sistem de referință fix se cere să se determine traiectoria, viteza și accelerația unui punct oarecare al solidului în raport cu acest sistem de referință,



**Fig. 4.1.**

la un moment  $t$  arbitrar ales. Pentru rezolvarea problemei alegem două sisteme de referință: unul fix  $O_1x_1y_1z_1$  și al doilea mobil  $Oxyz$  solidar cu rigidul a cărei mișcare se studiază (fig. 4.1). Mișcarea sistemului de referință mobil  $Oxyz$ , față de cel fix  $O_1x_1y_1z_1$ , este cunoscută deoarece este cunoscută mișcarea rigidului cu care acest sistem de referință este solidar.

Cu aceste considerente, punctul  $M_i$ , un punct oarecare al solidului, are o poziție determinată invariabil față de sistemul de referință  $Oxyz$  pe toată durata mișcării. Rezultă așadar că orice punct  $M_i$  al solidului are coordonatele  $x_i, y_i, z_i$ , în raport cu sistemul  $Oxyz$ , determinate și constante.

Poziția sistemului  $Oxyz$  în timpul mișcării este determinată dacă se cunoaște vectorul de poziție  $\bar{r}_{10}$  al originii  $O$  a sistemului mobil și pozițiile axelor acestui sistem adică versorii axelor acestuia  $\bar{i}, \bar{j}, \bar{k}$ .

Poziția rigidului fiind variabilă în timp și invariabilă față de sistemul  $Oxyz$ , patru funcții vectoriale de timp vor determina mișcarea rigidului față de sistemul de referință fix  $O_1x_1y_1z_1$ :

$$\bar{r}_{10} = \bar{r}_{10}(t); \quad \bar{i} = \bar{i}(t); \quad \bar{j} = \bar{j}(t); \quad \bar{k} = \bar{k}(t). \quad (4.1)$$

Ultimele trei funcții vectoriale din relațiile (4.1) trebuie să îndeplinească

următoarele condiții:

$$\begin{aligned} \bar{i} \cdot \bar{i} = 1; \quad \bar{j} \cdot \bar{j} = 1; \quad \bar{k} \cdot \bar{k} = 1; \quad \bar{i} \cdot \bar{j} = 0; \quad \bar{j} \cdot \bar{k} = 0; \quad \bar{k} \cdot \bar{i} = 0. \end{aligned} \quad (4.2),$$

(4.3)

Într-adevăr, vectorii  $\bar{i}, \bar{j}, \bar{k}$  fiind versori justifică condițiile (4.2) și întrucât aparțin unor axe triortogonale drepte se justifică și condițiile (4.3).

Rezultă, așadar că din cele 12 necunoscute scalare corespunzătoare celor patru vectori (4.1), rămân doar șase independente și astfel poziția unui solid rigid față de un sistem de referință fix  $O_1x_1y_1z_1$  depinde (este determinată) de șase parametrii scalari independenți adică are șase grade de libertate.

### 4.1.2. Derivata unui vector dat prin proiecții pe axele unui sistem de referință mobil

Considerăm un vector  $\bar{u}(t)$  dat prin proiecțiile sale  $u_x(t)$ ,  $u_y(t)$  și  $u_z(t)$  pe axele sistemului de referință mobil  $Oxyz$ :

$$\bar{u}(t) = u_x(t) \cdot \bar{i} + u_y(t) \cdot \bar{j} + u_z(t) \cdot \bar{k} \quad (4.4)$$

Derivând în raport cu timpul relația (4.4), obținem:

$$\dot{\bar{u}} = \dot{u}_x \cdot \bar{i} + \dot{u}_y \cdot \bar{j} + \dot{u}_z \cdot \bar{k} + u_x \cdot \dot{\bar{i}} + u_y \cdot \dot{\bar{j}} + u_z \cdot \dot{\bar{k}}, \quad (4.5)$$

unde versorii  $\bar{i}$ ,  $\bar{j}$  și  $\bar{k}$  sunt constanți în mărime, dar variabili în direcție.

Exprimăm derivatele acestor versori în funcție de proiecțiile lor pe axele sistemului mobil de coordonate:

$$\begin{cases} \dot{\bar{i}} = (\dot{\bar{i}} \cdot \bar{i}) \cdot \bar{i} + (\dot{\bar{i}} \cdot \bar{j}) \cdot \bar{j} + (\dot{\bar{i}} \cdot \bar{k}) \cdot \bar{k} \\ \dot{\bar{j}} = (\dot{\bar{j}} \cdot \bar{i}) \cdot \bar{i} + (\dot{\bar{j}} \cdot \bar{j}) \cdot \bar{j} + (\dot{\bar{j}} \cdot \bar{k}) \cdot \bar{k} \\ \dot{\bar{k}} = (\dot{\bar{k}} \cdot \bar{i}) \cdot \bar{i} + (\dot{\bar{k}} \cdot \bar{j}) \cdot \bar{j} + (\dot{\bar{k}} \cdot \bar{k}) \cdot \bar{k} \end{cases} \quad (4.6)$$

Derivând relațiile (4.2) și (4.3) obținem:

$$2 \cdot \dot{\bar{i}} \cdot \bar{i} = 0; \quad 2 \cdot \dot{\bar{j}} \cdot \bar{j} = 0; \quad 2 \cdot \dot{\bar{k}} \cdot \bar{k} = 0 \quad (4.7)$$

$$\begin{cases} \dot{\bar{i}} \cdot \bar{j} = -\bar{i} \cdot \dot{\bar{j}} = \omega_z \\ \dot{\bar{j}} \cdot \bar{k} = -\bar{j} \cdot \dot{\bar{k}} = \omega_x \\ \dot{\bar{k}} \cdot \bar{i} = -\bar{k} \cdot \dot{\bar{i}} = \omega_y \end{cases} \quad (4.8)$$

Notățiile introduse în ultimele relații, în mecanică reprezintă proiecțiile

vectorului viteză unghiulară pe axele unui sistem de coordonate mobil. Sub formă vectorială se scrie:  $\bar{\omega} = \omega_x \cdot \bar{i} + \omega_y \cdot \bar{j} + \omega_z \cdot \bar{k}$

Dacă introducem în relațiile (4.6) relațiile (4.7) și (4.8), atunci obținem:

$$\begin{cases} \dot{\bar{i}} = \omega_z \cdot \bar{j} - \omega_y \cdot \bar{k} = \begin{vmatrix} \bar{i} & \bar{j} & \bar{k} \\ \omega_x & \omega_y & \omega_z \\ 1 & 0 & 0 \end{vmatrix} \\ \dot{\bar{j}} = \omega_z \cdot \bar{i} + \omega_x \cdot \bar{k} = \begin{vmatrix} \bar{i} & \bar{j} & \bar{k} \\ \omega_x & \omega_y & \omega_z \\ 0 & 1 & 0 \end{vmatrix}, \\ \dot{\bar{k}} = \omega_y \cdot \bar{i} - \omega_x \cdot \bar{j} = \begin{vmatrix} \bar{i} & \bar{j} & \bar{k} \\ \omega_x & \omega_y & \omega_z \\ 0 & 0 & 1 \end{vmatrix} \end{cases} \quad (4.9)$$

deci 
$$\begin{cases} \dot{\bar{i}} = \bar{\omega} \times \bar{i} \\ \dot{\bar{j}} = \bar{\omega} \times \bar{j} \\ \dot{\bar{k}} = \bar{\omega} \times \bar{k} \end{cases}, \text{ numite și } \mathbf{rela\c{t}iile\ lu\i\ Poisson}. \quad (4.10)$$

Introducem expresiile derivatelor versorilor sistemului mobil, date de relațiile (4.10), în expresia derivatei în raport cu timpul (4.5) a vectorului  $\bar{u}(t)$  și obținem:

$$\begin{aligned} \dot{\bar{u}} &= \frac{d\bar{u}}{dt} = \\ &= \dot{u}_x \cdot \bar{i} + \dot{u}_y \cdot \bar{j} + \dot{u}_z \cdot \bar{k} + u_x \cdot (\bar{\omega} \times \bar{i}) + u_y \cdot (\bar{\omega} \times \bar{j}) + u_z \cdot (\bar{\omega} \times \bar{k}) = \\ &= \frac{\partial \bar{u}}{\partial t} + \bar{\omega} \times (u_x \cdot \bar{i} + u_y \cdot \bar{j} + u_z \cdot \bar{k}), \end{aligned}$$

$$\Rightarrow \frac{d\bar{u}}{dt} = \frac{\partial \bar{u}}{\partial t} + \bar{\omega} \times \bar{u}, \quad (4.11)$$

în care:

$$\frac{\partial \bar{u}}{\partial t} = \dot{u}_x \cdot \bar{i} + \dot{u}_y \cdot \bar{j} + \dot{u}_z \cdot \bar{k}, \text{ este } \mathbf{derivata\ relativ\ (local\)}, \text{ vectorul care}$$

are proiecțiile pe axele sistemului mobil Oxyz egale cu derivatele în raport cu timpul ale proiecțiilor vectorului  $\bar{u}$  pe axele aceluiași sistem de coordonate mobil:

$\frac{d\bar{u}}{dt}$ , este *derivata absolută*, vectorul a cărui proiecții pe axele sistemului

fix sunt egale cu derivatele în raport cu timpul a proiecțiilor vectorului  $\bar{u}$  pe axele aceluiași sistem de coordonate fix.

### 4.1.3. Traiectorii

Din figura 4.1 se poate scrie relația vectorială de legătură între vectorul de poziție  $\bar{r}_{li}$  al punctului  $M_i$  în raport cu sistemul de referință fix, vectorul de poziție  $\bar{r}_{10}$  al originii sistemului de referință mobil  $O$  față de cel fix și vectorul de poziție al punctului  $M_i$  în raport cu sistemul de referință mobil, adică:

$$\bar{r}_{li} = \bar{r}_{10} + \bar{r}_i, \quad (4.12)$$

unde

$$\begin{cases} \bar{r}_{li} = x_{li} \cdot \bar{i}_1 + y_{li} \cdot \bar{j}_1 + z_{li} \cdot \bar{k}_1, \\ \bar{r}_{10} = x_{10} \cdot \bar{i}_1 + y_{10} \cdot \bar{j}_1 + z_{10} \cdot \bar{k}_1, \\ \bar{r}_i = x_i \cdot \bar{i} + y_i \cdot \bar{j} + z_i \cdot \bar{k}. \end{cases} \quad (4.13)$$

Ecuatiile parametrice ale traiectoriei  $[C]$  punctului  $M_i$  se obțin proiectând relația (4.12), utilizând și (4.13), pe axele sistemului de referință fix  $O_1x_1y_1z_1$ , adică:

$$\begin{cases} x_{li} = x_{10} + x_i \cdot \cos(\bar{i}, \bar{i}_1) + y_i \cdot \cos(\bar{j}, \bar{i}_1) + z_i \cdot \cos(\bar{k}, \bar{i}_1) \\ y_{li} = y_{10} + x_i \cdot \cos(\bar{i}, \bar{j}_1) + y_i \cdot \cos(\bar{j}, \bar{j}_1) + z_i \cdot \cos(\bar{k}, \bar{j}_1) \\ z_{li} = z_{10} + x_i \cdot \cos(\bar{i}, \bar{k}_1) + y_i \cdot \cos(\bar{j}, \bar{k}_1) + z_i \cdot \cos(\bar{k}, \bar{k}_1) \end{cases} \quad (4.14)$$

### 4.1.4. Distribuția de viteze și accelerații

*Distribuția de viteze.*

Prin derivarea în raport cu timpul a relației (4.12) se obține:

$$\dot{\bar{r}}_{li} = \dot{\bar{r}}_{10} + \dot{\bar{r}}_i, \quad (4.15)$$

unde  $\dot{\bar{r}}_{li} = \bar{v}_i$  și  $\dot{\bar{r}}_{10} = \bar{v}_O$  reprezintă vitezele punctului  $M_i$  și respectiv a originii triedrului  $Oxyz$  corespunzătoare unui moment oarecare din timpul mișcării solidului. În privința vectorului  $\bar{r}_i$  se constată că este definit prin proiecțiile lui pe axele unui sistem de referință mobil (solidar cu rigidul) și prin urmare derivata sa se calculează cu relația (4.11), adică:

$$\dot{\bar{r}}_i = \frac{\partial \bar{r}_i}{\partial t} + \bar{\omega} \times \bar{r}_i. \quad (4.16)$$

Deoarece vectorul de poziție  $\bar{r}_i = x_i \cdot \bar{i} + y_i \cdot \bar{j} + z_i \cdot \bar{k}$  are proiecțiile pe

axele sistemului de referință mobil  $Oxyz$  (solidar cu rigidul nedeformabil), derivatele acestora în raport cu timpul sunt nule, ceea ce face ca relația (4.16) să devină:

$$\dot{\bar{r}}_i = \bar{\omega} \times \bar{r}_i, \quad (4.17)$$

iar relația (4.15) se transformă corespunzător în:

$$\bar{v}_i = \bar{v}_O + \bar{\omega} \times \bar{r}_i, \quad (4.18)$$

numită *relația lui Euler pentru distribuția vitezelor* într-un rigid.

Proiectând relația (4.18) pe axele sistemului de referință mobil  $Oxyz$ , pregătind în prealabil vectorii componenți, adică:

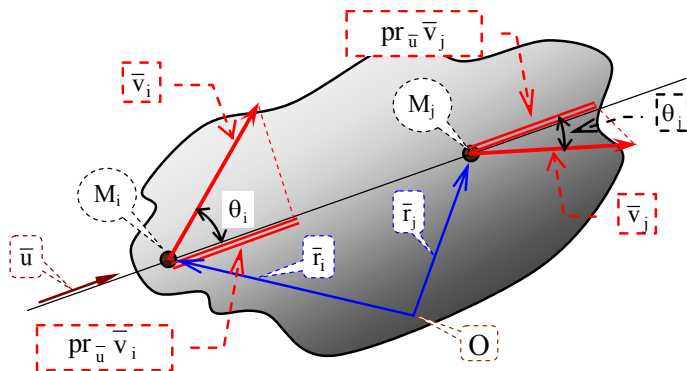
$$\bar{v}_i = v_{ix} \cdot \bar{i} + v_{iy} \cdot \bar{j} + v_{iz} \cdot \bar{k}, \quad \bar{v}_O = v_{Ox} \cdot \bar{i} + v_{Oy} \cdot \bar{j} + v_{Oz} \cdot \bar{k},$$

$$\bar{\omega} \times \bar{r}_i = \begin{vmatrix} \bar{i} & \bar{j} & \bar{k} \\ \omega_x & \omega_y & \omega_z \\ x_i & y_i & z_i \end{vmatrix},$$

se obțin proiecțiile vectorului viteză pe axele sistemului de referință mobil  $Oxyz$ , sub forma (4.19):

$$\Rightarrow \begin{cases} v_{ix} = v_{Ox} + z_i \cdot \omega_y - y_i \cdot \omega_z \\ v_{iy} = v_{Oy} + x_i \cdot \omega_z - z_i \cdot \omega_x \\ v_{iz} = v_{Oz} + y_i \cdot \omega_x - x_i \cdot \omega_y \end{cases} \quad (4.19)$$

*Observație*



**Fig. 4.2.**

Proiecțiile vitezelor a două puncte ale unui solid rigid în mișcarea generală, pe direcția determinată de cele două puncte, sunt egale între ele (fig. 4.2).

Aplicăm relația lui Euler pentru punctele  $M_i$  și  $M_j$ :

$$\begin{cases} \bar{v}_i = \bar{v}_O + \bar{\omega} \times \bar{r}_i, \\ \bar{v}_j = \bar{v}_O + \bar{\omega} \times \bar{r}_j. \end{cases}$$

Scăzând cele două relații obținem:

$$\bar{v}_i - \bar{v}_j = \bar{\omega} \times \overline{M_j M_i} \quad \text{sau} \quad \bar{v}_i = \bar{v}_j + \bar{\omega} \times \overline{M_j M_i} \quad | \cdot \overline{M_j M_i}$$

$$\Rightarrow \bar{v}_i \cdot \overline{M_j M_i} = \bar{v}_j \cdot \overline{M_j M_i} + (\bar{\omega} \times \overline{M_j M_i}) \cdot \overline{M_j M_i}$$

Ultimul termen (produsul mixt) din membrul doi este nul, ceea ce conduce la relația:

$$|\bar{v}_i| \cdot |\overline{M_j M_i}| \cdot \cos \theta_i = |\bar{v}_j| \cdot |\overline{M_j M_i}| \cdot \cos \theta_j$$

sau după împărțire cu  $|\overline{M_j M_i}|$ , avem

$$|\bar{v}_i| \cdot \cos \theta_i = |\bar{v}_j| \cdot \cos \theta_j. \quad (4.20)$$

*Distribuția de accelerații.*

Prin derivare în raport cu timpul a relației lui Euler de distribuție a vitezelor (4.18) se obține:

$$\dot{\bar{v}}_i = \dot{\bar{v}}_O + \dot{\bar{\omega}} \times \bar{r}_i + \bar{\omega} \times \dot{\bar{r}}_i, \quad (4.21)$$

unde

$\dot{\bar{v}}_i = \bar{a}_i$  este accelerația punctului  $M_i$ ;

$\dot{\bar{v}}_O = \bar{a}_O$  este accelerația originii sistemului de referință mobil Oxyz;

$\dot{\bar{\omega}} = \bar{\varepsilon}$  este accelerația unghiulară a sistemului de referință mobil Oxyz, deci și a rigidului care este solidar cu sistemul mobil.

Deasemeni, în privința vectorului  $\bar{r}_i$  se constată că este definit prin proiecțiile lui pe axele unui sistem de referință mobil (solidar cu rigidul) și prin urmare derivata sa se calculează cu relația (4.11), în forma:

$$\dot{\bar{r}}_i = \frac{\partial \bar{r}_i}{\partial t} + \bar{\omega} \times \bar{r}_i, \quad (4.16)$$

iar vectorul de poziție  $\bar{r}_i = x_i \cdot \bar{i} + y_i \cdot \bar{j} + z_i \cdot \bar{k}$  având proiecțiile pe axele sistemului de referință mobil Oxyz (solidar cu rigidul nedeformabil), derivatele acestora în raport cu timpul sunt nule, ceea ce face ca relația (4.16) să devină:

$$\dot{\bar{r}}_i = \bar{\omega} \times \bar{r}_i, \quad (4.17)$$

iar relația (4.21) se transformă corespunzător în:

$$\Rightarrow \bar{a}_i = \bar{a}_O + \bar{\varepsilon} \times \bar{r}_i + \bar{\omega} \times (\bar{\omega} \times \bar{r}_i) \quad (4.22)$$

adică, *relația de distribuție a accelerațiilor* în mișcarea generală a solidului rigid sau **relația lui Rivals**.

Proiectând relația (4.22) pe axele sistemului de referință mobil Oxyz, pregătind în prealabil vectorii componenți, adică:



$$\bar{a}_i = a_{ix} \cdot \bar{i} + a_{iy} \cdot \bar{j} + a_{iz} \cdot \bar{k}, \quad \bar{a}_O = a_{Ox} \cdot \bar{i} + a_{Oy} \cdot \bar{j} + a_{Oz} \cdot \bar{k}$$

$$\bar{\varepsilon} \times \bar{r}_i = \begin{vmatrix} \bar{i} & \bar{j} & \bar{k} \\ \varepsilon_x & \varepsilon_y & \varepsilon_z \\ x_i & y_i & z_i \end{vmatrix}$$

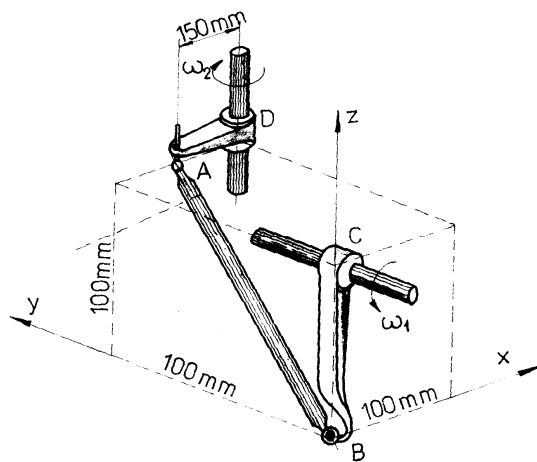
$$\bar{\omega} \times (\bar{\omega} \times \bar{r}_i) = \begin{vmatrix} \bar{i} & \bar{j} & \bar{k} \\ \omega_x & \omega_y & \omega_z \\ z_i \cdot \omega_y - y_i \cdot \omega_z & x_i \cdot \omega_z - z_i \cdot \omega_x & y_i \cdot \omega_x - x_i \cdot \omega_y \end{vmatrix}$$

se obțin proiecțiile vectorului accelerație pe axele sistemului de referință mobil Oxyz, sub forma (4.23):

$$\Rightarrow \begin{cases} a_{ix} = a_{Ox} + z_i \cdot \varepsilon_y - y_i \cdot \varepsilon_z + \omega_y \cdot (y_i \cdot \omega_x - x_i \cdot \omega_y) - \omega_z \cdot (x_i \cdot \omega_z - z_i \cdot \omega_x) \\ a_{iy} = a_{Oy} + x_i \cdot \varepsilon_z - z_i \cdot \varepsilon_x + \omega_z \cdot (z_i \cdot \omega_y - y_i \cdot \omega_z) - \omega_x \cdot (y_i \cdot \omega_x - x_i \cdot \omega_y) \\ a_{iz} = a_{Oz} + y_i \cdot \varepsilon_x - x_i \cdot \varepsilon_y + \omega_x \cdot (x_i \cdot \omega_z - z_i \cdot \omega_x) - \omega_y \cdot (z_i \cdot \omega_y - y_i \cdot \omega_z) \end{cases} \quad (4.23)$$

***Apl. 4.1.***

Brațul CB se rotește cu viteză unghiulară constantă în poziția considerată



în fig. Apl-4.1,  $\omega_1 = 6$  rad/s, în jurul unei axe orizontale. Tija AB este legată prin intermediul a două articulații sferice A și B de brațele DA și CB. Pentru poziția mecanismului din figură, se cere să se determine viteza unghiulară  $\omega_2$  a brațului DA și viteza unghiulară  $\omega_n$  a tijei AB.

***Fig. Apl-4.1.***

**R:**

Viteza unghiulară a brațului BC este:

$$\bar{\omega} = -6 \cdot \bar{j} \text{ [rad/s]}$$

Viteza punctului B va fi:

$$\bar{v}_B = \bar{\omega}_1 \times \overline{BC} = 600 \cdot \bar{i} \text{ [mm/s]}$$

Viteza punctului A va fi:

$$\bar{v}_A = \bar{\omega}_2 \times \overline{DA} = 600 \cdot \bar{i} \text{ [mm/s]}$$

$$\bar{\omega}_2 = -\omega_2 \cdot \bar{k} \quad \Rightarrow v_A = 50 \cdot \omega_2 \cdot \bar{j}$$

Formula lui Euler care leagă vitezele a două puncte ale unui rigid aplicată punctelor A și B ne dă:

$$\bar{v}_A = \bar{v}_B + \bar{\omega}_n \times \overline{BA}, \quad \text{in care } \overline{BA} = 50 \cdot \bar{i} + 100 \cdot \bar{j} + 100 \cdot \bar{k}$$

Înlocuind vom avea:

$$50 \cdot \omega_2 \cdot \bar{j} = 600 \cdot \bar{i} + \begin{vmatrix} \bar{i} & \bar{j} & \bar{k} \\ \omega_{nx} & \omega_{ny} & \omega_{nz} \\ 50 & 100 & 100 \end{vmatrix}$$

și apoi identificând obținem sistemul:

$$\begin{cases} -6 = \omega_{ny} - \omega_{nz} \\ \omega_2 = -2 \cdot \omega_{nx} + \omega_{nz} \\ 0 = 2 \cdot \omega_{nx} - \omega_{ny} \end{cases}$$

Prin adunare membru cu membru rezultă:

$$\omega_2 = 6 \text{ [rad/s]}. \quad \blacklozenge$$

Pentru a găsi  $\bar{\omega}_n$  avem nevoie de încă o relația care se obține știind că  $\bar{\omega}_n$  este perpendicular pe  $\overline{BA}$ .

Rezultă  $\bar{\omega}_n \cdot \overline{BA} = 0$ ; adică:

$$50 \cdot \omega_{nx} \cdot \bar{i} + 100 \cdot \omega_{ny} \cdot \bar{j} + 100 \cdot \omega_{nz} \cdot \bar{k} = 0$$

Această relație, împreună cu sistemul de mai sus ne dau soluțiile:

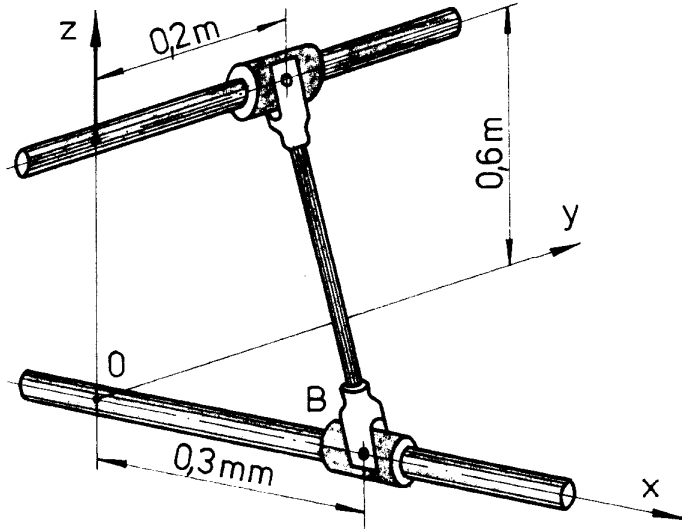
$$\omega_{nx} = -4/3 \text{ [rad/s]}; \quad \omega_{ny} = -8/3 \text{ [rad/s]}; \quad \omega_{nz} = 10/3 \text{ [rad/s]}$$

adică:

$$\bar{\omega}_n = \frac{2}{3} \cdot (-2 \cdot \bar{i} - 4 \cdot \bar{j} + 5 \cdot \bar{k}) \text{ [rad/s]} \quad \blacklozenge$$

cu  $|\bar{\omega}_n| = \frac{2}{3} \cdot \sqrt{2^2 + 4^2 + 5^2} = 2 \cdot \sqrt{5} \text{ [rad/s]}$  ◆

**Apl. 4.2.** Culisa B a mecanismului spațial din figura Apl-4.2 are o mișcare rectilinie, cu viteză constantă de-a lungul axei Ox,  $v_B = 4 \text{ m/s}$ . În momentul considerat distanța  $OB = 0,3 \text{ m}$ , iar  $A'A = 0,2 \text{ m}$ . Să se determine viteza culisei A, care se mișcă pe o direcție paralelă cu axa Oy, în poziția din figură.



**Fig. Apl-4.2.**

**R:** Distanța AB fiind constantă, avem:

$$A(0; y_A; 0,6) \text{ și } B(x_B; 0; 0); \quad AB^2 = x_B^2 + y_A^2 + 0,6^2 = L_{AB}^2.$$

Derivăm relația în raport cu timpul și obținem:

$$2 \cdot \dot{x}_B \cdot x_B + 2 \cdot \dot{y}_A \cdot y_A + 0 = 0.$$

În momentul considerat cunoaștem că:

$$x_B = 0,3 \text{ m}; \quad v_B = \dot{x}_B = 4 \text{ m/s}; \quad y_A = 0,2 \text{ m}; \quad \dot{y}_A = v_A.$$

Obținem:  $4 \cdot 0,3 + 0,2 \cdot v_A = 0$

Deci:  $v_A = -6 \text{ m/s}$  sau  $\bar{v}_A = -6 \cdot \bar{j} \text{ [m/s]}$  ◆

## 4.2. Mișcări particulare ale solidului rigid

Pentru aceste mișcări particulare ale solidului rigid ne propunem să stabilim:

- definiția mișcării;
- poziția solidului rigid;
- traiectoria unui punct  $P_i$ ;
- viteza și accelerația punctului  $P_i$ .

### 4.2.1. Mișcarea de translație

*Definiție:* Un solid rigid execută o mișcare de translație dacă o dreaptă solidară cu el rămâne în tot timpul mișcării paralelă cu ea însăși sau cu o dreaptă fixă din spațiu.

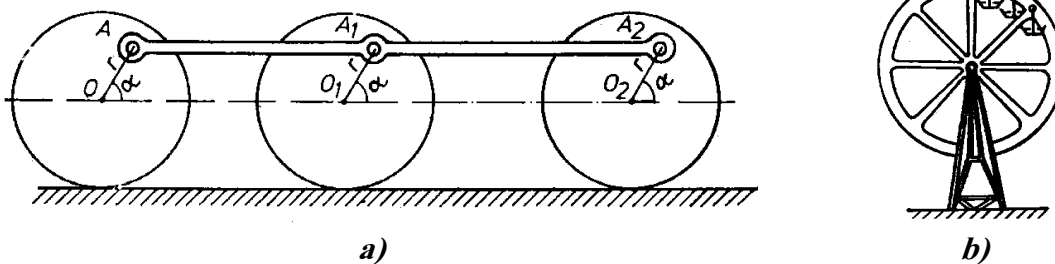


Fig. 4.3

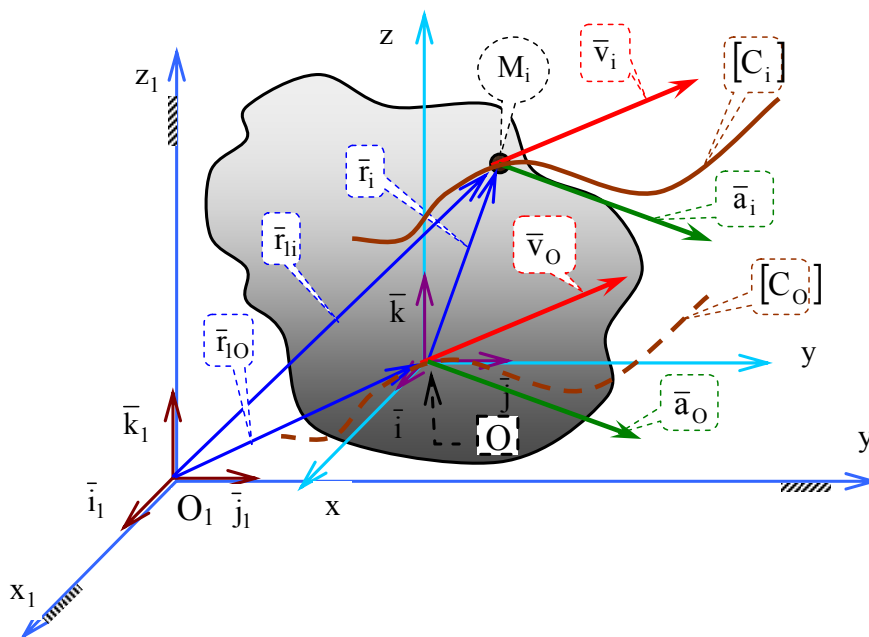


Fig. 4.4.

*Exemple:*

mișcarea pistonului în cilindrul unui motor cu ardere internă; mișcarea bielei de legătură a unei locomotive cu abur atunci când aceasta se deplasează pe un drum drept (fig. 4.3,a); mișcarea scaunului unui scrânciob care se rotește într-un plan vertical (fig. 4.3,b) etc.

Considerăm solidul rigid în mișcare de tran-slație surprins la momentul oarecare  $t$  ca în fig. 4.4.

Alegerea sistemului de axe se face în conformitate cu deplasarea (axele sistemului mobil  $Oxyz$ , solidar cu rigidul, rămân tot timpul mișcării paralele cu cele ale sistemului fix  $O_1x_1y_1z_1$ ), adică trebuie să avem relațiile:

$$\bar{i} = \bar{i}_1 = \overline{\text{const}}; \quad \bar{j} = \bar{j}_1 = \overline{\text{const}}; \quad \bar{k} = \bar{k}_1 = \overline{\text{const}}. \quad (4.24)$$

Din cele patru funcții vectorile de timp (4.1) cu ajutorul cărora s-a determinat poziția rigidului în cazul celei mai generale mișcări a solidului rigid, mai rămâne doar una în cazul mișcării de translație, pentru a cunoaște în totalitate poziția rigidului la orice moment în timp, adică:

$$\bar{r}_{10} = \bar{r}_{10}(t). \quad (4.25)$$

Deci, în mișcarea de translație solidul rigid are 3 grade de libertate, sunt necesari 3 parametrii scalari de poziție și anume proiecțiile pe axele sistemului fix ale vectorului de poziție  $\bar{r}_{10}$  al originii sistemului de referință mobil în raport cu cel fix.

*Traectoria  $[C_i]$  a punctului  $P_i$ .*

Din schiță putem scrie relația ce leagă cei trei vectori de poziție:

$$\bar{r}_{1i} = \bar{r}_{10} + \bar{r}_i. \quad (4.26)$$

Proiectând relația (4.26) pe axele sistemului de coordonate fix  $O_1x_1y_1z_1$ , obținem *ecuațiile parametrice ale traectoriei* punctului  $P_i$  de forma (4.27):

$$\begin{cases} x_{1i} = x_{10} + x_i \\ y_{1i} = y_{10} + y_i \\ z_{1i} = z_{10} + z_i \end{cases} \quad (4.27)$$

Traectoria  $[C_i]$  punctului  $P_i$  este paralelă cu traectoria  $[C_0]$  a originii  $O$  a sistemului mobil și identică cu aceasta ca formă ( $x_i, y_i, z_i$  sunt constante).

*Viteza  $\bar{v}_i$  și accelerația  $\bar{a}_i$  ale punctului  $P_i$ .*

Derivăm în raport cu timpul relația (4.26):

$$\frac{d}{dt}[\bar{r}_{1i} = \bar{r}_{10} + \bar{r}_i] \Rightarrow \dot{\bar{r}}_{1i} = \dot{\bar{r}}_{10} + \dot{\bar{r}}_i, \quad (4.28)$$

unde:  $\dot{\bar{r}}_{1i} = \bar{v}_i$  - este viteza punctului  $P_i$ ;

$\dot{\bar{r}}_{1O} = \bar{v}_O$  - este viteza originii sistemului de referință mobil  $O$ ;

$\dot{\bar{r}}_i = \frac{\partial \bar{r}_i}{\partial t} + \bar{\omega} \times \bar{r}_i$  - este derivata vectorului de poziție  $\bar{r}_i$  al punctului

$P_i$ , vector dat prin proiecții constante în sistemul de referință mobil, ceea ce face ca derivata relativă (locală) să fie nulă.

Din relațiile (4.8), având în vedere și relațiile (4.24), se obține:

$$\begin{cases} \dot{\bar{i}} \cdot \bar{j} = \omega_z, \\ \dot{\bar{j}} \cdot \bar{k} = \omega_x, \\ \dot{\bar{k}} \cdot \bar{i} = \omega_y, \end{cases} \Rightarrow \begin{cases} \omega_z = 0, \\ \omega_x = 0, \\ \omega_y = 0. \end{cases}$$

Deci viteza unghiulară ( $\bar{\omega} = \omega_x \cdot \bar{i} + \omega_y \cdot \bar{j} + \omega_z \cdot \bar{k} = 0$ ) este nulă și cu atât mai mult accelerația unghiulară ( $\bar{\varepsilon} = \dot{\bar{\omega}} = 0$ ).

Din relația (4.28), cu aceste observații, rezultă relația distribuției de viteze în mișcarea de translație:

$$\Rightarrow \bar{v}_i = \bar{v}_O \tag{4.29}$$

și a distribuției de accelerații prin derivarea în raport cu timpul a relației (4.29):

$$\Rightarrow \bar{a}_i = \bar{a}_O \tag{4.30}$$

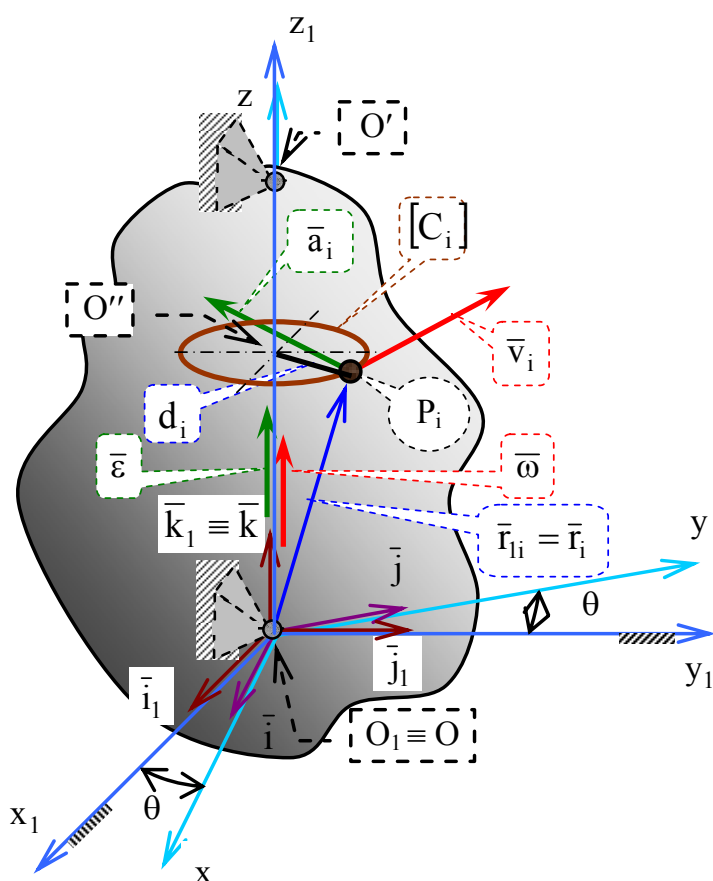
În mișcarea de translație traiectoriile punctelor solidului rigid sunt identice și paralele între ele, iar vitezele respectiv accelerațiile tuturor punctelor rigidului, la un moment oarecare  $t$ , sunt egale între ele.

### 4.2.2. Mișcarea de rotație cu axă fixă

*Definiție:* Un solid rigid execută o mișcare de rotație cu axă fixă dacă cel puțin două puncte ale sale rămân pe tot timpul mișcării suprapuse cu două puncte fixe din spațiu.

Pentru studiul mișcării de rotație a unui solid rigid în jurul unei axe fixe, alegem două sisteme de referință, unul fix  $O_1x_1y_1z_1$  și altul mobil  $Oxyz$  astfel încât acestea să aibă originea comună  $O_1 \equiv O$  și axa de rotație confundată cu  $O_1z_1 \equiv Oz$ .

Sistemele de referință fiind alese astfel și mișcarea având particularitățile specificate, cele patru funcții vectoriale necesare studiului mișcării rigidului (4.1), se transformă în mod corespunzător:



$$\begin{cases} \bar{r}_{i0} = 0, \\ \bar{i} = \cos \theta \cdot \bar{i}_1 + \sin \theta \cdot \bar{j}_1, \\ \bar{j} = -\sin \theta \cdot \bar{i}_1 + \cos \theta \cdot \bar{j}_1 \\ \bar{k} = \bar{k}_1 = \text{const.} \end{cases} \quad (4.31)$$

Deci, poziția solidului rigid în mișcarea de rotație cu axă fixă este determinată de un singur parametru scalar și anume unghiul  $\theta = \theta(t)$ , ceea ce indică un singur grad de libertate al rigidului.

**Fig. 4.5.**

*Traectoria  $[C_i]$  a punctului  $P_i$ .*

Din schiță, prin modul de alegere a sistemelor de axe, avem:

$$\bar{r}_{i1} = \bar{r}_i, \quad (4.32)$$

care proiectată pe axele sistemului fix de coordonate  $O_1x_1y_1z_1$  conduce la ecuațiile parametrice ale traiectoriei punctului  $P_i$ :

$$\begin{cases} x_{1i} = x_i \cdot \cos \theta - y_i \cdot \sin \theta, \\ y_{1i} = x_i \cdot \sin \theta + y_i \cdot \cos \theta, \\ z_{1i} = z_i. \end{cases} \quad (4.33)$$

Eliminând parametrul  $\theta$  obținem din ecuațiile parametrice (4.33), ecuația traiectoriei:

$$x_{1i}^2 + y_{1i}^2 = x_i^2 + y_i^2 = d_i^2, \quad (4.34)$$

ecuația unui cerc cu rază  $d_i$  și centru pe axa de rotație. Deci traiectoriile tuturor punctelor rigidului sunt cercuri plasate în plane perpendiculare pe axa de rotație de rază  $d_i$ .

*Distribuția de viteze și accelerații*

Prin derivare în raport cu timpul a relației (4.32) se obține:

$$\dot{\bar{r}}_{li} = \dot{\bar{r}}_i, \quad (4.35)$$

unde  $\dot{\bar{r}}_{li} = \bar{v}_i$ , este viteza punctului  $P_i$ ;

$$\dot{\bar{r}}_i = \frac{\partial \bar{r}_i}{\partial t} + \bar{\omega} \times \bar{r}_i = \bar{\omega} \times \bar{r}_i, \text{ este derivata unui vector dat prin proiecții pe}$$

axele unui sistem de referință mobil (Oxyz), cu  $\frac{\partial \bar{r}_i}{\partial t} = 0$  deoarece  $|\bar{r}_i| = \text{const.}$

și deci vectorul de poziție  $\bar{r}_i$  variază numai în direcție.

Cu aceste observații relația distribuției de viteze în mișcarea de rotație cu axă fixă este:

$$\bar{v}_i = \bar{\omega} \times \bar{r}_i. \quad (4.36)$$

Derivăm în raport cu timpul relațiile (4.31):

$$\begin{cases} \dot{\bar{i}} = \dot{\theta} \cdot (-\sin \theta \cdot \bar{i}_1 + \cos \theta \cdot \bar{j}_1) = \dot{\theta} \cdot \bar{j}, \\ \dot{\bar{j}} = \dot{\theta} \cdot (-\cos \theta \cdot \bar{i}_1 - \sin \theta \cdot \bar{j}_1) = -\dot{\theta} \cdot \bar{i}, \\ \dot{\bar{k}} = 0. \end{cases} \quad (4.37)$$

Din relațiile (4.8), având în vedere și relațiile (4.37), se obține:

$$\begin{cases} \omega_x = \dot{\bar{j}} \cdot \bar{k} = -\dot{\bar{k}} \cdot \bar{j} = 0, \\ \omega_y = \dot{\bar{k}} \cdot \bar{i} = 0, \\ \omega_z = \dot{\bar{i}} \cdot \bar{j} = \dot{\theta} \cdot \bar{j} \cdot \bar{j} = \dot{\theta}, \end{cases} \quad (4.38)$$

respectiv  $\bar{\omega} = \dot{\theta} \cdot \bar{k} = \omega \cdot \bar{k}, \quad (4.39)$

ceea ce arată că vectorul viteză unghiulară  $\bar{\omega}$  este dirijat după direcția axei de rotație.

Exprimăm, cu ajutorul determinanților relația distribuției de viteze (4.36) în mișcarea de rotație cu axă fixă și obținem:

$$\begin{aligned} \bar{v}_i &= v_{ix} \cdot \bar{i} + v_{iy} \cdot \bar{j} + v_{iz} \cdot \bar{k} = \\ &= \bar{\omega} \times \bar{r}_i = \begin{vmatrix} \bar{i} & \bar{j} & \bar{k} \\ 0 & 0 & \omega \\ x_i & y_i & z_i \end{vmatrix} = (-\omega \cdot y_i) \cdot \bar{i} + (\omega \cdot x_i) \cdot \bar{j}. \end{aligned} \quad (4.40)$$

Proiectând relația (4.40) pe axele sistemului de referință mobil Oxyz obținem proiecțiile vectorului viteză pe axele acestui sistem, adică:



$$\begin{cases} v_{ix} = -\omega \cdot y_i, \\ v_{iy} = \omega \cdot x_i, \\ v_{iz} = 0, \end{cases} \quad (4.41)$$

modulul  $|\bar{v}_i| = \sqrt{v_{ix}^2 + v_{iy}^2} = \omega \cdot \sqrt{x_i^2 + y_i^2} = \omega \cdot d_i.$  (4.42)

Derivând în raport cu timpul relația (4.36) se obține expresia distribuției de accelerații în mișcarea de rotație cu axă fixă:

$$\dot{\bar{v}}_i = \dot{\bar{\omega}} \times \bar{r}_i + \bar{\omega} \times \dot{\bar{r}}_i,$$

unde:  $\dot{\bar{v}}_i = \bar{a}_i$ , este accelerația punctului  $P_i$ ;

$$\dot{\bar{r}}_i = \frac{\partial \bar{r}_i}{\partial t} + \bar{\omega} \times \bar{r}_i = \bar{\omega} \times \bar{r}_i;$$

$\dot{\bar{\omega}} = \bar{\varepsilon} = \ddot{\theta} \cdot \bar{k} = \varepsilon \cdot \bar{k}$ , este vectorul accelerație unghiulară a sistemului de referință mobil solidar cu solidul rigid, evident și a rigidului, care are direcția axei de rotație.

$$\Rightarrow \bar{a}_i = \varepsilon \times \bar{r}_i + \bar{\omega} \times (\bar{\omega} \times \bar{r}_i). \quad (4.43)$$

Exprimăm, cu ajutorul determinanților relația distribuției de accelerații (4.43) în mișcarea de rotație cu axă fixă și obținem:

$$\begin{aligned} \bar{a}_i &= a_{ix} \cdot \bar{i} + a_{iy} \cdot \bar{j} + a_{iz} \cdot \bar{k} = \bar{\varepsilon} \times \bar{r}_i + \bar{\omega} \times (\bar{\omega} \times \bar{r}_i) = \\ &= \begin{vmatrix} \bar{i} & \bar{j} & \bar{k} \\ 0 & 0 & \varepsilon \\ x_i & y_i & z_i \end{vmatrix} + \begin{vmatrix} \bar{i} & \bar{j} & \bar{k} \\ 0 & 0 & \omega \\ -\omega \cdot x_i & \omega \cdot y_i & 0 \end{vmatrix}, \end{aligned}$$

$$\Rightarrow \bar{a}_i = (-\varepsilon \cdot y_i - \omega^2 \cdot x_i) \cdot \bar{i} + (\varepsilon \cdot x_i - \omega^2 \cdot y_i) \cdot \bar{j}. \quad (4.44)$$

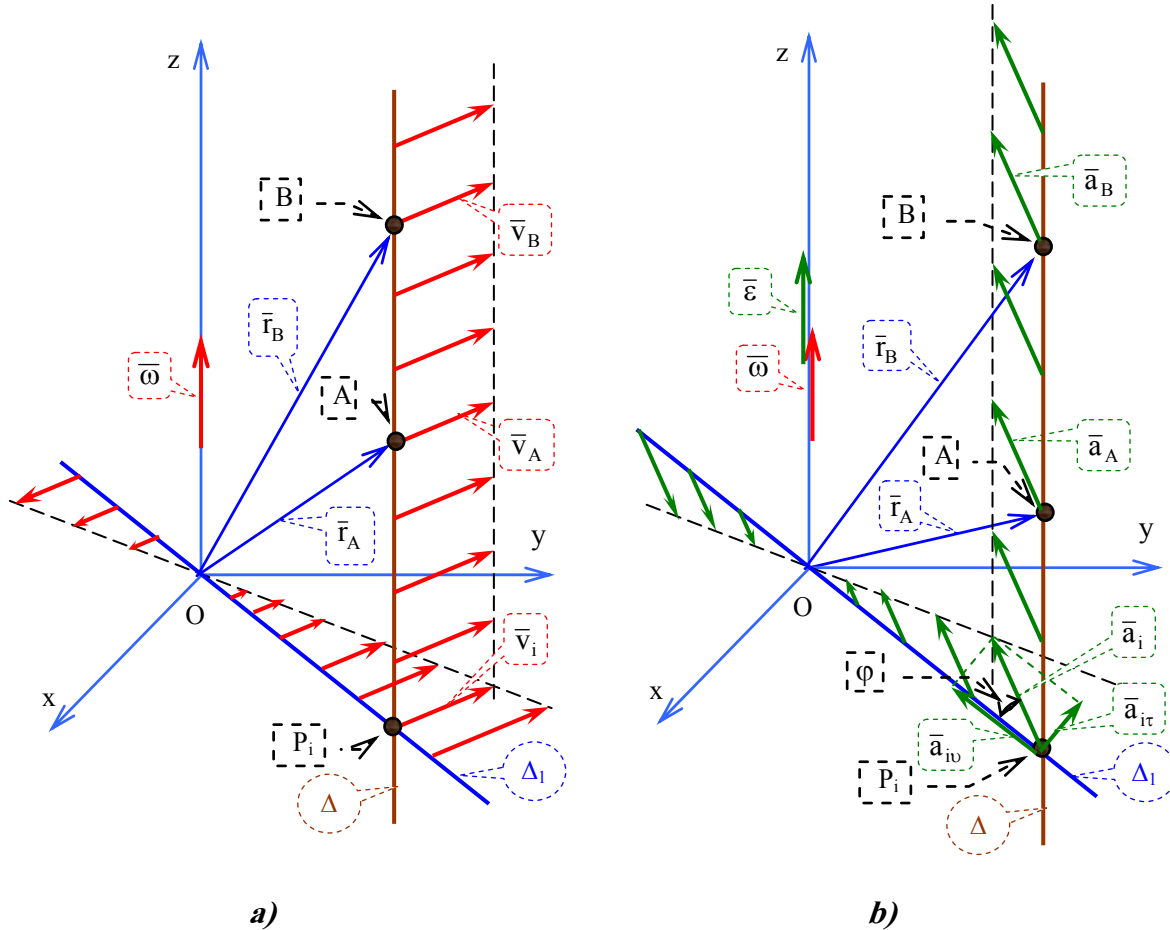
Proiectând relația (4.44) pe axele sistemului mobil  $Oxyz$  obținem proiecțiile vectorului accelerație pe axele sistemului mobil:

$$\begin{cases} a_{ix} = -\varepsilon \cdot y_i - \omega^2 \cdot x_i \\ a_{iy} = \varepsilon \cdot x_i - \omega^2 \cdot y_i \\ a_{iz} = 0 \end{cases} \quad (4.45)$$

respectiv modulul accelerației:

$$|\bar{a}| = \sqrt{\varepsilon^2 \cdot (x_i^2 + y_i^2) + \omega^4 \cdot (x_i^2 + y_i^2)} = d_i \cdot \sqrt{\varepsilon^2 + \omega^4} \quad (4.46)$$

Relațiile (4.41) și (4.45) arată că vectorul viteză și vectorul accelerație sunt conținuți în plane perpendiculare pe axa de rotație (componentele lor pe axa Oz sunt nule). Dacă exprimăm vectorul accelerație într-un sistem de coordonate intrinseci, atunci componentele lui vor fi:



**Fig. 4.6.**

$$\begin{cases} a_\tau = \dot{v}, \\ a_n = \frac{v^2}{\rho}, \\ a_\beta = 0, \end{cases} \quad \text{iar pentru } \rho = d_i \text{ avem} \quad \begin{cases} a_\tau = \frac{d}{dt}(\omega \cdot d_i) = \varepsilon \cdot d_i, \\ a_n = \frac{(\omega \cdot d_i)^2}{d_i} = \omega^2 \cdot d_i, \\ a_\beta = 0. \end{cases}$$

În modul accelerația este:

$$|\bar{a}| = \sqrt{a_\tau^2 + a_n^2} = d_i \cdot \sqrt{\varepsilon^2 + \omega^4}.$$

Unghiul dintre vectorul accelerație și componenta normală este (fig. 4.6,b):

$$\operatorname{tg}(\varphi_i) = \frac{a_\tau}{a_v} = \frac{\varepsilon \cdot d_i}{\omega^2 \cdot d_i} = \frac{\varepsilon}{\omega^2}. \quad (4.47)$$

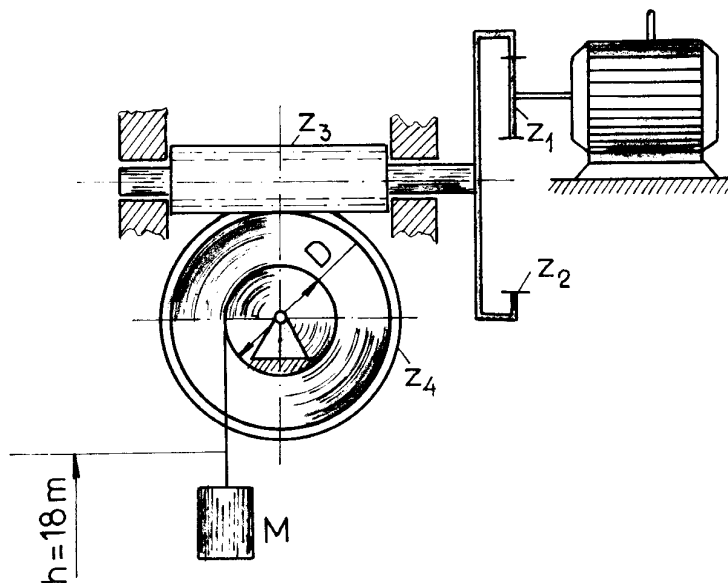
*Proprietățile distribuției de viteze și de accelerații în mișcarea de rotație cu axă fixă (fig. 4.6):*

- a) Vitezele și accelerațiile punctelor solidului rigid aparținând axei de rotație sunt nule.
- b) Vitezele și accelerațiile punctelor solidului rigid sunt conținute în plane perpendiculare pe axa de rotație ( $v_z=0$ ,  $a_z=0$ ).
- c) Toate punctele solidului rigid aparținând unei drepte ( $\Delta$ ) paralelă cu axa de rotație au aceleași viteze și aceleași accelerații.
- d) Vitezele și accelerațiile punctelor solidului rigid plasate pe o dreaptă ( $\Delta_1$ ) perpendiculară pe axa de rotație au variație liniară în raport cu poziția lor pe această dreaptă față de axa de rotație.

**Apl. 4.3.**

Se consideră trolitul din figura Apl-4.3, utilizat pentru ridicarea unei greutăți. Considerând că motorul electric are la pornire o mișcare uniform accelerată, iar la oprire o mișcare uniform încetinită, având timpii de accelerare și decelerare egali  $t_p = t_0 = 8$  s, să se determine:

- a) raportul de transmisie de la motor la tamburul trolitului;
- b) viteza unghiulară de regim a tamburului;
- c) accelerația unghiulară a tamburului la oprirea și pornirea motorului;



d) timpul necesar pentru ridicarea greutății M la înălțimea  $h = 18$  m, dacă motorul pornește din repaus și se oprește la capătul cursei h.

Se cunosc:  $z_1 = 20$ ,  $z_2 = 80$  și  $z_3 = 2$  începături;

**Fig. Apl-4.3.**

$z_4 = 30$ ;  $D = 200$  mm ; turația de regim  $n_r = 3000$  rot/min.

**R:**

a) Raportul total de transmitere este:

$$i_{\text{tot}} = i_{12} \cdot i_{23} \cdot i_{34} = \frac{z_2}{z_1} \cdot 1 \cdot \frac{z_4}{z_3} = \frac{80}{20} \cdot 1 \cdot \frac{30}{2} = 60 \quad \blacklozenge$$

b) Viteza unghiulară  $\omega_1$  este:

$$\omega_1 = \frac{\pi \cdot n_1}{30} = \frac{\pi \cdot 3000}{30} = 100 \cdot \pi \text{ [s}^{-1}\text{]} \text{ și } i_{\text{tot}} = \frac{\omega_1}{\omega_4} = 60$$

$$\Rightarrow \omega_4 = \frac{\omega_1}{60} = \frac{100 \cdot \pi}{60} = 5,23 \text{ [s}^{-1}\text{]}. \quad \blacklozenge$$

c)  $\omega_4 = \varepsilon_4 \cdot t$ , de unde:

$$\varepsilon_4 = \frac{\omega_4}{t} = \frac{5,23}{8} = 0,654 \text{ [s}^{-2}\text{]}. \quad \blacklozenge$$

d) În perioada de accelerare greutatea M va parcurge o distanță  $S_1 = \theta_1 \cdot R$ .

$$t_1 = 8 \text{ s}; \quad \theta = \frac{\varepsilon_4 \cdot t^2}{2} = \frac{0,654 \cdot 64}{2} = 20,93 \text{ [rad]}$$

$$S_1 = 20,93 \cdot 0,1 = 2,093 \text{ [m]}.$$

În perioada de încetinire până la oprire  $t_3 = 8 \text{ s}$ ,  $S_3 = \theta_3 \cdot R$ , unde:

$$\theta_3 = \omega_4 \cdot t - \frac{\varepsilon_4 \cdot t^2}{2} = \frac{\varepsilon_4 \cdot t^2}{2} \quad \Rightarrow S_3 = 2,093 \text{ [m]}$$

În perioada a doua mișcarea este uniformă  $t_2 = S_2 / v_2$ ;

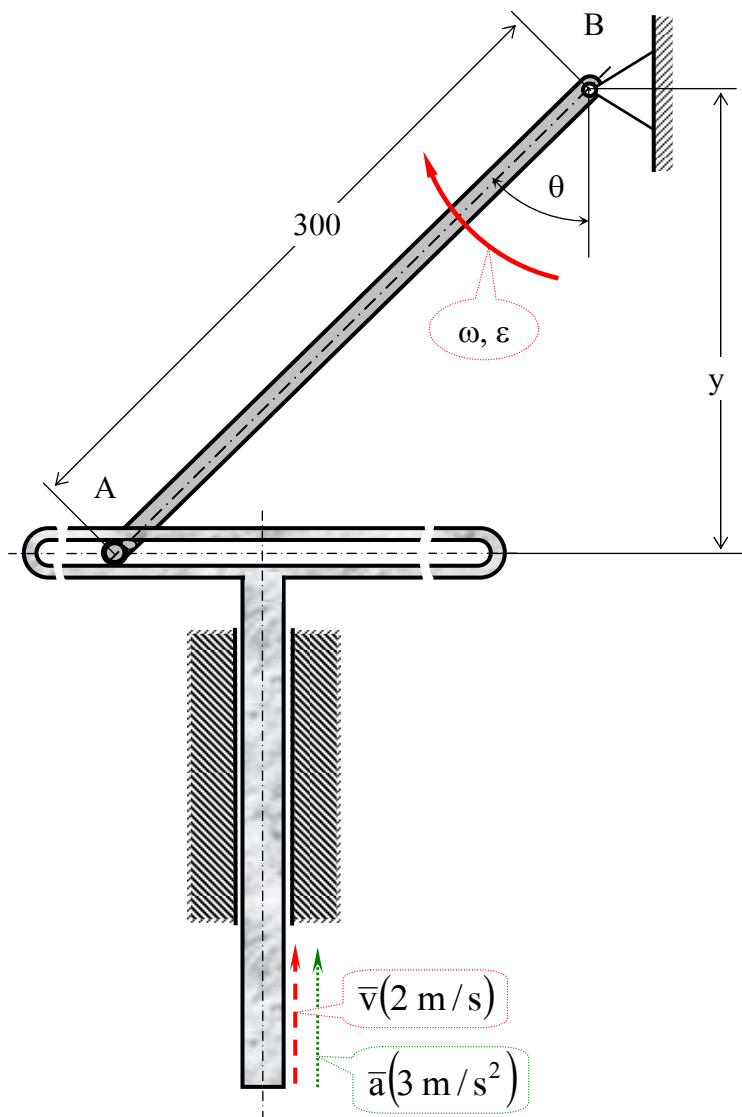
$$S_2 = h - (S_1 + S_3); \quad \Rightarrow S_2 = 18 - 4,186 = 13,814 \text{ [m]};$$

$$v_2 = \omega_4 \cdot R = 5,23 \cdot 0,1 = 0,523 \text{ [m/s]}.$$

$$\text{obținem: } t_2 = \frac{S_2}{v_2} = \frac{13,814}{0,523} = 26,413 \text{ [s]}$$

Timpul total:

$$t_{\text{tot}} = t_1 + t_2 + t_3 = 8 + 26,413 + 8 = 42,413 \text{ [s]}. \quad \blacklozenge$$



**Fig. Apl-4.4**

**Apl. 4.4.**

La momentul considerat,  $\theta = 50^\circ$  (fig. Apl-4.4), ghidajul cu canal orizontal urcă cu accelerația  $a = 3 \text{ [m/s}^2\text{]}$  și viteza  $v = 2 \text{ [m/s]}$ . Să se determine viteza și accelerația unghiulară ale tije AB, la momentul considerat în figură.

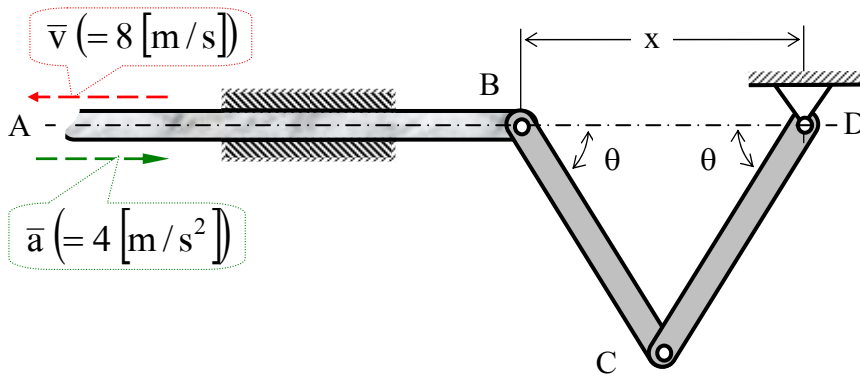
**Răspuns:**

$$\omega = 8,703 \text{ [rad/s]};$$

$$\epsilon = 50,497 \text{ [rad/s}^2\text{]}.$$

**Apl. 4.5**

La momentul indicat în figura A7-21,  $\theta = 60^\circ$  și bara AB are decelerația  $a = 4 \text{ [m/s}^2\text{]}$  și viteza  $v = 8 \text{ [m/s]}$ .



**Fig. Apl-4.5**

Lungimile barelor sunt:  
 $L_{BC} = L_{CD} = 300 \text{ [mm]}$

Să se determine viteza unghiulară și accelerația unghiulară ale barei CD la

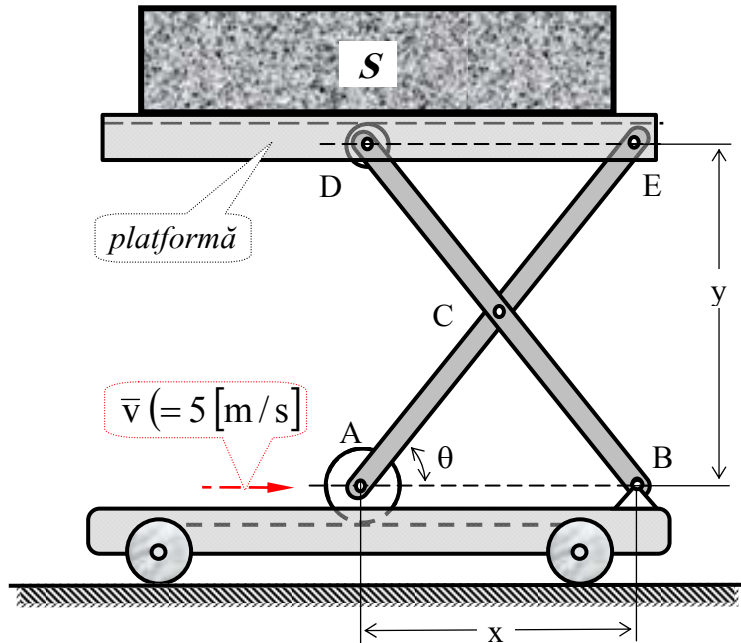
momentul considerat.

**Răspuns:**

$$\omega = -15,4 \text{ [rad/s]} \quad \varepsilon = -129,16 \text{ [rad/s}^2\text{]}.$$

**Apl. 4.6**

Blocul *S* este ridicat hidraulic astfel că rola *A* se deplasează către știftul (articulația cilin-drică) *B* (fig. Apl-4.6). Dacă *A* se apropie de *B* cu viteza  $v = 5 \text{ [m/s]}$ , să se



determine viteza de ridicare a platformei în funcție de unghiul  $\theta$ . Fiecare bară este articulată cilindric la mijloc (în *C*) cât și în capete iar lungimile lor sunt:

$$L_{BD} = L_{AE} = 1,2 \text{ [m]}.$$

**Răspuns:**

$$v_{\text{platforma}} = 5 \text{ [m/s]}$$

Fig. Apl-4.6

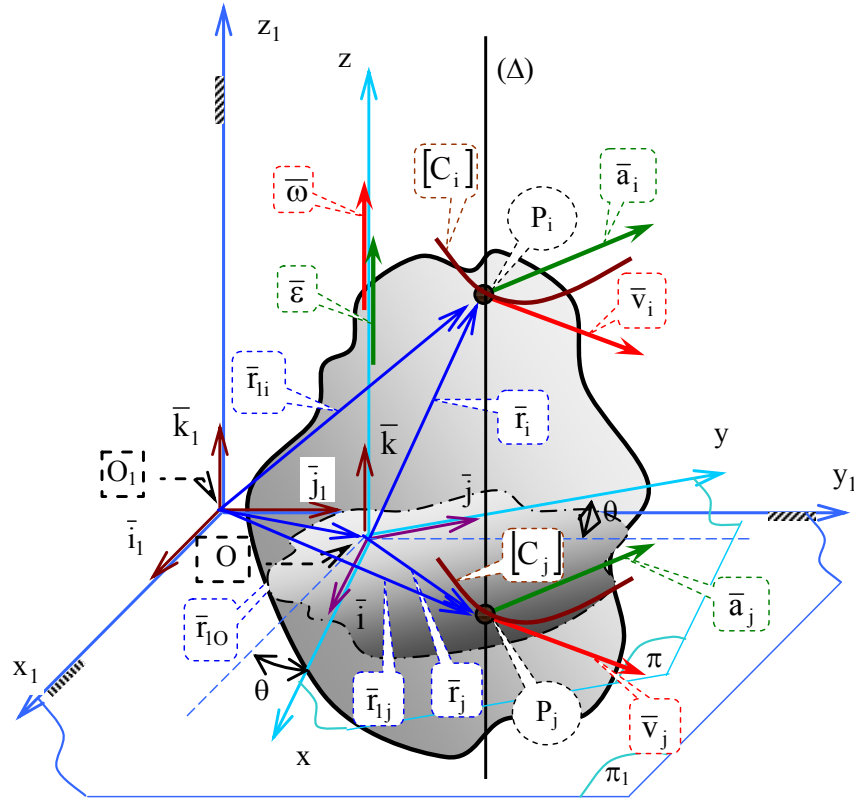
### 4.2.3. Mișcarea plan-paralelă

#### 4.2.3.1. Definiția mișcării. Poziția solidului rigid

*Definiție:* Un solid rigid execută mișcare plan-paralelă dacă un plan solidar cu acesta (planul  $\pi$ ) rămâne în tot timpul mișcării în contact (suprapus) cu un alt plan fix în spațiu (planul  $\pi_1$ ) numit planul director (fig. 4.7).

Considerăm solidul rigid din fig. 4.7 ce execută mișcare plan-paralelă. Cunoscând mișcarea acestuia în raport cu un sistem de referință fix să se determine traiectoria, viteza și accelerația unui punct  $P_i$  al solidului rigid. Alegem două sisteme de referință, unul fix  $O_1x_1y_1z_1$  și unul mobil  $Oxyz$ , astfel încât planul fix  $x_1O_1y_1$  să fie comun cu planul director  $\pi_1$ , iar planul mobil

$xOy$  să fie comun cu planul  $\pi$  solidar cu rigidul, ceea ce înseamnă ca în tot timpul mișcării aceste plane vor fi suprapuse continuu.



**Fig. 4.7.**

Cu o astfel de alegere, în tot timpul mișcării, originea  $O$  a sistemului mobil rămâne în planul director  $x_1O_1y_1$  iar axa  $Oz$  rămâne perpendiculară pe planul director, adică această axă are direcție fixă.

Deci mișcarea solidului rigid și a sistemului mobil este cunoscută dacă se cunoaște funcția de timp  $\bar{r}_{10} = \bar{r}_{10}(t)$  - vectorul de poziție a originii sistemului mobil în raport cu cel fix și unghiul de rotație  $\theta = \theta(t)$  dintre axa  $Ox$  și  $O_1x_1$  (egal cu cel dintre  $Oy$  și  $O_1y_1$ ). Mișcarea originii sistemului de referință mobil făcându-se în planul director, rezultă că poziția sa este determinată la orice moment numai de doi parametri scalari ( $x_{10}(t)$  și  $y_{10}(t)$ ) și împreună cu unghiul de rotație ( $\theta = \theta(t)$ ) determină în totalitate poziția, adică solidul rigid în mișcarea plan-paralelă are trei grade de libertate.

Acești trei parametri scalari de poziție sunt puși în evidență prin relațiile:

$$\bar{r}_{10} = \bar{r}_{10}(t) = x_{10}(t) \cdot \bar{i} + y_{10}(t) \cdot \bar{j} + 0 \cdot \bar{k} \quad (4.48)$$

$$\begin{cases} \bar{i} = \bar{i}(t) = \cos \theta \cdot \bar{i}_1 + \sin \theta \cdot \bar{j}_1 \\ \bar{j} = \bar{j}(t) = -\sin \theta \cdot \bar{i}_1 + \cos \theta \cdot \bar{j}_1 \\ \bar{k} = \bar{k}_1 = \text{const.} \end{cases} \quad (4.49)$$

### 4.2.3.2. Traectoria punctului $P_i$

Alegerea punctului  $P_i$ , ce aparține rigidului, exclude apartenența sa la planul director, fapt care permite scrierea relației:

$$\bar{r}_{li} = \bar{r}_{lO} + \bar{r}_i, \quad (4.50)$$

$$\bar{r}_{li} = x_{li} \cdot \bar{i}_l + y_{li} \cdot \bar{j}_l + z_{li} \cdot \bar{k}_l,$$

unde  $\bar{r}_{lO} = x_{lO} \cdot \bar{i}_l + y_{lO} \cdot \bar{j}_l, \quad (4.51)$

$$\bar{r}_i = x_i \cdot \bar{i} + y_i \cdot \bar{j} + z_i \cdot \bar{k}.$$

Proiectăm relația (4.50), utilizând și relațiile (4.51), pe axele sistemului de referință fix și obținem:

$$\begin{cases} x_{li} = x_{lO} + x_i \cdot \cos \theta - y_i \cdot \sin \theta \\ y_{li} = y_{lO} + x_i \cdot \sin \theta + y_i \cdot \cos \theta \\ z_{li} = z_i = \text{const.} \end{cases} \quad (4.52)$$

Relațiile (4.52) reprezintă ecuațiile parametrice ale traiectoriei punctului  $P_i$ . Aceste relații indică faptul că traiectoriile sunt situate în plane paralele cu planul director ( $z_{li} = z_i = \text{const.}$ ) și că punctele aparținând dreptelor perpendiculare pe planul director ( $\Delta \perp \pi_l$ ) au traiectorii identice.

### 4.2.3.3. Distribuția de viteze și accelerații

Vectorii viteză unghiulară  $\bar{\omega}$  și accelerație unghiulară  $\bar{\varepsilon}$  au aceleași expresii ca și în cazul mișcării de rotație cu axă fixă, adică:

$$\bar{\omega} = \omega \cdot \bar{k} = \dot{\theta} \cdot \bar{k} \quad \text{și} \quad \bar{\varepsilon} = \varepsilon \cdot \bar{k} = \ddot{\theta} \cdot \bar{k} \quad (4.53)$$

deoarece din relațiile (4.8) de la capitolul 4.1, particularizând ( $\dot{\bar{k}} = 0$ ) avem:

$$\begin{cases} \dot{\bar{i}} \cdot \bar{j} = \omega_z = \omega = \dot{\theta} \\ \dot{\bar{j}} \cdot \bar{k} = -\dot{\bar{j}} \cdot \dot{\bar{k}} = 0 \\ \dot{\bar{k}} \cdot \bar{i} = 0 \end{cases}$$

Derivăm în raport cu timpul relația (4.50):

$$\frac{d}{dt} [\bar{r}_{li} = \bar{r}_{lO} + \bar{r}_i] \Rightarrow \dot{\bar{r}}_{li} = \dot{\bar{r}}_{lO} + \dot{\bar{r}}_i$$

unde

$$\dot{\bar{r}}_{li} = \bar{v}_i \text{ - este viteza punctului } P_i;$$

$$\dot{\bar{r}}_{lO} = \bar{v}_O \text{ - este viteza originii sistemului de referință mobil } O;$$



$$\dot{\vec{r}}_i = \frac{\partial \vec{r}_i}{\partial t} + \vec{\omega} \times \vec{r}_i \text{ - este derivata vectorului de poziție } \vec{r}_i \text{ al punctului}$$

$P_i$ , vector dat prin proiecții în sistem de referință mobil, care sunt constante, fapt pentru care, derivatele acestora în raport cu timpul sunt nule, ceea ce face ca  $\dot{\vec{r}}_i = \vec{\omega} \times \vec{r}_i$ .

Rezultă astfel relația distribuției de viteze în mișcarea plan-paralelă:

$$\vec{v}_i = \vec{v}_O + \vec{\omega} \times \vec{r}_i. \tag{4.54}$$

Exprimăm vectorii din componența relației (4.54), în funcție de proiecțiile lor pe axele sistemului de referință mobil și apoi proiectăm relația pe axele acestui sistem de referință, astfel:

$$\begin{aligned} \vec{v}_i &= v_{ix} \cdot \vec{i} + v_{iy} \cdot \vec{j} + v_{iz} \cdot \vec{k}, \\ \vec{v}_O &= v_{Ox} \cdot \vec{i} + v_{Oy} \cdot \vec{j}, \\ \vec{\omega} \times \vec{r}_i &= \omega \cdot \vec{k} \times (x_i \cdot \vec{i} + y_i \cdot \vec{j} + z_i \cdot \vec{k}) = -\omega \cdot y_i \cdot \vec{i} + \omega \cdot x_i \cdot \vec{j} \\ \Rightarrow \begin{cases} v_{ix} = v_{Ox} - y_i \cdot \omega \\ v_{iy} = v_{Oy} + x_i \cdot \omega \\ v_{iz} = 0 \end{cases} & \tag{4.55} \end{aligned}$$

Relațiile (4.55) arată că toate punctele care aparțin unei drepte ( $\Delta$ ), perpendiculară pe planul director, au aceeași viteză ( $v_{iz} = 0$ ).

În general, în mișcarea plan paralelă există puncte de viteză nulă, care aparțin unei drepte perpendiculară pe planul director, de ecuație rezultată din relația (4.55) prin anularea proiecțiilor vectorului viteză  $v_{ix}$  și  $v_{iy}$ , adică:

$$\begin{cases} 0 = v_{Ox} - y_i \cdot \omega \\ 0 = v_{Oy} + x_i \cdot \omega \end{cases} \tag{4.56}$$

Dreapta rezultată din intersecția planelor (4.56), înțeapă planul director într-un punct notat  $I$ , numit CIR (centrul instantaneu de rotație), ale cărui coordonate se obțin din (4.56) introducând notațiile  $\xi$  și  $\eta$ :

$$\begin{cases} \xi = -\frac{v_{Oy}}{\omega} \\ \eta = \frac{v_{Ox}}{\omega} \end{cases} \tag{4.57}$$

Aceste relații sunt *ecuațiile rostogolitoarei (centroidei mobile)* care este locul geometric al CIR-ului înregistrat în planul  $xOy$  al sistemului de referință

mobil. Locul geometric al CIR-ului în planul  $x_1O_1y_1$  al sistemului de referință fix este numit *bază (centroidă fixă)*.

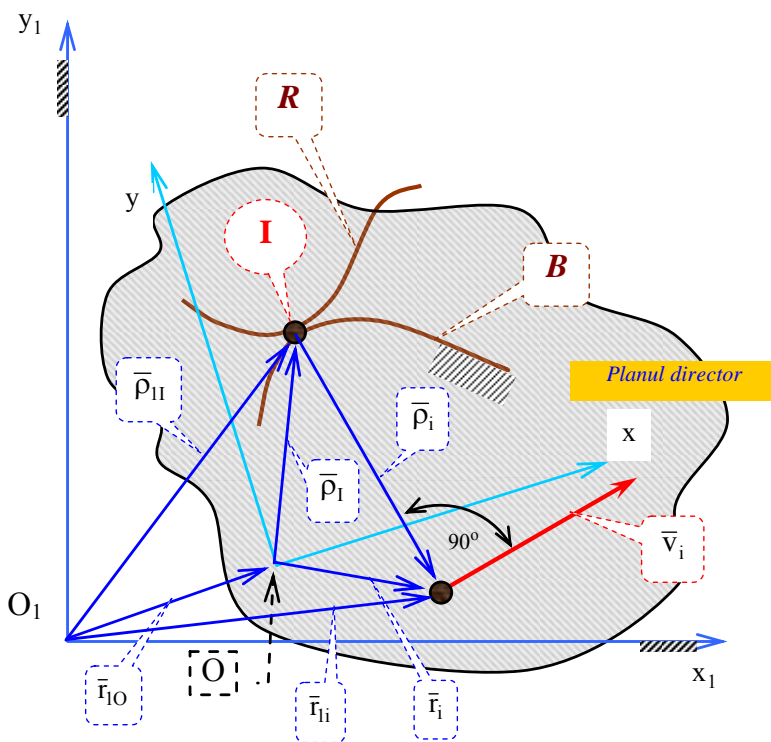
Distribuția de viteze în mișcarea plan paralelă dată de relația (4.54) poate fi identificată cu distribuția de viteze din mișcarea de rotație cu axă fixă, ca și când planul solidar cu rigidul s-ar roti în jurul CIR-ului cu viteza unghiulară  $\omega$  în raport cu planul director.

Pentru demonstrație, notăm cu  $\bar{\rho}_I$  vectorul de poziție al CIR-ului I față de O și scriem relația distribuției de viteze (4.54) pentru punctele I și  $P_i$  ale rigidului, conținute în planul director (fig. 4.8):

$$\bar{v}_I = \bar{v}_O + \bar{\omega} \times \bar{\rho}_I, \quad \bar{v}_i = \bar{v}_O + \bar{\omega} \times \bar{r}_i,$$

apoi facem diferența acestor relații și obținem

$$\bar{v}_i - \bar{v}_I = \bar{\omega} \times (\bar{r}_i - \bar{\rho}_I) \tag{4.58}$$



**Fig. 4.8.**

Avem în vedere că  $\bar{v}_I = 0$  și facem notația  $\bar{r}_i - \bar{\rho}_I = \bar{\rho}_i$  care reprezintă vectorul de poziție al punctului  $P_i$  față de centrul instantaneu I.

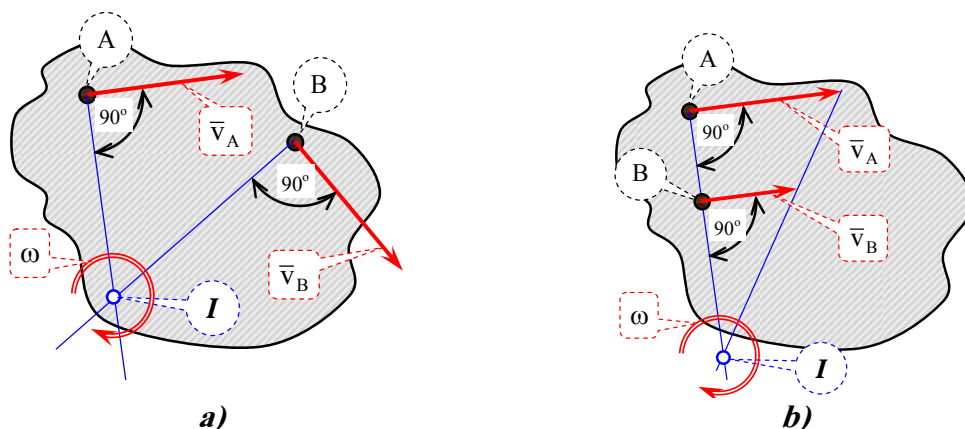
Introducând acestea în (4.58), obținem:

$$\bar{v}_i = \bar{\omega} \times \bar{\rho}_i \tag{4.59}$$

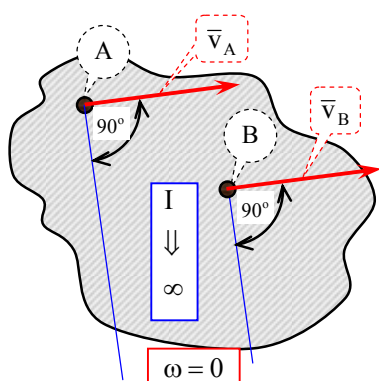
Relația (4.59) arată că vitezele sunt distribuite în jurul lui I ca și cum solidul ar executa rotație în jurul acestui punct, fapt ce permite determinarea poziției centrului instantaneu de rotație prin

construcție grafică.

Deoarece  $\bar{v}_i = \bar{\omega} \times \bar{\rho}_i$ , rezultă că  $\bar{v}_i$  este ortogonal cu  $\bar{\rho}_i$ . Așa că dacă se cunosc traiectoriile a două puncte A și B și pozițiile lor la un moment oarecare t, se determină CIR-ul la intersecția normalelor principale, deci perpendiculare pe vitezele celor două puncte (fig. 4.9,a).



**Fig. 4.9.**



**Fig. 4.9, c)**

În cazul în care normalele coincid (fig. 4.9,b), este necesar să se cunoască și mărimile vitezelor, pentru a putea determina poziția CIR-ului.

Dacă normalele sunt paralele (fig. 4.9,c), centrul instantaneu de rotație este aruncat la infinit, viteza unghiulară este nulă, vitezele tuturor punctelor rigidului sunt egale între ele iar despre rigid spunem că, pentru acel moment, distribuția de viteze este identică cu una de mișcare de translație.

**Aplicație: centroidele**

Să se determine ecuațiile bazei și rostogolitoarei pentru mecanismul din figura 4.10 constituit din tija AB, de lungime  $l$ , articulată cu cele două capete la două culise A și B care se mișcă în lungul a două tije fixe, verticală respectiv orizontală.

*Centroida fixă (baza).* Ecuația acestui loc geometric se stabilește după ce în prealabil stabilim ecuațiile parametrice:

$$\begin{cases} \xi_1 = l \cdot \cos \varphi, \\ \eta_1 = l \cdot \sin \varphi. \end{cases} \quad (4.60)$$

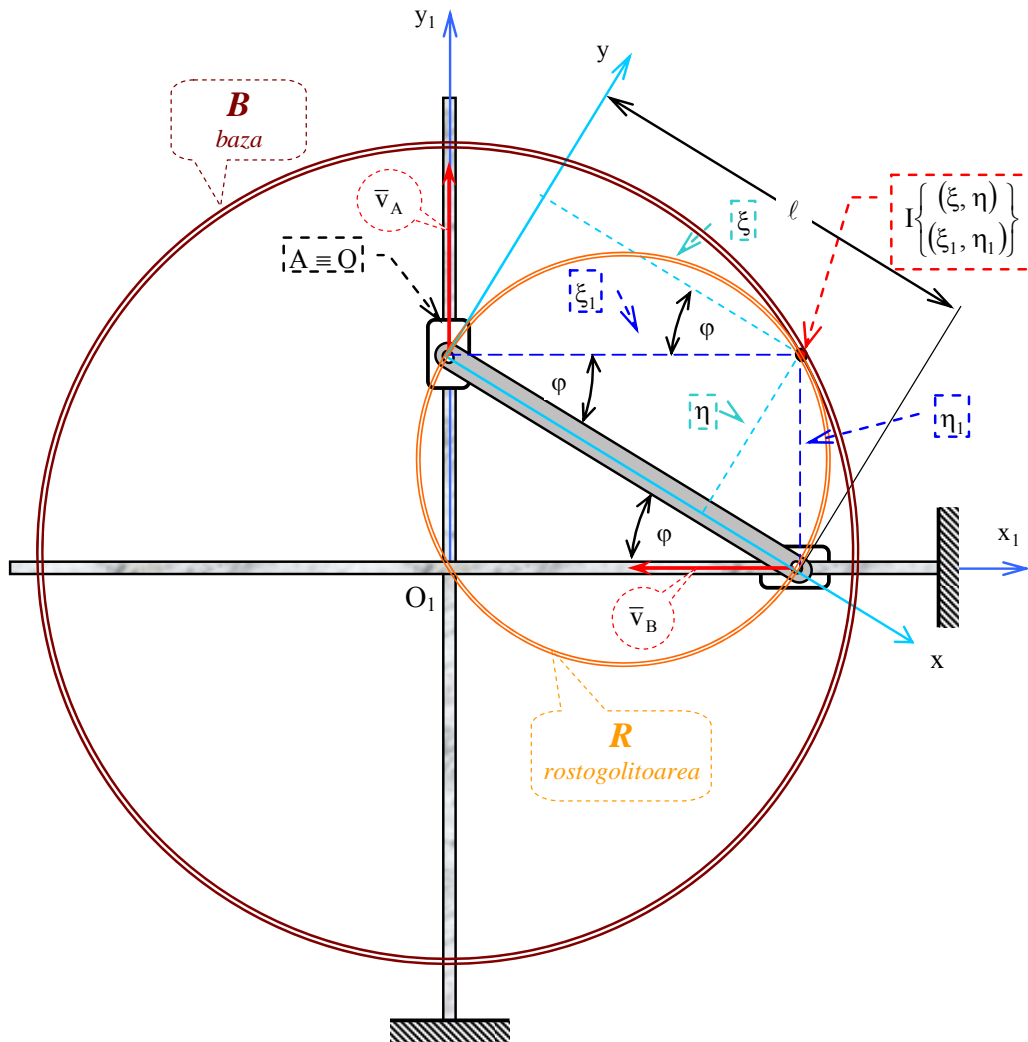
Se elimină parametrul  $\varphi$  prin ridicarea la pătrat și adunarea relațiilor (4.60), adică:

$$\xi_1^2 + \eta_1^2 = l^2, \quad (4.61)$$

astfel că s-a obținut ecuația bazei, care este ecuația unui cerc de rază  $l$  cu centrul în  $O_1$  (originea sistemului de referință fix).

*Centroida mobilă (rostogolitoarea).* Și ecuația acestui loc geometric se stabilește, după ce în prealabil stabilim ecuațiile parametrice:

$$\begin{cases} \xi = \xi_1 \cdot \cos \varphi = l \cdot \cos^2 \varphi, \\ \eta = \xi_1 \cdot \sin \varphi = l \cdot \cos \varphi \cdot \sin \varphi. \end{cases} \quad (4.62)$$



**Fig. 4.10**

Se elimină parametrul  $\varphi$  prin ridicarea la pătrat a relației (4.62<sub>2</sub>) și înlocuirea, din relația (4.62<sub>1</sub>), a funcției  $\cos^2 \varphi$ , adică:

$$\eta^2 = l^2 \cdot \frac{\xi}{l} \cdot \left(1 - \frac{\xi}{l}\right),$$

care prin ordonare și aplicare unui artificiu simplu, se transformă în:

$$\left(\xi - \frac{l}{2}\right)^2 + \eta^2 = \left(\frac{l}{2}\right)^2, \quad (4.63)$$

astfel că s-a obținut ecuația rostogolitoarei, care este un cerc de rază  $l/2$  cu centrul plasat în mijlocul tije AB.

Pentru obținerea distribuției de accelerații se procedează la derivarea în raport cu timpul a relației (4.54) și obținem:

$$\dot{\vec{v}}_i = \dot{\vec{v}}_O + \dot{\vec{\omega}} \times \vec{r}_i + \vec{\omega} \cdot \dot{\vec{r}}_i,$$

unde:  $\dot{\vec{v}}_i = \vec{a}_i$  - este accelerația punctului  $P_i$ ;

$$\dot{\vec{v}}_O = \vec{a}_O - \text{este accelerația originii sistemului de referință mobil O};$$

$\dot{\vec{\omega}} = \vec{\varepsilon}$  - este accelerația unghiulară a sistemului de referință mobil, deci și a solidului rigid;

$$\dot{\vec{r}}_i = \frac{\partial \vec{r}_i}{\partial t} + \vec{\omega} \times \vec{r}_i - \text{este derivata vectorului de poziție } \vec{r}_i \text{ al punctului } P_i,$$

vector dat prin proiecții în sistem de referință mobil;

Deci, distribuția de accelerații în mișcarea plan-paralelă este dată de relația:

$$\Rightarrow \vec{a}_i = \vec{a}_O + \vec{\varepsilon} \times \vec{r}_i + \vec{\omega} \times (\vec{\omega} \times \vec{r}_i). \quad (4.64)$$

Exprimăm vectorii din componența relației (4.64), în funcție de proiecțiile lor pe axele sistemului de referință mobil și apoi proiectăm relația pe axele acestui sistem de referință, astfel:

$$\vec{a}_i = a_{ix} \cdot \vec{i} + a_{iy} \cdot \vec{j} + a_{iz} \cdot \vec{k},$$

$$\vec{a}_O = a_{Ox} \cdot \vec{i} + a_{Oy} \cdot \vec{j},$$

$$\vec{\varepsilon} \times \vec{r}_i = \varepsilon \cdot \vec{k} \times (x_i \cdot \vec{i} + y_i \cdot \vec{j} + z_i \cdot \vec{k}) = -\varepsilon \cdot y_i \cdot \vec{i} + \varepsilon \cdot x_i \cdot \vec{j},$$

$$\vec{\omega} \times (\vec{\omega} \times \vec{r}_i) = \omega \cdot \vec{k} \times (-\omega \cdot y_i \cdot \vec{i} + \omega \cdot x_i \cdot \vec{j}) = -\omega^2 \cdot x_i \cdot \vec{i} - \omega^2 \cdot y_i \cdot \vec{j}.$$

Proiecțiile pe axele sistemului de referință mobil sunt:

$$\begin{cases} a_{ix} = a_{Ox} - y_i \cdot \varepsilon - x_i \cdot \omega^2 \\ a_{iy} = a_{Oy} + x_i \cdot \varepsilon - y_i \cdot \omega^2 \\ a_{iz} = 0 \end{cases} \quad (4.65)$$

Observăm că și vectorul accelerație  $\vec{a}$ , aparține unui plan paralel cu planul director (proiecția pe axa Oz este nulă).

Deci este suficient să determinăm mărimile cinematice pentru punctele plasate în planul director, și apoi să le atribuim și punctelor situate pe dreapta perpendiculară pe planul director în punctele respective.

***Apl. 4.7.***

Barele  $B_1$  și  $B_2$  din figura Apl-4.7 sunt articulate cilindric în punctele O respectiv O' la pardoseală (sistemul fix). Bara  $B_2$  este deasemeni articulată cilindric la ghidajul  $G$ , în punctul A. Capătul superior al barei  $B_1$  este articulată cilindric la o rolă care se mișcă liber în ghidajul  $G$ . Vitezele unghiulare ale barelor  $B_1$  și  $B_2$  sunt constante și au mărimile și sensurile indicate în figură. Să se determine viteza știftului S în ghidajul  $G$  și viteza unghiulară a ghidajului  $G$  la momentul considerat în figură.

**Rezolvare:**

Determinarea vitezelor

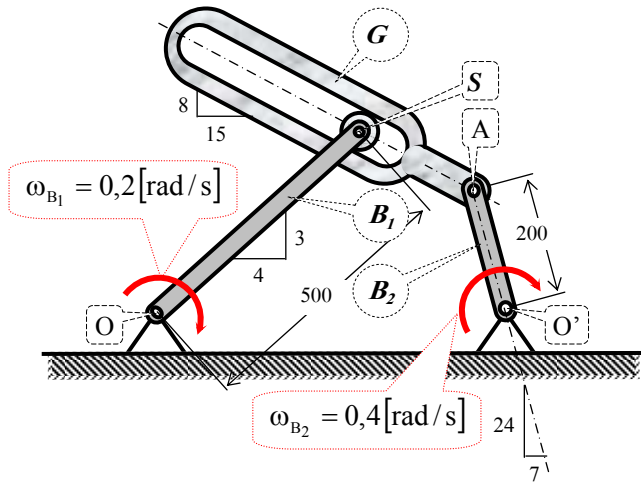


Fig. Apl-4.7

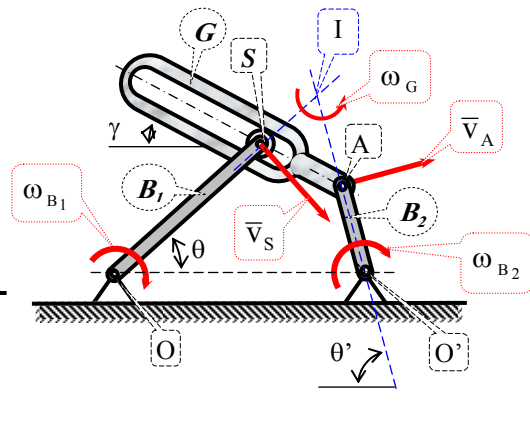


Fig. Apl-4.7.a

Din mișcările de rotație ale barelor  $B_1$  și  $B_2$  se determină vitezele punctelor S (viteza absolută) și A astfel:

$$v_S = \omega_{B_1} \cdot OS = 0,2 \cdot 0,5 = 0,1 \text{ [m/s]},$$

$$v_A = \omega_{B_2} \cdot O'A = 0,4 \cdot 0,2 = 0,08 \text{ [m/s]}$$

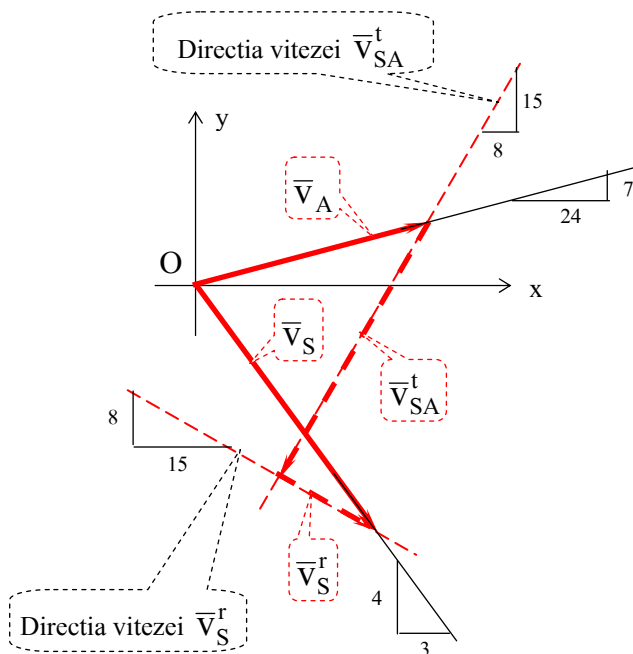


Fig. Apl-4.7.b

Viteza absolută ( $\bar{v}_S = \bar{v}_S^a$ ) a punctului S ce execută mișcare relativă ( $\bar{v}_S^r$ ) în canalul ghidajului  $G$  și mișcare de transport ( $\bar{v}_S^t$ ) împreună cu ghidajul se poate exprima astfel:

$$\bar{v}_S = \bar{v}_S^a = \bar{v}_S^t + \bar{v}_S^r \quad (1)$$

Viteza de transport ( $\bar{v}_S^t$ ) a punctului S, solidar cu ghidajului  $G$  care face mișcare plan paralelă, poate fi exprimată astfel:

$$\bar{v}_S^t = \bar{v}_A + \bar{v}_{SA}^t \quad (2)$$

Introducând (2) în (1) obținem:

$$\frac{\bar{v}_S}{\perp OS} = \frac{\bar{v}_A}{\perp O'A} + \frac{\bar{v}_{SA}^t}{\perp AS} + \frac{\bar{v}_S^r}{\parallel AS} \quad (3)$$

Reprezentăm grafic ecuația vectorială (3), fig. Apl-4.7.b, apoi o proiectăm pe axele sistemului de referință xOy și obținem:

$$\begin{cases} v_S \cdot \frac{3}{5} = v_A \cdot \frac{24}{25} - v_{SA}^t \cdot \frac{8}{17} + v_S^r \cdot \frac{15}{17} \\ -v_S \cdot \frac{4}{5} = v_A \cdot \frac{7}{25} - v_{SA}^t \cdot \frac{15}{17} - v_S^r \cdot \frac{8}{17} \end{cases}$$

Înlocuim mărimile vitezelor punctelor S și A cu valorile calculate mai sus ( $v_S = 0,1$  [m/s],  $v_A = 0,08$  [m/s]) și apoi determinăm mărimile necunoscute ale vitezelor ( $v_S^r$ ) și ( $v_{SA}^t$ ), astfel:

$$\begin{cases} 0,1 \cdot \frac{3}{5} = 0,08 \cdot \frac{24}{25} - v_{SA}^t \cdot \frac{8}{17} + v_S^r \cdot \frac{15}{17} \\ -0,1 \cdot \frac{4}{5} = 0,08 \cdot \frac{7}{25} - v_{SA}^t \cdot \frac{15}{17} - v_S^r \cdot \frac{8}{17} \end{cases}$$

$$\Rightarrow v_S^r = 0,0333647 \text{ [m/s]}$$

$$\Rightarrow v_{SA}^t = 0,0982588 \text{ [m/s]}.$$

Viteza unghiulară a ghidajului **G** este:

$$\omega_a = \frac{v_{SA}^t}{AS} = \frac{0,0982588}{0,2295} = 0,428 \text{ [rad/s]},$$

în care AS s-a determinat astfel (fig. Apl-4.7.a):

$$OS \cdot \sin \theta = O'A \cdot \sin \theta' + AS \cdot \sin \gamma \text{ și}$$

$$AS = \frac{1}{\sin \gamma} \cdot (OS \cdot \sin \theta - O'A \cdot \sin \theta') = \frac{1}{8/17} \cdot \left( 0,5 \cdot \frac{3}{5} - 0,2 \cdot \frac{24}{25} \right)$$

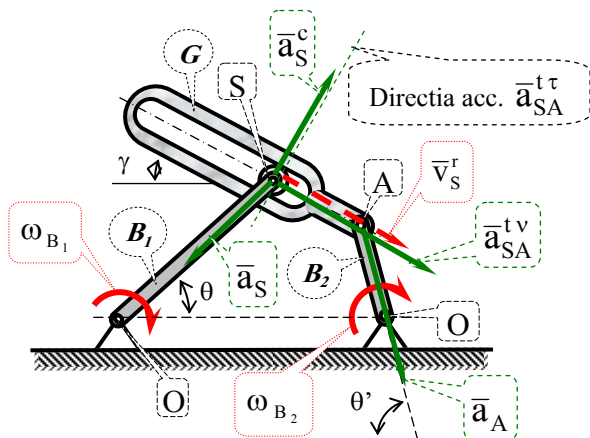


Fig. Apl-4.7.c

$$\Rightarrow AS = 0,2295[m].$$

Determinarea accelerațiilor

Din mișcările de rotație ale barelor  $B_1$  și  $B_2$  se determină accelerațiile punctelor S (accelerația absolută) și A, astfel (fig. Apl-4.7.c):

$$\begin{aligned} a_S &= \omega_{B1}^2 \cdot OS = \\ &= 0,2^2 \cdot 0,5 = 0,02m/s^2 \end{aligned}$$

$$\begin{aligned} a_A &= \omega_{B2}^2 \cdot O'A = \\ &= 0,4^2 \cdot 0,2 = 0,032m/s^2 \end{aligned}$$

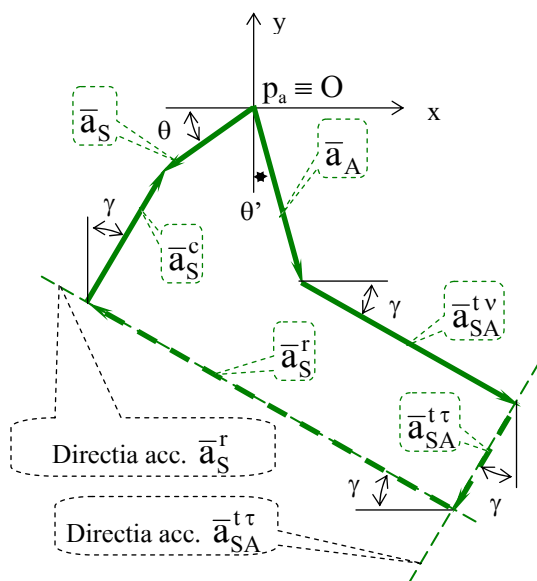


Fig. Apl-4.7.d

Pentru punctul (știftul) S, în mișcare relativă în canalul practicat în ghidajul G, relația vectorială între accelerațiile: absolută, relativă, de transport și Coriolis, este:

$$\underline{\underline{\bar{a}_S}} = \underline{\underline{\bar{a}_S^a}} = \underline{\underline{\bar{a}_S^t}} + \underline{\underline{\bar{a}_S^r}} + \underline{\underline{\bar{a}_S^c}} \quad (1')$$

Exprimăm accelerația de transport( $\bar{a}_S^t$ ) a punctului S solidar cu ghidajul G care face mișcare plan paralelă, în funcție de accelerația punctului A(fig. Apl-4.7.c):

$$\underline{\underline{\bar{a}_S^t}} = \underline{\underline{\bar{a}_A}} + \underline{\underline{\bar{a}_{SA}^{tv}}} + \underline{\underline{\bar{a}_{SA}^{tr}}} \quad (2')$$

Înlocuim (2') în (1') și obținem:

$$\underline{\underline{\bar{a}_S}} = \underline{\underline{\bar{a}_A}} + \underline{\underline{\bar{a}_{SA}^{tv}}} + \underline{\underline{\bar{a}_{SA}^{tr}}} + \underline{\underline{\bar{a}_S^r}} + \underline{\underline{\bar{a}_S^c}} \quad (3')$$

în care  $a_A = 0,032 [m/s^2]$



$$a_{SA}^{tv} = \omega_G^2 \cdot AS = 0,428^2 \cdot 0,2295 = 0,0420407 \text{ [m/s}^2\text{]}$$

$$\bar{a}_S^c = 2 \cdot \bar{\omega}_G \times \bar{v}_S^r$$

$$a_S^c = 2 \cdot \omega_G \cdot v_S^r = 2 \cdot 0,428 \cdot 0,0333647 = 0,02856 \text{ [m/s}^2\text{]}$$

$$a_S = 0,02 \text{ [m/s}^2\text{]}$$

Reprezentăm grafic ecuația vectorială (3'), fig. Apl-4.7.d, apoi o proiectăm pe axele sistemului de referință xOy și obținem:

$$\begin{cases} -a_s \cdot \cos \theta = a_A \cdot \cos \theta' + a_{SA}^{tv} \cdot \cos \gamma - a_{SA}^{tr} \sin \gamma - a_s^r \cdot \cos \gamma + a_s^c \cdot \sin \gamma \\ -a_s \cdot \sin \theta = -a_A \cdot \sin \theta' - a_{SA}^{tv} \cdot \sin \gamma - a_{SA}^{tr} \cdot \cos \gamma + a_s^r \cdot \sin \gamma + a_s^c \cdot \cos \gamma \end{cases}$$

$$\begin{cases} -0,02 \cdot \frac{4}{5} = 0,032 \cdot \frac{7}{25} + 0,042 \cdot \frac{15}{17} - a_{SA}^{tr} \cdot \frac{8}{17} - a_s^r \cdot \frac{15}{17} + 0,02856 \cdot \frac{8}{17} \\ -0,02 \cdot \frac{3}{5} = -0,032 \cdot \frac{24}{25} - 0,042 \cdot \frac{8}{17} - a_{SA}^{tr} \cdot \frac{15}{17} + a_s^r \cdot \frac{8}{17} + 0,02856 \cdot \frac{15}{17} \end{cases}$$

$$\Rightarrow a_s^r = \frac{1}{17} \cdot 1,23816 = 0,0728 \text{ [m/s}^2\text{]} \quad \blacklozenge$$

$$\Rightarrow a_{SA}^{tr} = 0,02385 \text{ [m/s}^2\text{]} \quad \blacklozenge$$

Accelerația unghiulară a ghidajului  $G$ :

$$\varepsilon_G = \frac{a_{SA}^{tr}}{SA} = \frac{0,02385}{0,2295} = 1,0392157 \text{ [rad/s}^2\text{]} \quad \blacklozenge$$

***Apl. 4.8.***

Cilindrul  $C$  din figura Apl-4.8 se rostogolește pe o suprafață circulară de rază  $R=0,6$  m. Când cilindrul se afla în cel mai de jos punct al suprafeței cilindrice (circulară în secțiune), viteza și accelerația unghiulare sunt  $\omega_C = 0,2$  [rad/s] respectiv  $\varepsilon_C = 0,02$  [rad/s<sup>2</sup>]. Bara  $AS$  este atașată de cilindrul  $C$  în  $A$ , printr-o articulație cilindrică și de culisa care alunecă în canalul din manivela  $M$ , prin știftul  $S$ . Viteza unghiulară, constantă, a manivelei  $M$  este  $\omega_M = 0,3$  [rad/s]. Să se determine viteza știftului  $S$  și viteza unghiulară a barei  $AS$ , pentru poziția mecanismului reprezentată în figură.

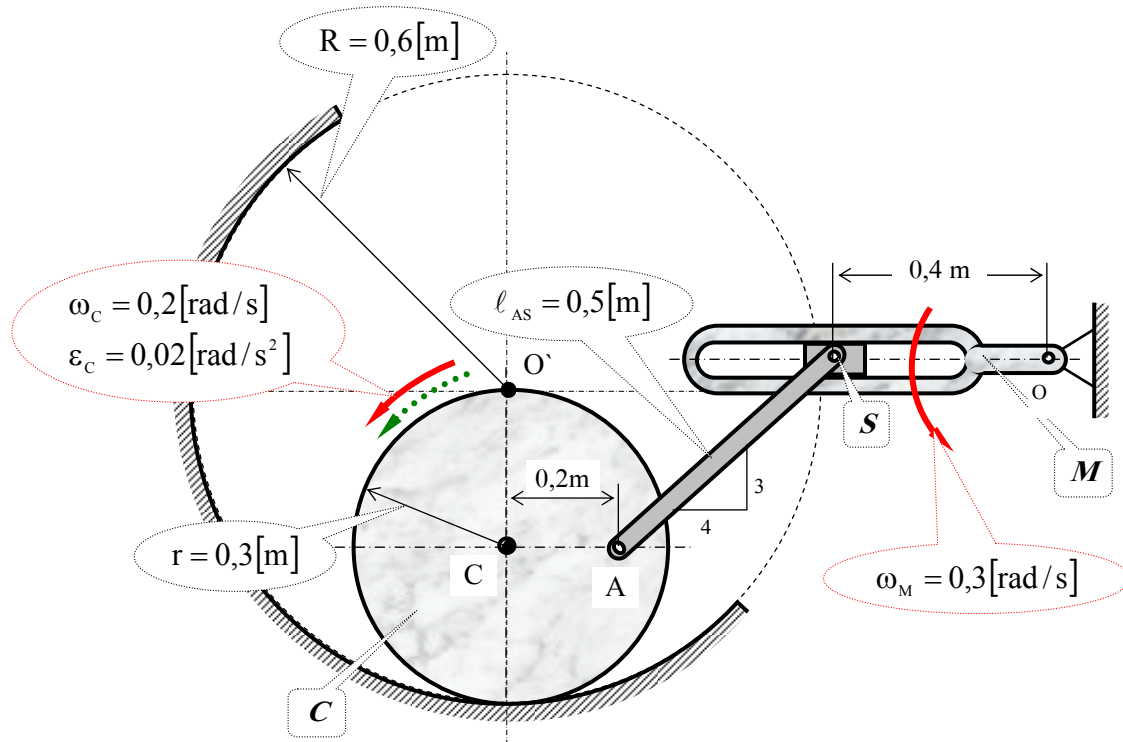


Fig. Apl-4.8

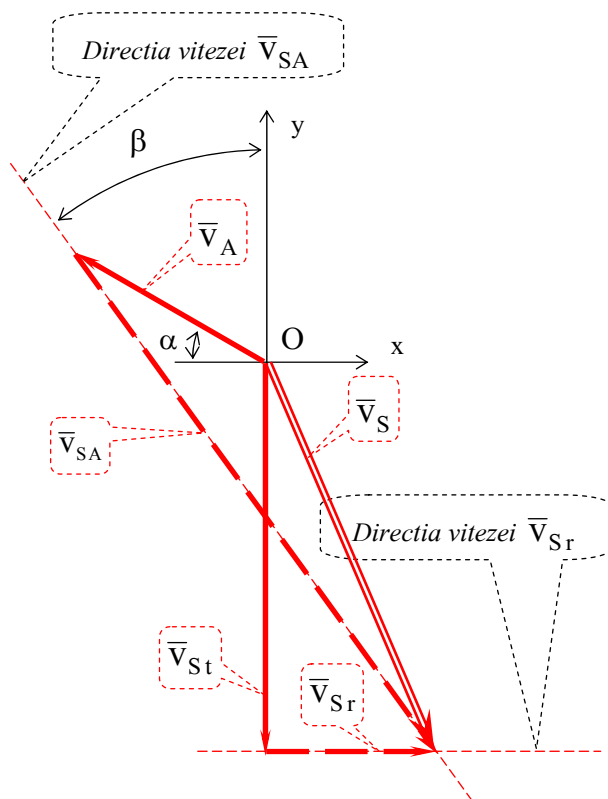


Fig. Apl-4.8.a

**Rezolvare:**

*Determinarea vitezelor*

Mișcările elementelor din componența mecanismului: cilindrul  $C$  - mișcare plan paralelă cu C.I.R.-ul în I (punctul de contact cu suprafața cilindrică (circulară în secțiune) fixă); bara  $AS$  - mișcare plan paralelă și manivela  $M$  - rotație cu axă fixă în jurul articulației cilindrice fixe  $O$ .

Viteza punctului  $A$  ce aparține cilindrului  $C$  este:

$$v_A = \omega \cdot IA = 0,2 \cdot \sqrt{0,2^2 + 0,3^2} = 0,072111 \text{ [m/s]}$$

Viteza punctului  $S$  în funcție de viteza lui  $A$ , ce aparțin barei  $AS$ , este:

$$\bar{v}_S = \bar{v}_A + \bar{v}_{SA} \quad (1)$$

$\perp AI$        $\perp AS$

Viteza absolută a punctului S, ce aparține manivelei **M**, este:

$$\bar{v}_S = \bar{v}_{St} + \bar{v}_{Sr} \quad (2)$$

(abs)       $\perp OS$        $\perp OS$

în care:

$$v_{St} = \omega_M \cdot OS = 0,3 \cdot 0,4 = 0,12 \text{ [m/s]},$$

deoarece traiectoria de transport este cerc cu centrul în O și rază OS (traiectoria relativă este rectilinie în lungul canalului practicat în manivelă).

Din (1) și (2), obținem:

$$\bar{v}_A + \bar{v}_{SA} = \bar{v}_{St} + \bar{v}_{Sr},$$

$\perp AI$        $\perp AS$        $\perp OS$        $\perp OS$

care proiectată pe axele sistemului din figura Apl-4.8.a, conduce la sistemul de mai jos:

$$\begin{cases} -v_A \cdot \cos \alpha + v_{SA} \cdot \sin \beta = v_{Sr} \\ v_A \cdot \sin \alpha - v_{SA} \cdot \cos \beta = -v_{St} \end{cases},$$

$$\Rightarrow v_{SA} = \frac{1}{\cos \beta} \cdot (v_A \cdot \sin \alpha + v_{St}) =$$

$$= \frac{5}{4} \cdot (0,072 \cdot 0,555 + 0,12) = 0,2 \text{ [m/s]}$$

$$\Rightarrow v_{Sr} = v_{SA} \cdot \sin \beta - v_A \cdot \cos \alpha = 0,2 \cdot \frac{3}{5} - 0,072 \cdot 0,832 = 0,06 \text{ [m/s]}.$$

Deci, viteza absolută a știftului S ( $v_S$ ) rezultă din compunerea vitezelor de transport ( $v_{St}$ ) și relativă ( $v_{Sr}$ ), care sunt perpendiculare între ele, astfel că:

$$v_S = \sqrt{(v_{St})^2 + (v_{Sr})^2} = \sqrt{(0,12)^2 + (0,06)^2} = 0,134164 \text{ [m/s]}, \blacklozenge$$

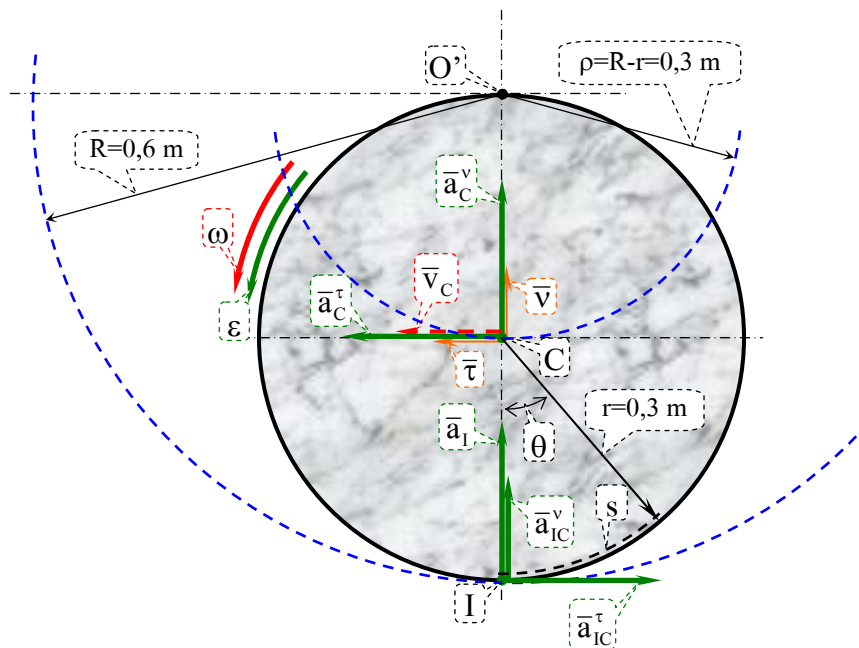
(abs)

iar viteza unghiulară a barei **AS** este:

$$\omega_{AS} = \frac{v_{SA}}{AS} = \frac{0,2}{0,5} = 0,4 \text{ [rad/s]} \quad \blacklozenge$$

*Determinarea accelerațiilor*

Pentru determinarea poziției centrului instantaneu al accelerațiilor



**Fig. Apl-4.8.b**

(punctul de accelerație nulă J) al cilindrului  $C$  în mișcare plan paralelă, este necesar să cunoaștem, pe lângă datele inițiale viteza unghiulară  $\omega_C = 0,2$  [rad/s] și accelerația unghiulară  $\epsilon_C = 0,02$  [rad/s<sup>2</sup>], și accelerația unui punct din planul director.

Punctul căruia putem să-i determinăm accelerația, numai cu aceste date inițiale este chiar centrul instantaneu de rotație I (fig. Apl-4.8.b).

Determinăm mai întâi viteza centrului C al cilindrului ( $\theta$  reprezintă poziția unghiulară acilindrului;  $\dot{\theta} = \omega_C$  - viteza unghiulară și  $\ddot{\theta} = \dot{\omega}_C = \epsilon_C$  - accelerația unghiulară, ale cilindrului) astfel:

$$\bar{v}_C = \bar{v}_I + \bar{v}_{CI} = 0 + \dot{\theta} \cdot IC \cdot \bar{\tau} = \dot{\theta} \cdot r \cdot \bar{\tau},$$

care derivată în raport cu timpul dă vectorul accelerație al punctului C:

$$\bar{a}_C = \dot{\bar{v}}_C = \ddot{\theta} \cdot r \cdot \bar{\tau} + \dot{\theta} \cdot r \cdot \dot{\bar{\tau}},$$

în care:

$$\dot{\bar{\tau}} = \dot{\tau} = \frac{d\bar{\tau}}{dt} = \frac{d\bar{\tau}}{ds} \cdot \frac{ds}{dt} = \frac{1}{\rho} \cdot \bar{v} \cdot \dot{s} = \frac{1}{R-r} \cdot \bar{v} \cdot (r \cdot \dot{\theta}), \quad s = r \cdot \theta.$$

$$\Rightarrow \bar{a}_C = (\ddot{\theta} \cdot r) \cdot \bar{\tau} + \frac{(r \cdot \dot{\theta})^2}{R-r} \cdot \bar{v} = \bar{a}_C^{\tau} + \bar{a}_C^v \tag{3}$$

Accelerația centrului instantaneu de rotație I, în funcție de accelerația centrului C al cilindrului, este:

$$\bar{a}_I = \bar{a}_C + \bar{a}_{IC}^v + \bar{a}_{IC}^\tau, \quad (4)$$

în care:

$$\begin{aligned} \bar{a}_{IC}^v &= a_{IC}^v \cdot \bar{v} = (\dot{\theta}^2 \cdot IC) \cdot \bar{v} = (\dot{\theta}^2 \cdot r) \cdot \bar{v}, \\ \bar{a}_{IC}^\tau &= a_{IC}^\tau \cdot \bar{\tau} = (-\ddot{\theta} \cdot IC) \cdot \bar{\tau} = (-\ddot{\theta} \cdot r) \cdot \bar{\tau}. \end{aligned} \quad (5)$$

Înlocuim relațiile (3) și (5) în (4) și obținem:

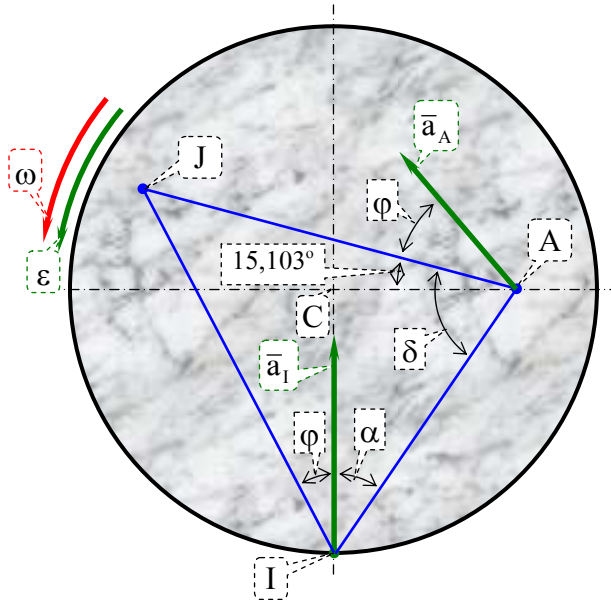
$$\begin{aligned} \Rightarrow \bar{a}_I &= (\ddot{\theta} \cdot r) \cdot \bar{\tau} + \frac{(r \cdot \dot{\theta})^2}{R-r} \cdot \bar{v} + (\dot{\theta}^2 \cdot r) \cdot \bar{v} + (-\ddot{\theta} \cdot r) \cdot \bar{\tau} = \\ &= \dot{\theta}^2 \cdot r \cdot \left(1 + \frac{r}{R-r}\right) \cdot \bar{v} = \dot{\theta}^2 \cdot r \cdot (1+1) \cdot \bar{v} = (2 \cdot \dot{\theta}^2 \cdot r) \cdot \bar{v}, \end{aligned}$$

în care s-a înlocuit și  $R = 2 \cdot r$ .

Modul accelerației centrului instantaneu de rotație I, este:

$$|\bar{a}_I| = 2 \cdot \dot{\theta}^2 \cdot r = 2 \cdot \omega^2 \cdot r = 2 \cdot (0,2)^2 \cdot 0,3 = 0,024 \text{ [m/s}^2\text{]}$$

În continuare determinăm poziția punctului de accelerație nulă (CIA – J) de pe disc și accelerația punctului A (fig. Apl-4.8.c), astfel:



*Fig. Apl-4.8.c*

$$\text{tg } \phi = \frac{\epsilon}{\omega^2} = \frac{\ddot{\theta}}{\dot{\theta}^2} = \frac{0,02}{(0,2)^2} = \frac{1}{2}$$

$$\Rightarrow \phi = 26,56505^\circ =$$

$$= 26^\circ 33' 54''$$

$$IJ = \frac{a_I}{\sqrt{\epsilon^2 + \omega^4}} = \frac{0,024}{\sqrt{0,02^2 + 0,2^4}} =$$

$$= 0,536656 \text{ [m]}$$

$$a_A = JA \cdot \sqrt{\epsilon^2 + \omega^4},$$

$$\alpha = \text{arctg} \left( \frac{0,2}{0,3} \right) = 33,69^\circ$$

$$IA = \sqrt{CA^2 + CI^2} = \sqrt{0,2^2 + 0,3^2} = 0,360555 \text{ [m]}$$

$$JA = \sqrt{IJ^2 + IA^2 - 2 \cdot IJ \cdot IA \cdot \cos(\varphi + \alpha)} =$$

$$= \sqrt{0,537^2 + 0,361^2 - 2 \cdot 0,537 \cdot 0,361 \cdot \cos 60,25^\circ} = 0,47571 \text{ [m]}$$

$$\Rightarrow a_A = JA \cdot \sqrt{\varepsilon^2 + \omega^4} = 0,47571 \cdot \sqrt{(0,02)^2 + (0,2)^4}$$

$$\Rightarrow a_A = 0,02127 \text{ [m/s}^2\text{]}.$$

Determinăm direcția accelerației  $a_A$  :

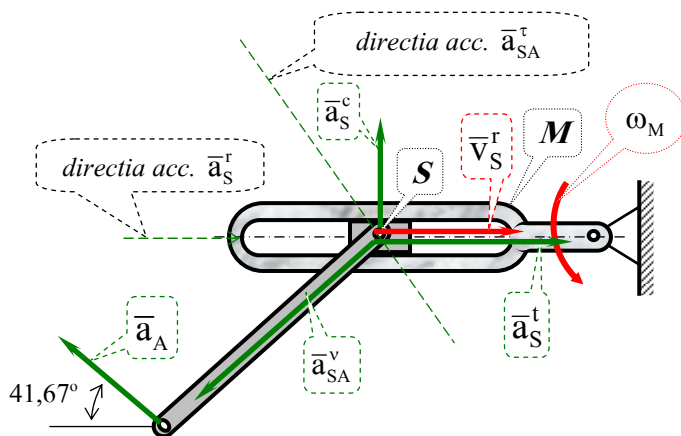
$$IJ = \sqrt{JA^2 + IA^2 - 2 \cdot JA \cdot IA \cdot \cos \beta},$$

$$\Rightarrow \cos \beta = \frac{JA^2 + IA^2 - IJ^2}{2 \cdot JA \cdot IA} = \frac{0,47571^2 + 0,361^2 - 0,536656^2}{2 \cdot 0,47571 \cdot 0,361};$$

$$\cos \beta = 0,198717.$$

$$\Rightarrow \beta = 78,54^\circ \text{ și } \angle CAJ = (\alpha + \beta) - 90^\circ = 15,103^\circ.$$

Deci, direcția accelerației  $a_A$  față de orizontală este cunoscută (fig. Apl-4.8.c), adică:  $\angle CAJ + \varphi = 15,103^\circ + 26,565^\circ = 41,668^\circ$ .



**Fig. Apl-4.8.d**

Accelerația punctului A a fost determinată din mișcarea plan paralelă a cilindrului  $C$ . În continuare atribuim mărimea determinată, punctului A ce aparține tije AS în mișcare plan paralelă și scriem relația de legătură dintre aceasta și accelerația punctului S, astfel (fig. Apl-4.8.d) :

$$\underline{\underline{a_S}} = \underline{\underline{a_A}} + \underline{\underline{a_{SA}^v}} + \underline{\underline{a_{SA}^\tau}}, \quad (6)$$

$\parallel AS \quad \perp AS$

în care  $a_{SA}^v = \omega_{AS}^2 \cdot AS = (0,4)^2 \cdot 0,5 = 0,08 \text{ [m/s}^2\text{]}.$

Pentru  $S \in$  manivelei  $M$  (mișcare relativă) putem scrie:

$$\bar{a}_S = \bar{a}_S^t + \bar{a}_S^r + \bar{a}_S^c, \quad (7)$$

$\parallel SO \quad \parallel SO \quad \perp SO$

în care  $a_S^t = a_S^{tv} = \omega_M^2 \cdot OS = 0,3^2 \cdot 0,4 = 0,036 [m/s^2]$ ;  $\bar{a}_S^c = 2 \cdot \bar{\omega}_M \times \bar{v}_{Sr}$

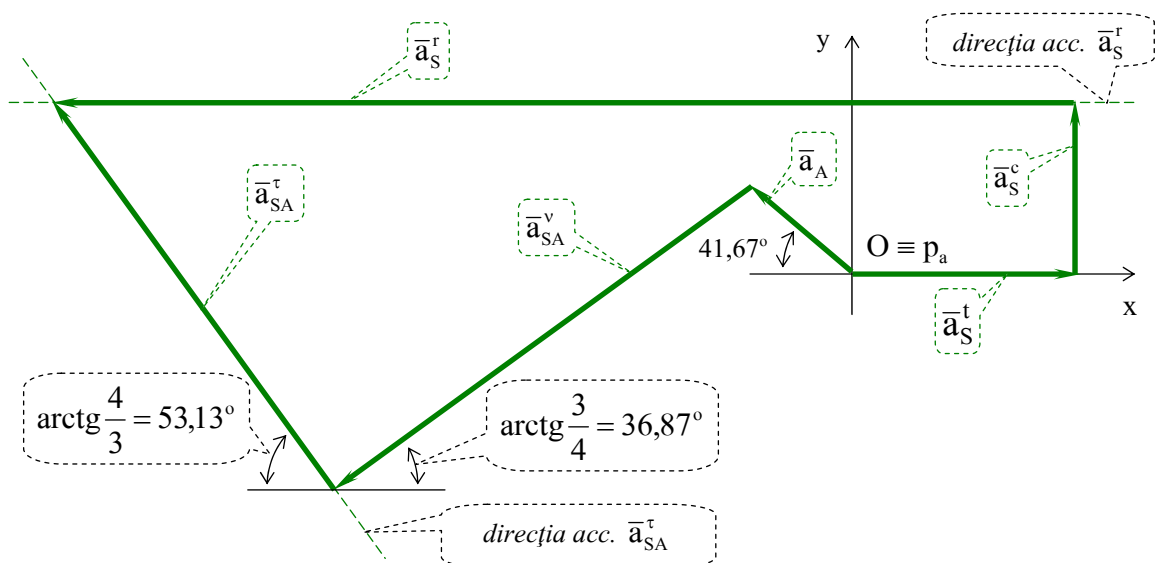
și  $a_S^c = 2 \cdot \omega_M \cdot v_{Sr} = 2 \cdot 0,3 \cdot 0,06 = 0,036 [m/s^2]$ .

Din (6) și (7) obținem

$$\Rightarrow \bar{a}_A + \bar{a}_{SA}^v + \bar{a}_{SA}^r = \bar{a}_S^t + \bar{a}_S^r + \bar{a}_S^c \quad (8)$$

$\parallel AS \quad \perp AS \quad \parallel SO \quad \parallel SO \quad \perp SO$

Proiectăm relația (8) pe axele sistemului de coordonate  $xOy$  (fig. Apl-4.8.e) și obținem:



**Fig. Apl-4.8.e**

$$\begin{cases} a_S^t - a_S^r = -a_A \cdot \cos 41,668^\circ - a_{SA}^v \cdot \cos 36,87^\circ - a_{SA}^r \cdot \cos 53,13^\circ \\ a_S^c = a_A \cdot \sin 41,668^\circ - a_{SA}^v \cdot \sin 36,87^\circ + a_{SA}^r \cdot \sin 53,13^\circ \end{cases}$$

$$\Rightarrow a_{SA}^{\tau} = \frac{1}{\sin 53,13^{\circ}} \cdot (a_S^c - a_A \cdot \sin 41,668^{\circ} + a_{SA}^v \cdot \sin 36,89^{\circ});$$

$$\Rightarrow a_{SA}^{\tau} = \frac{1}{\sin 53,13^{\circ}} \cdot (0,036 - 0,02127 \cdot \sin 41,668^{\circ} + 0,08 \cdot \sin 36,89^{\circ}) =$$

$$= \frac{1}{\sin 53,13^{\circ}} \cdot 0,0698595$$

$$a_{SA}^{\tau} = 0,0873245 [\text{m/s}^2]; \quad \blacklozenge$$

$$\varepsilon_{SA} = \frac{a_{SA}^{\tau}}{SA} = \frac{0,0873245}{0,5} = 0,17465 [\text{rad/s}^2] \quad \blacklozenge$$

și

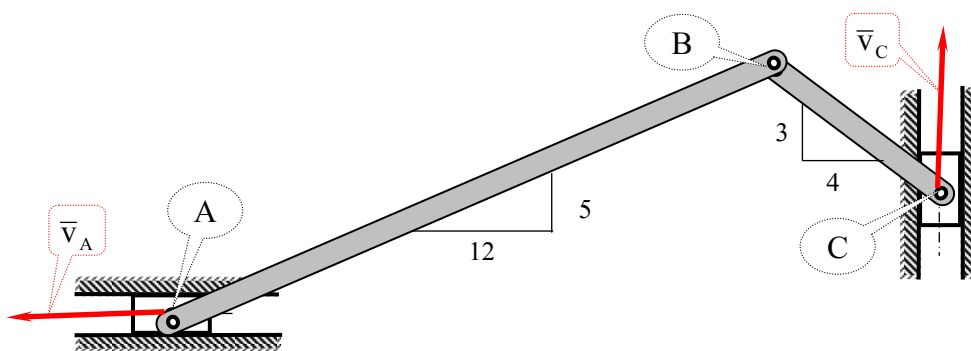
$$a_S^r = a_S^t + a_A \cdot \cos 41,668^{\circ} + a_{SA}^v \cdot \cos 36,87^{\circ} + a_{SA}^{\tau} \cdot \cos 53,13^{\circ} =$$

$$= 0,036 + 0,02127 \cdot \cos 41,668^{\circ} + 0,08 \cdot \cos 36,87^{\circ} + 0,087 \cdot \cos 53,13^{\circ}$$

$$a_S^r = 0,1682836 [\text{m/s}^2]. \quad \blacklozenge$$

***Apl. 4.9.***

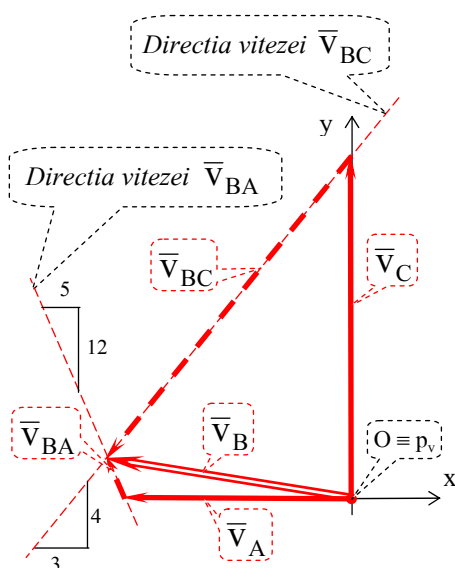
Pentru sistemul de bare din figura Apl-4.9, la momentul considerat,



***Fig. Apl-4.9***

vitezele punctelor A și C au mărimile  $v_A = 2 [\text{m/s}]$  și  $v_C = 3 [\text{m/s}]$  iar direcțiile și sensurile conform reprezentării. Să se determine mărimea și direcția vitezei punctului B.





**Fig. Apl-4.9.a**

**Rezolvare:**

Culisele A și C se mișcă rectiliniu după direcțiile orizontală respectiv verticală, cu vitezele cunoscute ca date inițiale. Deci și capetele A și C ale tijelor AB și BC care execută mișcare plan paralelă, au aceleași viteze cu culisele.

Din mișcarea plan paralelă a fiecăreia dintre tijele AB și BC se scriu ecuațiile vectoriale:

- pentru punctul B (articulație cilindrică) ce aparține tijeii AB:

$$\bar{v}_B = \underbrace{\bar{v}_A}_{\text{oriz.}} + \underbrace{\bar{v}_{BA}}_{\perp AB} \quad (1)$$

- pentru punctul B (articulație cilindrică) ce aparține tijeii BC:

$$\bar{v}_B = \underbrace{\bar{v}_C}_{\text{vertic.}} + \underbrace{\bar{v}_{BC}}_{\perp BC} \quad (2)$$

Comparăm relațiile (1) și (2), prin intermediul vectorului viteză,  $\bar{v}_B$ , a punctului B și obținem:

$$\underbrace{\bar{v}_A}_{\text{oriz.}} + \underbrace{\bar{v}_{BA}}_{\perp AB} = \underbrace{\bar{v}_C}_{\text{vertic.}} + \underbrace{\bar{v}_{BC}}_{\perp BC} \quad (3)$$

Reprezentăm grafic ecuația vectorială (3), fig. Apl-4.9.a, apoi o proiectăm pe axele sistemului de referință xOy și obținem:

$$\begin{cases} -v_A - v_{BA} \cdot \frac{5}{13} = -v_{BC} \cdot \frac{3}{5} \\ v_{BA} \cdot \frac{12}{13} = v_C - v_{BC} \cdot \frac{4}{5} \end{cases},$$

$$\Rightarrow v_{BA} = \frac{1}{\frac{5 \cdot 4}{13} + \frac{13 \cdot 3}{13}} \cdot (3 \cdot v_C - 4 \cdot v_A) = \frac{13}{56} [\text{m/s}]$$

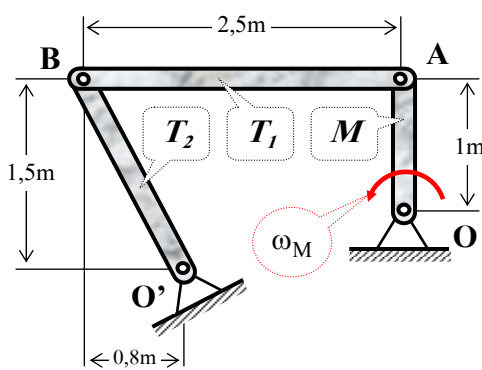
și 
$$v_{Bx} = -2 - \frac{13}{56} \cdot \frac{5}{13} = -2,09 \text{ [m/s]},$$

$$v_{By} = \frac{13}{56} \cdot \frac{12}{13} = 0,214 \text{ [m/s]},$$

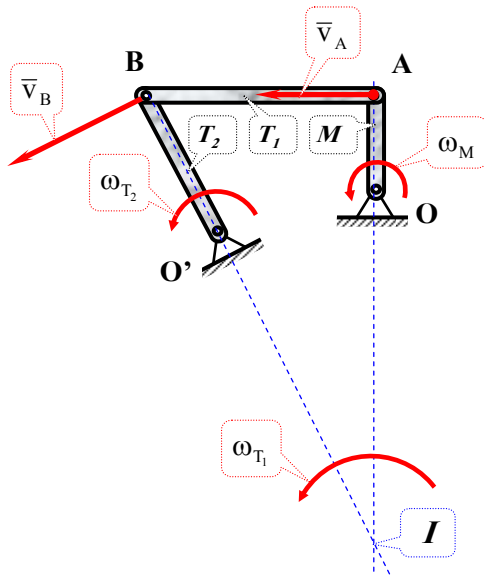
$\Rightarrow \bar{v}_B = -2,09 \cdot \bar{i} + 0,214 \cdot \bar{j} \text{ [m/s]}$  ◆

**Apl. 4.10**

Manivela  $M$  din figura Apl-4.10 se rotește cu viteza unghiulară constantă  $\omega_M = 3 \text{ [rad/s]}$ , în sens trigonometric. Să se determine vitezele unghiulare ale barelor  $T_1$  și  $T_2$  și viteza punctului B.



**Fig. Apl-4.10**



**Fig. Apl-4.10.a**

**Rezolvare:**

Mișcările elementelor componente sunt: manivela  $M$  și tija  $T_2$  fac, fiecare mișcare de rotație cu axă fixă iar tija  $T_1$  mișcare plan paralelă.

Viteza punctului A (articulație cilindrică) ce aparține manivelei  $M$  este:  $v_A = \omega_M \cdot OA = 3 \cdot 1 = 3 \text{ [m/s]}$

Aplicăm o proprietate a distribuției de viteze (proiecțiile vitezelor a două puncte ale unui solid rigid, pe direcția ce le leagă, sunt egale între ele) și obținem:

$$v_A \cdot \cos 0^\circ = v_B \cdot \cos \alpha$$

$$v_B = \frac{1}{\cos \alpha} \cdot v_A = \frac{1}{1,5/1,7} \cdot 3 = 3,4 \text{ [m/s]}$$

◆

Viteza punctului A ce aparține tije  $T_1$ , utilizând poziția CIR-ului determinată în fig. Apl-4.10.a, se poate exprima și astfel:

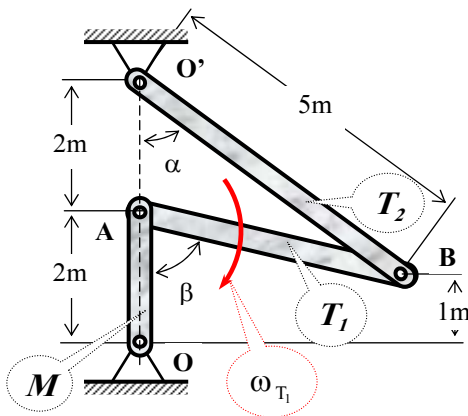
$$v_A = \omega_{T_1} \cdot AI_{T_1},$$

$$\Rightarrow \omega_{T_1} = \frac{v_A}{AI_{T_1}} = \frac{3}{4,688} = 0,64 \text{ [rad/s]}, \quad \blacklozenge$$

în care  $AI_{T_1}$  s-a determinat astfel:

$$AI_{T_1} = \frac{2,5}{0,8} \cdot 1,5 = 4,688 \text{ [m]}.$$

Din mișcarea de rotație a tijei  $T_2$  rezultă și viteza unghiulară  $\omega_{T_2}$ , astfel:



$$\omega_{T_2} = \frac{v_B}{O'B} = \frac{3,4}{1,7} = 2 \text{ [rad/s]} \quad \blacklozenge$$

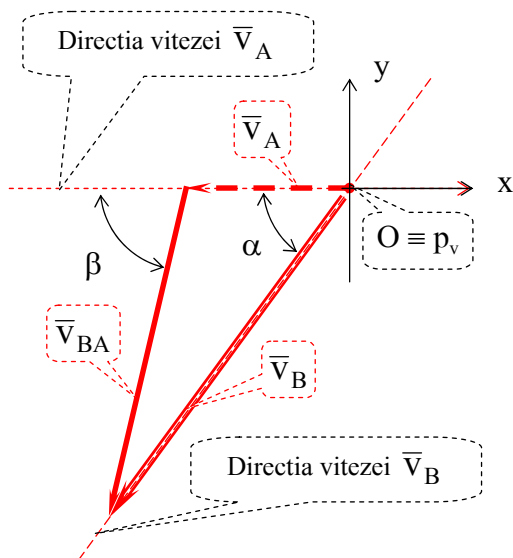
**Apl. 4.11**

La momentul considerat, viteza unghiulară a barei(tije)  $T_1$  din figura Apl-4.11, este  $\omega_{T_1} = 2 \text{ [rad/s]}$ , în sens orar. Să se determine vitezele unghiulare ale manivelei  $M$  și barei  $T_2$ , și viteza punctului B.

**Fig. Apl-4.11**

**Rezolvare:**

Tija  $T_1$  (AB) execută mișcare plan paralelă cu centrul instantaneu de rotație în  $O' \equiv I$ . Direcțiile vitezelor capetelor A și B ale tijei  $T_1$  sunt cunoscute (fig. Apl-4.11.a), adică perpendiculare pe manivela OA respectiv tija O'B (fiecare făcând rotație cu axă fixă).



**Fig. Apl-4.11.a**

Relația vectorială între  $\bar{v}_A$  și  $\bar{v}_B$  este:

$$\frac{\bar{v}_B}{\perp O'B} = \frac{\bar{v}_A}{\perp OA} + \frac{\bar{v}_{BA}}{\perp AB} \quad (1)$$

dar

$$v_{BA} = \omega_{T_1} \cdot AB = 2 \cdot \sqrt{1^2 + 2^2} = 8,246 \text{ [m/s]}$$

Reprezentăm grafic ecuația vectorială (1), fig. Apl-4.11.b, apoi o proiectăm pe axele sistemului de

referință xOy și obținem:

$$\begin{cases} -v_B \cdot \cos \alpha = -v_A - v_{BA} \cdot \cos \beta \\ -v_B \cdot \sin \alpha = -v_{BA} \cdot \sin \beta \end{cases}$$

$$v_B = \frac{1}{\sin \alpha} \cdot v_{BA} \cdot \sin \beta = \frac{1}{\sin 53,13^\circ} \cdot 8,246 \cdot \sin 75,96^\circ$$

$$\Rightarrow v_B = 10 \text{ [m/s]} \text{ și } v_A = 10 \cdot \frac{3}{5} - 2 \cdot \sqrt{17} \cdot \frac{1}{\sqrt{17}} = 4 \text{ [m/s]} \quad \blacklozenge$$

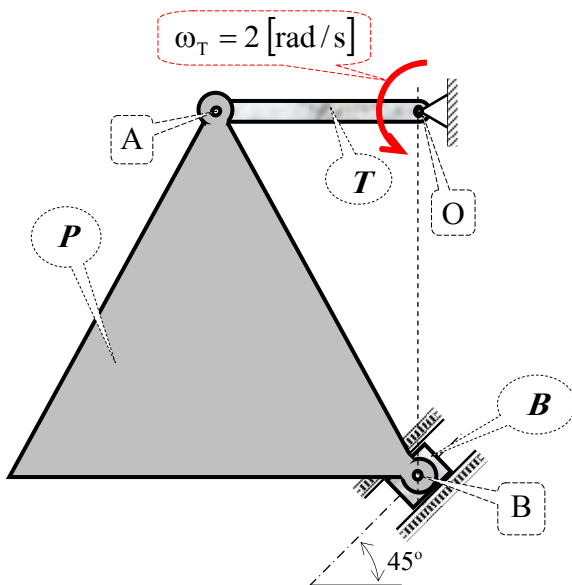
Acum putem determina vitezele unghiulare ale manivelei  $M$  și tije  $T_2$  din rotațiile lor în jurul axelor fixe corespunzătoare, astfel:

$$\omega_M = \frac{v_A}{OA} = \frac{4}{2} = 2 \text{ [rad/s]}; \quad \blacklozenge$$

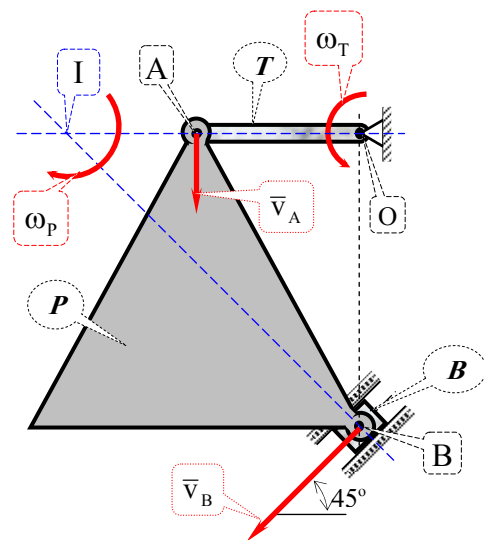
$$\omega_{T_2} = \frac{v_B}{O'B} = \frac{10}{5} = 2 \text{ [rad/s]}. \quad \blacklozenge$$

**Apl. 4.12.**

Placa omogenă  $P$  de forma unui triunghi echilateral cu latura de 0,3 m, arătată în figura Apl-4.12, este articulată cilindric la tija  $T$  (AO) ce se rotește în



*Fig. Apl-4.12*



*Fig. Apl-4.12.a*

jurul punctului  $O$ , în sens trigonometric, cu viteza unghiulară  $\omega_L = \omega_{OA} = 2 \text{ [rad/s]}$ . Placa  $P$  este de asemenea articulată cilindric la blocul  $B$ ,

prin știftul B, care se mișcă în canalul indicat ( $45^\circ$  față de orizontală). Să se determine viteza unghiulară a plăcii triunghiulare  $P$ .

**Rezolvare:**

Mișcările elementelor componente sunt: tija  $T$  face mișcare de rotație cu axă fixă iar placa  $P$  execută mișcare plan paralelă, cu C.I.R. în I (fig. Apl-4.12.a).

Viteza punctului A (articulație cilindrică) ce aparține tijei  $T$  este:

$$v_A = \omega_T \cdot OA = 2 \cdot \frac{0,3}{2} = 0,3 \text{ [m/s]}.$$

Viteza punctului A ce aparține plăcii  $P$ , utilizând poziția C.I.R. determinată în fig. Apl-4.12.a, se poate exprima și astfel:

$$v_A = \omega_P \cdot IA,$$

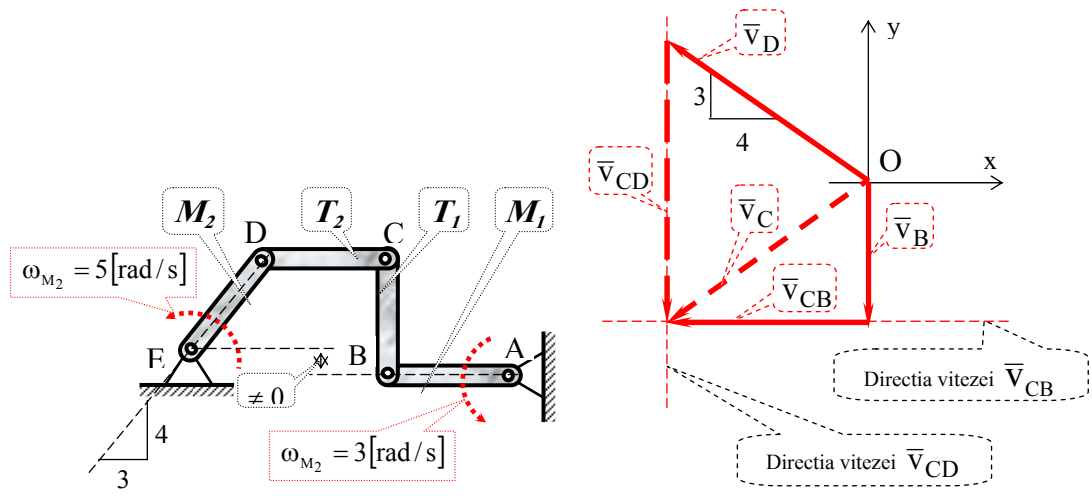
$$\Rightarrow \omega_P = \frac{v_A}{IA} = \frac{0,3}{0,3 \cdot \cos 30^\circ - 0,3/2} = 2,73 \text{ [rad/s]}. \quad \blacklozenge$$

**Apl. 4.13**

Cele patru bare din figura Apl-4.13, fiecare având lungimea 0,4m iar două dintre ele vitezele unghiulare indicate în figură, sunt conectate între ele și la sistemul fix prin articulații cilindrice. Să se determine viteza punctului C și vitezele unghiulare ale barelor(tijelor)  $T_1$  și  $T_2$  pentru poziția indicată în figură.

**Rezolvare:**

Pentru punctele B și D, aparținând manivelor  $M_1$  respectiv  $M_2$  în



**Fig. Apl-4.13**

**Fig. Apl-4.13.a**

mişcare de rotație cu axă fixă în jurul punctelor A și E, putem scrie:

$$v_B = \omega_{M_1} \cdot AB = 3 \cdot 0,4 = 1,2 \text{ [m/s]}, \quad v_D = \omega_{M_2} \cdot ED = 5 \cdot 0,4 = 2 \text{ [m/s]}.$$

Din mișcarea plan paralelă a fiecăreia dintre tijele BC (T1) și CD (T2) se scriu ecuațiile vectoriale:

- pentru punctul C (articulație cilindrică) ce aparține tije BC:

$$\bar{v}_C = \frac{\bar{v}_B}{\perp_{AB}} + \frac{\bar{v}_{CB}}{\perp_{BC}} \quad (1)$$

- pentru punctul C (articulație cilindrică) ce aparține tije CD:

$$\bar{v}_C = \frac{\bar{v}_D}{\perp_{ED}} + \frac{\bar{v}_{CD}}{\perp_{CD}} \quad (2)$$

Comparăm relațiile (1) și (2), prin intermediul vectorului viteză,  $\bar{v}_C$ , a punctului C și obținem:

$$\frac{\bar{v}_B}{\perp_{AB}} + \frac{\bar{v}_{CB}}{\perp_{BC}} = \frac{\bar{v}_D}{\perp_{ED}} + \frac{\bar{v}_{CD}}{\perp_{CD}} \quad (3)$$

Reprezentăm grafic ecuația vectorială (3), fig. Apl-4.13.a, apoi o proiectăm pe axele sistemului de referință xOy și obținem:

$$\begin{cases} -v_{CB} = -v_D \cdot \frac{4}{5} \\ -v_B = v_D \cdot \frac{3}{5} - v_{CD} \end{cases}, \Rightarrow v_{CB} = \frac{4}{5} \cdot v_D = \frac{4}{5} \cdot 2 = 1,6 \text{ [m/s]}$$

$$\Rightarrow v_{CD} = \frac{3}{5} \cdot v_D + v_B = \frac{3}{5} \cdot 2 + 1,2 = 2,4 \text{ [m/s]}$$

Din figura Apl-4.13.a se determină mărimea vitezei punctului C ( $v_C$ ):

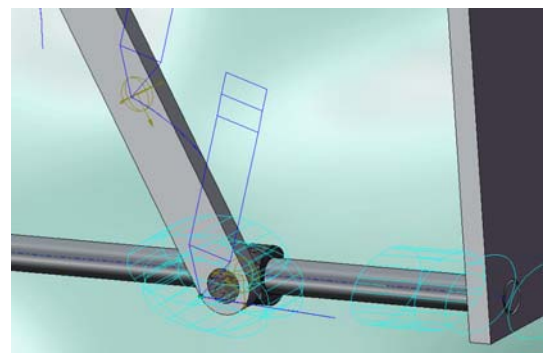
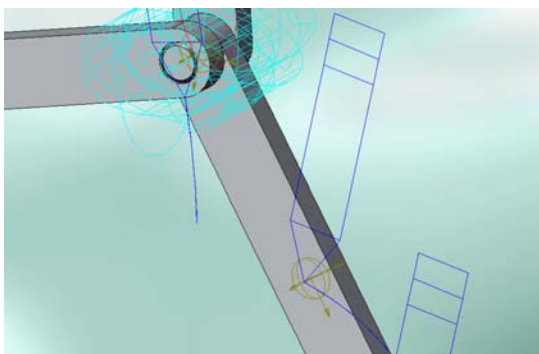
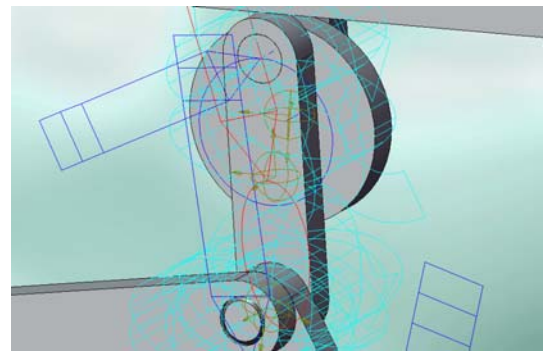
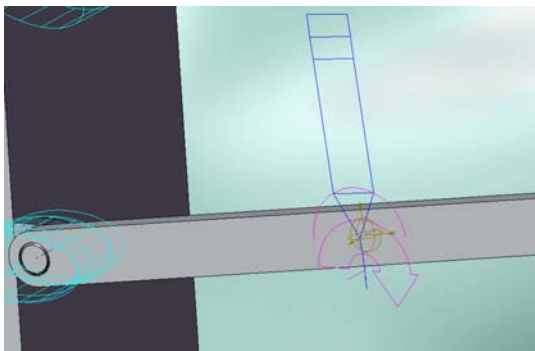
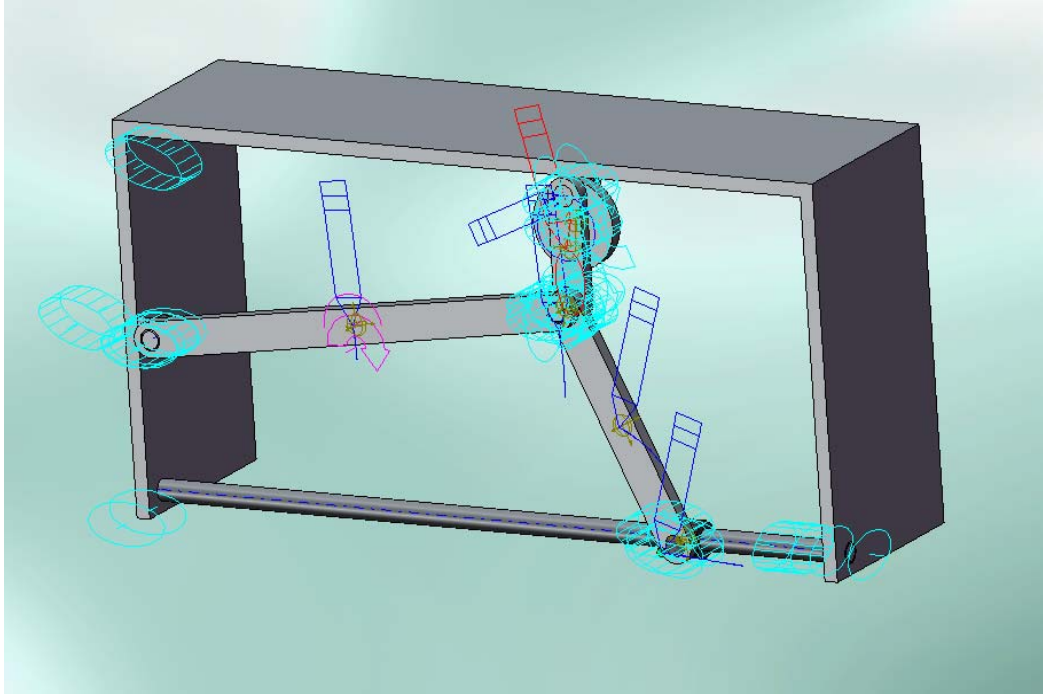
$$v_C = \sqrt{(v_B)^2 + (v_{CB})^2} = \sqrt{(1,2)^2 + (1,6)^2} = 2 \text{ [m/s]}, \quad \blacklozenge$$

apoi vitezele unghiulare ale barelor (tijelor)  $T_1$  respectiv  $T_2$ :

$$\omega_{T_1} = \frac{v_{CB}}{CB} = \frac{1,6}{0,4} = 4 \text{ [rad/s]}, \quad \blacklozenge$$

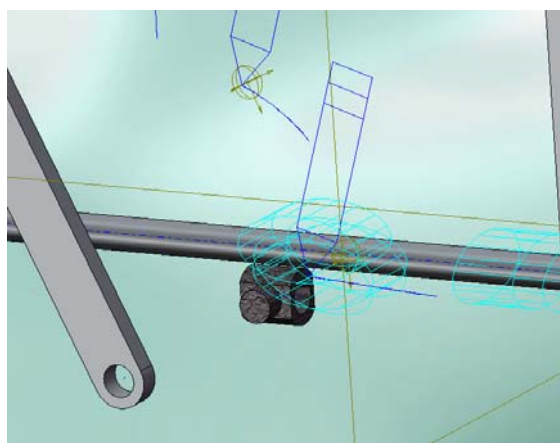
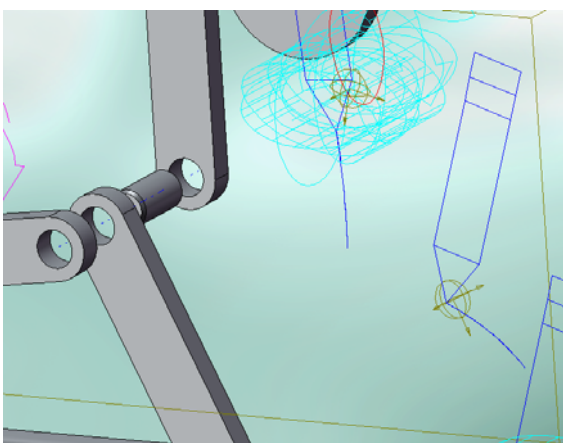
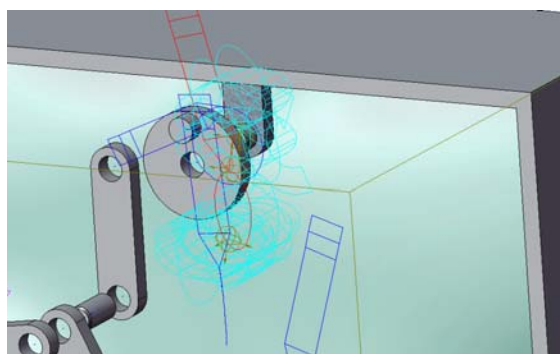
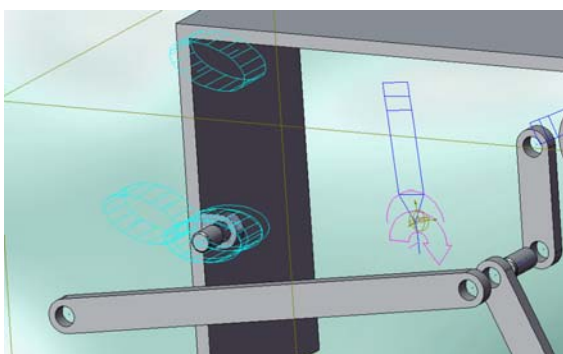
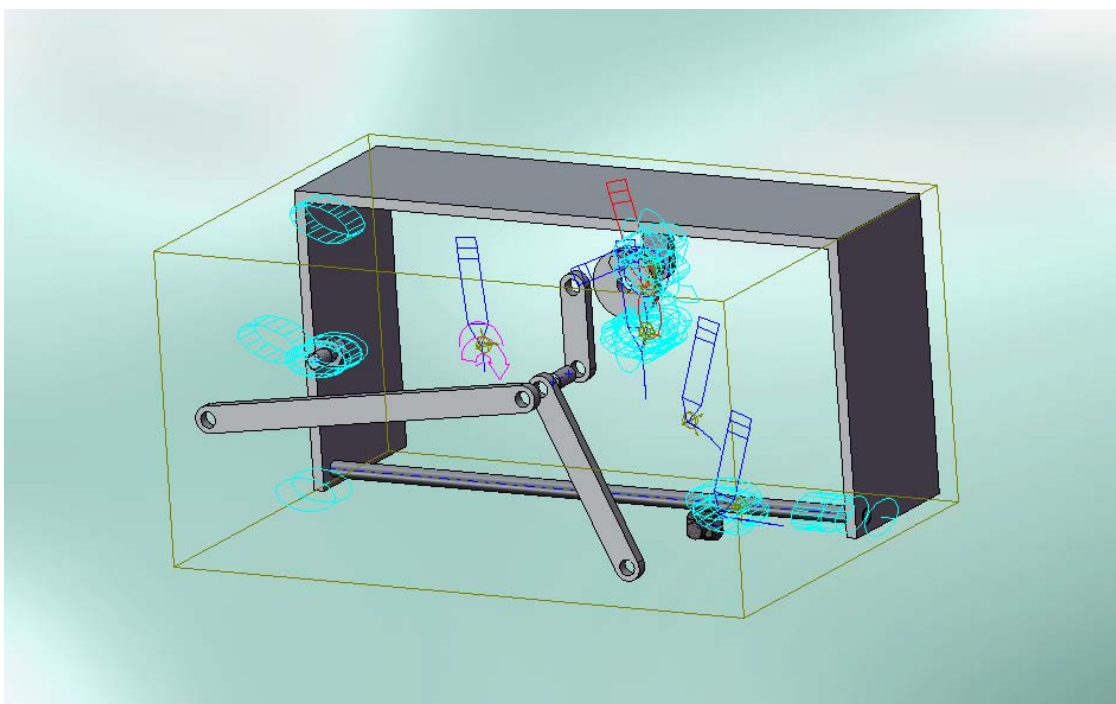
$$\omega_{T_2} = \frac{v_{CD}}{CD} = \frac{2,4}{0,4} = 6 \text{ [rad/s]}. \quad \blacklozenge$$

**4.a. ANALIZA CINEMATICĂ - SOLIDWorks -  
- COSMOSMotion**



**Fig. SW\_4.1. Trajectoriile unor puncte ale componentelor, realizate cu ajutorul programului SOLIDWorks - COSMOSMotion**





**Fig. SW\_4.2. Traectoriile unor puncte ale componentelor, realizate cu ajutorul programului SOLIDWorks – COSMOSMotion – reprezentate in explozie**



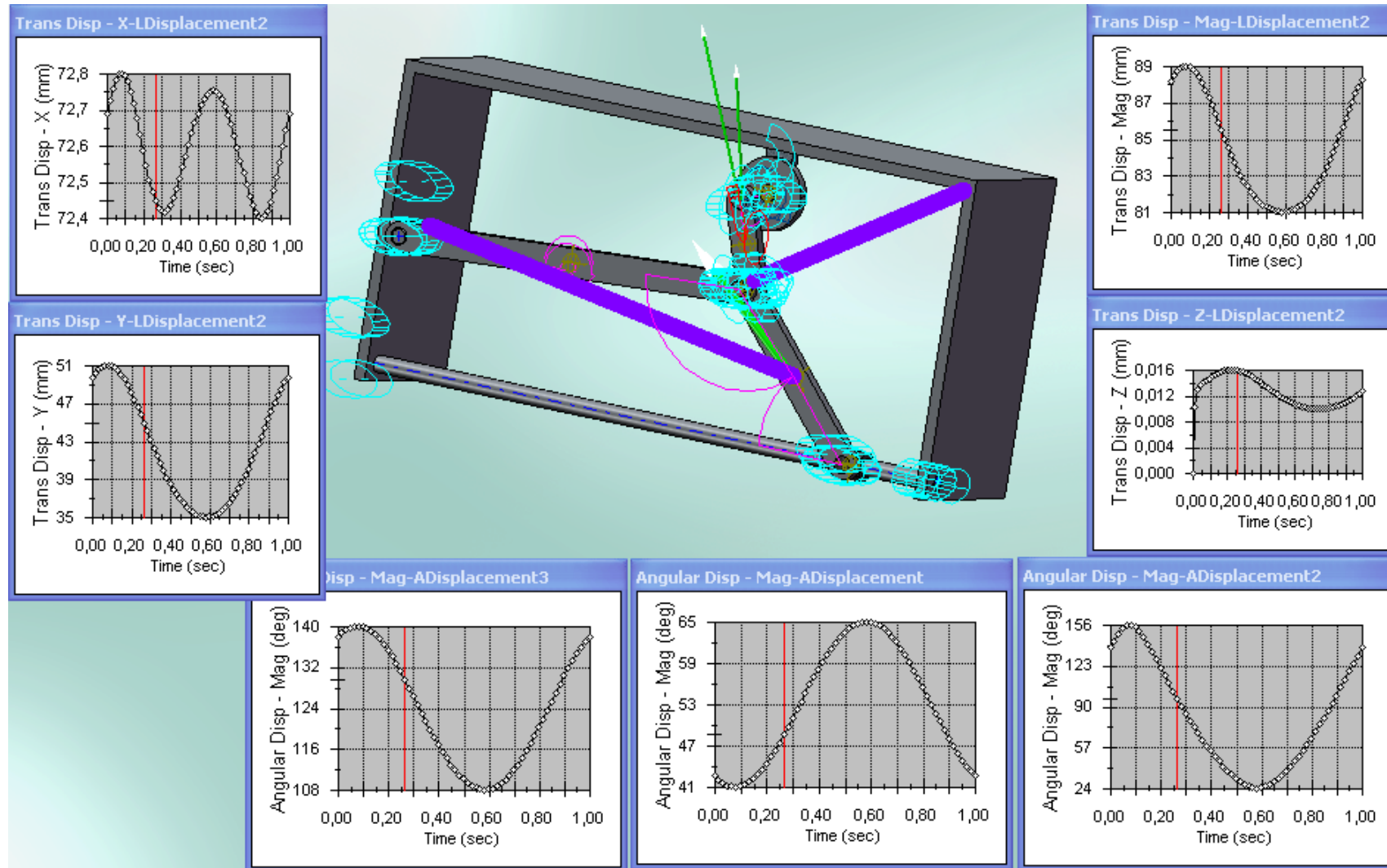
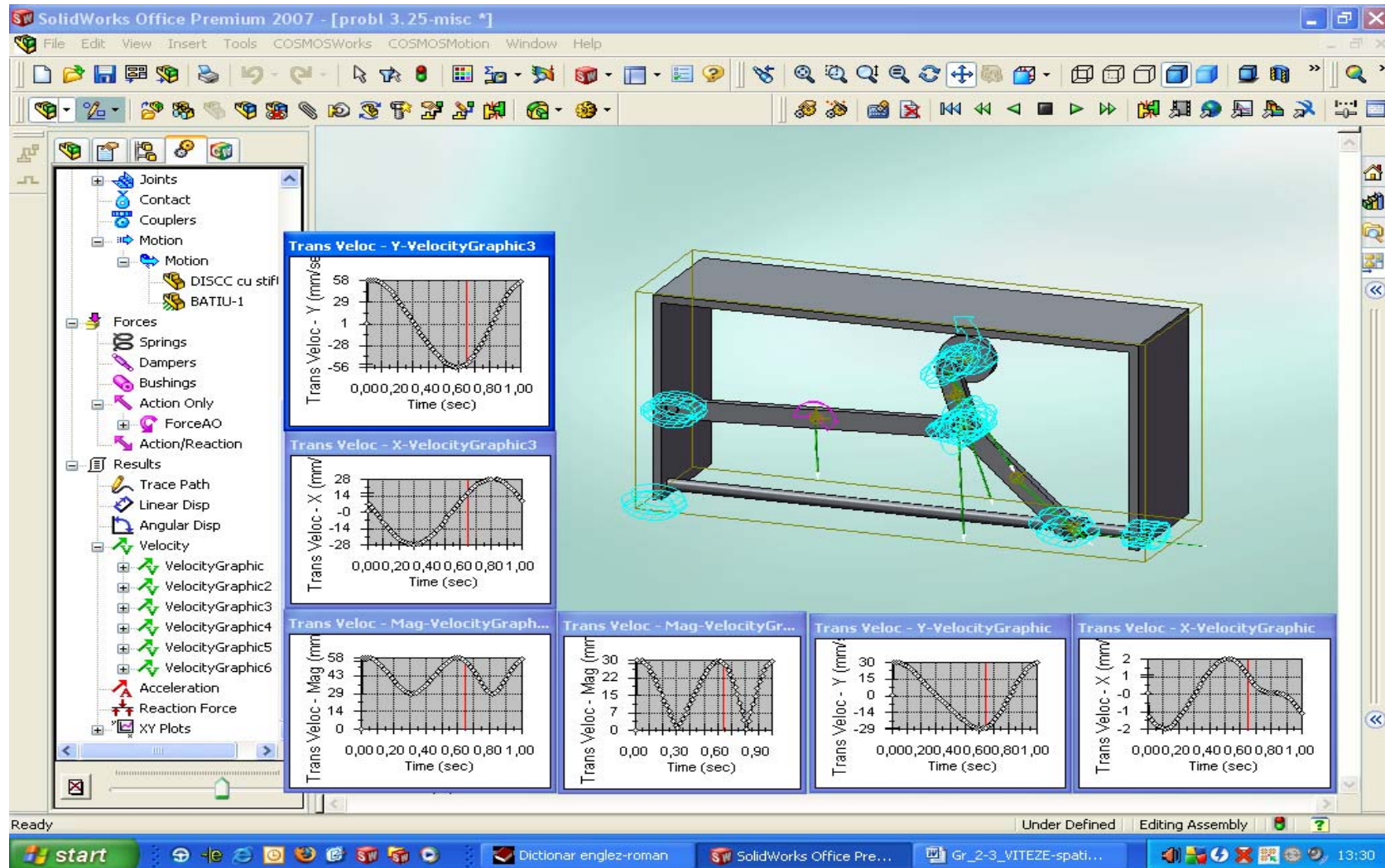


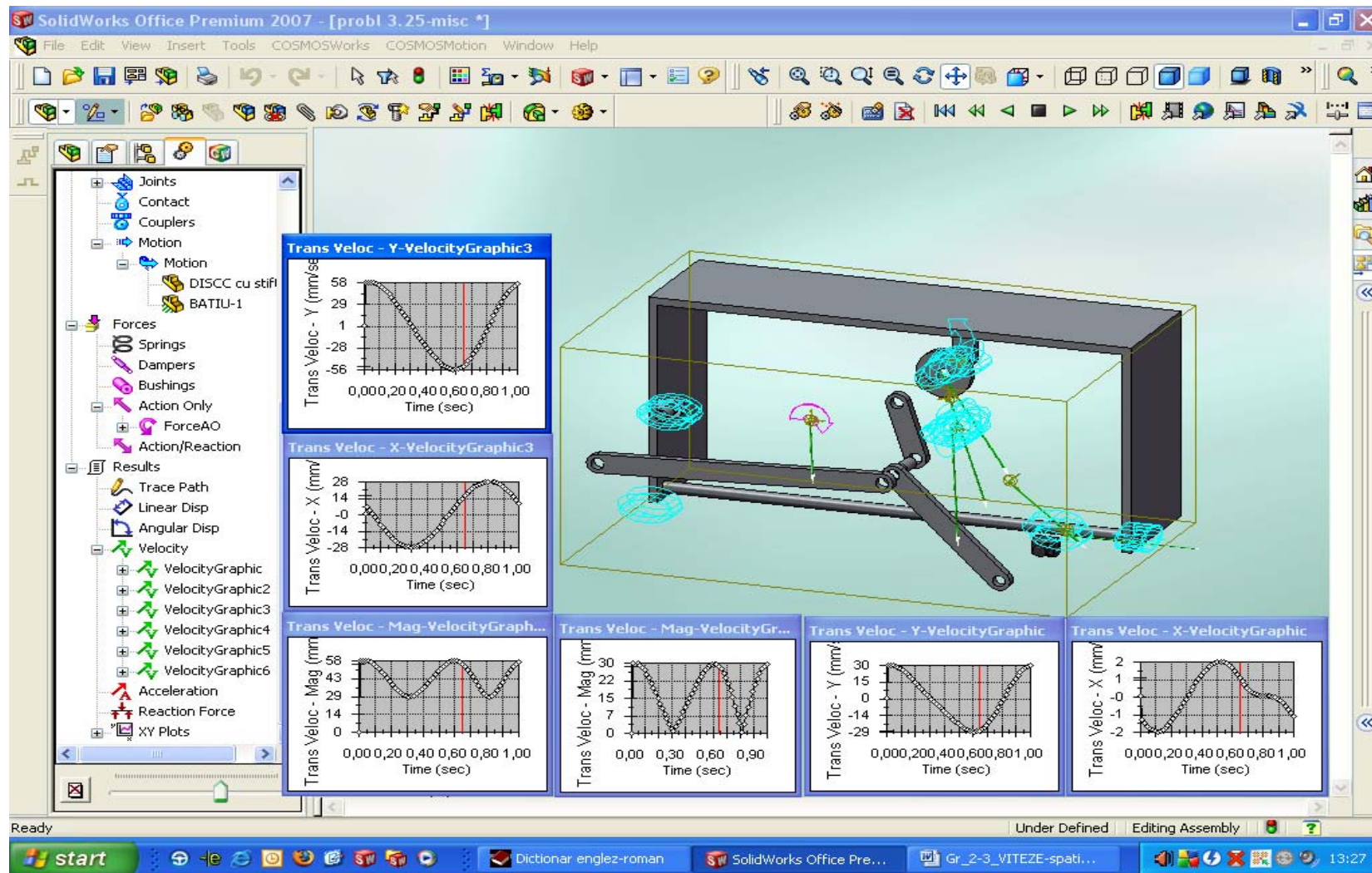
Fig. SW\_4.3. Deplasările componentelor realizate cu ajutorul programului SOLIDWorks – COSMOSMotion

## SIMULAREA SISTEMELOR MECANICE



*Fig. SW\_4.4. Vitezele liniare pentru doua puncte din structura (proiectii pe axe si marime) realizate cu ajutorul programului SOLIDWorks – COSMOSMotion*

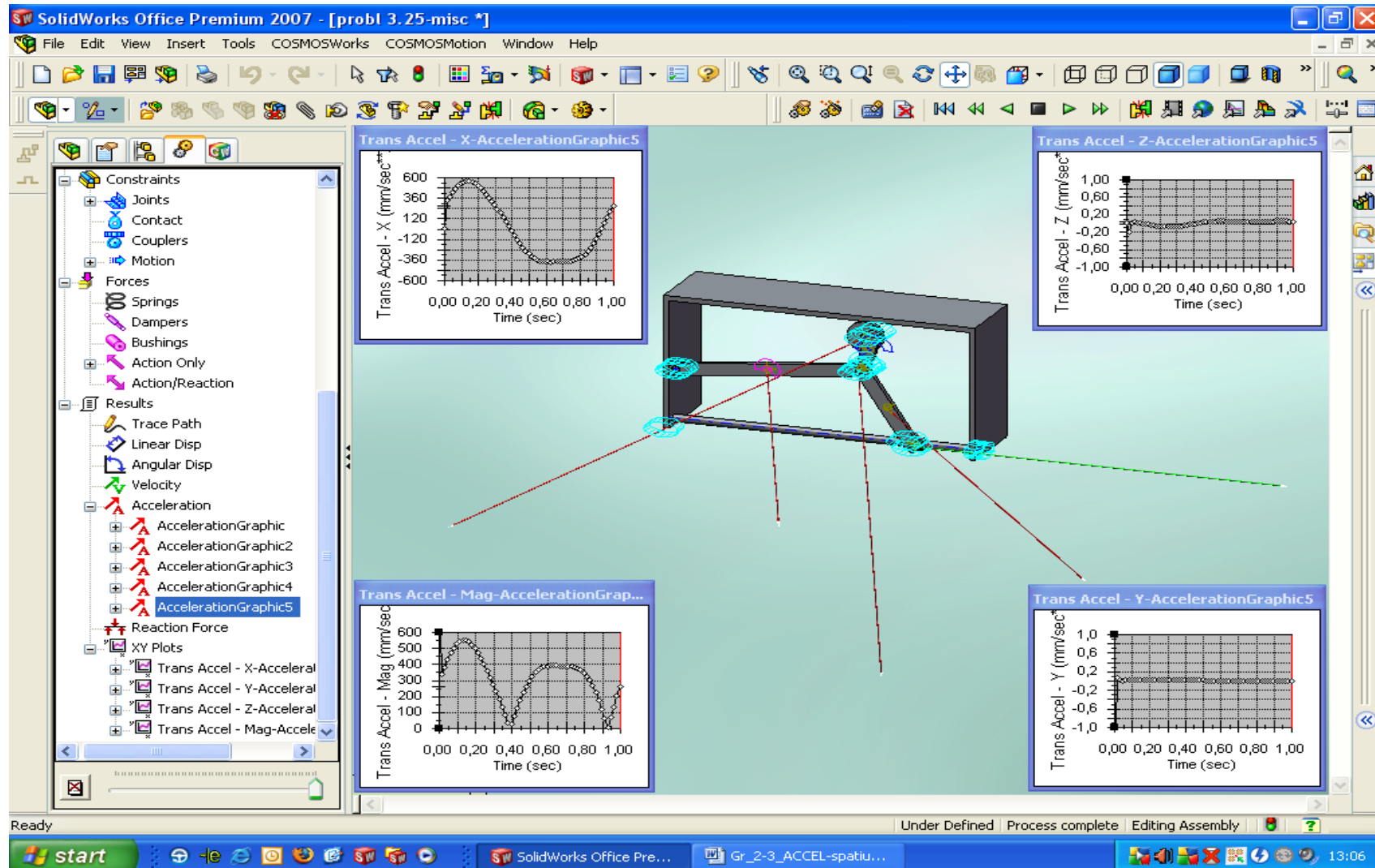
## SIMULAREA SISTEMELOR MECANICE



*Fig. SW\_4.5. Vitezele liniare pentru doua puncte din structura (proiecții pe axe și mărime) realizate cu ajutorul programului SOLIDWorks – COSMOSMotion– reprezentate în explozie*

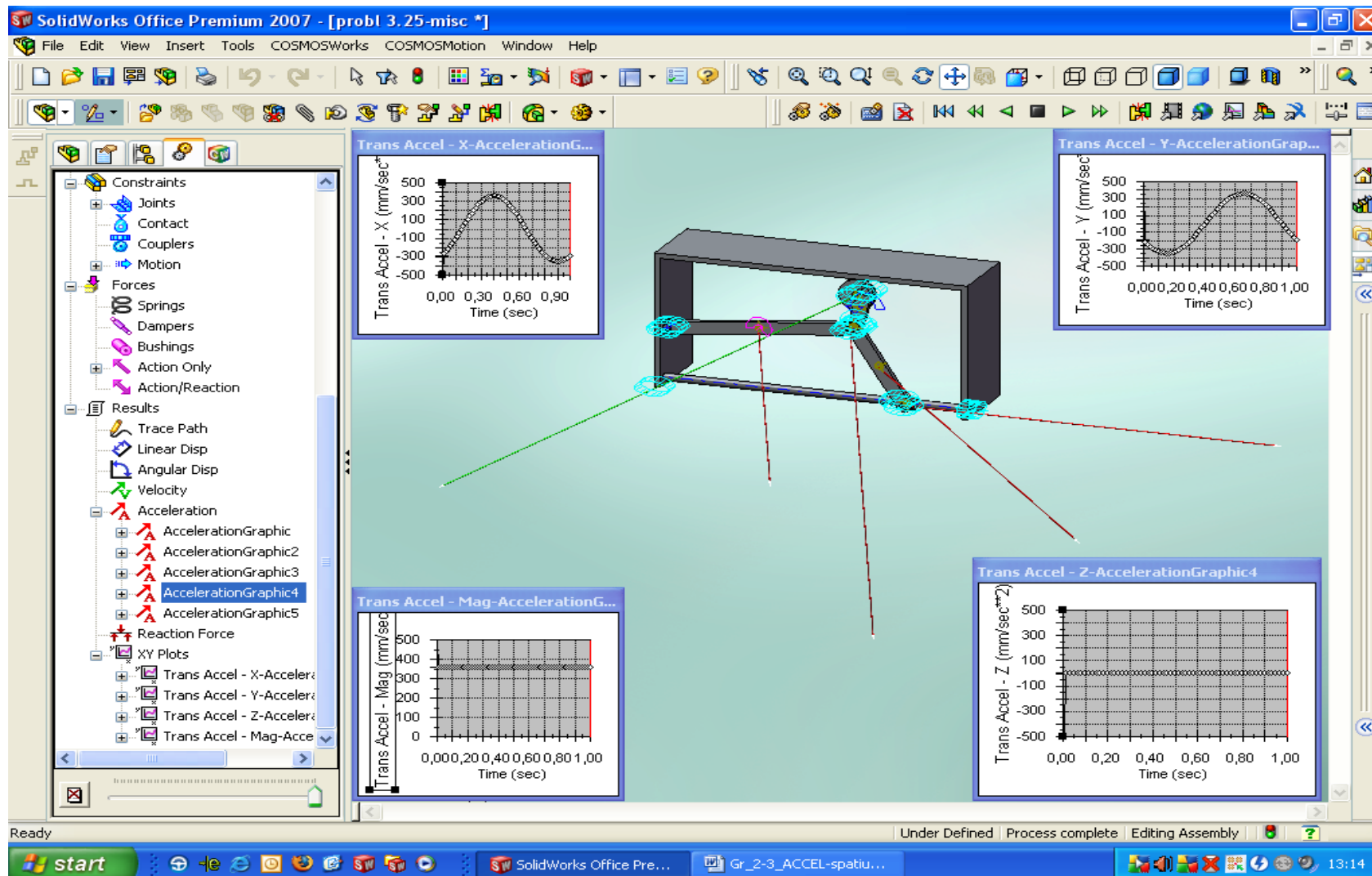


## SIMULAREA SISTEMELOR MECANICE



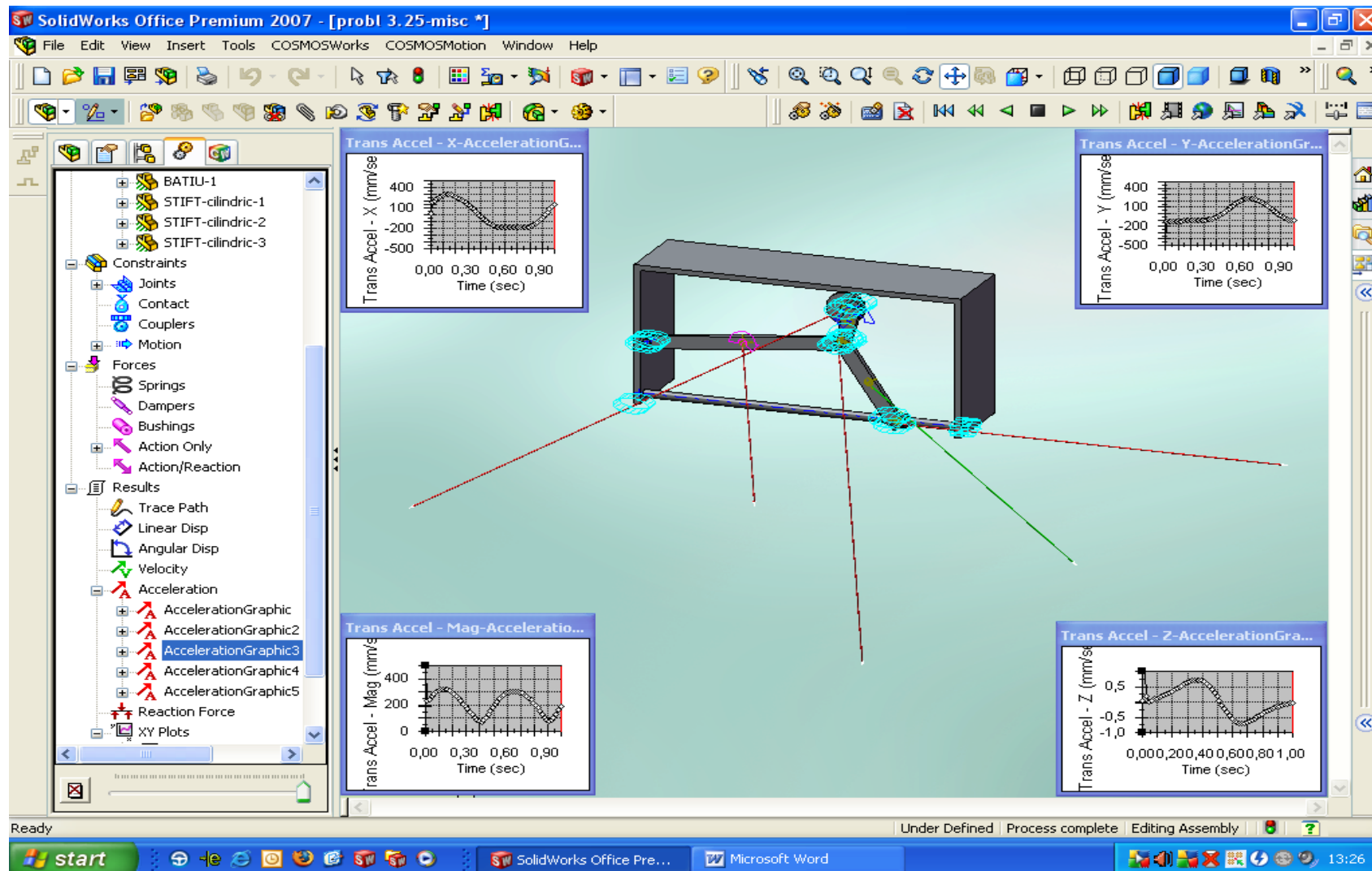
*Fig. SW\_4.6. Acceleratiile liniare ale bucei in miscarea rectilinie (proiectii pe axe si marime) realizate cu ajutorul programului SOLIDWorks – COSMOSMotion*

## SIMULAREA SISTEMELOR MECANICE



*Fig. SW\_4.7. Acceleratiile liniare ale stiftului de pe disc in miscarea circulara(proiectii pe axe si marime), realizate cu ajutorul programului SOLIDWorks – COSMOSMotion*

## SIMULAREA SISTEMELOR MECANICE



**Fig. SW\_4.8. Acceleratiile liniare ale centrului de greutate de pe tija in miscarea plan-paralela(proiectii pe axe si marime), realizate cu ajutorul programului SOLIDWorks – COSMOSMotion**